

การหาตำแหน่งและขนาดของเครื่องกำเนิดไฟฟ้าแบบกระจายในระบบ
จำหน่ายโดยวิธีการเคลื่อนตัวของกลุ่มอนุภาคที่เหมาะสมที่สุด

**OPTIMAL PLACEMENT AND SIZING OF DISTRIBUTED
GENERATION SYSTEM USING PARTICLE SWARM
OPTIMIZATION**



วิทยานิพนธ์นี้เป็นส่วนหนึ่งของการศึกษาตามหลักสูตร
ปริญญาวิกรรมศาสตรมหาบัณฑิต สาขาวิกรรมไฟฟ้า
คณะวิกรรมศาสตร์
มหาวิทยาลัยเทคโนโลยีราชมงคลล้านนา
ปีการศึกษา 2555
ลิขสิทธิ์ของมหาวิทยาลัยเทคโนโลยีราชมงคลล้านนา

การหาตำแหน่งและขนาดของเครื่องกำเนิดไฟฟ้าแบบกระจายในระบบ
จำหน่ายโดยวิธีการเคลื่อนตัวของกลุ่มอนุภาคที่เหมาะสมที่สุด



วิทยานิพนธ์นี้เป็นส่วนหนึ่งของการศึกษาตามหลักสูตร
ปริญญาวิกรรมศาสตร์มหาบัณฑิต สาขาวิกรรมไฟฟ้า
คณะวิกรรมศาสตร์
มหาวิทยาลัยเทคโนโลยีราชมงคลล้านนา
ปีการศึกษา 2555
ลิขสิทธิ์ของมหาวิทยาลัยเทคโนโลยีราชมงคลล้านนา

| | |
|-------------------|--|
| หัวข้อวิทยานิพนธ์ | การหาตำแหน่งและขนาดของเครื่องกำเนิดไฟฟ้าแบบกระจายในระบบจำหน่ายโดยวิธีการเคลื่อนตัวของกลุ่มอนุภาคที่เหมาะสมที่สุด |
| ชื่อ - นามสกุล | นายวีระชัย พ่วงพรพิทักษ์ |
| สาขาวิชา | วิศวกรรมไฟฟ้า |
| อาจารย์ที่ปรึกษา | ผู้ช่วยศาสตราจารย์กุญจน์ชนม์ ภูมิกิตติพิชญ์, Ph.D. |
| ปีการศึกษา | 2555 |



บทคัดย่อ

วิทยานิพนธ์นี้เป็นการวิเคราะห์หาตำแหน่งและขนาดเครื่องกำเนิดไฟฟ้าแบบกระจายที่เหมาะสมในระบบจำหน่ายโดยใช้วิธีกลุ่มอนุภาค การติดตั้งเครื่องกำเนิดไฟฟ้าแบบกระจายเข้าไปในระบบจำหน่ายเพื่อต้องการลดเชยกำลังไฟฟ้าและปรับปรุงเสถียรภาพแรงดันไฟฟ้า เพื่อให้ระบบไฟฟ้ามีเสถียรภาพและความน่าเชื่อถือได้ดียิ่งขึ้น

การวิเคราะห์อาศัยแบบจำลองของระบบจำหน่ายแบบเรเดียล 26 50 และ 59 บัส ซึ่งตัดแปลงมาจากส่วนหนึ่งในระบบจำหน่ายของการไฟฟ้าส่วนภูมิภาค ใช้ฐานกำลังไฟฟ้าเท่ากับ 10 เมกะโวลต์แอมป์เบอร์ และฐานแรงดันไฟฟ้าเท่ากับ 12.66 กิโลโวลต์ การคำนวณการไฟดูของกำลังใช้การคำนวณกระแสแบบข้อนกลับและการคำนวณแรงดันแบบไปข้างหน้า และใช้เทคนิคการทำตำแหน่งที่เหมาะสมโดยวิธีกลุ่มอนุภาค ภายใต้เงื่อนไขเสถียรภาพแรงดันไฟฟ้าของระบบไฟฟ้ากำลังที่สภาวะโอลดคงที่

ผลการจำลองพบว่าระบบจำหน่ายแบบเรเดียล 26 บัส เมื่อติดตั้งเครื่องกำเนิดไฟฟ้าแบบกระจายขนาด 6.95 เมกะวัตต์ เข้าไปที่บัส 14 พบว่ากำลังไฟฟ้าสูญเสียในระบบลดลงร้อยละ 60.96 สำหรับระบบที่สองระบบจำหน่ายแบบเรเดียล 50 บัส เมื่อติดตั้งเครื่องกำเนิดไฟฟ้าแบบกระจายขนาด 9.10 เมกะวัตต์ เข้าไปที่บัส 34 พบว่ากำลังไฟฟ้าสูญเสียในระบบลดลงร้อยละ 68.28 สุดท้ายระบบจำหน่ายแบบเรเดียล 59 บัส เมื่อติดตั้งเครื่องกำเนิดไฟฟ้าแบบกระจายขนาด 8.99 เมกะวัตต์ เข้าไปที่บัส 18 พบว่ากำลังไฟฟ้าสูญเสียในระบบลดลงร้อยละ 65.74 วิทยานิพนธ์นี้แสดงให้เห็นว่าการทำตำแหน่งและขนาดที่เหมาะสมของเครื่องกำเนิดไฟฟ้าแบบกระจาย ด้วยวิธีการเคลื่อนตัวของอนุภาคที่เหมาะสมที่สุดทำให้กำลังไฟฟ้าที่สูญเสียในระบบจำหน่ายลดลง และเป็นแนวทางในการวิเคราะห์และพัฒนาเสถียรภาพด้านอื่นๆ ของระบบไฟฟ้าสำหรับการเพิ่มคุณภาพกำลังไฟฟ้าในระบบให้ดีขึ้น

คำสำคัญ : เครื่องกำเนิดไฟฟ้าแบบกระจาย วิธีการเคลื่อนตัวของอนุภาค ระบบจำหน่ายแบบเรเดียล

| | |
|-----------------------|--|
| Thesis Title | Optimal Placement and Sizing of Distributed Generation System Using Particle Swarm Optimization |
| Name - Surname | Mr. Weerachai Phuangpornpitak |
| Program | Electrical Engineering |
| Thesis Advisor | Assistant Professor Krischonme Bhumkittipich, Ph.D. |
| Academic Year | 2012 |

ABSTRACT

This thesis proposes the analysis of optimal placement and sizing of distribution generator using particle swarm optimization method (PSO). Distributed generation can inject the real and active power into the power system in order to improve the voltage stability and reliability.

The methodology is tested on 26, 50 and 59-bus radial systems modified from PEA distribution systems using 10 MVA and 12.66 kV as the per unit base values. The load flow analysis on distribution system is selected to calculate using forward-backward sweep methodology.

The simulation result shows the voltage profile and power losses in the 26-bus distribution radial system when is installed the 6.95 MW distribution generator at bus no.14 and the loss power reduction in the power system is about 60.96 percent. The second system proposes 50-bus distribution radial system which is installed 9.10 MW distribution generator at bus no.34. The result shows the loss power reduction about 68.28 percent. The last system is 59-bus distribution radial system which is 8.99 MW. It is installed distribution generator at bus no.18. The result shows the power loss reduction about 65.74 percent. The simulation result shows the optimal placement and sizing of distribution generator which it could be found the optimal value using PSO technique. Therefore, this study can be verifying the methodology in order to show the optimal placement and sizing of DG.

Keywords : distribution generator, particle swarm optimization, radial distributed system

กิตติกรรมประกาศ

วิทยานิพนธ์นี้สำเร็จลุล่วงตามวัตถุประสงค์ไปได้ด้วยดี เพราะได้รับความอนุเคราะห์ ความช่วยเหลือและคำแนะนำจาก ผู้ช่วยศาสตราจารย์ ดร.กฤษณ์ชนม์ ภูมิกิตติพิชญ์ อาจารย์ที่ปรึกษา วิทยานิพนธ์ ดร.นุญยัง ปลัดกอง ประธานกรรมการสอบวิทยานิพนธ์ ดร. ณัฐภัทร พันธ์คง กรรมการสอบวิทยานิพนธ์ และ ผู้ช่วยศาสตราจารย์ ดร.นภาพร พ่วงพรพิทักษ์ ผู้ทรงคุณวุฒิ ที่กรุณาสละเวลา อันมีค่าอีกด้วยเพื่อให้คำปรึกษาแนะนำ ตลอดจนชี้แนวทางในการทำวิทยานิพนธ์ให้สำเร็จลุล่วงไปได้ด้วยดี ผู้วิจัยจึงขอกราบขอบพระคุณท่านอาจารย์เป็นอย่างสูงมาไว้ ณ ที่นี่ด้วย

ขอขอบคุณห้องวิจัยคณะวิศวกรรมศาสตร์ มหาวิทยาลัยเทคโนโลยีราชมงคลชั้นบุรี ที่เอื้อเฟื้อสถานที่ วัสดุอุปกรณ์ต่างๆ สำหรับการทำวิทยานิพนธ์ในครั้งนี้

สุดท้ายขอกราบขอบพระคุณบุคลากรด้าและครอบครัว ตลอดจนญาติพี่น้องทุกคนที่เป็นกำลังใจและให้การสนับสนุนแก่ผู้ทำวิจัยมาโดยตลอดจนสำเร็จการศึกษา และรวมถึงพี่ๆ น้องๆ ทีมงานวิจัย ณ ศูนย์วิจัยระบบไฟฟ้ากำลังและพลังงาน ภาควิชาวิศวกรรมไฟฟ้า คณะวิศวกรรมศาสตร์ มหาวิทยาลัยเทคโนโลยีราชมงคลชั้นบุรี ที่ให้กำลังใจและร่วมแรงร่วมใจอยู่ด้วยกันในการปฏิบัติงานตลอดมา

วีระชัย พ่วงพรพิทักษ์

สารบัญ

| | หน้า |
|---|------|
| บทคัดย่อภาษาไทย..... | ๑ |
| บทคัดย่อภาษาอังกฤษ..... | ๑ |
| กิตติกรรมประกาศ | ๑ |
| สารบัญ..... | ๒ |
| สารบัญตาราง..... | ๓ |
| สารบัญภาพ..... | ๔ |
| คำอธิบายสัญลักษณ์และคำย่อ..... | ๕ |
| บทที่ | |
| 1 บทนำ | 1 |
| 1.1 ความเป็นมาและความสำคัญของปัญหา | 1 |
| 1.2 ความมุ่งหมายและวัตถุประสงค์ของวิทยานิพนธ์..... | 4 |
| 1.3 สมมติฐานของวิทยานิพนธ์ | 4 |
| 1.4 ขอบเขตของวิทยานิพนธ์..... | 4 |
| 1.5 ขั้นตอนการทำวิทยานิพนธ์ | 4 |
| 1.6 ข้อจำกัดของวิทยานิพนธ์ | 5 |
| 1.7 ประโยชน์ที่คาดว่าจะได้รับ | 5 |
| 2 ทฤษฎีและงานวิจัยที่เกี่ยวข้อง | 6 |
| 2.1 งานวิจัยที่เกี่ยวข้อง | 6 |
| 2.2 ระเบียบและหลักเกณฑ์..... | 9 |
| 2.3 ระบบจำหน่ายกำลังไฟฟ้า (Distribution Systems)..... | 14 |
| 2.4 การคำนวณการไฟ流ของกำลัง (Calculation of Power Flow)..... | 16 |
| 2.5 ปัญหาการไฟ流กำลังไฟฟ้าเหมาะสมที่สุด (Problem of Optimal Power Flow)..... | 22 |
| 2.6 วิธีກลุ่มอนุภาค (Particle Swarm Optimization Method) | 26 |
| 2.7 สรุปผลทฤษฎีและงานวิจัยที่เกี่ยวข้อง | 31 |
| 3 วิธีดำเนินการวิทยานิพนธ์..... | 32 |
| 3.1 ขั้นตอนการดำเนินการวิทยานิพนธ์โดยใช้โปรแกรม MATLAB M-File | 32 |
| 3.2 กรณีศึกษา | 34 |

สารบัญ (ต่อ)

| บทที่ | หน้า |
|---|------|
| 3.3 สรุป | 43 |
| 4 ผลการทดลอง | 44 |
| 4.1 การปรับปรุงกำลังไฟฟ้าสูญเสียของระบบจำหน่าย 26 บัสที่ติดตั้งเครื่องกำเนิดไฟฟ้าแบบกระจาย..... | 44 |
| 4.2 การปรับปรุงกำลังไฟฟ้าสูญเสียของระบบจำหน่าย 50 บัสที่ติดตั้งเครื่องกำเนิดไฟฟ้าแบบกระจาย..... | 49 |
| 4.3 การปรับปรุงกำลังไฟฟ้าสูญเสียของระบบจำหน่าย 59 บัสที่ติดตั้งเครื่องกำเนิดไฟฟ้าแบบกระจาย..... | 55 |
| 4.4 เปรียบเทียบวิธีกลุ่มอนุภาคกับวิธีขั้นตอนทางพัฒนาศาสตร์ | 61 |
| 4.5 สรุป | 63 |
| 5 สรุปผลการทดลอง | 65 |
| 5.1 สรุปผลการทำวิทยานิพนธ์ | 65 |
| 5.2 ข้อเสนอแนะ | 67 |
| รายการอ้างอิง | 68 |
| ภาคผนวก | 70 |
| ภาคผนวก ก ข้อมูลสาขาและบัษของระบบจำหน่าย | 71 |
| ภาคผนวก ข โปรแกรมการหาตำแหน่งและขนาดของ DG | 82 |
| ภาคผนวก ค ผลงานตีพิมพ์เผยแพร่ | 121 |
| ประวัติผู้เขียน | 157 |

สารบัญตาราง

| ตารางที่ | หน้า |
|---|------|
| 3.1 ข้อมูลระบบจำหน่าย 26 บัส ซึ่งประกอบด้วยขนาดของโหลดในแต่ละบัสทั้งกำลังไฟฟ้าจริงและกำลังไฟฟ้าสมมุติในส่วนข้อมูลสายจำหน่ายประกอบด้วยค่าความต้านทาน ค่ารีแอคเวนซ์ ซึ่งทั้งสองค่าจะอยู่ในรูปเปอร์เซนต์รวมถึงค่าพิกัด MVA ของสายจำหน่าย | 38 |
| 3.2 ข้อมูลระบบจำหน่าย 50 บัส ซึ่งประกอบด้วยขนาดของโหลดในแต่ละบัสทั้งกำลังไฟฟ้าจริงและกำลังไฟฟ้าสมมุติในส่วนข้อมูลสายจำหน่ายประกอบด้วยค่าความต้านทาน ค่ารีแอคเวนซ์ ซึ่งทั้งสองค่าจะอยู่ในรูปเปอร์เซนต์รวมถึงค่าพิกัด MVA ของสายจำหน่าย | 39 |
| 3.3 ข้อมูลระบบจำหน่าย 59 บัส ซึ่งประกอบด้วยขนาดของโหลดในแต่ละบัสทั้งกำลังไฟฟ้าจริงและกำลังไฟฟ้าสมมุติในส่วนข้อมูลสายจำหน่ายประกอบด้วยค่าความต้านทาน ค่ารีแอคเวนซ์ ซึ่งทั้งสองค่าจะอยู่ในรูปเปอร์เซนต์รวมถึงค่าพิกัด MVA ของสายจำหน่าย | 41 |
| 4.1 ผลการจำลองค่าต่างๆ ของระบบจำหน่ายแบบเรเดียล 26 บัส หลังติดตั้งเครื่องกำเนิดไฟฟ้าแบบกระจาย | 45 |
| 4.2 การหาตำแหน่งติดตั้งเครื่องกำเนิดไฟฟ้าแบบกระจายที่เหมาะสมโดยใช้ PSO ของ 26 บัส | 48 |
| 4.3 ผลการจำลองค่าต่างๆ ของระบบจำหน่ายแบบเรเดียล 50 บัส หลังติดตั้งเครื่องกำเนิดไฟฟ้าแบบกระจาย | 50 |
| 4.4 การหาตำแหน่งติดตั้งเครื่องกำเนิดไฟฟ้าแบบกระจายที่เหมาะสมโดยใช้ PSO ของ 50 บัส | 54 |
| 4.5 ผลการจำลองค่าต่างๆ ของระบบจำหน่ายแบบเรเดียล 59 บัส หลังติดตั้งเครื่องกำเนิดไฟฟ้าแบบกระจาย | 56 |
| 4.6 การหาตำแหน่งติดตั้งเครื่องกำเนิดไฟฟ้าแบบกระจายที่เหมาะสมโดยใช้ PSO ของ 59 บัส | 60 |
| 4.7 การหาตำแหน่งติดตั้งเครื่องกำเนิดไฟฟ้าแบบกระจายที่เหมาะสมโดยใช้ PSO และ GA | 62 |

สารบัญภาพ

| ภาพที่ | หน้า |
|--|------|
| 1.1 ໂຄອະແກຣມຂອງระบบໄຟຟ້າກຳລັງ | 2 |
| 2.1 ໂຄງຫ່າຍຮະບນຈໍາຫນ່າຍໄຟຟ້າແບນເຮເດີຍລ | 15 |
| 2.2 ໂຄງຫ່າຍຮະບນໄຟຟ້າແບນຄຸປ | 16 |
| 2.3 ດຳວັນຂັ້ນການວິເຄາະທີ່ການໄໝລຂອງກຳລັງໄຟຟ້າດ້ວຍວິຊີແບນຂັ້ນກັບແລະໄປໜ້າ..... | 17 |
| 2.4 ການຈັດລຳດັບສາຍສ່ງ..... | 19 |
| 2.5 ກະຮແສໃນສາຍສ່ງຂອງຮະບນໄຟຟ້າແບນເຮເດີຍລ | 20 |
| 2.6 ການຄໍານວນຄ່າກະຮແສໃນສາຍສ່ງໃນແຕ່ລະຫວ່າງແບນຂັ້ນກັບ | 20 |
| 2.7 ການຄໍານວນຄ່າແຮງດັນທີ່ໄໂທນດແບນໄປໜ້າ..... | 21 |
| 2.8 ວິວັດນາກາຮອງວິຊີປັ້ງປຸງປະປິຍຈີ້ | 26 |
| 2.9 ກາຮອຢູ່ຮ່ວມກັນເປັນຝູ່ງຂອງນັກແລະປຸລາ | 27 |
| 2.10 ກາຮເປົ້າຢືນຕຳແໜ່ງຂອງອນຸກາກ | 28 |
| 2.11 ຂັ້ນຕອນກາຮຄໍານວນຫາຄໍາຕອບທີ່ດີ່ສຸດ ໂດຍໃໝ່ວິຊີກຸ່ມອນຸກາກ | 31 |
| 3.1 ຂັ້ນຕອນກາຮທຳການດ້ວຍໂປຣແກຣມ MATLAB M-File | 33 |
| 3.2 ແພນກາພເສັ້ນເຄີຍຂອງແບນຈໍາລອງຮະບນຈໍາຫນ່າຍແບນເຮເດີຍລ 26 ບັສ | 35 |
| 3.3 ແພນກາພເສັ້ນເຄີຍຂອງແບນຈໍາລອງຮະບນຈໍາຫນ່າຍແບນເຮເດີຍລ 50 ບັສ | 36 |
| 3.4 ແພນກາພເສັ້ນເຄີຍຂອງແບນຈໍາລອງຮະບນຈໍາຫນ່າຍແບນເຮເດີຍລ 59 ບັສ | 37 |
| 4.1 ຄໍາກຳລັງໄຟຟ້າຈົງສູງເລື່ອໜັກຕິດຕັ້ງ DG ຂອງຮະບນຈໍາຫນ່າຍ 26 ບັສ 25 ສາຍຈໍາຫນ່າຍ..... | 46 |
| 4.2 ຄໍາກຳລັງໄຟຟ້າຈົງສູງເລື່ອໜັກຕິດຕັ້ງ DG ຂອງຮະບນຈໍາຫນ່າຍ 26 ບັສ 25 ສາຍຈໍາຫນ່າຍ..... | 46 |
| 4.3 ຂາດ DG ທີ່ເໜັນສົມຂອງຮະບນຈໍາຫນ່າຍ 26 ບັສ 25 ສາຍຈໍາຫນ່າຍ..... | 47 |
| 4.4 ຂາດແຮງດັນທີ່ບັສຕ່າງໆ ກ່ອນແລະໜັກຕິດຕັ້ງ DG ຂອງຮະບນຈໍາຫນ່າຍ 26 ບັສ..... | 48 |
| 4.5 ຄໍາກຳລັງໄຟຟ້າຈົງສູງເລື່ອໜັກຕິດຕັ້ງ DG ຂອງຮະບນຈໍາຫນ່າຍ 50 ບັສ 49 ສາຍຈໍາຫນ່າຍ..... | 52 |
| 4.6 ຄໍາກຳລັງໄຟຟ້າຈົງສູງເລື່ອໜັກຕິດຕັ້ງ DG ຂອງຮະບນຈໍາຫນ່າຍ 50 ບັສ 49 ສາຍຈໍາຫນ່າຍ..... | 52 |
| 4.7 ຂາດ DG ທີ່ເໜັນສົມຂອງຮະບນຈໍາຫນ່າຍ 50 ບັສ 49 ສາຍຈໍາຫນ່າຍ..... | 53 |
| 4.8 ຂາດແຮງດັນທີ່ບັສຕ່າງໆ ກ່ອນແລະໜັກຕິດຕັ້ງ DG ຂອງຮະບນຈໍາຫນ່າຍ 50 ບັສ..... | 54 |
| 4.9 ຄໍາກຳລັງໄຟຟ້າຈົງສູງເລື່ອໜັກຕິດຕັ້ງ DG ຂອງຮະບນຈໍາຫນ່າຍ 59 ບັສ 58 ສາຍຈໍາຫນ່າຍ..... | 58 |

สารบัญภาค (ต่อ)

| ภาคที่ | หน้า |
|--|------|
| 4.10 ค่ากำลังไฟฟ้ารีแอคทีฟสูญเสียหลังติดตั้ง DG ของระบบจำหน่าย 59 บัส 58 สายจำหน่าย..... | 58 |
| 4.11 ขนาด DG ที่เหมาะสมของระบบจำหน่าย 59 บัส 58 สายจำหน่าย..... | 59 |
| 4.12 ขนาดแรงดันที่บัสต่างๆ ก่อนและหลังติดตั้ง DG ของระบบจำหน่าย 59 บัส..... | 60 |



คำอธิบายสัญลักษณ์และคำย่อ

| | |
|-----------------|---|
| สัญลักษณ์ | ความหมาย |
| C_1, C_2 | ค่าคงที่ความเร่ง |
| $gbest_d$ | ตำแหน่งที่ดีที่สุดในทุกๆ อนุภาคของตัวแปร d |
| $g_{i,j}$ | ความนำไฟฟ้าจากบัส i ไปยังบัส j |
| I | กระแสที่ไหลระหว่างระบบกับ DG |
| I_{min} | กระแสต่ำสุด |
| I_{max} | กระแสสูงสุด |
| J | กระแสในสาย |
| t | รอบการคำนวณปัจจุบัน |
| k | รอบการคำนวณทั้งหมด |
| L_1 | เป็นโหนดต้นทาง |
| L_2 | เป็นโหนดปลายทาง |
| N_B | จำนวนบัส |
| N_C | จำนวนตัวอุปกรณ์ชุดเชยกำลังไฟฟารีแอคทีฟในระบบ |
| N_G | จำนวนเครื่องกำเนิดไฟฟ้าทั้งหมดในระบบ |
| N_L | จำนวนสายส่งทั้งหมด |
| N_T | จำนวนของหม้อแปลงที่ติดตั้งในระบบ |
| P | กำลังไฟฟ้าจริง |
| P_i | กำลังไฟฟ้าจริงของ DG |
| $P(x)$ | ฟังก์ชันปรับโทย |
| P_{loss} | กำลังไฟฟ้าจริงที่สูญเสียในสายส่งทั้งหมด |
| $P_{G,i}$ | กำลังไฟฟ้าจริงผลิตที่บัส i |
| $P_{G,i}^{min}$ | ขอบเขตของกำลังไฟฟ้าจริงต่ำสุด |
| $P_{G,i}^{max}$ | ขอบเขตของกำลังไฟฟ้าจริงสูงสุด |
| $P_{D,i}$ | ความต้องการกำลังไฟฟ้าจริงที่บัส i |
| $Pbest_{id}$ | ตำแหน่งที่ดีที่สุดของอนุภาค i ของตัวแปร d |
| Q | กำลังไฟฟารีแอคทีฟ |

คำอธิบายสัญลักษณ์และคำย่อ (ต่อ)

| สัญลักษณ์ | ความหมาย |
|------------------------------|--|
| Q_{loss} | กำลังไฟฟ้ารีแอคทีฟที่สูญเสียในสายส่งทั้งหมด |
| $Q_{G,i}$ | กำลังไฟฟ้ารีแอคทีฟผลิตที่บัส i |
| $Q_{D,i}$ | ความต้องการกำลังไฟฟ้ารีแอคทีฟที่บัส i |
| $Q_{\text{comp},i}^{\min}$ | ขอบเขตกำลังไฟฟ้ารีแอคทีฟต่ำสุด |
| $Q_{\text{comp},i}^{\max}$ | ขอบเขตกำลังไฟฟ้ารีแอคทีฟสูงสุด |
| R | รีซิสแตนซ์ของสาย |
| S | กำลังไฟฟ้าประภากู้ |
| S_i | กำลังไฟฟ้าประภากู้ที่โหนด i |
| T_i^{\min} | ขอบเขตแท็ปหนึ่งที่เปลี่ยนต่ำสุด |
| T_i^{\max} | ขอบเขตแท็ปหนึ่งที่เปลี่ยนสูงสุด |
| V | แรงดันที่บัส |
| V_i | แรงดันที่บัส i |
| V_i^{\min} | ขอบเขตแรงดันต่ำสุด |
| V_i^{\max} | ขอบเขตแรงดันสูงสุด |
| V_j | แรงดันบัสที่ j |
| V_{ref} | แรงดันอ้างอิง |
| V_{ac} | แรงดันไฟฟ้ากระแสสลับ |
| V_{dc} | แรงดันไฟฟ้ากระแสตรง |
| $V_{\text{dc}_{\min}}$ | แรงดันไฟฟ้ากระแสตรงต่ำสุด |
| $V_{\text{dc}_{\text{ref}}}$ | แรงดันไฟฟ้ากระแสตรงอ้างอิง |
| V_{\min} | แรงดันต่ำสุด |
| V_{\max} | แรงดันสูงสุด |
| $V_i^{(k-1)}$ | แรงดันที่โหนด i ในรอบคำนวณที่ k-1 |
| $\Delta V_j^{(k)}$ | ค่าความคลาดเคลื่อนของแรงดันที่บัส j หลังการคำนวณในรอบที่ k |
| $V_j^{(k)}$ | แรงดันที่บัส j ในรอบการคำนวณที่ k |
| $V_j^{(k-1)}$ | แรงดันที่บัส j ในรอบการคำนวณที่ k-1 |

คำอธิบายสัญลักษณ์และคำย่อ (ต่อ)

| | |
|----------------|---|
| สัญลักษณ์ | ความหมาย |
| V_{id}^t | ความเร็วในการเปลี่ยนตำแหน่งของอนุภาค i ของตัวแปร d ในรอบการคำนวณที่ t |
| V_{id}^{t+1} | ความเร็วในการเปลี่ยนตำแหน่งของอนุภาค i ของตัวแปร d ในรอบการคำนวณที่ $t+1$ |
| W | ค่าถ่วงน้ำหนัก |
| W_{min} | ขอบเขตล่างของค่าถ่วงน้ำหนัก |
| W_{max} | ขอบเขตบนของค่าถ่วงน้ำหนัก |
| $X(x)$ | เทอมปรับโภย |
| X_{id}^t | ตำแหน่งของอนุภาค i ของตัวแปร d ในรอบการคำนวณที่ t |
| X_{id}^{t+1} | ตำแหน่งของอนุภาค i ของตัวแปร d ในรอบการคำนวณที่ $t+1$ |
| Y_i | ผลรวมของแอตมิตรแตนซ์ส่วนลงดินทั้งหมดที่โอนด i |
| $Y_{i,j}$ | ขนาดแอตมิตรแตนซ์บัส i ไปยังบัส j |
| Z_L | ค่าอิมพีเดนซ์อนุกรมของสายส่งช่วง L |
| δ | มุมของแรงดันที่บัส |
| δ_i | มุมแรงดันบัสที่ i |
| δ_j | มุมแรงดันบัสที่ j |
| ϵ | ค่าความคลาดเคลื่อนที่พอยอมรับได้ |
| β | มุมเพลส |
| $\theta_{i,j}$ | มุมแอตมิตรแตนซ์บัส i ไปยังบัส j |
| DG | Distribution Generator |
| GA | Genetic Algorithm |
| Ft | Fuel Adjustment Charge (at the given time) |
| KCL | Kirchhoff Current Law |
| KVL | Kirchhoff Voltage Law |
| PEA | Provincial Electricity Authority |
| PSO | Particle Swarm Optimization |

คำอธิบายสัญลักษณ์และคำย่อ (ต่อ)

| | |
|-----------|---------------------------|
| สัญลักษณ์ | ความหมาย |
| p.u. | Per Unit |
| RBTS | Roy Billinton Test System |
| TOU | Time of Use |
| VSPP | Very Small Power Producer |



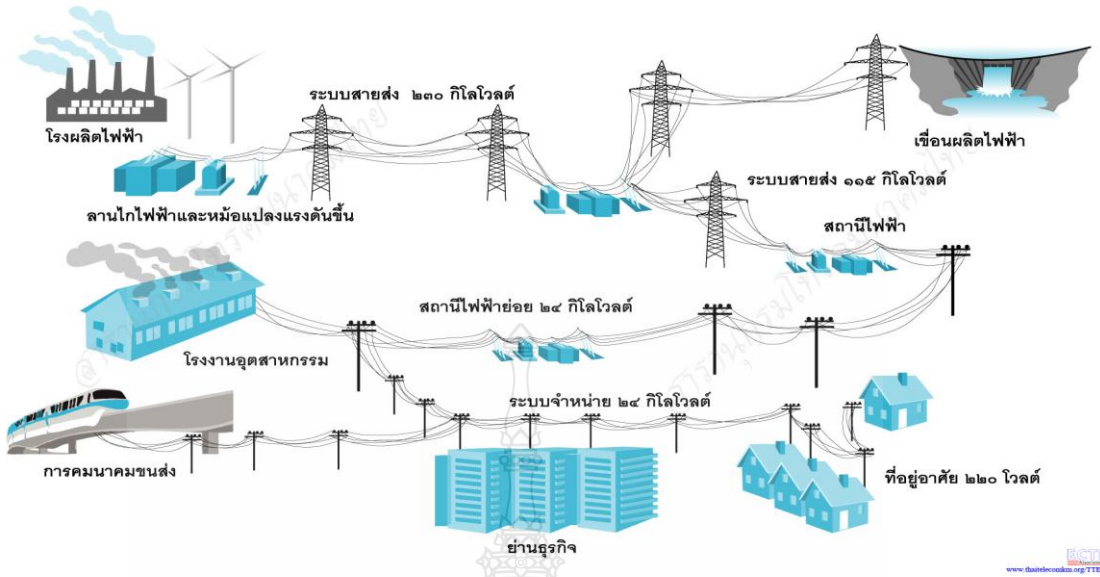
บทที่ 1

บทนำ

1.1 ความเป็นมาและความสำคัญของปัจจุบัน

ปัจจุบันระบบการจ่ายกระแสไฟฟ้าในประเทศไทย มีหน่วยงานรัฐวิสาหกิจ 3 แห่งเป็นผู้ดูแล ได้แก่ การไฟฟ้าฝ่ายผลิตแห่งประเทศไทย (กฟผ.) ทำหน้าที่ผลิตหรือจัดหาพลังงานไฟฟ้าและส่งจ่ายไปยังการไฟฟ้าจำหน่าย มีการแบ่งพื้นที่ดูแลโดยการไฟฟ้านครหลวง (กฟน.) รับผิดชอบพื้นที่จังหวัดคุณฑบุรี จังหวัดสมุทรปราการ และกรุงเทพมหานคร ส่วนจังหวัดอื่นๆ นอกเหนือจาก 3 จังหวัดดังกล่าวข้างต้น เป็นพื้นที่ในความดูแลของการไฟฟ้าส่วนภูมิภาค (กฟภ.) ซึ่งมีการกิจ忙กในการผลิต การส่ง และจำหน่ายพลังงานไฟฟ้าให้แก่ภาคอุตสาหกรรมและประชาชนทั่วไป ครอบคลุมพื้นที่ประมาณ 510,000 ตารางกิโลเมตร คิดเป็นร้อยละ 99 ของพื้นที่ทั้งประเทศ [1]

ระบบการจ่ายกำลังไฟฟ้า (Distribution System) ของ กฟภ. เริ่มจากการรับกำลังไฟฟ้าจาก กฟผ. ที่ระดับแรงดันสูง 115-230 kV โดยส่วนหนึ่งจัดจำหน่ายไปยังลูกค้าโดยตรงให้แก่ภาคธุรกิจ อุตสาหกรรมขนาดใหญ่ บางส่วนจะแปลงแรงดันโดยผ่านหม้อแปลงไฟฟ้ากำลัง (Power Transformer) ที่สถานีไฟฟ้า (Substation) ปรับลดระดับแรงดันลงเป็นระบบ 22-33 kV ผ่านหม้อแปลงลดระดับแรงดันของ กฟภ. ปรับลดระดับแรงดันเป็น 400/230 V เรียกว่าระบบแรงดันต่ำ จัดจำหน่ายให้แก่ธุรกิจขนาดเล็ก ประชาชน บ้านอยู่อาศัยทั่วไป โดยแกนของระบบไฟฟ้ากำลังแสดงดังภาพที่



ภาพที่ 1.1 โครงสร้างของระบบไฟฟ้ากำลัง

ส่วนของระบบการผลิตพลังงานไฟฟ้าสำหรับใช้ภายในประเทศ นอกจากการผลิตพลังงานไฟฟ้าโดยการไฟฟ้าฝ่ายผลิตแล้ว รัฐบาลยังมีนโยบายที่จะส่งเสริมให้มีการรับซื้อไฟฟ้าจากผู้ผลิตไฟฟ้านอกชุมชน เพื่อเป็นการแบ่งเบาภาระด้านการลงทุนของรัฐในการสร้างโรงไฟฟ้า และเป็นการเปิดโอกาสให้มีการแข่งขันการผลิตพลังงานไฟฟ้า ซึ่งมีการดำเนินการเรื่อยมาจนถึงปี 2545 ได้มีการส่งเสริมให้การไฟฟ้าจำหน่าย ได้แก่ กฟน. และ กฟก. สามารถประมวลผลซื้อขายไฟฟ้าจากผู้ผลิตไฟฟ้านาดเล็กมาก (Very Small Power Producer: VSPP) ที่มีกำลังการผลิตไม่เกิน 1 MW แต่ด้วยข้อจำกัดของการผลิตที่น้อยมาก ความคุ้มค่าต่อการลงทุนอยู่ในระดับต่ำจำนวน VSPP ในขณะนี้จึงมีจำนวนน้อยมาก เช่น กัน ต่อมาในปี 2549 คณะกรรมการนโยบายพลังงานแห่งชาติ (กพช.) ได้ประกาศให้การไฟฟ้าฝ่ายจำหน่ายสามารถซื้อขายกำลังการซื้อไฟฟ้าจาก VSPP ได้ไม่เกิน 10 MW ที่ใช้พลังงานหมุนเวียน และระบบผลิตไฟฟ้าพลังงานความร้อนร่วม (Cogeneration) อีกทั้งยังกำหนดส่วนเพิ่มราคารับซื้อไฟฟ้า (Adder) ให้ตามเทคโนโลยีหรือเชื้อเพลิงที่ให้ในการผลิตไฟฟ้า ทำให้ปัจจุบันมี VSPP จำนวนมากขอจำหน่ายพลังงานไฟฟ้าขนาดเข้ากับระบบของการไฟฟ้าฝ่ายจำหน่าย โดยเฉพาะในพื้นที่รับผิดชอบของ กฟก. ซึ่งเป็นเขตชนบท มีพลังงานหมุนเวียนจำนวนมากและหลากหลาย เช่น การผลิตไฟฟ้าจากพลังงานแสงอาทิตย์ เป็นต้น

โดยปกติระบบจำหน่ายไฟฟ้าของ กฟก. มีระบบการจ่ายไฟฟ้าแบบเรเดียล กระแสไฟฟ้าจะไหลจากแหล่งจ่ายไฟไปยัง负荷ในทิศทางเดียว แต่เมื่อมี VSPP ติดตั้งเครื่องกำเนิดไฟฟ้า (Distributed

Generator: DG) ต่อเขื่อมและจ่ายไฟฟ้านานเข้ากับระบบจำหน่ายไฟฟ้า ทำให้การไฟฟ่องกระแสไฟฟ้ามีการเปลี่ยนแปลงไปทั้งขนาดและทิศทาง การเปลี่ยนแปลงการไฟฟองกระแสไฟฟ้า ดังกล่าวในส่วนของผลกระทบทางด้านเทคนิคต่างๆ ในระบบจำหน่ายของการไฟฟ้าฝ่ายจำหน่ายไม่น้อย อาทิ กำลังไฟฟ้า (Power) ตัวประกอบกำลัง (Power Factor) แรงดันไฟฟาร่วมถึงกระแสลัดวงจร (Fault Level) และเมื่อมีผู้สนับสนุนผลิตไฟฟ้านานเด็กมากเพิ่มจำนวนมากขึ้นเรื่อยๆ ทำให้เกิดผลกระทบต่อการเปลี่ยนแปลงกำลังไฟฟ้าสูญเสียในระบบจำหน่ายของการไฟฟ้าฝ่ายจำหน่ายมากขึ้นด้วย ซึ่งจะทำให้สูงขึ้นหรือลดลงนั้นขึ้นอยู่กับขนาดและตำแหน่งการติดตั้ง DG ที่จ่ายไฟฟ้าเข้าระบบจำหน่าย รวมถึงภาวะโหลดในวงจรนั้นๆ ด้วย โดยการไฟฟ้าฝ่ายจำหน่ายจะต้องเป็นผู้ดำเนินการจัดการกับผลกระทบนี้ ทั้งที่ไม่สามารถกำหนดเจาะจงขนาดและตำแหน่งการติดตั้ง DG ของ VSPP ได้อย่างชัดเจน

อย่างไรก็ตาม ได้มีการออกระเบียบการซื้อไฟฟ้าจาก VSPP เกี่ยวกับหลักการกำหนดอัตราค่าไฟฟ้าในการซื้อขายไฟฟ้ากับ VSPP ตอนหนึ่งสรุปความได้ว่า VSPP ที่มีปริมาณพลังงานไฟฟ้าเสนอขายตามสัญญาเกิน 1 MW ณ จุดรับซื้อไฟฟ้า ปริมาณพลังงานไฟฟ้าที่นำมาคำนวณจะถูกหักออก ร้อยละ 2 ของปริมาณพลังงานไฟฟ้าที่ขายให้การไฟฟ้าฝ่ายจำหน่าย เพื่อเป็นค่าดำเนินการโครงการรับซื้อไฟฟ้าจาก VSPP ซึ่งค่าดำเนินการดังกล่าวในส่วนหนึ่งเป็นการชดเชยกำลังไฟฟ้าสูญเสีย (Loss) นั้นเอง

วิทยานิพนธ์นี้จะเน้นการวิเคราะห์หาตำแหน่งการติดตั้งและขนาดของเครื่องกำเนิดไฟฟ้าแบบกระจาย ที่เหมาะสมในระบบจำหน่าย เพื่อช่วยในลดกำลังการสูญเสียในระบบจำหน่ายและความน่าเชื่อถือได้ของระบบมากยิ่งขึ้น ในส่วนของการหาค่าความเหมาะสมใช้วิธีกลุ่มอนุภาค ขณะที่ความสูญเสียของระบบและแรงดันที่จุดโหลดคำนวณได้จากการไฟฟองกำลังไฟฟ้าในระบบจำหน่ายแบบกระแสข้อมูลและแรงดันไปข้างหน้า โดยพิจารณาถึงการทำงานของบัสที่ถูกติดตั้งเข้าไปแล้วระบบมีการจ่ายพลังงานไฟฟ้าที่เพียงพอหรือไม่ ถ้าติดตั้งเข้าไปแล้วการจ่ายพลังงานไฟฟ้าที่บัสนี้ไม่เพียงพอ ก็จะต้องทำการการชดเชยกำลังไฟฟ้าเข้าสู่ระบบ เพื่อเพิ่มคุณภาพและเสถียรภาพของระบบไฟฟ้าให้ดียิ่งขึ้น ในส่วนการวิเคราะห์แบบจำลองของระบบจำหน่าย ซึ่งกระทำด้วยโปรแกรมคอมพิวเตอร์เพื่อหาตำแหน่งที่เหมาะสม โดยการวิเคราะห์ใช้แบบจำลองของระบบจำหน่ายแบบเรเดียล 26 บัส 50 บัส และ 59 บัส ซึ่งดัดแปลงมาจากส่วนหนึ่งในระบบจำหน่ายของการไฟฟ้าส่วนภูมิภาค เขต 1 ภาคกลาง [2] เป็นประเด็นที่นำเสนอในวิทยานิพนธ์นี้

1.2 ความมุ่งหมายและวัตถุประสงค์ของวิทยานิพนธ์

1.2.1 เพื่อลดกำลังไฟฟ้าสูญเสียและเพิ่มความน่าเชื่อถือของระบบจำหน่ายโดยใช้วิธีกลุ่มอนุภาคในการแก้ปัญหาการหาคำตอบที่ดีที่สุด

1.2.2 เพื่อศึกษาหาตำแหน่งและขนาดของเครื่องกำเนิดไฟฟ้าแบบกระจายที่เหมาะสมในระบบจำหน่ายของการไฟฟ้าส่วนภูมิภาค โดยใช้วิธีกลุ่มอนุภาค

1.2.3 เพื่อศึกษาการเปรียบการจำลองการตำแหน่งติดตั้งเครื่องกำเนิดไฟฟ้าแบบกระจายโดยวิธีกลุ่มอนุภาคกับวิธีขั้นตอนทางพัฒนาศาสตร์

1.3 สมมุตฐานของวิทยานิพนธ์

การศึกษาการหาตำแหน่งและขนาดของเครื่องกำเนิดไฟฟ้าแบบกระจายที่เหมาะสมในระบบจำหน่ายโดยใช้วิธีกลุ่มอนุภาค เป็นการศึกษาที่ช่วยให้มีการวางแผนเพื่อรักษาเสถียรภาพของระบบไฟฟ้าให้มีประสิทธิภาพมากยิ่งขึ้น

1.4 ขอบเขตของวิทยานิพนธ์

1.4.1 วิเคราะห์ผลกระทบกำลังไฟฟ้าสูญเสียก่อนและหลังติดตั้งเครื่องกำเนิดไฟฟ้าแบบกระจายเข้ากับระบบจำหน่ายของการไฟฟ้าส่วนภูมิภาค

1.4.2 วิเคราะห์ตำแหน่งและขนาดของเครื่องกำเนิดไฟฟ้าแบบกระจายที่เหมาะสมของระบบจำหน่าย 26 บัส 50 บัส และ 59 บัส ของการไฟฟ้าส่วนภูมิภาคเขต 1 ภาคกลาง โดยใช้วิธีกลุ่มอนุภาค

1.4.3 เปรียบเทียบผลการจำลองการตำแหน่งติดตั้งเครื่องกำเนิดไฟฟ้าแบบกระจายโดยวิธีกลุ่มอนุภาคกับวิธีขั้นตอนทางพัฒนาศาสตร์

1.5 ขั้นตอนการทำวิทยานิพนธ์

ทำการศึกษาข้อมูลเพื่อนำมาวิเคราะห์แบบจำลองระบบจำหน่ายของการไฟฟ้าส่วนภูมิภาค เขต 1 ภาคกลาง เพื่อหาตำแหน่งและขนาดของเครื่องกำเนิดไฟฟ้าแบบกระจายที่เหมาะสมโดยใช้วิธีกลุ่มอนุภาคและหลังจากที่ทำการติดตั้งเครื่องกำเนิดไฟฟ้าแบบกระจายเข้าไปในระบบจำหน่ายแล้ว โดยจะมีขั้นตอนในการศึกษาดังต่อไปนี้

1.5.1 ศึกษางานวิจัยที่เกี่ยวข้องโดยศึกษาจากตำราและบทความทางวิชาการต่าง

1.5.2 ศึกษาวิธีกลุ่มอนุภาคในการหาคำตอบที่เหมาะสมที่สุด

1.5.3 ศึกษาและรวบรวมข้อมูลของระบบจำหน่าย 22 kV ของการไฟฟ้าส่วนภูมิภาค

1.5.4 สร้างแบบจำลองระบบจำหน่าย 22 kV

1.5.5 ออกรูปแบบอัลกอริธึม รับข้อมูลในระบบจำหน่ายมาวิเคราะห์โดยใช้วิธีกลุ่มอนุภาคในการหาค่าตอบที่เหมาะสมที่สุด โดยใช้โปรแกรม MATLAB ในการออกแบบอัลกอริธึม

1.5.6 วิเคราะห์แบบจำลองระบบจำหน่ายของการไฟฟ้าส่วนภูมิภาค เขต 1 ภาคกลาง ด้วยโปรแกรมคอมพิวเตอร์ เพื่อหาตำแหน่งและขนาดของเครื่องกำเนิดไฟฟ้าแบบกระจายที่เหมาะสมในระบบจำหน่าย

1.5.7 วิเคราะห์กำลังไฟฟ้าสูญเสียเมื่อติดตั้งเครื่องกำเนิดไฟฟ้าแบบกระจายเข้ากับระบบจำหน่ายของการไฟฟ้าส่วนภูมิภาค เขต 1 ภาคกลาง

1.5.8 วิเคราะห์ผลการทดลองและอภิปรายผลการวิจัย

1.5.9 จัดทำรายงานการวิจัยและสรุปผลการดำเนินงาน

1.6 ข้อจำกัดของวิทยานิพนธ์

1.6.1 เครื่องกำเนิดไฟฟ้าแบบกระจายที่ใช้ศึกษานี้มีขนาดไม่เกิน 10 MW

1.6.2 ระบบจำหน่ายใช้ระบบจำหน่ายที่ระดับแรงดันไฟฟ้า 22 kV

1.6.3 การวิเคราะห์กำลังไฟฟ้าสูญเสียในระบบจำหน่ายก่อนและหลังติดตั้งเครื่องกำเนิดไฟฟ้าแบบกระจาย

1.6.4 การศึกษาใช้โปรแกรมช่วยในการวิเคราะห์เพื่อศึกษาในเรื่องกำลังไฟฟ้าสูญเสียในระบบจำหน่ายก่อนและหลังมีเครื่องกำเนิดไฟฟ้าแบบกระจายเข้มต่อเข้ามาในระบบจำหน่าย ในงานวิจัยนี้ใช้โปรแกรม MATLAB

1.7 ประโยชน์ที่คาดว่าจะได้รับ

1.7.1 เพื่อให้ทราบถึงการหาตำแหน่งและขนาดการติดตั้งเครื่องกำเนิดไฟฟ้าแบบกระจายที่เหมาะสมเข้ากับระบบจำหน่ายของการไฟฟ้าส่วนภูมิภาค

1.7.2 เพื่อให้เข้าใจถึงการวิเคราะห์และการแก้ปัญหาด้วยโปรแกรมคอมพิวเตอร์เพื่อกำหนดตำแหน่งการติดตั้งและขนาดของเครื่องกำเนิดไฟฟ้าแบบกระจายที่เหมาะสมเข้ากับระบบจำหน่ายของ การไฟฟ้าส่วนภูมิภาค โดยใช้วิธีกลุ่มอนุภาค

1.7.3 เพื่อให้การไฟฟ้าส่วนภูมิภาค สามารถนำผลการวิจัยนี้ไปปรับใช้ในการพิจารณา VSPP ที่จะเชื่อมเข้ากับระบบจำหน่ายต่อไป

บทที่ 2

ทฤษฎีและงานวิจัยที่เกี่ยวข้อง

บทนี้จะกล่าวถึงทฤษฎีและงานวิจัยที่มีผู้ทำการวิจัยไว้แล้ว และมีเนื้อหาที่เกี่ยวข้อง สอดคล้องกับงานวิจัยที่กำลังศึกษาอยู่ทั้งในส่วนที่เป็นงานวิจัยขององค์กรต่างๆ และผลงานวิจัยระดับ บัณฑิตศึกษาจากสถาบันต่างๆ ที่ได้ดำเนินการไปแล้ว เพื่อเป็นแนวทางในการศึกษาปรับปรุง พัฒนาการดำเนินการวิจัยให้เกิดประสิทธิภาพ โดยมีส่วนประกอบต่างๆ ที่เกี่ยวข้องกับงานวิจัยใน ลำดับต่อไปนี้

2.1 งานวิจัยที่เกี่ยวข้อง

กนกรรรม กลุ่มอียม [3] ได้นำเสนองานวิจัยเรื่อง การหาตำแหน่งการติดตั้งสวิตช์ตัดตอน ที่เหมาะสมในระบบจำหน่ายแบบเรเดียล โดยวิธีเชิงพันธุกรรม ซึ่งมาจากปัญหาการขาดความ นำ เชื่อถือกำลังไฟฟ้าในระบบจำหน่าย การแก้ปัญหาโดยการติดตั้งสวิตช์ตัดตอน โดยวิธีเชิงพันธุกรรม จะช่วยปรับปรุงความนำ เชื่อถือได้ในระบบจำหน่าย โดยสวิตช์ตัดตอนเป็นอุปกรณ์ที่จะช่วยแยกส่วน ที่เกิดฟอลต์ (Fault) ออกจากระบบ ดังนั้นในส่วนที่เป็นปกติไม่ได้เกิดความผิดพร่องยังคงสามารถ ได้รับการจ่ายไฟฟ้า ทำให้สามารถจ่ายไฟฟ้าให้กับทุกๆ จุด โหลดที่อยู่ระหว่างแหล่งจ่ายและจุดที่จุดที่ ถูกแยกออกก่อนที่ขึ้นตอนการซ่อมของอุปกรณ์ที่เกิดความผิดพร่องจะเสร็จสิ้น การหาตำแหน่งที่ เหมาะสมของสวิตช์ตัดตอนสามารถถูกสร้างเป็นปัญหาการหาค่าความเหมาะสมเชิงจัดหมู่ คำตอน ของปัญหาดังกล่าวอ้างอิงกับวิธีเชิงพันธุกรรมและการวิเคราะห์รากความเชื่อถือได้ วิธีเชิงพันธุกรรม คือ เทคนิคการค้นหาแบบสุ่มที่อ้างอิงกับหลักการเชิงพันธุกรรมและการเลือกตามธรรมชาติ ขึ้นตอน ดังกล่าวทำให้ประชารัฐซึ่งประกอบหลายๆ โครงการโอมิกัดการวิวัฒนาการ โดยตัวดำเนินการพื้นฐาน สามตัว ตัวดำเนินการดังกล่าวคือ การสลับสายพันธุ์ การสีบสายพันธุ์ และการกลายพันธุ์ ขึ้นตอนการ คำนวณ การให้โหลดกำลังไฟฟ้าในระบบจำหน่ายที่อ้างอิงกับเมทริกสามเหลี่ยมบนแบบสਪาร์ทุกที่ นำมาใช้ในการคำนวณกระแสในสายและแรงดันที่จุดโหลด เพื่อนำมาใช้ในการทำโทมโอมิกที่ ละเอียดมากขึ้นของกระแสในสายและแรงดันจุดโหลดในปัญหาค่าความเหมาะสม สามารถหา ตำแหน่งที่เหมาะสมสวิตช์ตัดตอนการวิเคราะห์วิธีการเชิงพันธุกรรมและค่าความเชื่อถือได้ โดยมี ความสมดุลกันระหว่างค่าใช้จ่ายของการไฟฟ้าและค่าความเสียหายของผู้ใช้ไฟฟ้า วิธีการนำเสนอ การทดสอบกับระบบจำหน่าย RBTS ซึ่งประกอบไปด้วย 4 สายป้อน 22 จุดโหลด และ ระบบจำหน่าย ของการไฟฟ้าส่วนภูมิภาคซึ่งประกอบสายป้อน 2 สายป้อน 26 จุดโหลด ซึ่งผลทดสอบการคำนวณ

แสดงให้เห็นว่าการติดตั้งสวิตช์ตัดตอนสามารถนำไปใช้เพิ่มความเชื่อถือได้ในระบบจำหน่ายข้อสังเกตงานวิจัยนี้คือ ต้องพิจารณาตำแหน่งติดตั้งสวิตช์ตัดตอนร่วมกับอุปกรณ์ป้องกันอื่นให้ทำงานร่วมกันได้ เช่น เชอร์กิตเบรคเกอร์ รีโภลสเซอร์ ต้องคำนึงถึงแบบแผนการประยัดฟิวส์คือ ต้องให้เชอร์กิตเบรคเกอร์ทำงานก่อนเมื่อเกิดความผิดพร่องและต้องนำความผิดพร่องแบบชั่วขณะมาพิจารณาร่วมกับความผิดพร่องแบบตารางด้วย

ยุทธนา เอี่ยมสมบูรณ์ [4] ได้นำเสนองานวิจัย เรื่อง การหาตำแหน่งติดตั้งและขนาดของเครื่องกำเนิดไฟฟ้าแบบกระจายที่เหมาะสม เพื่อลดกำลังสูญเสียและเพิ่มความน่าเชื่อถือได้ในระบบจำหน่ายโดยวิธีค้นหาแบบตาม ซึ่งมาจากปัญหาการขาดความน่าเชื่อถือกำลังไฟฟ้า ประโยชน์การติดตั้งเครื่องกำเนิดไฟฟ้าแบบกระจายในระบบจำหน่ายคือ การลดลงของกำลังไฟฟ้าสูญเสียในระบบให้ดีขึ้น หากตำแหน่งในการติดตั้งและขนาดของเครื่องกำเนิดไฟฟ้าแบบกระจายได้รับการพิจารณาที่เหมาะสม ปัญหาหลักของเครื่องกำเนิดไฟฟ้าขนาดเล็กคือ การหาตำแหน่งและขนาดที่เหมาะสมในระบบจำหน่าย เพื่อที่จะลดกำลังสูญเสียและค่าความเสียหายอันเนื่องมาจากการผู้ใช้ไฟฟ้าขึ้นอยู่กับตำแหน่ง จำนวนเครื่องกำเนิดไฟฟ้าแบบกระจาย ขนาดกำลังผลิตโดยรวมของเครื่องกำเนิดไฟฟ้าแบบกระจาย แรงดันที่บัส ความสามารถในการรองรับกระแสของสายป้อน และเครื่องกำเนิดไฟฟ้าแบบกระจายหนึ่งเครื่องสำหรับหนึ่งตำแหน่งติดตั้ง เทคนิกที่ใช้ในการแก้ปัญหาการทำให้ค่าความสูญเสียมีค่าต่ำสุดคือ การค้นหาแบบตาม การค้นหาแบบนี้เป็นการค้นหาเฉพาะที่ที่ใช้หน่วยความจำเพื่อหลักเลี่ยงคำตอบข้างเคียงเฉพาะที่ และช่วยให้เคลื่อนที่ออกจากจุดเหมาะสมเฉพาะที่ การแก้ปัญหาดังกล่าวลดค่าความเสียหายอันเนื่องมาจากการผู้ใช้ไฟฟ้าให้มีค่าต่ำสุด และใช้วิธีการค้นหาแบบตามร่วมกับการวิเคราะห์ค่าความเชื่อถือได้ที่ใช้เป็นตัวแปรค่าความเสียหายที่เกี่ยวข้องกับไฟฟ้าดับ วิธีการนี้ได้ทำการทดสอบกับระบบจำหน่ายของระบบทดสอบ RBTS บัส 2 ประกอบด้วย 36 สายป้อน 22 จุดโหลด และระบบจำหน่ายของการไฟฟ้าส่วนภูมิภาค KWA01 ประกอบด้วย 9 สายป้อน 6 จุดโหลด และ KWA06 ประกอบด้วย 28 สายป้อน 20 จุดโหลด เป็นของสถานีไฟฟ้าคลองขวาง จังหวัดฉะเชิงเทรา ซึ่งผลทดสอบการคำนวณแสดงให้เห็นว่าการติดตั้งเครื่องกำเนิดไฟฟ้าแบบกระจายสามารถนำไปใช้เพิ่มความเชื่อถือได้ในระบบจำหน่าย ข้อสังเกตในงานวิจัยนี้คือ ผลกระทบของลำดับการทำงานร่วมกันของอุปกรณ์ป้องกันที่ทำงานไม่ได้ตามเงื่อนไขเดิม หลังจากมีการติดตั้งเครื่องกำเนิดไฟฟ้าแบบกระจายเข้าไป

นัฐโชติ รักไทยเจริญ [5] ได้นำเสนองานวิจัย เรื่อง แบบจำลองการติดตั้งเครื่องกำเนิดไฟฟ้าแบบกระจาย เพื่อลดกำลังไฟฟ้าสูญเสียในระบบจำหน่ายก่อร่วมกับลักษณะนี้ การวิเคราะห์ผลกระทบของการทำงานเครื่องกำเนิดไฟฟ้าขนาดเล็กเข้าสู่ระบบจำหน่าย ดังนี้

1) ด้านกำลังไฟฟ้าสูญเสีย การติดตั้งเครื่องกำเนิดไฟฟ้าแบบกระจายสามารถช่วยจ่ายกำลังไฟฟ้าในระบบจำหน่ายทำให้ระบบจำหน่ายรับกำลังไฟฟ้าจากระบบส่งผลดัง และทำหน้าที่จ่ายโหลดหรือผู้ใช้ไฟในช่วงโหลดสูงสุด ทำให้ช่วยลดการผลิตกำลังไฟฟ้าจากระบบผลิตได้อีกด้วย จากเหตุผลดังกล่าวยังให้กำลังไฟฟ้าสูญเสียในระบบจำหน่ายลดลง ถ้าติดตั้งเครื่องกำเนิดไฟฟ้าที่มีขนาดเกินกว่าโหลด หรือไม่เหมาะสมในทางปฏิบัติยังผลให้ค่ากำลังไฟฟ้าสูญเสียเพิ่มสูงขึ้นตามลำดับ

2) ด้านแรงดันไฟฟ้า การติดตั้งเครื่องกำเนิดไฟฟ้าแบบกระจายเข้ามาในระบบจำหน่ายมีผลดีต่อระดับแรงดันไฟฟ้าในระบบจำหน่ายในเรื่องของการรักษาระดับแรงดันไฟฟ้าต่ำเกินกว่าที่กำหนด แต่ในบางครั้งก็จะส่งผลให้แรงดันสูงเกินในระบบจำหน่าย ได้ถูกขนาดของกำลังไฟฟ้าที่เครื่องกำเนิดไฟฟ้าแบบกระจาย จ่ายออกมากามากกว่าโหลดที่ต้องอยู่ในระบบจำหน่าย สามารถคำนวณแรงดันไฟฟ้าสูงเกินที่เกิดขึ้นจาก เครื่องกำเนิดไฟฟ้าแบบกระจาย

3) ด้านการจ่ายโหลดอย่างเหมาะสม การพิจารณาด้านการจ่ายโหลดอย่างเหมาะสมของการเครื่องกำเนิดไฟฟ้าที่ติดตั้งอยู่ ระบบผลิตกำลังไฟฟ้า และเครื่องกำเนิดไฟฟ้าแบบกระจายที่ติดตั้งในระบบจำหน่าย ทำให้กำลังไฟฟ้าที่ไหลไปยังโหลดผ่านสายส่งและสายจำหน่ายมีค่ากำลังไฟฟ้าสูญเสียลดลง และทำให้แรงดันเพิ่มขึ้น นอกเหนือจากนี้ทำให้เศรษฐศาสตร์ในระบบไฟฟ้ากำลังดี ขึ้นด้วย กล่าวคือ ทำให้สามารถจ่ายไฟฟ้าได้แบบประหยัด รวมถึงการส่งจ่ายไฟฟ้าได้อย่างถูกต้องและเหมาะสม ข้อสังเกตบทความนี้คือ ยังใช้แบบจำลองที่มีจำนวนบัสที่น้อย เป็นระบบจำหน่ายขนาดเล็กๆ

Wichit Krueasuk และ Weerakorn Ongsakul [6] ได้นำเสนองานวิจัย เรื่อง Optimal Placement of Distributed Generation Using Particle Swarm Optimization บทความนี้กล่าวถึงวิธีการคำนวณหาตำแหน่งการติดตั้งแหล่งพลังงานที่เหมาะสมของเครื่องกำเนิดไฟฟ้าแบบกระจาย โดยวิธีการเคลื่อนตัวของอนุภาคที่เหมาะสมที่สุด ซึ่งวัตถุประสงค์ของการหาตำแหน่งในที่นี้เพื่อลดกำลังจริงสูญเสียในระบบจำหน่ายให้มีค่าต่ำสุด วิธีการเคลื่อนตัวของอนุภาคนี้ถูกพัฒนาโดยโปรแกรมคอมพิวเตอร์เพื่อหาตำแหน่งตำแหน่งและขนาดกำลังการผลิตของเครื่องกำเนิดไฟฟ้าแบบกระจายที่มีจำนวนมากกว่าหนึ่งเครื่องและสีแบบซึ่งแต่ละครั้งในการคำนวณจะต้องพิจารณาการให้ของกำลังไฟฟ้าในระบบจำหน่ายเพื่อหาค่ากำลังจริงสูญเสีย การทดสอบได้มีการเปรียบเทียบระหว่างวิธีการเคลื่อนตัวของอนุภาคกับวิธีการคัดเลือกพันธุกรรมซึ่งได้คำนวณกับระบบไฟฟ้ามาตรฐาน 33 บัส และ 69 บัส ของ IEEE จากผลการทดสอบวิธีการเคลื่อนตัวของอนุภาคที่นำเสนอพบว่า การหาตำแหน่งและขนาดของเครื่องกำเนิดไฟฟ้าแบบกระจายหลายเครื่อง ได้คำนวณที่มีกำลังจริงสูญเสียในระบบไฟฟ้ามาตรฐานได้ต่ำสุดแต่ละแบบของเครื่องกำเนิดไฟฟ้าแบบกระจาย ในขณะที่แรงดันไฟฟ้าที่บัสต่างๆ ถูกปรับปรุงให้ดีขึ้นโดยมีค่าแรงดันคงคลัน้อยลงอย่างเห็นได้ชัด นอกจากนี้กระแสไฟฟ้าที่

ให้กลไกตัวนำของสายป้อนแต่ละส่วนยังมีค่าลดลงด้วย ข้อสังเกตบทความนิ่วซึ่งไม่ได้นำไปใช้กับแบบจำลองจริงในระบบจำหน่ายของการไฟฟ้าส่วนภูมิภาค

จากการวิจัยที่ได้ศึกษาผู้ทำวิทยานิพนธ์ได้เล็งเห็นถึงความสำคัญของระบบจำหน่ายไฟฟ้าแบบเรเดียล ว่าระบบจำหน่ายไฟฟ้าดังกล่าวนั้นมีความสำคัญต่อผู้ใช้ไฟมาก เนื่องจากเป็นระบบที่อยู่ใกล้กับผู้ใช้ไฟมากที่สุด เป็นระบบที่เชื่อมต่อระหว่างระบบส่งจ่ายไฟฟ้ากับผู้ใช้ไฟอีกว่าเป็นระบบที่มีความสำคัญอย่างยิ่งส่งผลกระทบต่อผู้ใช้ไฟโดยตรง จึงมีความสนใจศึกษาการวิเคราะห์หาตำแหน่งและขนาดของเครื่องกำเนิดไฟฟ้าแบบกระจายที่เหมาะสมในระบบจำหน่ายโดยวิธีการเคลื่อนตัวของกลุ่มอนุภาค ทำให้ระบบมีความน่าเชื่อถือเพิ่มขึ้น ส่งผลให้มีคุณภาพกำลังไฟฟ้าและเสถียรภาพกำลังไฟฟ้าของระบบจำหน่ายไฟฟ้าที่ดี ให้ผู้ใช้ไฟได้ใช้ไฟฟ้าอย่างมีประสิทธิภาพตรงตามความต้องการ

2.2 ระเบียบและหลักเกณฑ์

2.2.1 ระเบียบการไฟฟ้าฝ่ายจำหน่ายว่าด้วยการเดินเครื่องกำเนิดไฟฟ้าบน岸กับระบบของ การไฟฟ้าฝ่ายจำหน่าย (VSPP) [1]

เป็นระเบียบว่าด้วยการเดินเครื่องกำเนิดไฟฟ้าบน岸กับระบบจำหน่ายของการไฟฟ้าฝ่ายจำหน่าย สำหรับปริมาณพลังงานไฟฟ้าไม่เกิน 10 MW โดยเริ่มใช้ระเบียบนี้ตั้งแต่เดือนธันวาคม 2549 เป็นต้นไป มีประเด็นสำคัญพอสังเขป ดังนี้

1) ปริมาณพลังไฟฟ้าของ VSPP ที่จะจ่ายเข้ากับระบบสำหรับ กฟภ. กำหนด ปริมาณพลังไฟฟ้า ตามระดับแรงดัน คือ ระบบ 22 kV ไม่เกิน 10 MW/ ผู้ได้รับ

2) ปริมาณพลังไฟฟ้าจ่ายเข้าระบบ 66 kVA จะเชื่อมโยงกับระบบ ณ ระดับแรงดัน 22-33 kV ปริมาณพลังไฟฟ้าจ่ายเข้าระบบ ไม่เกิน 66kVA จะเชื่อมโยงกับระบบ ณ ระดับแรงดันที่ กฟภ. พิจารณา โดย กฟภ. สามารถขยายปริมาณพลังไฟฟ้าที่ผู้ผลิตไฟฟ้าขนาดเล็กมาก ทำการเชื่อมโยงระบบไฟฟ้า ได้ตามความเหมาะสมของระบบในแต่ละพื้นที่ โดยจะพิจารณาถึงความปลอดภัย มาตรฐานทางด้านบริการ และผลกระทบต่อส่วนรวมเป็นหลัก

3) กำหนดให้จุดติดตั้งเครื่องวัดหน่วยไฟฟ้าเป็นจุดแบ่งความรับผิดชอบระหว่างการไฟฟ้าฝ่ายจำหน่ายกับผู้ให้สัญญา

4) มาตรฐานระดับแรงดันสูงสุดและต่ำสุดของ กฟภ. ที่สภาวะปกติอยู่ที่ $\pm 5\%$ ของแรงดันปกติและในสภาวะไม่ปกติยอมรับได้ถึง $\pm 10\%$ ของแรงดันปกติ

5) รักษาระดับความถี่ไฟฟ้าให้อยู่ในระดับ 50 ± 0.5 รอบต่อนาที

6) รักษาค่า Power Factor อุญจัยในช่วง 0.85 Lagging

7) คำปริมาณความผิดเพี้ยนรูปคลื่นแรงดันและกระแสไฟฟ้าในระบบของการไฟฟ้าฝ่ายจำหน่ายวัดที่จุดต่อร่วม จะต้องไม่เกินค่าที่กำหนดตามข้อกำหนดเกณฑ์มาตรฐานอนิภัยวัสดุไฟฟ้าประเภทธุรกิจและอุตสาหกรรม

8) ต้องติดตั้งอุปกรณ์ป้องกันที่มีมาตรฐานและมีจำนวนชนิดที่การไฟฟ้าฝ่ายจำหน่ายยอมรับ

นอกจากที่ได้กล่าวไปแล้ว ยังมีข้อกำหนดอีกหลายประการที่เป็นลักษณะของระเบียบทั่วไป ซึ่งไม่มีความเกี่ยวเนื่องกับงานวิจัยนี้โดยตรง จึงไม่ขอกล่าวไว้ ณ ที่นี่

2.2.2 ระเบียบการรับซื้อไฟฟ้าจาก VSPP (สำหรับการผลิตไฟฟ้าจากพลังงานหมุนเวียน)

ได้กำหนดคำนิยามของ “พลังงานหมุนเวียน” ว่า หมายถึง พลังงานที่มีอุญจัยในธรรมชาติ เมื่อใช้หมดไปแล้วสามารถผลิตทดแทนได้ใหม่ในระยะเวลาอันสั้น เช่น พลังงานแสงอาทิตย์ พลังงานลม พลังน้ำ พลังงานคลื่นทะเลหรือมหาสมุทร พลังงานความร้อนใต้พิภพ พลังงานชีวมวล พลังงานก๊าซชีวภาพ รวมถึงพลังงานขี้นที่สองที่ผลิตจากพลังงานหมุนเวียนตามที่กล่าวมา เช่น เชื้อเพลิงจากพืช (Biofuel) เชลล์เชื้อเพลิง เป็นต้น ไม่รวมถึงพลังงานสิ่งปลูกปล้องที่ใช้แล้วหมดไปหรือแหล่งทรัพยากร่มากัด เช่น พลังงานที่ได้จากถ่านหิน หินน้ำมัน ทรายน้ำมัน น้ำมันดิน น้ำมันเชื้อเพลิง ก๊าซธรรมชาติ และนิวเคลียร์ เป็นต้น

1) วัตถุประสงค์ของการรับซื้อไฟฟ้าจาก VSPP

1. เพื่อส่งเสริมให้ผู้ผลิตไฟฟ้าขนาดเล็กมากเข้ามามีส่วนร่วมในการผลิตไฟฟ้า
2. เพื่อส่งเสริมให้มีการใช้ทรัพยากรากยในประเทศอย่างมีประสิทธิภาพ ลดการพึ่งพาการผลิตไฟฟ้าจากพลังงานเชิงพาณิชย์ ซึ่งเป็นการลดค่าใช้จ่ายการนำเข้าเชื้อเพลิงจากต่างประเทศ และลดผลกระทบต่อสิ่งแวดล้อม

3. เพื่อเป็นการกระจายโอกาสไปยังพื้นที่ห่างไกลให้มีส่วนร่วมในการผลิตไฟฟ้า

4. เพื่อช่วยแบ่งเบาภาระทางด้านการลงทุนของรัฐในระบบการผลิตและจำหน่ายไฟฟ้า

2) ลักษณะกระบวนการผลิตไฟฟ้าของ VSPP

การไฟฟ้าฝ่ายจำหน่ายจะรับซื้อไฟฟ้าจาก VSPP ที่ผลิตไฟฟ้าตามลักษณะกระบวนการผลิตดังต่อไปนี้

1. การผลิตไฟฟ้าจากพลังงานหมุนเวียน (Renewable Energy) เช่น พลังลม พลังแสงอาทิตย์ พลังน้ำขนาดเล็ก (Mini Hydroelectricity) พลังน้ำขนาดเล็กมาก (Micro Hydroelectricity) พลังคลื่นทะเลหรือมหาสมุทร พลังความร้อนใต้พิภพ และก๊าซชีวภาพ เป็นต้น

2. การผลิตไฟฟ้าจากเชื้อเพลิงที่เป็นเศษวัสดุเหลือใช้หรือที่แปรรูปมาจากการหือเศษวัสดุจากการผลิตผลิตภัณฑ์อุตสาหกรรมหรือการเกษตร ขยะมูลฝอย ไม่จากการปลูกป่าเป็นเชื้อเพลิง ทั้งนี้อาจจะใช้พลังงานสิ้นเปลืองที่ใช้แล้วหมดไปหรือแหล่งทรัพยากร่มีจำกัด แต่พลังงานความร้อนที่ได้จากการใช้เชื้อเพลิงเสริมในแต่ละรอบปี ต้องไม่เกินร้อยละ 25 ของพลังงานความร้อนทั้งหมดที่ใช้ในการผลิตไฟฟ้าในรอบปีนั้นๆ

3. การผลิตไฟฟ้าจากพลังงานที่ได้มาจากกระบวนการผลิต การใช้ หรือการขนส่ง พลังงานที่เหลือทิ้ง เช่น พลังงานไอน้ำที่เหลือจากการกระบวนการผลิตผลิตภัณฑ์อุตสาหกรรม หรือ การเกษตร พลังงานสูญเสียจากไอเสียเครื่องยนต์ พลังงานที่เป็นผลพลอยได้ เช่น พลังงานกล ซึ่งเป็น ผลพลอยได้จากการปรับลดความดันของก๊าซธรรมชาติ ทั้งนี้ ไม่ว่าจะการใช้พลังงานสิ้นเปลือง ที่ใช้ แล้วหมดไปมาผลิตไฟฟ้าโดยตรง

3) ค่าใช้จ่ายของ VSPP

ค่าใช้จ่ายที่ VSPP จะต้องรับภาระในการเชื่อมโยงระบบไฟฟ้าได้แก่ ค่าจำหน่ายไฟฟ้า จากชุดเชื่อมโยงระบบไฟฟ้าคงโรงไฟฟ้าของ VSPP ค่ามาตรฐานวัสดุไฟฟ้า ค่าใช้จ่ายเกี่ยวกับระบบป้องกันไฟฟ้าและค่าทดสอบอุปกรณ์ป้องกัน ยกเว้นกรณีที่อุปกรณ์ของผู้ผลิตไฟฟ้ามีระบบป้องกันรวมอยู่ แล้ว ทั้งนี้ จะไม่คิดค่าใช้จ่ายในการตรวจสอบแบบเพื่อการขนาดเครื่องสำหรับผู้ผลิตไฟฟ้าขนาดเล็ก มากที่เชื่อมโยงกับระบบแรงดันต่ำ โดยจะต้องชำระค่าใช้จ่ายดังกล่าวให้เสร็จสิ้นก่อนที่การไฟฟ้าฝ่าย จำหน่ายจะเริ่มดำเนินการเชื่อมโยงระบบไฟฟ้า

หลักการคิดค่าพลังงานไฟฟ้าในการซื้อขายไฟฟ้าระหว่าง การไฟฟ้าฝ่ายจำหน่าย กับ VSPP มีรายละเอียดการพิจารณา ดังนี้

1. การผลิตไฟฟ้าจากพลังงานที่ได้มาจากกระบวนการผลิต อัตราค่าพลังงานไฟฟ้าที่การไฟฟ้าฝ่ายจำหน่ายขายให้ VSPP เท่ากับอัตราค่าพลังงานไฟฟ้าขายปลีกตามโครงการสร้างอัตราค่าไฟฟ้าขายปลีก ตามประเภทการใช้ไฟฟ้าของ VSPP รวมกับค่าไฟฟ้าผันแปร (Fuel Adjustment Charge (At The Given Time): Ft) ขายปลีก ในเดือนนั้นๆ ในส่วนของค่าไฟฟ้าส่วนอื่นๆ ที่นอกเหนือจากค่าพลังงานไฟฟ้า VSPP ยังคงต้องจ่ายตามประเภทการใช้ไฟฟ้านั้นๆ ตามเดิม

2. VSPP ที่มีปริมาณกำลังไฟฟ้าขายเข้าระบบไม่เกิน 6 MW การไฟฟ้าฝ่ายจำหน่ายจะแบ่งการรับซื้อพลังงานไฟฟ้าในแต่ละเดือนออกเป็น 2 ส่วน ดังนี้

3. ปริมาณพลังงานไฟฟ้าที่ VSPP ขายให้การไฟฟ้าฝ่ายจำหน่ายน้อยกว่า หรือ เท่ากับ ปริมาณพลังงานไฟฟ้าที่การไฟฟ้าฝ่ายจำหน่ายขายให้ VSPP ในแต่ละเดือน การไฟฟ้าฝ่ายจำหน่ายจะรับซื้อพลังงานไฟฟ้าในส่วนนี้ เท่ากับค่าพลังงานไฟฟ้าตามโครงการสร้างอัตราค่าไฟฟ้าขายปลีกหรือค่า

พลังงานไฟฟ้าขายปลีกเฉลี่ย ที่การไฟฟ้าฝ่ายจำหน่ายขายให้ VSPP รายนั้นๆ ในเดือนนั้นๆ รวมกับค่า Ft ขายปลีก

4. ปริมาณพลังงานไฟฟ้าที่ VSPP ขายให้การไฟฟ้าฝ่ายจำหน่ายมากกว่าปริมาณพลังงานไฟฟ้าที่การไฟฟ้าฝ่ายจำหน่ายขายให้ VSPP ในแต่ละเดือน การไฟฟ้าฝ่ายจำหน่ายจะรับซื้อพลังงานไฟฟ้าส่วนที่เท่ากับปริมาณพลังงานไฟฟ้าที่การไฟฟ้าฝ่ายจำหน่ายขายให้ VSPP ในแต่ละเดือน ด้วยราคาก่อตัวพลังงานไฟฟ้าตามโครงสร้างอัตราค่าไฟฟ้าขายปลีกหรือค่าพลังงานไฟฟ้าขายปลีกเฉลี่ย ที่การไฟฟ้าฝ่ายจำหน่ายขายให้ VSPP รายนั้นๆ ในเดือนนั้นๆ รวมกับค่าค่า Ft ขายปลีก

พลังงานไฟฟ้าส่วนที่ VSPP ขายเกินกว่าที่การไฟฟ้าฝ่ายจำหน่ายขายให้ VSPP กำหนด ราคารับซื้อเป็น 2 กรณี คือ กรณีเป็นผู้ใช้ไฟอัตราปกติ อัตราค่าพลังงานไฟฟ้าที่ขายจะเท่ากับอัตราค่าไฟฟ้าขายส่งเฉลี่ยทุกระดับแรงดัน ที่การไฟฟ้าฝ่ายผลิตแห่งประเทศไทยขายให้การไฟฟ้าฝ่ายจำหน่ายรวมกับค่า Ft ขายส่งเฉลี่ย กรณีเป็นผู้ใช้ไฟอัตรา TOU อัตราค่าพลังงานไฟฟ้าที่ขายจะเท่ากับอัตราค่าพลังงานไฟฟ้าขายส่ง ณ ระดับแรงดัน 11-33 KV ที่การไฟฟ้าฝ่ายผลิตแห่งประเทศไทยขายให้การไฟฟ้าฝ่ายจำหน่าย รวมกับค่า Ft ขายส่งเฉลี่ย

1. VSPP ที่มีปริมาณกำลังไฟฟ้าขายเข้าระบบเกินกว่า 6 MW การไฟฟ้าฝ่ายจำหน่ายจะรับซื้อพลังงานไฟฟ้าในอัตราค่าไฟฟ้า ดังนี้

2. กรณีเป็นผู้ใช้ไฟอัตราปกติ อัตราค่าพลังงานไฟฟ้าที่ขายจะเท่ากับอัตราค่าไฟฟ้าขายส่งเฉลี่ยทุกระดับแรงดัน ที่การไฟฟ้าฝ่ายผลิตแห่งประเทศไทยขายให้การไฟฟ้าฝ่ายจำหน่ายรวมกับ Ft ขายส่งเฉลี่ย

3. กรณีเป็นผู้ใช้ไฟอัตรา TOU อัตราค่าพลังงานไฟฟ้าที่ขายจะเท่ากับอัตราค่าพลังงานไฟฟ้าขายส่ง ณ ระดับแรงดัน 11-33 KV ที่การไฟฟ้าฝ่ายผลิตแห่งประเทศไทยขายให้การไฟฟ้าฝ่ายจำหน่าย รวมกับค่า Ft ขายส่งเฉลี่ย

4. VSPP ที่มีปริมาณพลังงานไฟฟ้าเสนอขายตามสัญญาเกิน 1 MW ณ จุดรับซื้อไฟฟ้า ปริมาณพลังงานไฟฟ้าที่นำมาคำนวณจะถูกหักออกครึ่องละ 2 ของปริมาณพลังงานไฟฟ้าส่วนที่ VSPP ขายเกินกว่าที่การไฟฟ้าฝ่ายจำหน่ายขายให้ VSPP เพื่อเป็นค่าดำเนินการโครงการรับซื้อไฟฟ้าจาก VSPP

2.2.3 ประเมินการรับซื้อไฟฟ้าจาก VSPP (สำหรับการผลิตไฟฟ้าด้วยระบบ Cogeneration)

1) วัดคุณประสิทธิ์ของการรับซื้อไฟฟ้าจาก VSPP

- เพื่อส่งเสริมให้ผู้ผลิตไฟฟ้านำดเล็กมากเข้ามามีส่วนร่วมในการผลิตไฟฟ้า

2. เพื่อส่งเสริมให้มีการใช้ทรัพยากรากยในประเทศอย่างมีประสิทธิภาพ ลดการพึ่งพาการผลิตไฟฟ้าจากพลังงานเชิงพาณิชย์ ซึ่งเป็นการลดค่าใช้จ่ายการนำเข้าเชื้อเพลิงจากต่างประเทศ และลดผลกระทบต่อสิ่งแวดล้อม

3. เพื่อส่งเสริมการผลิตไฟฟ้าอย่างมีประสิทธิภาพมีการใช้พลังงานให้เกิดประโยชน์สูงสุด

4. เพื่อเป็นการกระจายโอกาสไปยังพื้นที่ห่างไกลให้มีส่วนร่วมในการผลิตไฟฟ้า
5. เพื่อช่วยแบ่งเบาภาระทางด้านการลงทุนของรัฐในระบบการผลิตและจำหน่ายไฟฟ้า

2) ลักษณะกระบวนการผลิตไฟฟ้าของ VSPP

1. การไฟฟ้าฝ่ายจำหน่ายจะรับซื้อไฟฟ้าจาก VSPP ที่ผลิตไฟฟ้าด้วยระบบผลิตพลังงานความร้อนและไฟฟ้าร่วมกัน (Cogeneration หรือ Combined Heat and Power : CHP) โดยใช้เชื้อเพลิงที่เป็นพลังงานล้วนเปลือยที่ใช้แล้วหมดไป ซึ่งมีข้อกำหนดในกระบวนการผลิตดังนี้

2. เป็นการใช้พลังงานอย่างต่อเนื่องโดยการนำพลังงานความร้อนที่เหลือจากการผลิตไฟฟ้าไปใช้ในกระบวนการอุณหภูมิ (Thermal Processes) เรียกว่า Topping Cycle หรือ ในการตั้งขึ้น โดยการนำพลังงานความร้อนที่เหลือจากการกระบวนการอุณหภูมิไปใช้ในการผลิตไฟฟ้า ซึ่งเรียกว่า Bottoming Cycle

3. ผู้ผลิตไฟฟ้าจะต้องผลิตไฟฟ้าอย่างมีประสิทธิภาพ โดยมีสัดส่วนการประหยัดเชื้อเพลิงที่ใช้ในการผลิตไฟฟ้า (Primary Energy Saving) ไม่ต่ำกว่าร้อยละ 10 ในแต่ละปี

3) ค่าใช้จ่ายของ VSPP

ค่าใช้จ่ายที่ VSPP จะต้องรับภาระในการเชื่อมโยงระบบไฟฟ้า ได้แก่ ค่าระบบจำหน่ายไฟฟ้าจากจุดเชื่อมโยงระบบไฟฟ้าถึงโรงไฟฟ้าของ VSPP ค่ามาตรฐานไฟฟ้า ค่าใช้จ่ายเกี่ยวกับระบบป้องกันไฟฟ้าและค่าทดสอบอุปกรณ์ป้องกัน ยกเว้นกรณีที่อุปกรณ์ของผู้ผลิตไฟฟ้ามีระบบป้องกันรวมอยู่แล้ว ทั้งนี้ จะไม่คิดค่าใช้จ่ายในการตรวจสอบแบบเพื่อการบานานเครื่องสำหรับผู้ผลิตไฟฟ้าขนาดเล็กมากที่เชื่อมโยงกับระบบแรงดันต่ำโดยจะต้องชำระค่าใช้จ่ายดังกล่าวให้เสร็จสิ้นก่อนที่การไฟฟ้าฝ่ายจำหน่ายจะเริ่มดำเนินการเชื่อมโยงระบบไฟฟ้า

หลักการคิดค่าพลังงานไฟฟ้าในการซื้อขายไฟฟ้าระหว่าง การไฟฟ้าฝ่ายจำหน่าย กับ VSPP มีรายละเอียดการพิจารณา ดังนี้

4) การไฟฟ้าฝ่ายจำหน่ายจะรับซื้อพลังงานไฟฟ้า เท่ากับค่าไฟฟ้าตามโครงสร้างค่าไฟฟ้าขายส่ง ณ ระดับแรงดันที่ VSPP ทำการเชื่อมโยงระบบไฟฟ้าของการไฟฟ้าฝ่ายจำหน่ายรวมกับค่า Ft ขายส่งเฉลี่ย

5) ผู้ผลิตไฟฟ้าขนาดเล็กมากที่มีปริมาณพลังไฟฟ้าเสนอขายตามสัญญาเกิน 1 เมกะวัตต์ ณ จุดรับซื้อพลังงานไฟฟ้า ปริมาณพลังงานไฟฟ้าที่นำมาคำนวณ จะถูกหักออกครึ่งละ 2 ของปริมาณพลังงานไฟฟ้าที่ขายให้การไฟฟ้าฝ่ายจำหน่าย เพื่อเป็นการดำเนินการโครงการรับซื้อไฟฟ้าจากผู้ผลิตไฟฟ้าขนาดเล็กมาก

2.3 ระบบจำหน่ายกำลังไฟฟ้า (Distribution Systems)

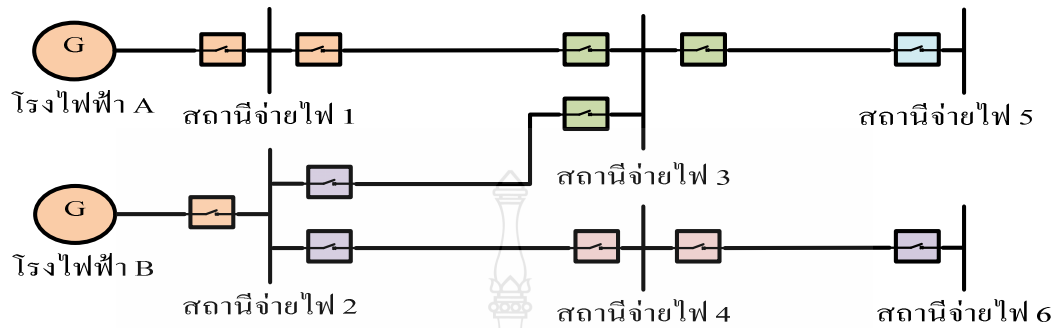
ระบบจำหน่ายกำลังไฟฟ้า [7] เป็นระบบที่รับพลังงานไฟฟ้าที่ถูกสร้างมาจากระบบผลิตกำลังไฟฟ้าผ่านมาขึ้นระบบส่งกำลังไฟฟ้า เพื่อแยกการจ่ายกำลังไฟฟ้าไปยังโหลดผู้ใช้ไฟ มีส่วนประกอบที่สำคัญ คือ สถานีไฟฟ้าจำหน่ายที่ปรับลดแรงดันก่อนส่งจ่ายไฟยังผู้จ่ายไฟ โดยส่วนใหญ่แล้วระบบจำหน่ายกำลังไฟฟ้าจะมีระดับแรงดันไฟฟ้าครอบคลุมทั้งทางด้านปัจจุบัน ทุติยภูมิ รวมถึงระดับแรงดันสูงสุด สำหรับประเทศไทยจะกำหนดแรงดันไฟฟ้าไม่เกิน 115 กิโลโวลต์ รูปแบบของระบบจำหน่ายกำลังไฟฟ้าแบ่งออกเป็น 2 ระบบหลักคือ ระบบจำหน่ายไฟฟ้าเหนืออุดิน และระบบจำหน่ายไฟฟ้าใต้ดิน การเลือกใช้ระบบใดนั้นขึ้นอยู่กับปัจจัยหลายประการ เช่น ค่าใช้จ่ายในการลงทุน ความปลอดภัย สิ่งแวดล้อมและความสวยงาม เป็นต้น แต่ที่พบเห็นโดยทั่วไปในประเทศไทยเป็นระบบจำหน่ายกำลังไฟฟ้าเหนืออุดิน เนื่องจากมีราคาต่ำกว่าระบบจำหน่ายแบบใต้ดินมาก แต่อย่างไรก็ตามในบริเวณที่มีบ้านเรือนหนาแน่น กรณีต้องเดินสายไฟข้ามแม่น้ำหรือภัยในนิกมอุตสาหกรรม นิยมใช้ระบบจำหน่ายกำลังไฟฟ้าใต้ดินเพราะสายใต้ดินเป็นสายที่มีนวนหุ้ม ยิ่งมีความปลอดภัยและความมั่นคงสูงกว่าระบบจำหน่ายไฟฟ้าเหนืออุดินในอากาศซึ่งมักจะเป็นสายเปลือย

ระบบจำหน่ายกำลังไฟฟ้าที่ดีต้องมีการวางแผนการก่อสร้างระบบจำหน่ายกำลังไฟฟ้า โดยคำนึงถึงองค์ประกอบต่างๆ เช่น ระดับแรงดันไฟฟ้า ชนิดของวงจรการจ่ายไฟ ตลอดจนความเหมาะสมในการใช้งานในแต่ละพื้นที่ สำหรับวิทยานิพนธ์นี้ได้นำรูปแบบของระบบจำหน่ายไฟฟ้าอยู่ 2 แบบ คือ

2.3.1 ระบบจำหน่ายไฟฟ้าแบบเรเดียล (Radial Distribution Systems)

เป็นโครงข่ายระบบจำหน่ายไฟฟ้าที่ง่ายที่สุดที่มีการจ่ายไฟฟ้าไปยังผู้ใช้ไฟฟ้าผ่านสายจำหน่ายเพียงด้านเดียว โดยที่พลังงานไฟฟ้าจะไหลไปในทิศทางเดียวกันจากสถานีไฟฟ้าไปยังโหลด ภาระการใช้งาน การวางแผนใช้ระบบจำหน่ายนี้หากมีโหลดผู้ใช้ไฟฟ้าเพิ่มมากขึ้นในอนาคต ก็สามารถที่จะเพิ่มระบบจำหน่ายแบบเรเดียลให้กลายเป็นระบบจำหน่ายแบบกลุ่มได้ หรือระบบจำหน่ายแบบร่วงແຫတอไปได้ ระบบจำหน่ายไฟฟ้าแบบเรเดียลนิยมใช้สำหรับจ่ายพลังงานไฟฟ้าไปยังผู้ใช้ไฟฟ้าในพื้นที่ทั่วไปหรือในชนบท เนื่องจากระบบจำหน่ายไฟฟ้าประเภทที่ลงทุนต่ำ มีการป้องกัน

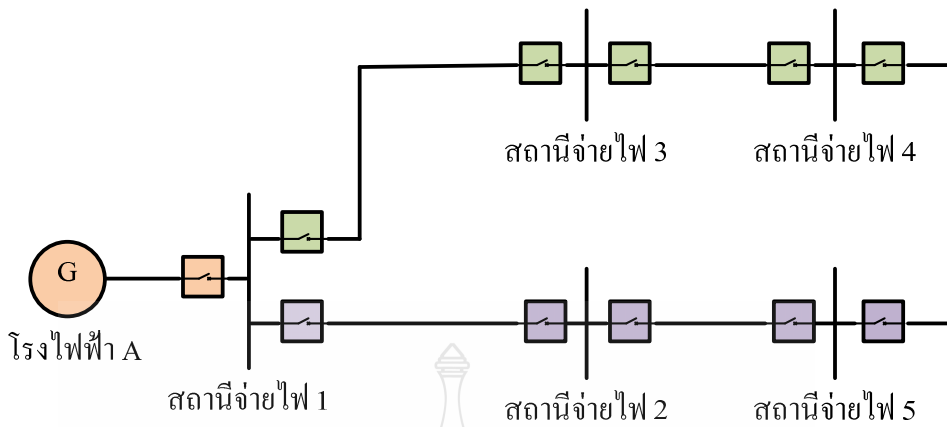
ระบบจ่ายฯ และลักษณะของการวางแผนนี้สามารถเข้าใจได้ง่าย แต่มีข้อเสียคือความน่าเชื่อถือได้ของระบบไฟฟ้าค่อนข้างต่ำ ลักษณะของระบบไฟฟ้าแบบเรเดียล แสดงดังภาพที่ 2.1



ภาพที่ 2.1 โครงข่ายระบบจำหน่ายไฟฟ้าแบบเรเดียล

2.3.2 ระบบจำหน่ายไฟฟ้าแบบลูป (Loop Distribution Systems)

เป็นโครงข่ายระบบจำหน่ายไฟฟ้าที่ได้ถูกพัฒนาขึ้นมาเพื่อเป็นการเสริมสร้างความมั่นคงให้กับระบบจำหน่ายพลังงานไฟฟ้า เป็นระบบที่มีการจ่ายไฟเข้าที่ด้านทางและปลายทางโดยสถานีจ่ายไฟฟ้าแห่งเดียวทั้งหมด โดยผู้ใช้ไฟจะสามารถรับพลังงานไฟฟ้าได้มากกว่าหนึ่งทาง ระบบจำหน่ายแบบนี้ในการใช้งานจริงบางครั้งจะเปิดวงจรออกทำให้ระบบเป็นวงจรจำหน่ายไฟฟ้าแบบเรเดียลก็ได้ การกระทำเช่นนี้จะทำการป้องกันระบบนั้นทำให้จ่ายขึ้น ระบบจำหน่ายไฟฟ้าแบบลูปนี้สามารถนำไปใช้จ่ายพลังงานไฟฟ้าให้กับชุมชนขนาดใหญ่และโรงงานอุตสาหกรรมได้ ข้อดีของระบบนี้คือ เมื่ออุปกรณ์ตัวหนึ่งตัวใดเกิดขัดข้องก็สามารถทำการตัดส่วนนั้นออกໄไปและวงจรส่วนที่เหลืออยู่ก็สามารถทำการจ่ายไฟฟ้าต่อไปได้อีก ทำให้ระบบมีความน่าเชื่อถือได้สูงขึ้นกว่าระบบจำหน่ายไฟฟ้าแบบเรเดียล ข้อเสียของระบบจำหน่ายไฟฟ้าแบบลูปคือ การจ่ายพลังงานไฟฟ้าจะกระทำได้โดยผ่านสถานีจ่ายไฟฟ้าเพียงสถานีเดียว ดังนั้นถ้าเกิดการขัดข้องขึ้นภายในสถานีจ่ายไฟฟ้า ยิ่งทำให้เกิดไฟฟ้าดับเป็นบริเวณกว้าง ดังนั้นระบบป้องกันของระบบจำหน่ายไฟฟ้าแบบลูป ก็ยังต้องมีขีดความสามารถสูงขึ้นกว่าระบบจำหน่ายไฟฟ้าแบบเรเดียล เนื่องจากระบบป้องกันต้องตรวจสอบให้ทราบว่าเกิดการลัดวงจรขึ้นที่อุปกรณ์ตัวใด เพื่อที่จะได้ตัดอุปกรณ์ส่วนนั้นออกจาก การจ่ายพลังงานไฟฟ้าและส่วนที่เหลืออยู่ก็สามารถทำการจ่ายไฟฟ้าไปยังจุดใดจุดที่ไม่ได้รับผลกระทบจากการเกิดขัดข้องของระบบจำหน่ายไฟฟ้าได้ลักษณะของระบบไฟฟ้าแบบลูป แสดงดังภาพที่ 2.2

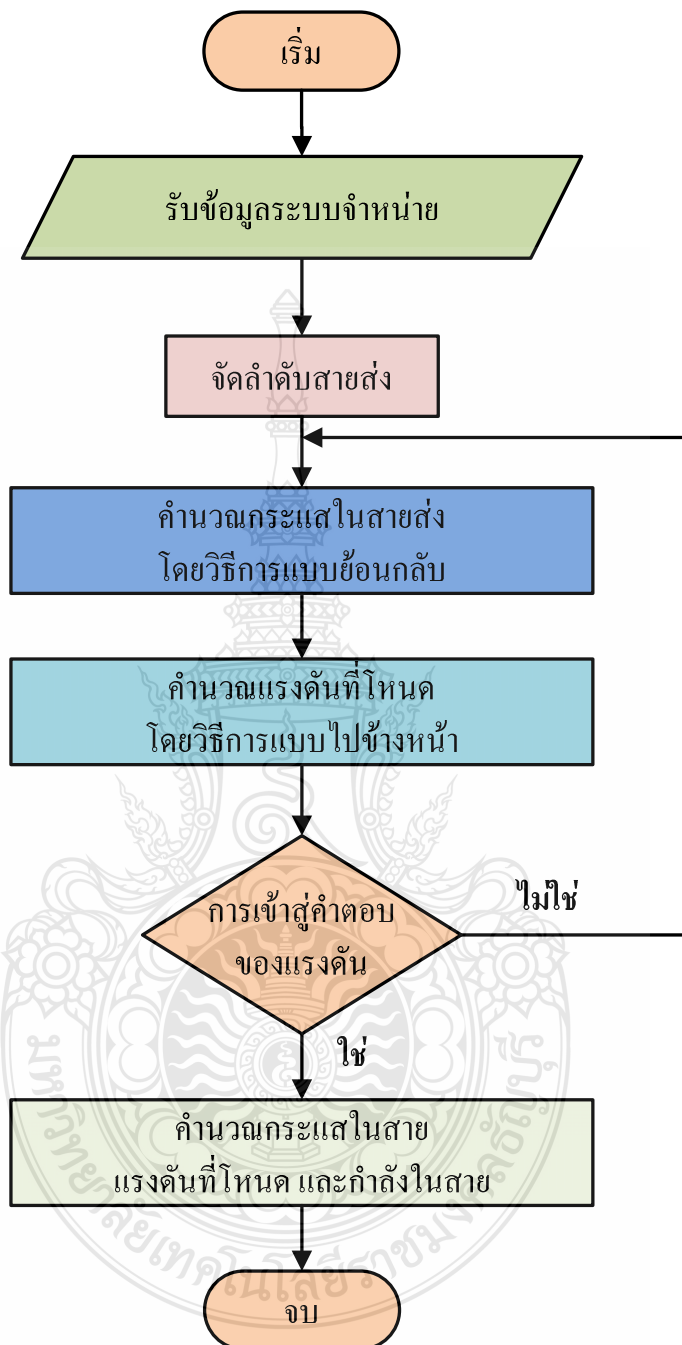


ภาพที่ 2.2 โครงข่ายระบบไฟฟ้าแบบกลุ่ม

2.4 การคำนวณการไหลของกำลัง (Calculation of Power Flow)

แม้ว่าระบบจำหน่ายไฟฟ้าส่วนใหญ่จะเป็นระบบเรเดียล การวิเคราะห์การไหลของกำลังก็ยังคงมีความสำคัญ [8] เพราะคุณภาพของแรงดันไฟฟ้าที่จะต้องจ่ายให้ผู้ใช้ไฟฟ้าควรเป็นสูงที่ต้องคำนึงถึง การคำนวณการไหลของกำลังในระบบจำหน่าย จะช่วยทำให้ทราบระดับแรงดันที่โอนคั่งต่างๆ ได้ นอกจากนี้คำตอบของการไหลของกำลังในระบบจำหน่าย จะช่วยทำให้การวางแผนเพื่อควบคุมระบบตลอดจนการขยายระบบใหม่มีประสิทธิภาพมากขึ้น อนึ่งการจำลองระบบเมื่อต้องเจอกับสภาวะที่ไม่คาดคิดนั้นจะรู้คำตอบได้ ก็ต้องทำการคำนวณการไหลของโหลดเช่นกัน การคำนวณการไหลของกำลัง หรือการวิเคราะห์การไหลของกำลังในระบบจำหน่าย จะมีความซับซ้อนน้อยกว่าในระบบส่งจ่าย เพราะในระบบจำหน่ายจะเป็นระบบเรเดียลเสียเป็นส่วนใหญ่ แต่ในระบบส่งจ่ายจะเป็นระบบโครงข่าย อีกประการหนึ่งพารามิเตอร์สายในระบบส่งจ่ายจะประกอบด้วยความต้านทานความเหนียวแน่น และความจุ แต่ในระบบจำหน่ายเราจะพิจารณาเพียงแค่ความต้านทาน และความเหนียวแน่นของสายเท่านั้น การคำนวณการไหลของกำลังด้วยหลักการใช้เมทริกษาโคลเบียน เช่น นิวตันราฟสัน โหลด หรือเก้าไซเดลนั้น ไม่เหมาะสมกับการวิเคราะห์ปัญหาการไหลของกำลังสำหรับระบบจำหน่ายที่บางครั้งเกิดปัญหาเกี่ยวกับอุ่นเข้าสู่คำตอบ

อย่างไรก็ตามการวิเคราะห์การไหลของกำลังในระบบจำหน่ายก็ยังมีความสำคัญ เพราะผู้มีหน้าที่จ่ายไฟฟ้าให้กับผู้ใช้ไฟฟ้าต้องเตรียมการให้พร้อมเพื่อการจ่ายไฟฟ้าที่มีคุณภาพ และการขยายการให้บริการในอนาคต ดังนั้นในวิทยานิพนธ์นี้จึงนำเสนอเทคนิคการคำนวณการไหลของกำลังด้วยวิธีการคำนวณกระแสแบบขอนกลันและการคำนวณแรงดันแบบไปข้างหน้า (Current Backward Sweep and Voltage Forward Sweep) โดยมีขั้นตอนดังภาพที่ 2.3



ภาพที่ 2.3 ลำดับขั้นการวิเคราะห์การไหลของกำลังไฟฟ้าด้วยวิธีแบบข้ออกลับและไปข้างหน้า [9]

2.4.1 ข้อมูลในระบบจำหน่าย

ในการวิเคราะห์การให้ผลของกำลังไฟฟ้าในระบบจำหน่ายนั้น ขั้นต้นจะต้องทราบค่าข้อมูลของระบบจำหน่ายคือ แหล่งจ่ายกำลังไฟฟ้า จำนวนโภนด ค่าพารามิเตอร์ของสายตัวนำในแต่ละสาขา และค่ากำลังไฟฟ้าของโหลดในแต่ละโภนด

1) แหล่งจ่ายกำลังไฟฟ้า คือ หม้อแปลงกำลังไฟฟ้าที่สถานีจำหน่ายไฟฟ้า กำหนดให้เป็นแหล่งจ่ายแรงดันคงที่ เรียกว่า รูตโภนด ใช้เป็นบัสอ้างอิง

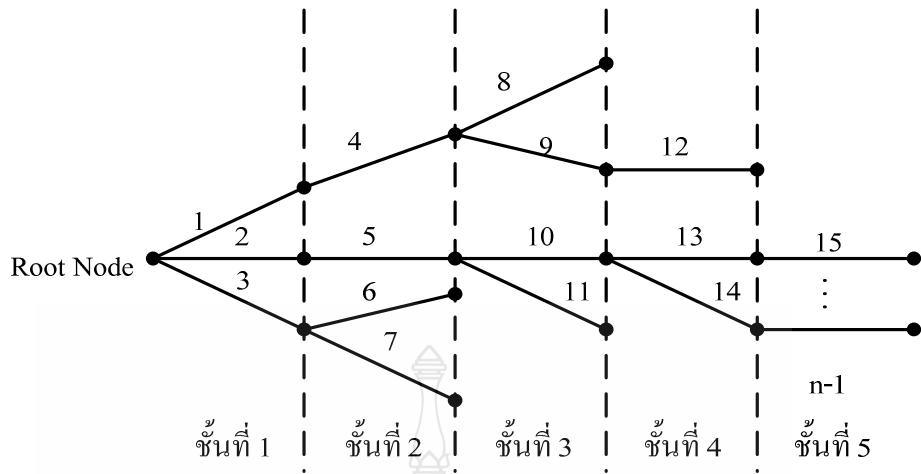
2) โภนด หรือ บัส คือ จุดต่อรวมของสาขางานแต่สองสาขาขึ้นไป สำหรับระบบจำหน่าย แทนจุดต่อแยกของสายย่อย หรือจุดที่เป็นตำแหน่งหม้อแปลงจำหน่าย

3) สาขา คือ สายตัวนำที่ต่อระหว่างโภนดสองโภนดใดๆ ค่าพารามิเตอร์ที่ต้องการ คือ ค่าความต้านทาน และค่ารีแอคเคนซ์ มีหน่วยเป็นโอห์มต่อหน่วยความยาว ค่าความต้านทานและค่ารีแอคเคนซ์รวมของตัวนำแต่สาขาหาได้เมื่อทราบความยาวของสาย ค่าพารามิเตอร์ทั้งสองแปลงให้อยู่ในรูปต่อหน่วย

4) โหลด คือ ค่ากำลังไฟฟ้าของโหลด แทนด้วยกำลังไฟฟ้าจริงและค่ากำลังไฟฟ้าต้านกันทั้งสองค่าคิดจากเปอร์เซ็นต์การจ่ายโหลดจริงเทียบกับพิกัดกำลังของหม้อแปลงแต่ละตัว อัตราส่วนของกำลังไฟฟ้าจริงและกำลังไฟฟ้าต้านกัน กำหนดให้มีค่าอัตราส่วนคงที่เมื่อกำหนดค่าประกอบกำลัง

2.4.2 การจัดลำดับสายส่ง

ในระบบจำหน่ายขนาดแรงดันและมุมเฟสที่บัสอ้างอิงจะกำหนดให้มีค่าคงที่ ส่วนค่าแรงดันและมุมเฟสของแรงดันที่บัสอื่นนั้นเป็นตัวแปรที่ต้องคำนวณหา เมื่อรับข้อมูลระบบจำหน่ายมาแล้ว เราต้องจัดลำดับสายส่ง ระบบจำหน่ายมีจำนวนโภนดคือ n โภนด จำนวนสาขาคือ $b = n-1$ สาขา การจัดลำดับสายส่งเริ่มต้นจากรูตโภนดค้านซ้ายมือสุดเรียงกันตามลำดับไปทางด้านขวาเมื่อแบ่งเป็นชั้นๆ เริ่มต้นจากชั้นที่ 1 ที่ต่ออยู่กับรูตบัส ลำดับสายส่งเริ่มต้นนับจากสาขาที่ 1 เรียงกันไปตามลำดับจากบนลงล่างจนครบทุกสาขา ชั้นถัดไปจะเริ่มต้นเมื่อทุกสาขาในชั้นที่ 1 ได้จัดเรียงสายส่งเรียบร้อยแล้ว ที่ชั้นอื่นๆ จะต่อเนื่องกันไปตามหลักการเดียวกันนี้จนสิ้นสุดที่สาขาสุดท้าย โดยการจัดลำดับนี้จะเริ่มจากค้านต้นสายส่งเป็นลำดับไป ดังภาพที่ 2.4



ภาพที่ 2.4 การจัดลำดับสายส่ง

2.4.3 การคำนวณกระแสแบบข้อนกลับ (Current Backward Sweep): KCL

เมื่อจัดลำดับสายส่งเรียบร้อยแล้วก็เข้าสู่การคำนวณกระแสในสาย โดยจะเริ่มจากกระแสที่โหนด จะมีค่าเป็น

$$I_i^{(k)} = \left(\frac{S_i}{V_i^{(k-1)}} \right)^* - Y_i V_i^{(k-1)} \quad (2.1)$$

เมื่อ S_i คือ กำลังที่โหนด i ($S_i = P_i \pm jQ_i$)

Y_i คือ ผลรวมของแอตอมิตแทนซ์ส่วนลงดินทั้งหมดที่โหนด i

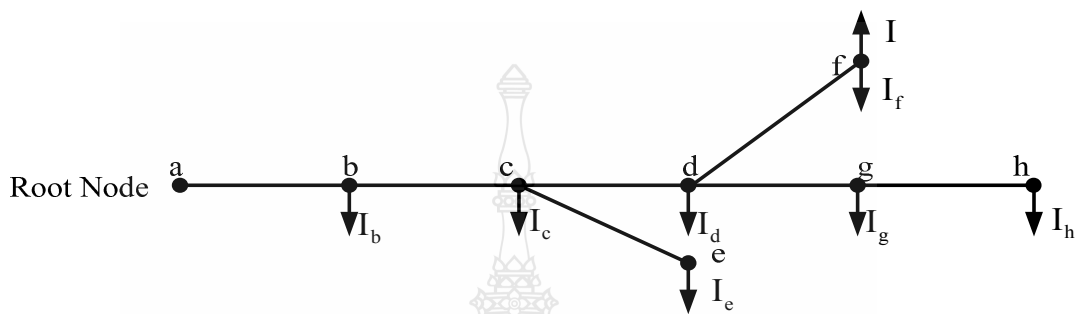
$V_i^{(k-1)}$ คือ เป็นแรงดันที่โหนด i ณ รอบคำนวณที่ $k-1$

k คือ รอบการคำนวณ

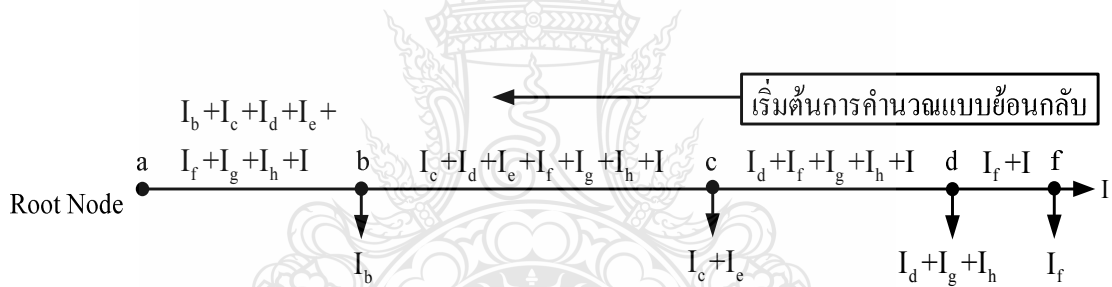
การคำนวณกระแสจะเริ่มให้ขนาดแรงดันเป็น 1 p.u. และมุนแรงดันเป็นศูนย์ที่ทุกๆ โหนด ส่วนของการคำนวณกระแสในสายจะเริ่มจากการคำนวณที่เรียกว่า การแพร่กระจายโดยหลัง โดยที่รอบคำนวณที่ k จะคำนวณกระแส J ในสายที่สุดท้ายเรื่อยเข้าสู่รูตโหนด หรือรูตบัส โดยกระแสที่สาย L หาได้จากการที่ 2.2 และตัวอย่างกระแสในสายส่งของระบบไฟฟ้าแบบเรเดียล แสดงดังภาพที่ 2.5

$$J_L^k = -I_{L2}^k + \sum \text{ (กระแสในสายที่พุ่งมาจากโหนด } L_2) \quad (2.2)$$

ซึ่งการหาค่ากระแสในสายดังสมการที่ 2.2 เขียนเป็นรูปภาพได้ดังภาพที่ 2.6 โดยกระแสจะถูกเริ่มจากปลายสายดังภาพ



ภาพที่ 2.5 กระแสในสายส่งของระบบไฟฟ้าแบบเรเดียล



ภาพที่ 2.6 การคำนวณค่ากระแสในสายส่งในแต่ละช่วงแบบข้อนกลับ

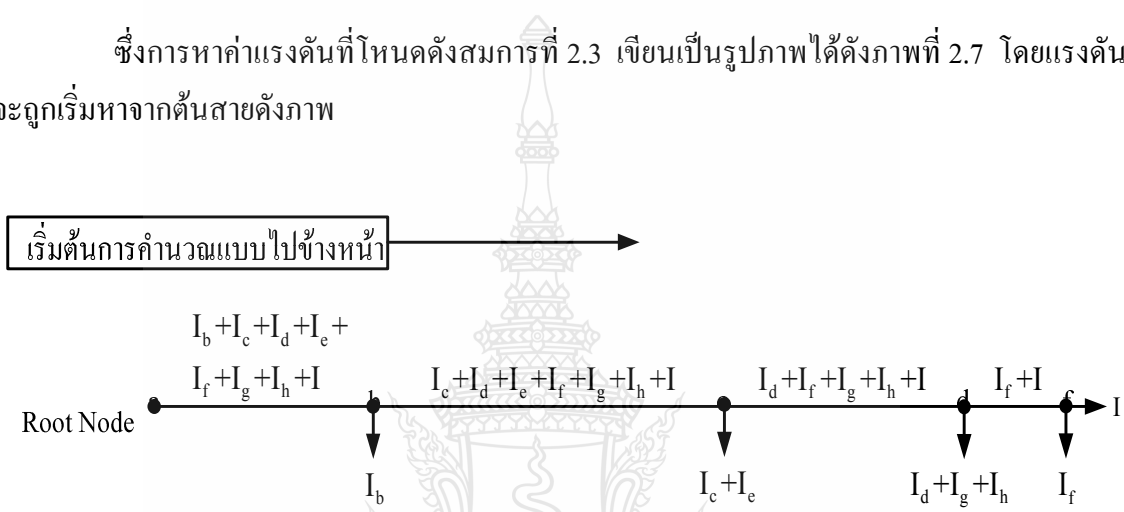
2.4.4 การคำนวณแรงดันแบบไปข้างหน้า (Voltage Forward Sweep):KVL

การคำนวณแรงดันจะมีลักษณะแบบไปข้างหน้า เริ่มต้นจากบัสอ้างอิง หรือโหนดหรือรูตบัส โดยที่ค่าแรงดันกำหนดให้มีค่าคงที่และมุมเฟสเป็นศูนย์ ส่วนค่าแรงดันและมุมเฟสของแรงดันที่บัสอื่นๆ ถูกไปจากบัสอ้างอิงในรอบคำนวณที่ k จะถูกคำนวณค่าแรงดันที่บัส เรื่อยไปสู่บัสสุดท้าย ดังสมการที่ 2.3

$$V_{L2}^{(k)} = V_{L1}^{(k)} - Z_L J_L^{(k)} \quad (2.3)$$

เมื่อ Z_L คือ ค่าอิมพีเดนซ์อนุกรมของสายส่งช่วง L ระหว่างโหนด L_2 และ L_1
 L_2 คือ โหนดปลายทาง
 L_1 คือ โหนดต้นทาง
 J คือ กระแสในสาย
 k คือ รอบการคำนวณ

ซึ่งการหาค่าแรงดันที่โหนดดังสมการที่ 2.3 เก็บเป็นรูปภาพได้ดังภาพที่ 2.7 โดยแรงดันจะถูกเริ่มจากต้นสายดังภาพ



ภาพที่ 2.7 การคำนวณค่าแรงดันที่โหนดแบบไปข้างหน้า

2.4.5 การเข้าสู่คำตอบของแรงดัน

การคำนวณค่ากระแสแบบข้อนกลับและการคำนวณค่าแรงดันแบบไปข้างหน้าจะกระทำในลักษณะเดียวกัน ในแต่ละรอบการคำนวณจะตรวจสอบค่า Mismatch ของค่าแรงดันในแต่ละบัส ดังสมการที่ 2.4

$$\Delta V_j^{(k)} = V_j^{(k)} - V_j^{(k-1)} \quad (2.4)$$

เมื่อ $\Delta V_j^{(k)}$ คือ ค่าความคลาดเคลื่อนของแรงดันที่พอยอมรับได้ (Mismatch) ที่บัส j หลังจากการคำนวณในรอบที่ k
 $V_j^{(k)}$ คือ แรงดันที่บัส j ในรอบการคำนวณที่ k
 $V_j^{(k-1)}$ คือ แรงดันที่บัส j ในรอบการคำนวณที่ $k-1$

อย่างไรก็ตามการเข้าสู่ค่าตอบของแรงดันอาจหาได้จากผลต่างของค่าอื่นๆ ดังสมการที่ 2.5

$$\left\{ \begin{array}{l} \left| \operatorname{Re}(\Delta V_j^{(k)}) \right| \leq \varepsilon \\ \left| \operatorname{Im}(\Delta V_j^{(k)}) \right| \leq \varepsilon \\ \left| (\Delta V_j^{(k)}) \right| \leq \varepsilon \end{array} \right\} \quad (2.5)$$

เมื่อ ε คือ ค่าความคลาดเคลื่อนที่พอยอมรับได้ (Mismatch)

ค่าแรงดันที่บัสต่างๆ ที่เป็นค่าตอบนั้นจะได้จากการคำนวณในรอบที่สุดท้าย ซึ่งรอบสุดท้ายนี้จะเกิดขึ้นเมื่อผลต่างของแรงดันทุกๆ บัส มีค่าต่ำกว่าหรือเท่ากับค่าความคลาดเคลื่อนที่พอยอมรับที่กำหนดและค่ากระแสในแต่ละสาขาสามารถคำนวณค่าได้จากสมการที่ 2.2

2.5 ปัญหาการไฟลอกำลังไฟฟ้าเหมาะสมที่สุด (Problem of Optimal Power Flow)

2.5.1 สมการรูปแบบปัญหา

ปัญหาการไฟลอกำลังไฟฟ้าเหมาะสมที่สุดเป็นการวิเคราะห์การไฟลอกำลังไฟฟ้าในสภาวะคงที่ [10] โดยพิจารณาฟังก์ชันวัตถุประสงค์ร่วมกับขอบเขตเงื่อนไขบังคับที่เป็นตัวแปรควบคุม โดยมีรูปแบบทั่วไปดังต่อไปนี้

$$\begin{aligned} & \text{Minimize} && f(x) \\ & \text{Subjecte to} && g(x)=0, \quad \text{เงื่อนไขสมการ} \\ & && h(x) \leq 0, \quad \text{เงื่อนไขอสมการ} \end{aligned}$$

การแปลงเงื่อนไขสมการและอสมการให้เป็นพจน์ปรับโทย และนำไปรวมกับสมการวัตถุประสงค์เดิมจะได้ฟังก์ชันปรับโทยและเทอมปรับโทย ดังสมการที่ 2.6 และ 2.7

$$P(x) = f(x) + X(x) \quad (2.6)$$

$$X(x) = \rho \left\{ g^2(x) + [\max(0, h(x))]^2 \right\} \quad (2.7)$$

โดยที่ $P(x)$ คือ พังก์ชันปรับไทย
 $X(x)$ คือ เทอมปรับไทย
 ρ คือ ตัวประกอบการปรับไทย

การใช้วิธีการปรับไทยทำให้การแก้ปัญหาจากการหาค่าที่เหมาะสมที่สุดแบบไม่เงื่อนไขบังคับ เป็นการหาค่าที่เหมาะสมที่สุดแบบไม่มีเงื่อนไข พังก์ชันวัตถุประสงค์เปลี่ยนเป็นพังก์ชันปรับไทยนี้แทน ซึ่งง่ายกว่าและมีรูปแบบสมการที่ไม่ซับซ้อน

2.5.2 พังก์ชันวัตถุประสงค์

$$P_{\text{loss}} = \sum_{i=1}^{N_L} g_{i,j} \left\{ V_i^2 + V_j^2 - 2V_i V_j \cos(\delta_i - \delta_j) \right\} \quad (2.8)$$

โดยที่ P_{loss} คือ กำลังไฟฟ้าจริงที่สูญเสียในสายส่งทั้งหมด
 N_L คือ จำนวนสายส่งทั้งหมด
 V_i คือ ขนาดแรงดันบัสที่ i
 V_j คือ ขนาดแรงดันบัสที่ j
 δ_i คือ มุมแรงดันบัสที่ i
 δ_j คือ มุมแรงดันบัสที่ j
 $g_{i,j}$ คือ ความนำไฟฟ้าจากบัส i ไปยังบัส j

พังก์ชันวัตถุประสงค์มีหน่วยปัลสูหานี้นิยมนิมำพิจารณา เช่น การจ่ายโหลดอย่างประยัดคการลดกำลังไฟฟ้าสูญเสียในระบบ ในวิทยานิพนธ์นี้การลดกำลังไฟฟ้าสูญเสียในสายส่งน้อยที่สุดเป็นพังก์ชันวัตถุประสงค์ ดังสมการที่ 2.8

2.5.3 ระบบเงื่อนไขบังคับ

ตัวแปรปรับดึงในวิทยานิพนธ์คือ กำลังไฟฟ้าจริงที่ผลิตจากโรงจกรไฟฟ้า ขนาดแรงดันถูกควบคุมโดยสถานีไฟฟ้า แท็ปหม้อแปลงและกำลังไฟฟารีแอคทิฟ โดยจะการปรับดึงตัวแปรเหล่านี้ เพื่อให้เกิดกำลังไฟฟ้าสูญเสียในสายส่งน้อยที่สุด และยังคงอยู่ในช่วงขีดจำกัดของตัวแปรแต่ละตัว โดยมีตัวแปรที่ต้องการควบคุมตามคือ พิกัดการให้กำลังไฟฟ้าของสายส่ง พิกัดช่วงขนาดแรงดันทุกบัสในระบบ เพื่อให้ระบบไฟฟ้าทำงานอยู่ในสภาพภาวะปกติ ระบบเงื่อนไขบังคับทั้งเงื่อนไขสมการและอสมการแสดงดังต่อไปนี้

1) เงื่อนไขบังคับสมการเป็นสมการการให้กำลังไฟฟ้า

$$P_{G,i} - P_{D,i} - \sum_{j=1}^{N_B} |V_i| |V_j| |Y_{i,j}| \cos(\theta_{i,j} - \delta_i + \delta_j) = 0 \quad (2.9)$$

$$Q_{G,i} - Q_{D,i} + \sum_{j=1}^{N_B} |V_i| |V_j| |Y_{i,j}| \sin(\theta_{i,j} - \delta_i + \delta_j) = 0 \quad (2.10)$$

| | |
|------------------|--|
| โดยที่ $P_{G,i}$ | คือ กำลังไฟฟ้าจริงผลิตที่บัส i |
| $P_{D,i}$ | คือ ความต้องการกำลังไฟฟ้าจริงที่บัส i |
| $Q_{G,i}$ | คือ กำลังไฟฟารีแอคทีฟผลิตที่บัส i |
| $Q_{D,i}$ | คือ ความต้องการกำลังไฟฟารีแอคทีฟที่บัส i |
| N_B | คือ จำนวนบัส |
| $\theta_{i,j}$ | คือ มุมแอดมิตเตนซ์บัส i ไปยังบัส j |
| $Y_{i,j}$ | คือ ขนาดแอดมิตเตนซ์บัส i ไปยังบัส j |

2) เงื่อนไขบังคับสมการเป็นขอบเขตของตัวแปรที่ต้องการปรับตั้ง

$$V_i^{\min} \leq V_i \leq V_i^{\max} \quad (2.11)$$

$$T_i^{\min} \leq T_i \leq T_i^{\max} \quad (2.12)$$

$$P_{G,i}^{\min} \leq P_{G,i} \leq P_{G,i}^{\max} \quad (2.13)$$

$$Q_{\text{comp},i}^{\min} \leq Q_{\text{comp},i} \leq Q_{\text{comp},i}^{\max} \quad (2.14)$$

| | |
|---------------------|--------------------------------|
| โดยที่ V_i^{\min} | คือ ขอบเขตแรงดันต่ำสุด |
| V_i^{\max} | คือ ขอบเขตแรงดันสูงสุด |
| T_i^{\min} | คือ ขอบเขตแท็ปหัวมือแปลงต่ำสุด |
| T_i^{\max} | คือ ขอบเขตแท็ปหัวมือแปลงสูงสุด |

| | |
|---------------------|------------------------------------|
| $P_{G,i}^{\min}$ | คือ ขอบเขตของกำลังไฟฟ้าจึงต่ำสุด |
| $P_{G,i}^{\max}$ | คือ ขอบเขตของกำลังไฟฟ้าจึงสูงสุด |
| $Q_{comp,i}^{\min}$ | คือ ขอบเขตกำลังไฟฟ้ารีแอคตีฟต่ำสุด |
| $Q_{comp,i}^{\max}$ | คือ ขอบเขตกำลังไฟฟ้ารีแอคตีฟสูงสุด |

พงก์ชันปรับโภยสามารถเปลี่ยนได้ตามสมการที่ 2.15

$$P(x) = P_{\text{loss}} + X_p + X_q + X_c + X_t + X_v + X_g \quad (2.15)$$

$$\text{โดยที่ } X_p = \rho \sum_{i=1}^{N_B} \left\{ P_{G,i} - P_{D,i} - \sum_{j=1}^{N_B} |V_i| |V_j| |Y_{ij}| \cos(\theta_{ij} - \delta_i + \delta_j) \right\}^2 \quad (2.16)$$

$$X_q = \rho \sum_{i=1}^{N_B} \left\{ Q_{G,i} - Q_{D,i} + \sum_{j=1}^{N_B} |V_i| |V_j| |Y_{ij}| \sin(\theta_{ij} - \delta_i + \delta_j) \right\}^2 \quad (2.17)$$

$$X_c = \rho \sum_{i=1}^{N_C} \left\{ \max(0, Q_{comp,i} - Q_{comp,i}^{\max}) \right\}^2 + \rho \sum_{i=1}^{N_C} \left\{ \max(0, Q_{comp,i}^{\min} - Q_{comp,i}) \right\}^2 \quad (2.18)$$

$$X_t = \rho \sum_{i=1}^{N_T} \left\{ \max(0, T_i - T_i^{\max}) \right\}^2 + \rho \sum_{i=1}^{N_T} \left\{ \max(0, T_i^{\min} - T_i) \right\}^2 \quad (2.19)$$

$$X_v = \rho \sum_{i=1}^{N_B} \left\{ \max(0, V_i - V_i^{\max}) \right\}^2 + \rho \sum_{i=1}^{N_B} \left\{ \max(0, V_i^{\min} - V_i) \right\}^2 \quad (2.20)$$

$$X_g = \rho \sum_{i=1}^{N_G} \left\{ \max(0, P_{G,i} - P_{G,i}^{\max}) \right\}^2 + \rho \sum_{i=1}^{N_G} \left\{ \max(0, P_{G,i}^{\min} - P_{G,i}) \right\}^2 \quad (2.21)$$

| | |
|--------------|--|
| โดยที่ N_G | คือ จำนวนเครื่องกำเนิดไฟฟ้าทั้งหมดในระบบ |
| N_C | คือ จำนวนตัวอุปกรณ์ชดเชยกำลังไฟฟ้ารีแอคตีฟในระบบ |
| N_T | คือ จำนวนของหม้อแปลงที่ติดตั้งในระบบ |
| N_B | คือ จำนวนบัส |

2.6 วิธีกลุ่มอนุภาค (Particle Swarm Optimization Method)

วิธีกกลุ่มอนุภาคเกิดขึ้นจากความคิดที่ต้องการศึกษาเลียนแบบการเคลื่อนที่ในการหาอาหารและการอยู่ร่วมกันเป็นกลุ่มของผุงนก ผุ้งปลา และผุ้งแมลง วิธีกกลุ่มอนุภาคนี้มีต้นกำเนิดมาจากความคิดของนักวิทยาศาสตร์กลุ่มนั้นที่สนใจและสังเกตเกี่ยวกับพฤติกรรมการอยู่ร่วมกันเป็นผุ้งหรือการอยู่ร่วมกันเป็นกลุ่มของสัตว์ต่างสายพันธุ์มากมายหลายชนิด สิ่งแรกที่นักวิทยาศาสตร์เหล่านี้ได้ศึกษาคือพฤติกรรมการอยู่ร่วมกันเป็นสังคมของสัตว์ชนิดนั้นๆ สำหรับสายพันธุ์ของสัตว์บางชนิด ผุ้งหรือกลุ่มจะถูกควบคุมด้วยตัวที่เป็นจ่าผุ้ง ซึ่งอาจมีลักษณะที่แข็งแรงและได้รับการยอมรับจากสมาชิกตัวอื่นๆ ในผุ้ง เช่น ผุ้งสิงโต ผุ้งลิงบานูน เป็นต้น แต่ก็มีสัตว์บางสายพันธุ์ที่มีพฤติกรรมการอยู่ร่วมกันเป็นกลุ่มที่น่าสนใจแตกต่างออกไปคือ การอยู่ร่วมกันเป็นกลุ่มของผุงนก ผุ้งปลา และผุ้งแมลง ความน่าสนใจของพฤติกรรมของสัตว์เหล่านี้คือ การปรับตัวในการอยู่ร่วมกันในกลุ่มโดยไม่ต้องมีผู้นำมาโดยความคุณ สังคมการอยู่ร่วมกันเป็นกลุ่มของสัตว์เหล่านี้อาศัยการปรับตัวด้วยตัวเองตามสภาพแวดล้อม โดยอาศัยการเรียนรู้คุณลักษณะที่เหมาะสมของการอยู่ร่วมกันภายในกลุ่ม เริ่มต้นจากปฏิสัมพันธ์ของอนุภาคต่ออนุภาคในกลุ่มย่อยจากกลุ่มย่อยรวมไปเป็นกลุ่มใหญ่ [11]

จากพฤติกรรมที่น่าสนใจนี้ ในปี 1995 อัลกอริทึมในการหาค่าเหมาะสมด้วยวิธีกกลุ่มอนุภาค จึงถูกนำเสนอเป็นครั้งแรกโดย Kennedy และ Eberhart [12] การหาคำตอบจะอาศัยทฤษฎีการเคลื่อนที่ในการหาอาหารและการอยู่ร่วมกันเป็นกลุ่มของผุงนก ผุ้งปลา และผุ้งแมลง กระบวนการหรือตัวดำเนินการของวิธีกกลุ่มอนุภาคนี้ จะเป็นอัลกอริทึมของการเรียนรู้ในการปรับตำแหน่งของแต่ละอนุภาค จนกระทั่งแต่ละอนุภาคอยู่ในตำแหน่งที่เหมาะสมไม่มีการเคลื่อนที่ ปัจจุบันวิธีกกลุ่มอนุภาคนี้ได้นำไปประยุกต์ใช้กับแก้ปัญหาการหาค่าเหมาะสมที่สุดในหลายๆ แขนงวิชารวมถึงปัญหาระบบไฟฟ้ากำลัง เช่น ปัญหาการเลือกจ่ายพลังงานไฟฟ้าโดยคำนึงถึงหลักเศรษฐศาสตร์ ปัญหาการควบคุมให้เหมาะสม ปัญหาการวางแผนระบบไฟฟ้ากำลัง และปัญหาการหาค่าที่เหมาะสมอื่นๆ เนื้อหาในส่วนนี้จะกล่าวถึง วิัฒนาการของวิธีปัญญาประดิษฐ์ หลักการพื้นฐานของวิธีกกลุ่มอนุภาค อัลกอริทึมในการปรับตำแหน่งของวิธีกกลุ่มอนุภาค การกำหนดค่าตัวแปรของวิธีกกลุ่มอนุภาค แบบจำลองของวิธีกกลุ่มอนุภาคในการหาคำตอบที่ดีที่สุด

2.6.1 วิัฒนาการของวิธีปัญญาประดิษฐ์

| | | | | | |
|--------------------------|--------------------|------------------------|------------------|-----------------|----------------------------------|
| Simulated Annealing 1953 | Expert System 1969 | Genetic Algorithm 1975 | Tabu Search 1989 | Ant System 1991 | Particle Swarm Optimization 1995 |
|--------------------------|--------------------|------------------------|------------------|-----------------|----------------------------------|

ภาพที่ 2.8 วิัฒนาการของวิธีปัญญาประดิษฐ์ [13]

วิธีกลุ่มอนุภาคเป็นหนึ่งในวิธีปัญญาประดิษฐ์ (Artificial Intelligence) เป็นวิธีการหาคำตอบที่ใช้การสุ่มค่าเริ่มต้น และมีการปรับเปลี่ยนตำแหน่งของคำตอบโดยใช้อัลกอริทึมที่คิดกันขึ้นโดย Kennedy และ Eberhart ในปี 1995 ซึ่งวิธีปัญญาประดิษฐ์นี้ได้มีการนำเสนอขึ้นมาใช้งานหลายวิธี ซึ่งแต่ละวิธีมีหลักการและอัลกอริทึมต่างกัน โดยมีวิวัฒนาการมาayanan ตั้งแต่ปี 1953 ถึงปี 1995 แสดงดังภาพที่ 2.8

ภาพที่ 2.8 แสดงให้เห็นถึงวิวัฒนาการของวิธีปัญญาประดิษฐ์ที่เป็นมาayanan โดยในปี 1953 ได้มีการนำเสนอวิธีการอ่อนเหนียว ซึ่งใช้หลักของการให้ความร้อนหลอมเหล็กที่อุณหภูมิสูงและลดอุณหภูมิลงอย่างช้าๆ เพื่อให้ได้เหล็กที่มีคุณภาพที่ดี ต่อมาในปี 1969 ได้มีการนำเสนอวิธีระบบผู้เชี่ยวชาญ วิธีนี้ใช้หลักการในการอาศัยประสบการณ์และข้อมูลการเรียนรู้ที่ได้เก็บรวบรวมไว้ นำมาใช้เปรียบเทียบกับคำตอบของข้อมูลปัจจุบัน ปี 1975 วิธีเชิงพันธุกรรม ถูกนำเสนอครั้งแรกต่อสาธารณะโดยการหาคำตอบของวิธีนี้จะอาศัยทฤษฎีการวิวัฒนาการสิ่งมีชีวิต ที่กล่าวว่าผู้ที่แข็งแกร่งกว่ายอมมีโอกาสที่จะอยู่รอด และถ่ายทอดคุณลักษณะเด่นที่มีไปยังรุ่นถัดไปในขณะที่ผู้อ่อนแอกว่ายอมตายไป ปี 1989 ได้มีการนำเสนอวิธีการค้นหาแบบตามซึ่งใช้หลักการการค้นหาคำตอบไปทั่วพื้นที่ของการค้นหาโดยจะเก็บค่าตัวแปรที่ให้คำตอบที่ดีที่สุดไว้ในตารางตาม ปี 1991 วิธีการที่ใช้ธรรมชาติในการเลือกเส้นทางเดินอาหารของแมลงได้ถูกนำเสนอขึ้นโดยใช้หลักการที่ว่ามดจะจำเส้นทางการเดินที่สั้นที่สุดในการเดินไปยังจุดหมาย และปล่อยฟีโรโมนเพื่อให้มดตัวอื่นรู้และปรับเส้นทางการเดินให้เหมาะสม และในปี 1995 ได้มีการนำเสนออัลกอริทึมของวิธีกลุ่มอนุภาคซึ่งใช้หลักการอยู่ร่วมกันเป็นกลุ่มของนก ปลาและแมลง

2.6.2 หลักการพื้นฐานของวิธีกลุ่มอนุภาค

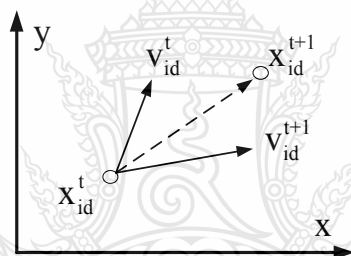


ภาพที่ 2.9 การอยู่ร่วมกันเป็นฝูงของนกและปลา

จากที่กล่าวมาข้างต้นหลักการพื้นฐานของวิธีกقلุ่มอนุภาคนั้น คือการอาศัยการเรียนรู้ของการเคลื่อนที่ในการหาอาหารและอยู่ร่วมกันเป็นกลุ่มของฝูงนก ฝูงปลา และฝูงแมลง ซึ่งต่อไปจะเรียกว่ากกลุ่มอนุภาค (Swarm) อนุภาคเหล่านี้จะเรียนรู้และเคลื่อนที่ปรับเปลี่ยนตำแหน่งของตัวเองไปตามอนุภาคเดคล้อมที่อยู่ในตำแหน่งที่ดีและเหมาะสมกว่า เมื่อปรับเปลี่ยนตำแหน่งจนทุกอนุภาคอยู่ในตำแหน่งที่เหมาะสมและมีการเคลื่อนที่ไปในทิศทางเดียวกันแล้วก็จะหยุดการปรับเปลี่ยนทิศทางดังจะเห็นได้จากตัวอย่าง การบินของฝูงนก และการว่ายน้ำของฝูงปลา แสดงดังภาพที่ 2.9

2.6.3 อัลกอริทึมในการปรับตำแหน่งของวิธีกกลุ่มอนุภาค

อัลกอริทึมของวิธีกกลุ่มอนุภาคเป็นอัลกอริทึมที่ปรับตัวเองบนพื้นฐานของการเรียนรู้สถานการณ์และใช้ข้อมูลร่วมกัน อนุภาคที่อยู่ภายในกลุ่มจะปรับเปลี่ยนตำแหน่งโดยการอาศัยการเรียนรู้จากอนุภาคข้างเคียงที่อยู่ในตำแหน่งที่ให้ค่าที่ดีกว่าการปรับเปลี่ยนตำแหน่งของอนุภาค แสดงดังภาพที่ 2.10



ภาพที่ 2.10 การเปลี่ยนตำแหน่งของอนุภาค

อัลกอริทึมที่สำคัญในการปรับตำแหน่งแสดงได้ตามสมการที่ 2.22 และสมการที่ 2.23 โดยสมการที่ 2.22 แสดงถึงความเร็วในการปรับเปลี่ยนตำแหน่งของอนุภาคและสมการที่ 2.23 แสดงถึงตำแหน่งใหม่ของอนุภาคหลังปรับเปลี่ยนตำแหน่งแล้ว

$$V_{id}^{t+1} = W^* V_{id}^t + \text{Rand}_1(0)^* C_1^* (Pbest_{id} - X_{id}^t) + \text{Rand}_2(0)^* C_2^* (Gbest_d - X_{id}^t) \quad (2.22)$$

$$X_{id}^{t+1} = X_{id}^t + V_{id}^{t+1} \quad (2.23)$$

โดยที่ X_{id}^t คือ ตำแหน่งของอนุภาค i ของตัวแปร d ในรอบการคำนวณที่ t

X_{id}^{t+1} คือ ตำแหน่งของอนุภาค i ของตัวแปร d ในรอบการคำนวณที่ $t+1$

| | |
|-------------------------|---|
| V_{id}^t | คือ ความเร็วในการเปลี่ยนตำแหน่งของอนุภาค i ของตัวแปร d ในรอบการคำนวณที่ t |
| V_{id}^{t+1} | คือ ความเร็วในการเปลี่ยนตำแหน่งของอนุภาค i ของตัวแปร d ในรอบการคำนวณที่ t+1 |
| $Rand_1()$, $Rand_2()$ | คือ ตัวเลขสุ่มระหว่าง 0 ถึง 1 |
| $Pbest_{id}$ | คือ ตำแหน่งที่ดีที่สุดของอนุภาค i ของตัวแปร d |
| $Gbest_d$ | คือ ตำแหน่งที่ดีที่สุดในทุกๆ อนุภาคของตัวแปร d |
| W | ค่าคล่วงนำหนัก |
| C_1, C_2 | ค่าคงที่ |

จากสมการที่ 2.22 และสมการที่ 2.23 สามารถอธิบายการปรับเปลี่ยนตำแหน่งของอนุภาคได้ดังนี้สมการที่ 2.22 นั้นเป็นสมการที่แสดงถึงการปรับความเร็วในการเปลี่ยนตำแหน่งแต่ละอนุภาคโดยประกอบไปด้วย 3 ส่วน ส่วนแรกเป็นส่วนที่ประกอบไปด้วยค่าคล่วงนำหนัก (W) คูณอยู่กับความเร็วของอนุภาคเดิม (V_{id}^t) เป็นการทำให้คำตอบเกิดความหลากหลายไม่ติดอยู่กับคำตอบเฉพาะที่เดิมๆ ส่วนที่สองเป็นส่วนที่แต่ละอนุภาคจะปรับค่าความเหมาะสมสมของตัวเองในปัจจุบันกับค่าของอนุภาคที่ดีที่สุดเฉพาะที่เท่าที่มีอยู่ในขณะนั้นเราแทนอนุภาคที่ดีที่สุดเฉพาะที่ด้วยตัวแปร $Pbest_{id}$ ส่วนสุดท้ายเป็นส่วนที่แต่ละอนุภาคจะปรับค่าเหมาะสมสมของตัวเองในปัจจุบันกับค่าของอนุภาคที่ดีที่สุดของกลุ่มอนุภาคในรุ่นนั้นเราแทนอนุภาคที่ดีที่สุดในกลุ่มว่า $Gbest_d$

2.6.4 การกำหนดค่าตัวแปรของวิธีกลุ่มอนุภาค

การกำหนดค่าตัวแปรในวิธีกลุ่มอนุภาคมีความสำคัญในการถูกเข้าของคำตอบดังนั้นจึงต้องกำหนดค่าตัวแปรต่างๆ ให้มีความเหมาะสมสมกับปัญหาดังจะกล่าวต่อไปนี้

1) ค่าคล่วงนำหนัก (W) ค่าคล่วงนำหนักนี้จะทำให้คำตอบมีความหลากหลายไม่ตอกอยู่กับคำตอบเฉพาะที่ ค่าคล่วงนำหนักที่เหมาะสมจะทำให้การค้นหาคำตอบมีความสมดุลระหว่างการหาคำตอบเฉพาะที่และการค้นหาคำตอบจากขอบเขตทั้งหมด ซึ่งจะทำให้รอบในการค้นหาคำตอบน้อยลงโดยทั่วไปขอบเขตของค่าคล่วงนำหนักนี้จะถูกกำหนดอยู่ระหว่าง 0.4 กับ 0.9 โดยสมการในการปรับค่าคล่วงนำหนักนี้ แสดงได้ตามสมการที่ 2.24

$$W = W_{max} - \frac{W_{max} - W_{min}}{k} t \quad (2.24)$$

| | |
|-------------------|---------------------------------|
| โดยที่ W_{\min} | คือ ขอบเขตล่างของค่าถ่วงน้ำหนัก |
| W_{\max} | คือ ขอบเขตบนของค่าถ่วงน้ำหนัก |
| t | คือ รอบการคำนวณปัจจุบัน |
| k | คือ รอบการคำนวณทั้งหมด |

2) ค่าคงที่ความเร่ง (C_1, C_2) ค่าคงที่ความเร่ง C_1 และ C_2 มีผลต่อความเร็วในการถูเข้าสู่คำตอบโดย C_1 มีผลต่อการถูเข้าสู่คำตอบที่ดีของตำแหน่งในปัจจุบันและ C_2 มีผลต่อการถูเข้าสู่คำตอบที่ดีที่สุดของตำแหน่งในปัจจุบัน การกำหนดค่าคงที่ทั้งสองนี้มีความสำคัญโดยปกติจะกำหนดให้มีค่าอยู่ระหว่าง 0 ถึง 4 ต่อไปจะเป็นการอธิบายถึงผลของการกำหนดค่าคงที่ C_1 และ C_2

1. กำหนดให้ค่าคงที่ C_1 และ C_2 มีค่าต่ำทั้งคู่ การกำหนดให้ค่าคงที่ C_1 และ C_2 มีค่าต่ำทั้งคู่นั้นจะส่งผลให้การค้นหาคำตอบห่างไกลจากเป้าหมายเนื่องจากอนุภาคมีอัตราเร่งในการเคลื่อนที่ต่ำจึงวนอยู่กับคำตอบเฉพาะที่ไม่สามารถข้ามผ่านไปสู่จุดที่ให้คำตอบที่ดีกว่าได้

2. กำหนดให้ค่าคงที่ C_1 และ C_2 มีค่าสูงทั้งคู่นั้นจะส่งผลให้การค้นหาคำตอบเกิดการเคลื่อนที่ผ่านเป้าหมายไปเนื่องจากอนุภาคมีอัตราเร่งในการเคลื่อนที่สูง เพราะฉะนั้นการที่อนุภาคมีอัตราเร่งในการเคลื่อนที่สูงอาจทำให้ไม่เจอกับคำตอบ

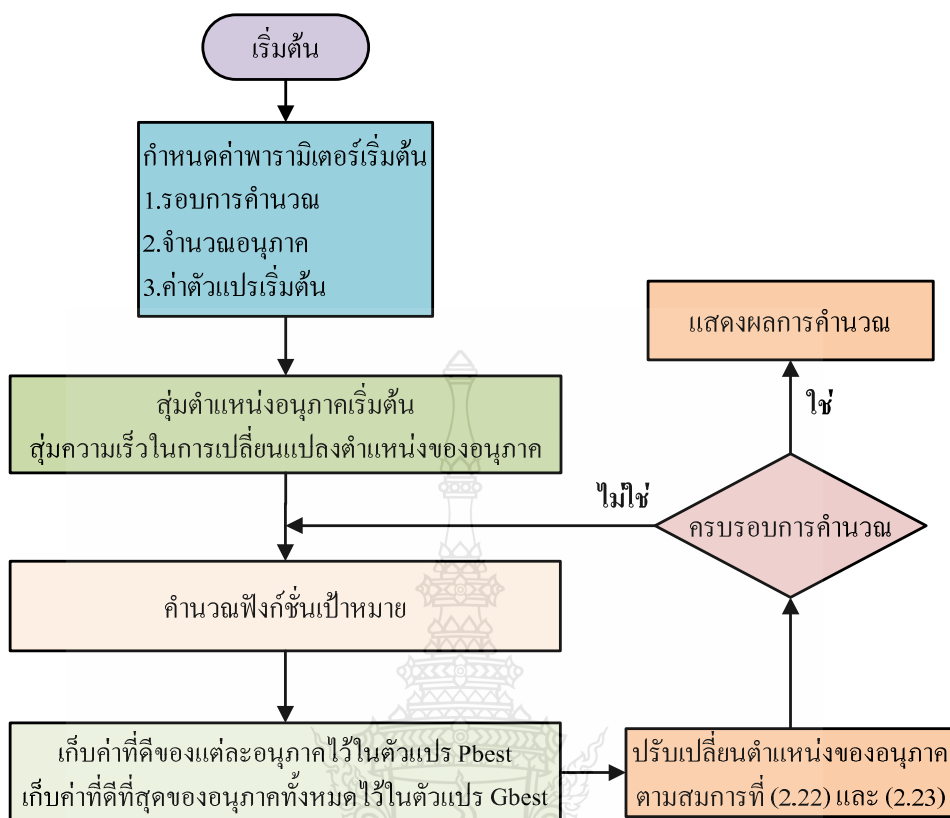
3. กำหนดให้ค่าคงที่ C_1 มีค่าต่ำและ C_2 มีค่าสูง การกำหนดค่าคงที่แบบนี้จะทำให้การค้นหาคำตอบถูเข้าสู่คำตอบอย่างรวดเร็วแต่คำตอบที่ได้ส่วนใหญ่จะเป็นคำตอบเฉพาะที่

4. กำหนดให้ค่าคงที่ C_1 มีค่าสูงและ C_2 มีค่าต่ำ การกำหนดค่าคงที่แบบนี้จะทำให้เกิดการค้นหาคำตอบในแต่ละพื้นที่เป็นแบบกระฉัดกระจายไม่เป็นรูปแบบที่สอดคล้องกันทำให้ไม่สามารถถูเข้าสู่คำตอบที่ดีได้

จะเห็นได้ว่าการกำหนดค่าคงที่ C_1 และ C_2 นั้นมีผลในการถูเข้าสู่คำตอบดังนี้จึงต้องกำหนดค่าให้เหมาะสม ที่นิยมใช้กันคือ ค่าคงที่ C_1 และ C_2 มีค่าเท่ากัน 2 ในส่วนของการกำหนดจำนวนอนุภาคในการคำนวณนั้น จะมีค่าอยู่ระหว่าง 10 ถึง 100 แล้วแต่ความเหมาะสมของปัญหาจำนวนรอบสุดที่ใช้โดยทั่วไปประมาณ 500 รอบ

2.6.5 แบบจำลองของวิธีกลุ่มอนุภาคในการหาคำตอบที่ดีที่สุด

จากหลักการและอัลกอริทึมของวิธีกลุ่มอนุภาคที่กล่าวมาข้างต้นนั้นเรามารอนามาประยุกต์ใช้ในการแก้ปัญหาเพื่อคำตอบที่ดีที่สุดได้โดยเราเริ่มจากสร้างฟังก์ชันเป้าหมายและใช้การปรับเปลี่ยนตำแหน่งของอนุภาคในสมการข้างต้นเพื่อให้ได้คำตอบที่ดีที่สุด สามารถแสดงขั้นตอนการคำนวณได้ดังภาพที่ 2.11



ภาพที่ 2.11 ขั้นตอนการคำนวณหาคำตอบที่ดีที่สุดโดยใช้วิธีกลุ่มอนุภาค

2.7 สรุปผลถุณภูมิและงานวิจัยที่เกี่ยวข้อง

จากการศึกษาวรรณกรรมหรืองานวิจัยที่เกี่ยวข้องกับระบบจำหน่ายไฟฟ้าพบว่าระบบจำหน่ายแบบเรเดียลเป็นระบบที่มีระดับแรงดันต่ำและมีกระแสไฟ流ในสายมากกว่าระบบส่งจ่ายไฟฟ้า เป็นระบบที่เชื่อมต่อระหว่างระบบส่งจ่ายไฟฟ้ากับผู้ใช้ไฟฟ้าเพราะส่งผลกระทบกับผู้ใช้ไฟโดยตรง เมื่อกำลังไฟฟ้าสูญเสียในระบบจำหน่ายไฟฟ้ามีค่าสูงระบบเกิดการขาดเสียริบภาพกำลังไฟฟ้าในระบบ ส่งผลให้ระดับแรงดันไฟฟ้าที่จ่ายให้กับผู้ใช้ไฟลดลง 从งานวิจัยที่ผ่านมาอุปกรณ์ที่ใช้ในการแก้ปัญหาที่เกิดขึ้น เช่น การติดตั้งสวิตซ์ตัดตอนในระบบจำหน่าย ซึ่งมาจากปัญหาการขาดความนำเชื้อถือกำลังไฟฟ้าในระบบจำหน่าย การติดตั้งคากาซิเตอร์แบบค์ การติดตั้งเครื่องกำเนิดไฟฟ้าแบบกระจายที่ต้องการเพิ่มความนำเชื้อถือได้ในระบบจำหน่าย ซึ่งแต่ละวิธีจะมีข้อดีข้อเสียที่แตกต่างกัน ออกไปดังเสนอในรายละเอียดข้างต้น ดังนี้ในการศึกษาถุณภูมิและงานวิจัยที่เกี่ยวข้องกับการวิเคราะห์หาตำแหน่งและขนาดของเครื่องกำเนิดไฟฟ้าแบบกระจายที่เหมาะสมในระบบจำหน่าย จึงจำเป็นต้องศึกษารายละเอียดต่างๆ เกี่ยวกับระบบจำหน่ายแบบเรเดียล เสียริบภาพแรงดันไฟฟ้า การให้ผลของกำลังไฟฟ้า ปัญหาการให้ผลกำลังไฟฟ้าที่เหมาะสมที่สุด วิธีกลุ่มอนุภาค

บทที่ 3

วิธีดำเนินการวิทยานิพนธ์

วิทยานิพนธ์นี้เป็นการวิเคราะห์หาตำแหน่งการติดตั้งเครื่องกำเนิดไฟฟ้าแบบกระจายที่เหมาะสมในระบบจำหน่ายโดยใช้วิธีกลุ่มอนุภาค โดยผู้ทำวิทยานิพนธ์ได้ใช้โปรแกรม MATLAB M-File เป็นเครื่องมือในการวิเคราะห์ระบบ ซึ่งเลือกใช้แบบจำลองระบบจำหน่ายเรเดียล 26 บัส 50 บัส และ 59 บัส ของการไฟฟ้าส่วนภูมิภาค เขต 1 ภาคกลาง เป็นต้นแบบ โดยอาศัยข้อมูลของโปรแกรมคอมพิวเตอร์ที่ศึกษาการไหลของกำลังไฟฟ้านและหาตำแหน่งการติดตั้งเครื่องกำเนิดไฟฟ้าแบบกระจาย ที่เหมาะสมของระบบจำหน่ายแล้วจึงนำค่าพารามิเตอร์ต่างๆไปพล็อตกราฟ จากนั้นทำการวิเคราะห์กำลังไฟฟ้าสูญเสียจากการจำลองระบบ ดูว่าบัสไหนของระบบจำหน่ายที่ติดตั้งเครื่องกำเนิดไฟฟ้าแบบกระจายเข้าไปแล้ว กำลังไฟฟ้าสูญเสียจริงและกำลังไฟฟ้าสูญเสียรีแอคทีฟต่ำที่สุด เมื่อเทียบกับบัสอื่น ๆ กล่าวคือ เป็นบัสที่เหมาะสมในการติดตั้งเครื่องกำเนิดไฟฟ้าแบบกระจายเข้าไปในระบบจำหน่าย ซึ่งผู้ทำวิทยานิพนธ์ได้ดำเนินการตามขั้นตอนดังต่อไปนี้

3.1 ขั้นตอนการดำเนินการวิทยานิพนธ์โดยใช้โปรแกรม MATLAB M-File

วิทยานิพนธ์นี้จะใช้โปรแกรม MATLAB M-File เป็นเครื่องมือในการวิเคราะห์เสถียรภาพ แรงดันไฟฟ้าในระบบมีขั้นตอนการทำงานดังภาพที่ 3.1 ซึ่งใช้วิธีกลุ่มอนุภาคในการหาตำแหน่งติดตั้งเครื่องกำเนิดไฟฟ้า ที่เหมาะสม โดยมีรายละเอียดดังขั้นตอนการทำงานดังนี้

ขั้นตอนที่ 1 จัดเตรียมค่าพารามิเตอร์ต่างๆในระบบจำหน่ายที่จะมาทดสอบเพื่อนำเข้าสู่โปรแกรมคอมพิวเตอร์ในการคำนวณ

ขั้นตอนที่ 2 เมื่อได้พารามิเตอร์ต่างๆจากขั้นตอนที่ 1 แล้วก็มาคำนวณการไหลกำลังไฟฟ้าในระบบจำหน่ายที่จะมาทดสอบเพื่อหาค่าแรงดันและกระแสที่บัสต่างๆ

ขั้นตอนที่ 3 ขั้นตอนนี้เริ่มเข้าสู่กระบวนการวิธีการเคลื่อนตัวของอนุภาคที่เหมาะสมที่สุด แล้วโดยการเริ่มการสุ่มค่า ขนาดและตำแหน่งของเครื่องกำเนิดไฟฟ้าแบบกระจายซึ่งขนาดเมตริกซ์ใน การสุ่มค่าขึ้นอยู่กับว่าต้องการประชากรในการทดสอบเท่าใด

ขั้นตอนที่ 4 นำค่าขนาดและการวางแผนของเครื่องกำเนิดไฟฟ้าแบบกระจายใน ขั้นตอนที่ 3 เพื่อคำนวณหาค่ากำลังไฟฟ้าที่สูญเสียในระบบจำหน่ายที่จะมาทดสอบ จากสมการ วัตถุประสงค์

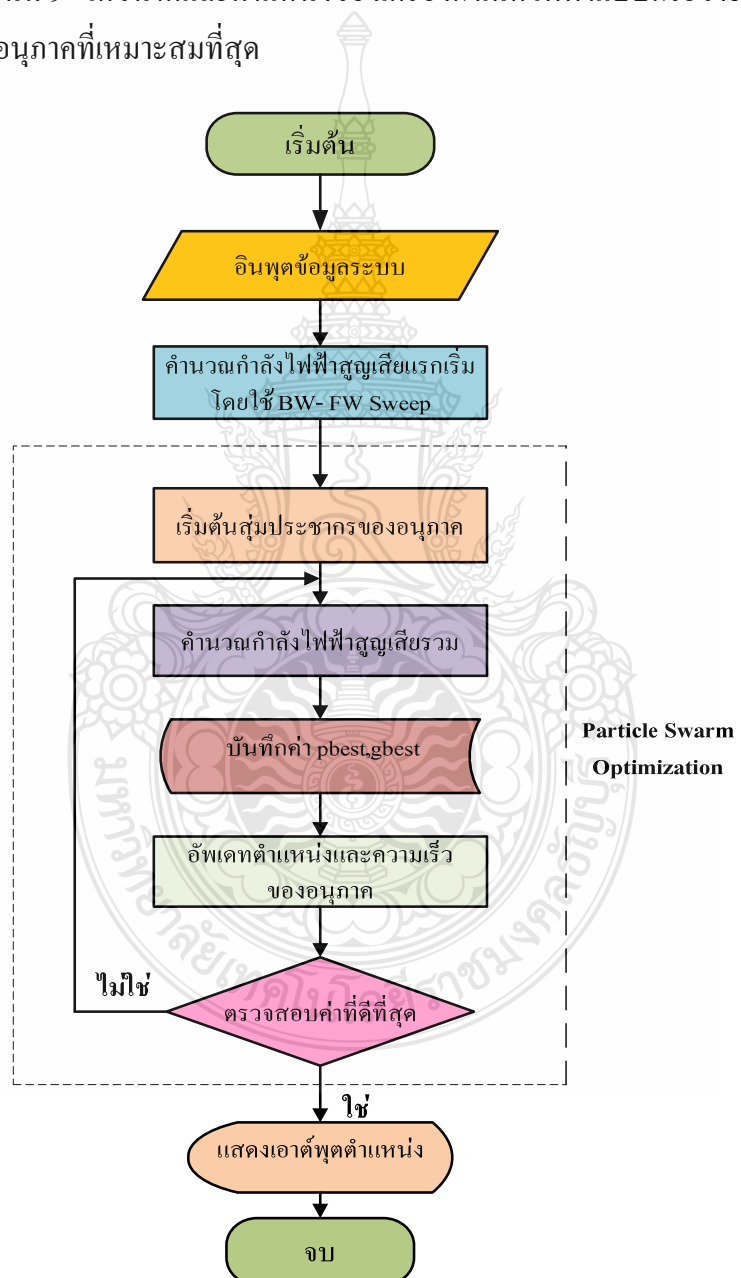
ขั้นตอนที่ 5 บันทึกค่าครรชนิค่าที่ดีที่สุดของกลุ่มอนุภาคในกลุ่ม Pbest

ขั้นตอนที่ 6 บันทึกครรชนิค่าที่ดีที่สุดของอนุภาคในกลุ่มในกลุ่มจะแทนด้วย Gbest

ขั้นตอนที่ 7 ปรับปรุง ค่าความเร็วและตำแหน่งที่ถูกปรับของแต่ละอนุภาคจะสามารถคำนวณได้จากความเร็วในปัจจุบันและระยะห่างระหว่าง Pbest กับ Gbest

ขั้นตอนที่ 8 ตรวจเช็คการทำงานของกระบวนการว่าครบกำหนดที่ตั้งไว้หรือยังถ้ายังให้นำค่าจากการปรับปรุงไปสู่กระบวนการที่ 4 แต่ถ้าครบกำหนดไปสู่กระบวนการที่ 9 ต่อไป

ขั้นตอนที่ 9 ได้ขึ้นค่าและตำแหน่งของเครื่องกำเนิดไฟฟ้าแบบกระจาย จากกระบวนการวิธีการเคลื่อนตัวอนุภาคที่เหมาะสมที่สุด



ภาพที่ 3.1 ขั้นตอนการทำงานด้วยโปรแกรม MATLAB M-File

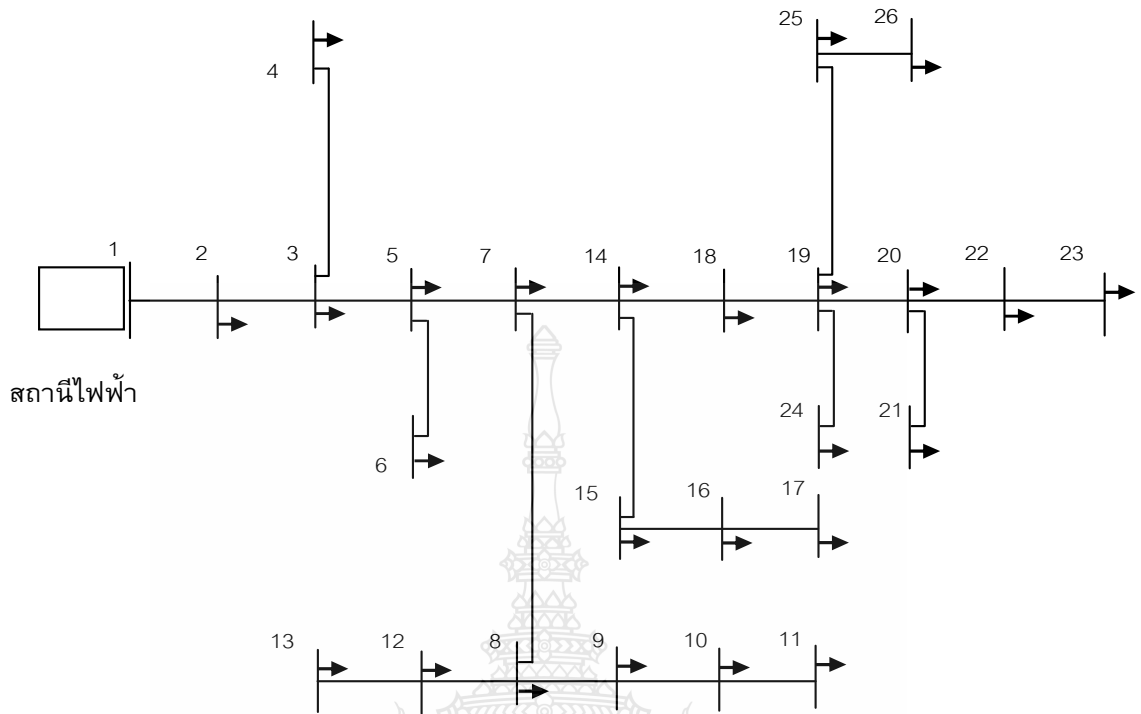
3.2 กรณีศึกษา

ข้อมูลระบบจำหน่ายที่ใช้เป็นกรณีศึกษาประกอบด้วย 3 ระบบ โดยที่ระบบแรกที่ใช้ในการทดสอบเป็นระบบจำหน่ายเรเดียล 26 บัส 25 สาย จำหน่ายโดยมีโหลดติดตั้งรวมทั้งหมดจำนวน 8.49 MW 5.28 MVar ซึ่งดัดแปลงมาจากส่วนหนึ่งของระบบจำหน่ายของการไฟฟ้าส่วนภูมิภาค เขต 1 ภาคกลาง สำหรับความสูญเสียกำลังไฟฟ้าจริงที่เกิดขึ้นในระบบมีจำนวน 11.68 kW คิดเป็นร้อยละ 0.14 และความสูญเสียกำลังไฟฟ้าเสมือนจำนวน 26.08 kVar คิดเป็นร้อยละ 0.5 ลักษณะ ไดอะแกรมเส้นเดียวของระบบแสดงดังภาพที่ 3.2

สำหรับระบบที่สองในภาพที่ 3.3 เป็นไดอะแกรมเส้นเดียวกรณีศึกษาระบบจำหน่ายแบบเรเดียล 50 บัส 49 สายจำหน่าย ซึ่งดัดแปลงมาจากส่วนหนึ่งของระบบจำหน่ายของการไฟฟ้าส่วนภูมิภาค เช่นเดียวกันกับระบบแรก โดยมีโหลดติดตั้งรวมทั้งหมด 13.5 MW 7.4 MVar ความสูญเสียกำลังไฟฟ้าจริงที่เกิดขึ้นในระบบจำหน่ายมีจำนวน 75.47 kW คิดเป็นร้อยละ 0.56 และความสูญเสียกำลังไฟฟ้าเสมือนจำนวน 136.03 kVar คิดเป็นร้อยละ 1.84

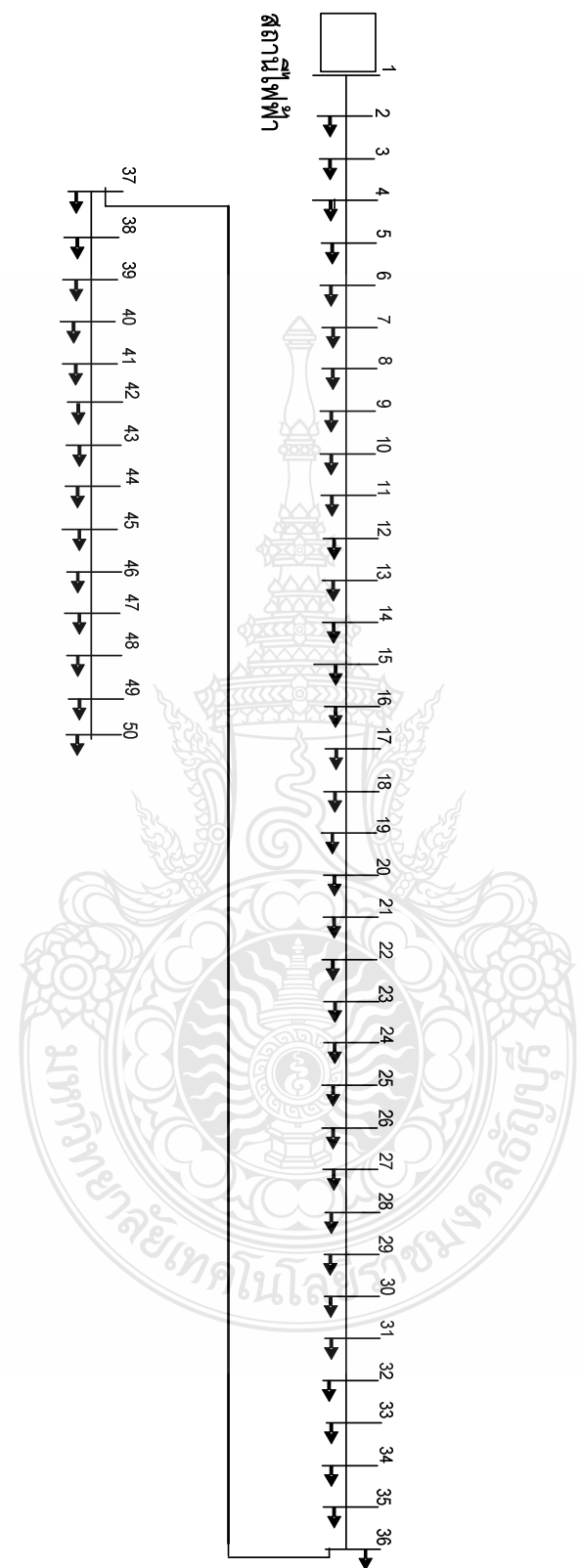
สุดท้ายระบบที่สามในภาพที่ 3.4 เป็นไดอะแกรมเส้นเดียวกรณีศึกษาระบบจำหน่ายแบบเรเดียล 59 บัส 58 สายจำหน่าย ซึ่งดัดแปลงมาจากส่วนหนึ่งของระบบจำหน่ายของการไฟฟ้าส่วนภูมิภาค เช่นเดียวกันกับระบบแรก โดยมีโหลดติดตั้งรวมทั้งหมด 12.17 MW 6.71 MVar ความสูญเสียกำลังไฟฟ้าจริงที่เกิดขึ้นในระบบจำหน่ายมีจำนวน 122.49 kW คิดเป็นร้อยละ 0.1 และความสูญเสียกำลังไฟฟ้าเสมือนจำนวน 279.41 kVar คิดเป็นร้อยละ 4.0

ตารางที่ 3.1-3.3 เป็นข้อมูลระบบจำหน่าย 26 บัส 50 บัส และ 59 บัส ตามลำดับซึ่งประกอบด้วยขนาดกำลังไฟฟ้าจริงและกำลังไฟฟ้าเสมือนของโหลดในแต่ละบัสซึ่งเป็นโหลด 100 เปอร์เซ็นต์ตามพิกัดติดตั้งโดยคิดจากการจำนวนหม้อแปลงในระบบจำหน่ายที่เพาเวอร์แฟคเตอร์เท่ากับ 0.875 และข้อมูลสายจะเป็นค่าความด้านและค่ารีแอคแทนซ์ของสายในระบบเปอร์ยูนิตรวมถึงพิกัด MVA ของสาย

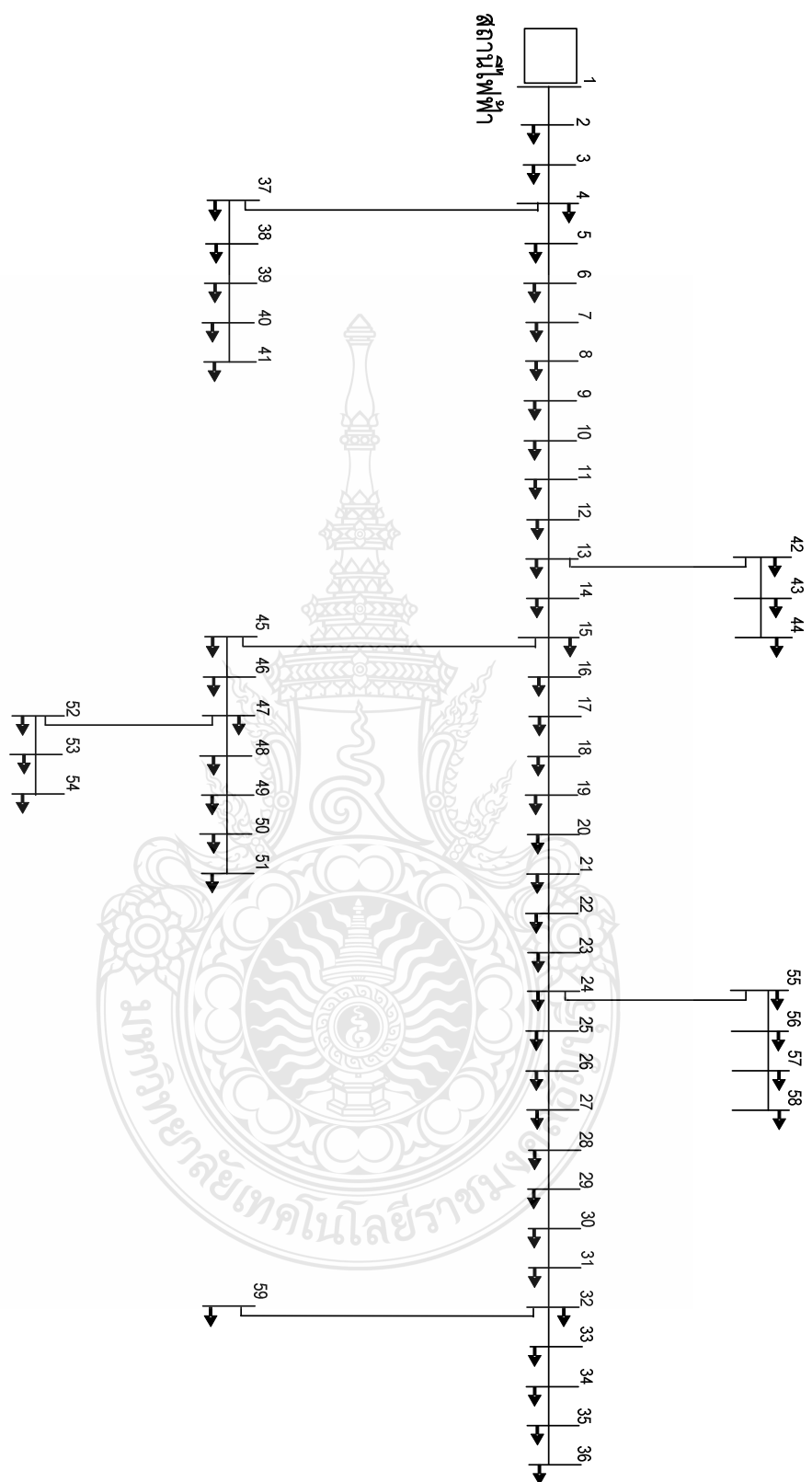


ภาพที่ 3.2 แผนภาพเส้นเดี่ยวของแบบจำลองระบบจำหน่ายแบบเรเดียล 26 บัส





របៀប 3.3 ແພនការពេត់គេងបែងចាយរបៀបចាយបញ្ហាយបែងចាយរបៀបទី៥០ ប៉ាស



ກາພທີ 3.4 ແຜນກາພເສັ້ນເດືອນແບບຈຳລອງຮະບນຈຳຫນ່າຍແບບເຣເດືອນ 59 ບັສ

ตารางที่ 3.1 ข้อมูลระบบจำหน่าย 26 บัส ซึ่งประกอบด้วยขนาดของโหลดในแต่ละบัสทั้งกำลังไฟฟ้าจริงและกำลังไฟฟ้าเสมือนในส่วนข้อมูลสายจำหน่ายประกอบด้วยค่าความต้านทาน ค่ารีแอคเตนซ์ ซึ่งทั้งสองค่าจะอยู่ในรูปเปอร์เซ็นต์รวมถึงค่าพิกัด MVA ของสายจำหน่าย [2]

| ข้อมูลบัส | | | ข้อมูลสายจำหน่าย | | | | |
|-----------|-------|--------|------------------|--------|----------|----------|-------------------|
| บัส | โหลด | | จากบัส | ถึงบัส | R (p.u.) | X (p.u.) | พิกัดสาย (MVA) |
| | (MW) | (MVar) | | | | | |
| 1 | 0.000 | 0.000 | 1 | 2 | 0.000177 | 0.000319 | 20 |
| 2 | 0.369 | 0.221 | 2 | 3 | 0.000469 | 0.001089 | 20 |
| 3 | 0.369 | 0.221 | 3 | 4 | 0.000054 | 0.000129 | 20 |
| 4 | 0.369 | 0.221 | 3 | 5 | 0.000362 | 0.000840 | 20 |
| 5 | 0.369 | 0.221 | 5 | 6 | 0.000053 | 0.000127 | 20 |
| 6 | 0.369 | 0.221 | 5 | 7 | 0.000067 | 0.000156 | 20 |
| 7 | 0.369 | 0.221 | 7 | 8 | 0.000253 | 0.000498 | 16 |
| 8 | 0.369 | 0.221 | 8 | 9 | 0.000068 | 0.000134 | 16 |
| 9 | 0.369 | 0.221 | 9 | 10 | 0.000192 | 0.000377 | 16 |
| 10 | 0.369 | 0.221 | 10 | 11 | 0.000040 | 0.000078 | 16 |
| 11 | 0.369 | 0.221 | 8 | 12 | 0.000301 | 0.000592 | 16 |
| 12 | 0.369 | 0.221 | 12 | 13 | 0.000127 | 0.000250 | 16 |
| 13 | 0.369 | 0.221 | 7 | 14 | 0.000336 | 0.000780 | 20 |
| 14 | 0.369 | 0.221 | 14 | 15 | 0.000022 | 0.000054 | 20 |
| 15 | 0.369 | 0.221 | 15 | 16 | 0.000032 | 0.000075 | 20 |
| 16 | 0.369 | 0.221 | 16 | 17 | 0.000015 | 0.000036 | 20 |
| 17 | 0.214 | 0.076 | 14 | 18 | 0.000415 | 0.000963 | 20 |
| 18 | 0.272 | 0.210 | 18 | 19 | 0.000090 | 0.000210 | 20 |
| 19 | 0.369 | 0.221 | 19 | 20 | 0.000881 | 0.002045 | 20 |
| 20 | 0.369 | 0.221 | 20 | 21 | 0.000204 | 0.000473 | 20 |
| 21 | 0.369 | 0.221 | 20 | 22 | 0.001626 | 0.003772 | 20 |
| 22 | 0.369 | 0.221 | 22 | 23 | 0.000014 | 0.000034 | 20 |
| 23 | 0.250 | 0.200 | 19 | 24 | 0.000128 | 0.000297 | 20 |
| 24 | 0.250 | 0.200 | 19 | 25 | 0.000845 | 0.001960 | 20 |
| 25 | 0.250 | 0.200 | 25 | 26 | 0.000919 | 0.002131 | 20 |
| 26 | 0.250 | 0.200 | | | | | |

ตารางที่ 3.2 ข้อมูลระบบจำนวน่าย 50 บัส ซึ่งประกอบด้วยขนาดของโหลดในแต่ละบัสทั้งกำลังไฟฟ้าจริงและกำลังไฟฟ้าเสมือนในส่วนข้อมูลสายจำนวน่ายประกอบด้วยค่าความต้านทาน ค่ารีแอคเตนซ์ ซึ่งทั้งสองค่าจะอยู่ในรูปเปอร์เซ็นต์ รวมถึงค่าพิกัด MVA ของสายจำนวน่าย [2]

| ข้อมูลบัส | | | ข้อมูลสายจำนวน่าย | | | | |
|-----------|-------|--------|-------------------|--------|----------|----------|-------------------|
| บัส | โหลด | | จากบัส | ถึงบัส | R (p.u.) | X (p.u.) | พิกัดสาย (MVA) |
| | (MW) | (MVar) | | | | | |
| 1 | 0.00 | 0.00 | 1 | 2 | 0.000177 | 0.000319 | 20 |
| 2 | 0.276 | 0.152 | 2 | 3 | 0.000177 | 0.000319 | 20 |
| 3 | 0.276 | 0.152 | 3 | 4 | 0.000177 | 0.000319 | 20 |
| 4 | 0.276 | 0.152 | 4 | 5 | 0.000177 | 0.000319 | 20 |
| 5 | 0.276 | 0.152 | 5 | 6 | 0.000177 | 0.000319 | 20 |
| 6 | 0.276 | 0.152 | 6 | 7 | 0.000177 | 0.000319 | 20 |
| 7 | 0.276 | 0.152 | 7 | 8 | 0.000177 | 0.000319 | 20 |
| 8 | 0.276 | 0.152 | 8 | 9 | 0.000177 | 0.000319 | 20 |
| 9 | 0.276 | 0.152 | 9 | 10 | 0.000177 | 0.000319 | 20 |
| 10 | 0.276 | 0.152 | 10 | 11 | 0.000177 | 0.000319 | 20 |
| 11 | 0.276 | 0.152 | 11 | 12 | 0.000177 | 0.000319 | 20 |
| 12 | 0.276 | 0.152 | 12 | 13 | 0.000177 | 0.000319 | 20 |
| 13 | 0.276 | 0.152 | 13 | 14 | 0.000177 | 0.000319 | 20 |
| 14 | 0.276 | 0.152 | 14 | 15 | 0.000177 | 0.000319 | 20 |
| 15 | 0.276 | 0.152 | 15 | 16 | 0.000177 | 0.000319 | 20 |
| 16 | 0.276 | 0.152 | 16 | 17 | 0.000177 | 0.000319 | 20 |
| 17 | 0.276 | 0.152 | 17 | 18 | 0.000177 | 0.000319 | 20 |
| 18 | 0.276 | 0.152 | 18 | 19 | 0.000177 | 0.000319 | 20 |
| 19 | 0.276 | 0.152 | 19 | 20 | 0.000177 | 0.000319 | 20 |
| 20 | 0.276 | 0.152 | 20 | 21 | 0.000177 | 0.000319 | 20 |
| 21 | 0.276 | 0.152 | 21 | 22 | 0.000177 | 0.000319 | 20 |
| 22 | 0.276 | 0.152 | 22 | 23 | 0.000177 | 0.000319 | 20 |
| 23 | 0.276 | 0.152 | 23 | 24 | 0.000177 | 0.000319 | 20 |
| 24 | 0.276 | 0.152 | 24 | 25 | 0.000177 | 0.000319 | 20 |
| 25 | 0.276 | 0.152 | 25 | 26 | 0.000177 | 0.000319 | 20 |
| 26 | 0.276 | 0.152 | 26 | 27 | 0.000177 | 0.000319 | 20 |

ตารางที่ 3.2 ข้อมูลระบบจำหน่าย 50 บัส ซึ่งประกอบด้วยขนาดของโหลดในแต่ละบัสทั้งกำลังไฟฟ้าจริงและกำลังไฟฟ้าเสมือนในส่วนข้อมูลสายจำหน่ายประกอบด้วยค่าความต้านทาน ค่ารีแอคเตนซ์ ซึ่งทั้งสองค่าจะอยู่ในรูปเปอร์เซ็นต์ รวมถึงค่าพิกัด MVA ของสายจำหน่าย [2] (ต่อ)

| ข้อมูลบัส | | | ข้อมูลสายจำหน่าย | | | | |
|-----------|-------|--------|------------------|--------|----------|----------|-------------------|
| บัส | โหลด | | จากบัส | ถึงบัส | R (p.u.) | X (p.u.) | พิกัดสาย (MVA) |
| | (MW) | (MVar) | | | | | |
| 27 | 0.276 | 0.152 | 27 | 28 | 0.000177 | 0.000319 | 20 |
| 28 | 0.276 | 0.152 | 28 | 29 | 0.000177 | 0.000319 | 20 |
| 29 | 0.276 | 0.152 | 29 | 30 | 0.000177 | 0.000319 | 20 |
| 30 | 0.276 | 0.152 | 30 | 31 | 0.000177 | 0.000319 | 20 |
| 31 | 0.276 | 0.152 | 31 | 32 | 0.000177 | 0.000319 | 20 |
| 32 | 0.276 | 0.152 | 32 | 33 | 0.000177 | 0.000319 | 20 |
| 33 | 0.276 | 0.152 | 33 | 34 | 0.000177 | 0.000319 | 20 |
| 34 | 0.276 | 0.152 | 34 | 35 | 0.000177 | 0.000319 | 20 |
| 35 | 0.276 | 0.152 | 35 | 36 | 0.000177 | 0.000319 | 20 |
| 36 | 0.276 | 0.152 | 36 | 37 | 0.000177 | 0.000319 | 20 |
| 37 | 0.276 | 0.152 | 37 | 38 | 0.000177 | 0.000319 | 20 |
| 38 | 0.276 | 0.152 | 38 | 39 | 0.000177 | 0.000319 | 20 |
| 39 | 0.276 | 0.152 | 39 | 40 | 0.000177 | 0.000319 | 20 |
| 40 | 0.276 | 0.152 | 40 | 41 | 0.000177 | 0.000319 | 20 |
| 41 | 0.276 | 0.152 | 41 | 42 | 0.000177 | 0.000319 | 20 |
| 42 | 0.276 | 0.152 | 42 | 43 | 0.000177 | 0.000319 | 20 |
| 43 | 0.276 | 0.152 | 43 | 44 | 0.000177 | 0.000319 | 20 |
| 44 | 0.276 | 0.152 | 44 | 45 | 0.000177 | 0.000319 | 20 |
| 45 | 0.276 | 0.152 | 45 | 46 | 0.000177 | 0.000319 | 20 |
| 46 | 0.276 | 0.152 | 46 | 47 | 0.000177 | 0.000319 | 20 |
| 47 | 0.276 | 0.152 | 47 | 48 | 0.000177 | 0.000319 | 20 |
| 48 | 0.276 | 0.152 | 48 | 49 | 0.000177 | 0.000319 | 20 |
| 49 | 0.276 | 0.152 | 49 | 50 | 0.000177 | 0.000319 | 20 |
| 50 | 0.276 | 0.152 | | | | | |

ตารางที่ 3.3 ข้อมูลระบบชำหน่าย 59 บัส ซึ่งประกอบด้วยขนาดของโหลดในแต่ละบัสทั้งกำลังไฟฟ้าจริงและกำลังไฟฟ้าเสมือนในส่วนข้อมูลสายชำหน่ายประกอบด้วยค่าความต้านทาน ค่ารีแอคเตนซ์ ซึ่งทั้งสองค่าจะอยู่ในรูปเปอร์เซ็นต์ รวมถึงค่าพิกัด MVA ของสายชำหน่าย [2]

| ข้อมูลบัส | | | ข้อมูลสายชำหน่าย | | | | |
|-----------|-------|--------|------------------|--------|----------|----------|-------------------|
| บัส | โหลด | | จากบัส | ถึงบัส | R (p.u.) | X (p.u.) | พิกัดสาย (MVA) |
| | (MW) | (MVar) | | | | | |
| 1 | 0.00 | 0.00 | 1 | 2 | 0.000266 | 0.000617 | 20 |
| 2 | 0.276 | 0.152 | 2 | 3 | 0.000217 | 0.000504 | 20 |
| 3 | 0.018 | 0.010 | 3 | 4 | 0.000131 | 0.000304 | 20 |
| 4 | 0.088 | 0.048 | 4 | 5 | 0.001818 | 0.004217 | 20 |
| 5 | 0.551 | 0.305 | 5 | 6 | 0.000357 | 0.000852 | 20 |
| 6 | 0.276 | 0.152 | 6 | 7 | 0.000350 | 0.000811 | 20 |
| 7 | 0.276 | 0.152 | 7 | 8 | 0.000684 | 0.001587 | 20 |
| 8 | 0.088 | 0.048 | 8 | 9 | 0.000075 | 0.000174 | 20 |
| 9 | 0.350 | 0.194 | 9 | 10 | 0.000501 | 0.001161 | 20 |
| 10 | 0.276 | 0.305 | 10 | 11 | 0.000642 | 0.001488 | 20 |
| 11 | 0.551 | 0.305 | 11 | 12 | 0.000375 | 0.000870 | 20 |
| 12 | 0.018 | 0.010 | 12 | 13 | 0.001092 | 0.002533 | 20 |
| 13 | 0.350 | 0.194 | 13 | 14 | 0.000556 | 0.001290 | 20 |
| 14 | 0.044 | 0.024 | 14 | 15 | 0.000482 | 0.001117 | 20 |
| 15 | 0.551 | 0.305 | 15 | 16 | 0.000801 | 0.001858 | 20 |
| 16 | 0.044 | 0.024 | 16 | 17 | 0.000551 | 0.001084 | 16 |
| 17 | 0.276 | 0.152 | 17 | 18 | 0.000258 | 0.000507 | 16 |
| 18 | 0.276 | 0.152 | 18 | 19 | 0.000576 | 0.001134 | 16 |
| 19 | 0.018 | 0.010 | 19 | 20 | 0.000425 | 0.000835 | 16 |
| 20 | 0.350 | 0.194 | 20 | 21 | 0.000472 | 0.000928 | 16 |
| 21 | 0.044 | 0.024 | 21 | 22 | 0.000143 | 0.000282 | 16 |
| 22 | 0.018 | 0.010 | 22 | 23 | 0.000151 | 0.000296 | 16 |
| 23 | 0.276 | 0.152 | 23 | 24 | 0.000532 | 0.001047 | 16 |
| 24 | 0.044 | 0.024 | 24 | 25 | 0.000214 | 0.000421 | 16 |
| 25 | 0.350 | 0.194 | 25 | 26 | 0.000149 | 0.000294 | 16 |
| 26 | 0.044 | 0.024 | 26 | 27 | 0.000149 | 0.000294 | 16 |

ตารางที่ 3.3 ข้อมูลระบบชำหน่าย 59 บัส ซึ่งประกอบด้วยขนาดของโหลดในแต่ละบัสทั้งกำลังไฟฟ้าจริงและกำลังไฟฟ้าเสมือนในส่วนข้อมูลสายชำหน่ายประกอบด้วยค่าความต้านทาน ค่ารีแอคเตนซ์ ซึ่งทั้งสองค่าจะอยู่ในรูปเปอร์เซ็นต์ รวมถึงค่าพิกัด MVA ของสายชำหน่าย [2] (ต่อ)

| ข้อมูลบัส | | | ข้อมูลสายชำหน่าย | | | | |
|-----------|-------|--------|------------------|--------|----------|----------|-------------------|
| บัส | โหลด | | จากบัส | ถึงบัส | R (p.u.) | X (p.u.) | พิกัดสาย (MVA) |
| | (MW) | (MVar) | | | | | |
| 27 | 0.276 | 0.152 | 27 | 28 | 0.001344 | 0.002644 | 16 |
| 28 | 0.044 | 0.024 | 28 | 29 | 0.000475 | 0.000935 | 16 |
| 29 | 0.018 | 0.010 | 29 | 30 | 0.000447 | 0.000880 | 16 |
| 30 | 0.276 | 0.152 | 30 | 31 | 0.002009 | 0.003952 | 16 |
| 31 | 0.044 | 0.024 | 31 | 32 | 0.000755 | 0.001486 | 16 |
| 32 | 0.350 | 0.194 | 32 | 33 | 0.002040 | 0.004013 | 16 |
| 33 | 0.551 | 0.305 | 33 | 34 | 0.000679 | 0.001335 | 16 |
| 34 | 0.088 | 0.048 | 34 | 35 | 0.002319 | 0.004562 | 16 |
| 35 | 0.276 | 0.152 | 35 | 36 | 0.001262 | 0.002482 | 16 |
| 36 | 0.276 | 0.152 | 4 | 37 | 0.001210 | 0.000854 | 6 |
| 37 | 0.088 | 0.048 | 37 | 38 | 0.001210 | 0.000854 | 6 |
| 38 | 0.088 | 0.048 | 38 | 39 | 0.002456 | 0.001734 | 6 |
| 39 | 0.088 | 0.048 | 39 | 40 | 0.001239 | 0.000875 | 6 |
| 40 | 0.276 | 0.152 | 40 | 41 | 0.000146 | 0.000103 | 6 |
| 41 | 0.088 | 0.048 | 13 | 42 | 0.004377 | 0.002425 | 7 |
| 42 | 0.088 | 0.048 | 42 | 43 | 0.005415 | 0.003000 | 7 |
| 43 | 0.044 | 0.024 | 43 | 44 | 0.001897 | 0.001051 | 7 |
| 44 | 0.350 | 0.194 | 15 | 45 | 0.000436 | 0.001012 | 20 |
| 45 | 0.276 | 0.152 | 45 | 46 | 0.000850 | 0.004291 | 20 |
| 46 | 0.551 | 0.305 | 46 | 47 | 0.000437 | 0.001013 | 20 |
| 47 | 0.276 | 0.152 | 47 | 48 | 0.000822 | 0.001907 | 20 |
| 48 | 0.551 | 0.305 | 48 | 49 | 0.000505 | 0.001170 | 20 |
| 49 | 0.018 | 0.010 | 49 | 50 | 0.000932 | 0.002163 | 20 |
| 50 | 0.088 | 0.048 | 50 | 51 | 0.000453 | 0.000251 | 7 |
| 51 | 0.276 | 0.152 | 47 | 52 | 0.002631 | 0.001457 | 7 |
| 52 | 0.018 | 0.010 | 52 | 53 | 0.001095 | 0.000607 | 7 |

ตารางที่ 3.3 ข้อมูลระบบจำหน่าย 59 บัส ซึ่งประกอบด้วยขนาดของโหลดในแต่ละบัสทั้งกำลังไฟฟ้าจริงและกำลังไฟฟ้าเสมือนในส่วนข้อมูลสายจำหน่ายประกอบด้วยค่าความต้านทาน ค่ารีแอคเตนซ์ ซึ่งทั้งสองค่าจะอยู่ในรูปเปอร์ยูนิต รวมถึงค่าพิกัด MVA ของสายจำหน่าย [2] (ต่อ)

| ข้อมูลบัส | | | ข้อมูลสายจำหน่าย | | | | |
|-----------|-------|--------|------------------|--------|----------|----------|-------------------|
| บัส | โหลด | | จากบัส | ถึงบัส | R (p.u.) | X (p.u.) | พิกัดสาย (MVA) |
| | (MW) | (MVar) | | | | | |
| 53 | 0.044 | 0.024 | 53 | 54 | 0.000306 | 0.000170 | 7 |
| 54 | 0.350 | 0.194 | 24 | 55 | 0.000205 | 0.000402 | 16 |
| 55 | 0.276 | 0.152 | 55 | 56 | 0.000205 | 0.000834 | 16 |
| 56 | 0.350 | 0.194 | 56 | 57 | 0.000356 | 0.000701 | 16 |
| 57 | 0.044 | 0.024 | 57 | 58 | 0.007182 | 0.005071 | 6 |
| 58 | 0.276 | 0.152 | 32 | 59 | 0.008451 | 0.005968 | 6 |
| 59 | 0.018 | 0.010 | | | | | |

3.3 สรุป

วิทยานิพนธ์นี้ใช้โปรแกรม MATLAB M-File เป็นเครื่องมือในการวิเคราะห์กำลังไฟฟ้าสูญเสียในระบบจำหน่าย โดยเลือกใช้แบบจำลองระบบจำหน่ายเรเดียล 26 บัส 50 บัส และ 59 บัส ของการไฟฟ้าส่วนภูมิภาค เขต 1 ภาคกลาง เป็นระบบที่นำมาใช้ในวิทยานิพนธ์ เพื่อการศึกษา กำลังไฟฟ้าสูญเสียระบบก่อนติดตั้งเครื่องกำเนิดไฟฟ้าแบบกระจาย และระบบที่มีการติดตั้งเครื่องกำเนิดไฟฟ้าแบบกระจายเข้าไปในระบบแล้ว โดยระบบจำหน่ายแบบเรเดียล 26 บัส แรกเริ่ม กำลังไฟฟ้าจริงและกำลังไฟฟ้ารีแอคทีฟที่สูญเสียรวมในระบบขนาด 11.68 kW 26.08 kVar สำหรับ ระบบที่ส่องระบบจำหน่ายแบบเรเดียล 50 บัส แรกเริ่ม กำลังไฟฟ้าจริงและกำลังไฟฟ้ารีแอคทีฟที่สูญเสียรวมในระบบขนาด ที่เกิดขึ้นในระบบจำหน่ายมีจำนวน 75.47 kW และความสูญเสีย กำลังไฟฟ้าเสมือนจำนวน 136.03 kVar สุดท้ายระบบที่ส่องระบบจำหน่ายแบบเรเดียล 59 บัส แรกเริ่ม กำลังไฟฟ้าจริงและกำลังไฟฟ้ารีแอคทีฟที่สูญเสียรวมในระบบขนาด 122.49 kW และความสูญเสีย กำลังไฟฟ้าเสมือนจำนวน 279.41 kVar

บทที่ 4

ผลการทดสอบ

ระบบที่นำมาใช้ในวิทยานิพนธ์นี้ คือระบบจำหน่ายเรเดียล 26 บัส 50 บัส และ 59 บัส ของ การไฟฟ้าส่วนภูมิภาค เขต 1 ภาคกลาง โดยการนำข้อมูลต่างๆ ของระบบมาใช้ในโปรแกรม MATLAB M-File เพื่อวิเคราะห์กำลังไฟฟ้าสูญเสียของระบบและหาบสที่เหมาะสมในการติดตั้ง เครื่องกำเนิดไฟฟ้าแบบกระจายเข้าไปในระบบจำหน่าย โดยใช้วิธีกลุ่มอนุภาคในการหาตำแหน่งที่ เหมาะสม ว่าบส ไหนของระบบจำหน่ายที่ติดตั้งเครื่องกำเนิดไฟฟ้าแบบกระจายเข้าไปแล้ว กำลังไฟฟ้า สูญเสียจริงและกำลังไฟฟ้าสูญเสียริแอคทีฟต่ำที่สุด ก็จะเป็นตำแหน่งที่เหมาะสมในการติดตั้งเครื่อง กำเนิดไฟฟ้าแบบกระจายเข้าไปในระบบจำหน่าย

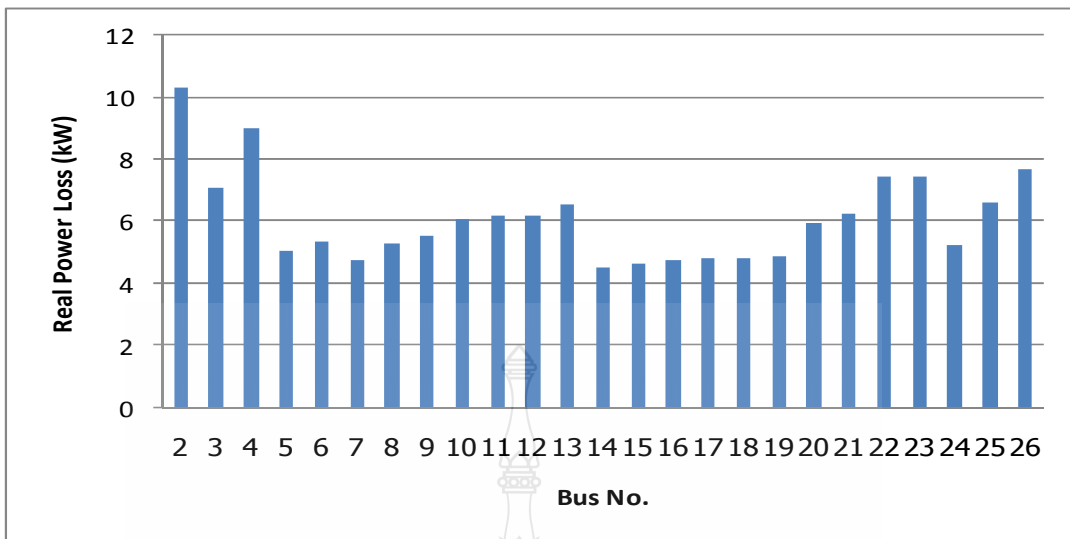
4.1 การปรับปรุงกำลังไฟฟ้าสูญเสียของระบบจำหน่าย 26 บัสที่ติดตั้งเครื่องกำเนิดไฟฟ้าแบบกระจาย

วิทยานิพนธ์นี้ เป็นการศึกษาการปรับปรุงสิ่งสภาพของระบบจำหน่ายแบบเรเดียล 26 บัส ของการไฟฟ้าส่วนภูมิภาค เขต 1 ภาคกลาง มีกำลังไฟฟ้ารวมของโหลดขนาด จำนวน 8.49 MW และ 5.28 MVar แรกเริ่ม กำลังไฟฟ้าจริงที่สูญเสียรวมในระบบขนาด 11.69 kW และ กำลังไฟฟารีแอคทีฟที่ สูญเสียรวมในระบบขนาด 26.08 kVar ใช้ Base MVA = 10 MVA และ Base kV = 12.66 kV การ จำลองการให้ของกำลังใช้แบบกระแสข้อนกันและแรงดันแบบไปข้างหน้า และหาตำแหน่งการ ติดตั้งเครื่องกำเนิดไฟฟ้าแบบกระจายที่เหมาะสม โดยวิธีกกลุ่มอนุภาค กำหนดให้มีจำนวนอนุภาคใน การคำนวณเท่ากับ 100 ค่าอ่วงนำหนัก $W_{min} = 0.4$ และ $W_{max} = 0.9$ ความเร็วในการค้นหาค่าตอบ เท่ากับ 0.5 ค่าความเร่ง $C_1 = 2$ และ $C_2 = 2$ และจำนวนรอบในการค้นหาเท่ากับ 50 รอบ

หลังจากจำลองการติดตั้งเครื่องกำเนิดไฟฟ้าแบบกระจายเข้าไปโดยใช้วิธีกกลุ่มอนุภาคหา ตำแหน่งติดตั้งที่เหมาะสมที่สุดแล้ว ได้บสที่เหมาะสมในการติดตั้งเครื่องกำเนิดไฟฟ้าแบบกระจายเข้าไปในระบบ คือ บสที่ 14 โดยการติดตั้งเครื่องกำเนิดไฟฟ้าแบบกระจายขนาด 6.95 MW ผลการจำลอง ค่าต่างๆ ของระบบจำหน่าย 26 บัส หลังติดตั้งเครื่องกำเนิดไฟฟ้าแบบกระจายแสดงดังภาพที่ 4.1-4.3 และ ตารางที่ 4.1-4.2 ตามลำดับ

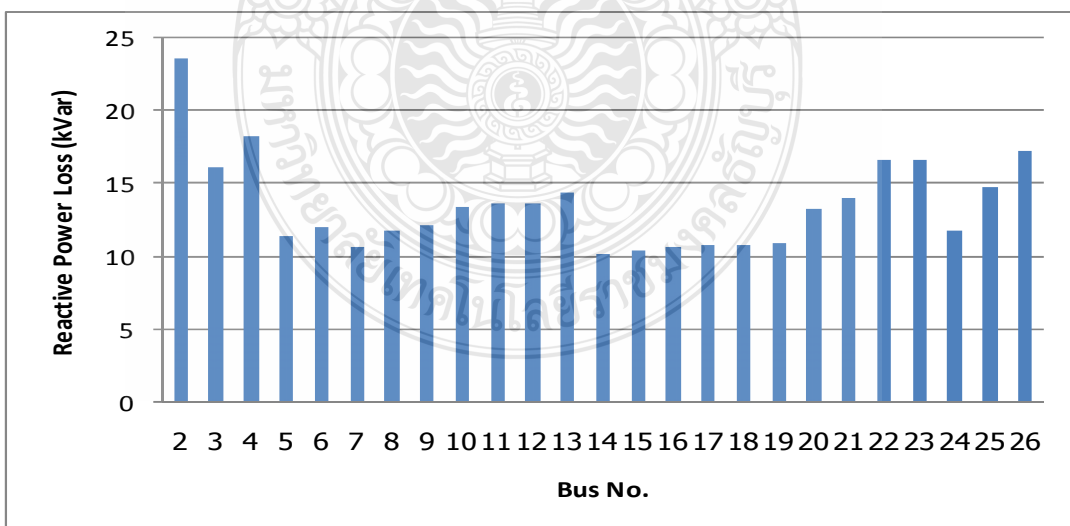
ตารางที่ 4.1 ผลการจำลองค่าต่างๆ ของระบบจำหน่ายแบบเรเดียล 26 บัส หลังติดตั้งเครื่องกำเนิดไฟฟ้าแบบกระจาย

| บัส | ขนาด DG (MW) | Ploss kW | Qloss kVar |
|-----------|-----------------|---------------|----------------|
| 2 | 8.5068 | 10.3580 | 23.6760 |
| 3 | 8.2344 | 7.1198 | 16.1569 |
| 4 | 4.6531 | 9.0117 | 18.2691 |
| 5 | 7.9300 | 5.0661 | 11.3894 |
| 6 | 7.5522 | 5.3662 | 12.1020 |
| 7 | 7.8500 | 4.7659 | 10.6897 |
| 8 | 6.7758 | 5.3157 | 11.7930 |
| 9 | 6.4996 | 5.5243 | 12.2208 |
| 10 | 5.8028 | 6.0993 | 13.4124 |
| 11 | 5.6693 | 6.2192 | 13.6618 |
| 12 | 5.6600 | 6.2339 | 13.6948 |
| 13 | 5.2773 | 6.5771 | 14.4206 |
| <u>14</u> | <u>6.9486</u> | <u>4.5639</u> | <u>10.2018</u> |
| 15 | 6.8565 | 4.6432 | 10.3937 |
| 16 | 6.7195 | 4.7710 | 10.6880 |
| 17 | 6.6535 | 4.8367 | 10.8430 |
| 18 | 5.9930 | 4.8258 | 10.7728 |
| 19 | 5.8276 | 4.8788 | 10.8882 |
| 20 | 4.4188 | 5.9701 | 13.3300 |
| 21 | 4.1434 | 6.2939 | 14.0584 |
| 22 | 3.0214 | 7.4594 | 16.6576 |
| 23 | 3.0127 | 7.4705 | 16.6838 |
| 24 | 5.4783 | 5.2687 | 11.7739 |
| 25 | 4.1968 | 6.5990 | 14.7698 |
| 26 | 3.2110 | 7.7178 | 17.2749 |



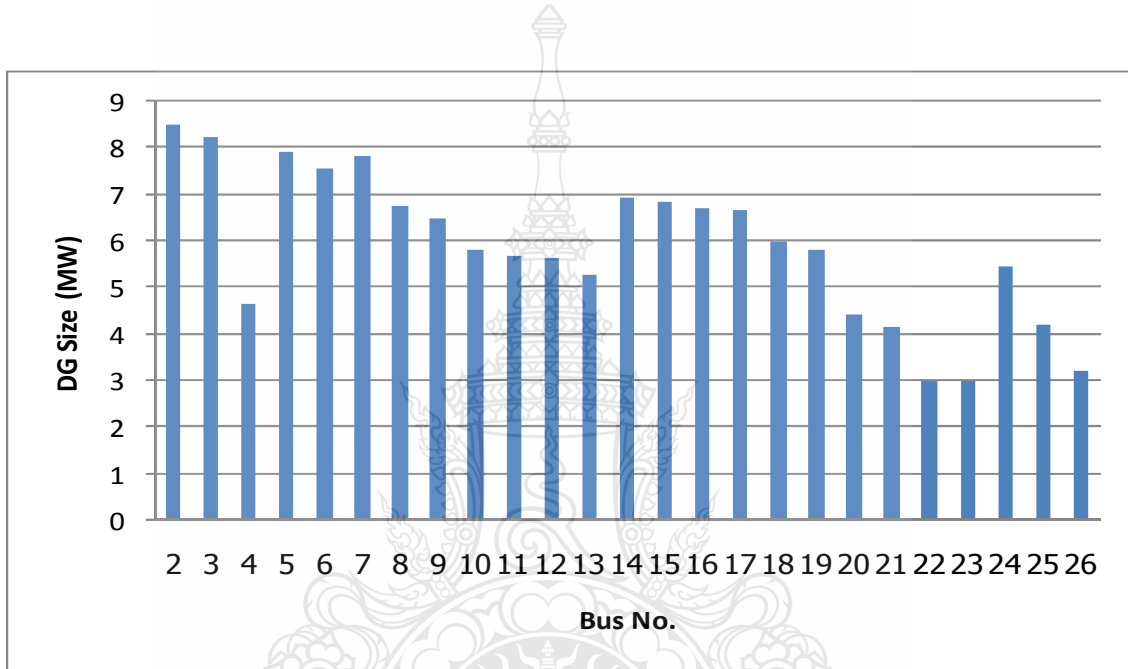
ภาพที่ 4.1 ค่ากำลังไฟฟ้าจริงสูญเสียหลังติดตั้ง DG ของระบบจำหน่าย 26 บัส 25 สายจำหน่าย

ภาพที่ 4.1 แสดงผลของกำลังไฟฟ้าสูญเสียจริงของระบบจำหน่ายหลังติดตั้งเครื่องกำเนิดไฟฟ้าแบบกระจายที่บัสต่างๆ ของระบบจำหน่าย 26 บัส 25 สายจำหน่าย พ布ว่าเมื่อติดตั้งเครื่องกำเนิดไฟฟ้าแบบกระจายเข้าไปที่บัส 14 ทำให้ค่ากำลังไฟฟ้าสูญเสียจริงของระบบจำหน่ายเท่ากับ 4.56 kW ลดลงจากก่อนติดตั้งเครื่องกำเนิดไฟฟ้าแบบกระจายร้อยละ 60.96 ซึ่งมีค่ากำลังไฟฟ้าสูญเสียจริงต่ำที่สุดเมื่อเทียบกับบัสอื่นๆ จึงเป็นบัสที่เหมาะสมที่สุด



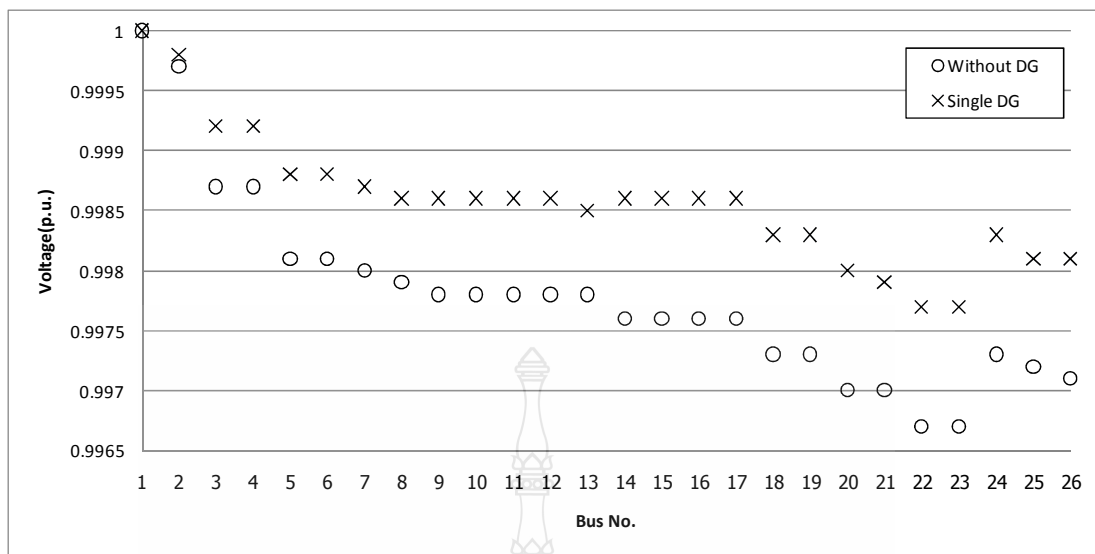
ภาพที่ 4.2 ค่ากำลังไฟฟ้ารีแอคทีฟสูญเสียหลังติดตั้ง DG ของระบบจำหน่าย 26 บัส 25 สายจำหน่าย

ภาพที่ 4.2 แสดงผลของกำลังไฟฟ้ารีแอคทีฟสูญเสียของระบบจำนวน่ายหลังติดตั้งเครื่องกำเนิดไฟฟ้าแบบกระจายที่บัสต่างๆ ของระบบจำนวน่าย 26 บัส 25 สายจำนวน่าย พ布ว่าเมื่อติดตั้งเครื่องกำเนิดไฟฟ้าแบบกระจายบัสที่ 14 มีค่ากำลังไฟฟ้ารีแอคทีฟสูญเสียของระบบจำนวน่ายเท่ากับ 10.20 kVar ลดลงจากก่อนติดตั้งเครื่องกำเนิดไฟฟ้าแบบกระจายร้อยละ 60.88 ซึ่งมีค่ากำลังไฟฟ้าสูญเสียรีแอคทีฟต่ำที่สุดเมื่อเทียบกับบัสอื่นๆ จึงเป็นบัสที่เหมาะสมที่สุดในการติดตั้งเครื่องกำเนิดไฟฟ้าแบบกระจาย



ภาพที่ 4.3 ขนาด DG ที่เหมาะสมของระบบจำนวน่าย 26 บัส 25 สายจำนวน่าย

ภาพที่ 4.3 แสดงผลของขนาดเครื่องกำเนิดไฟฟ้าแบบกระจายที่เหมาะสมที่สุด ติดตั้งที่บัสต่างๆ ในระบบจำนวน่าย 26 บัส 25 สายจำนวน่าย ทำให้ค่ากำลังไฟฟ้าสูญเสียมีค่าน้อยที่สุด พ布ว่าเมื่อติดตั้งเครื่องกำเนิดไฟฟ้าแบบกระจายบัสที่ 14 ขนาด 6.95 MW ทำให้ระบบจำนวน่ายมีค่ากำลังไฟฟ้าสูญเสียจริงของเท่ากับ 4.56 kW ลดลงจากก่อนติดตั้งเครื่องกำเนิดไฟฟ้าแบบกระจายร้อยละ 60.96 และกำลังไฟฟ้ารีแอคทีฟสูญเสียเท่ากับ 10.20 kVar ลดลงจากก่อนติดตั้งเครื่องกำเนิดไฟฟ้าแบบกระจายร้อยละ 60.88 ซึ่งเป็นบัสที่เหมาะสมที่สุดที่จะติดตั้งเครื่องกำเนิดไฟฟ้าแบบกระจาย เพราะทำให้กำลังไฟฟ้าสูญเสียในระบบจำนวน่ายมีค่าน้อยที่สุด



ภาพที่ 4.4 ขนาดแรงดันที่บัสต่างๆ ก่อนและหลังติดตั้ง DG ของระบบจำนวน 26 บัส

ภาพที่ 4.4 แสดงผลขนาดแรงดันที่บัสต่างๆ ก่อนและหลังติดตั้งเครื่องกำเนิดไฟฟ้าแบบกระจายของระบบจำนวน 26 บัส 25 สายจำนวนนี้ พนว่าแรงดันที่เป็น WEAK BUS คือบัสที่ 23 ดีขึ้นจากเดิม ก่อนติดตั้งเครื่องกำเนิดไฟฟ้าแบบกระจายมีแรงดันเท่ากับ 0.9967 p.u. หลังจากติดตั้งเครื่องกำเนิดไฟฟ้าแบบกระจายเข้าไป แรงดันเท่ากับ 0.9977 p.u. ยังทำให้แรงดันไฟฟ้าในทุกๆ บัสดีขึ้นกว่าเดิม

ตารางที่ 4.2 การหาตำแหน่งติดตั้งเครื่องกำเนิดไฟฟ้าแบบกระจายที่เหมาะสมโดยใช้ PSO ของ 26 บัส

| System | Method | Bus No. | DG Size MW | Ploss | Qloss | Loss Reduction % | |
|--------|-----------------------|---------|---------------|--------|---------|------------------|----------|
| | | | | kW | kVar | Real | Reactive |
| 26 Bus | Load Flow Analysis | | | 11.69 | 26.08 | | |
| | | 6 | 7.5522 | 5.3662 | 12.1020 | 54.1056 | 53.5987 |
| | PSO | 12 | 5.6600 | 6.2339 | 13.6948 | 46.6846 | 47.4916 |
| | | 13 | 5.2773 | 6.5771 | 14.4206 | 43.7494 | 44.7088 |
| | | 14 | 6.9486 | 4.5639 | 10.2018 | 60.9672 | 60.8844 |
| | | 15 | 6.8565 | 4.6432 | 10.3937 | 60.2890 | 60.1486 |
| | | 16 | 6.7195 | 4.7710 | 10.6880 | 59.1960 | 59.0202 |

จากตารางที่ 4.2 หลังจากติดตั้งเครื่องกำเนิดไฟฟ้าแบบกระจายเข้าไปในระบบจำหน่ายแบบ เรเดียล 26 บัส ในตำแหน่งและขนาดที่เหมาะสมแล้ว สามารถลดกำลังไฟฟ้าสูญเสียจริงและ กำลังไฟฟ้าสูญเสียรีแอคทีฟได้ถึงร้อยละ 60.96 และ 60.88 ตามลำดับ ทำให้ระบบมีเสถียรภาพมากขึ้น

จากผลการจำลองระบบจำหน่ายแบบเรเดียล 26 บัส หลังติดตั้งเครื่องกำเนิดไฟฟ้าแบบ กระจายขนาด 6.95 MW เข้าไปโดยใช้วิธีกลุ่มอนุภาคหาตำแหน่งติดตั้งที่เหมาะสมที่สุดแล้ว ได้บัสที่ เหมาะสมในการติดตั้งเครื่องกำเนิดไฟฟ้าแบบกระจาย เข้าไปในระบบ คือ บัสที่ 14 มีกำลังไฟฟ้าจริง เท่ากับ 4.5639 kW และกำลังไฟฟารีแอคทีฟเท่ากับ 10.2018 kVar เพราะกำลังไฟฟ้าสูญเสียจริงและ กำลังไฟฟ้าสูญเสียรีแอคทีฟต่ำที่สุด จึงเหมาะสมที่จะติดตั้งเครื่องกำเนิดไฟฟ้าแบบกระจายเข้าไปเพื่อ ชดเชยกำลังไฟฟ้าในระบบให้ดีขึ้นและยังทำให้แรงดันไฟฟ้าในทุกๆ บัสดีขึ้นกว่าเดิม ส่วนแรงดันบัส ที่เป็น WEAK BUS ก็ดีขึ้นจากเดิม จากบัสที่ 23 ก่อนติดตั้งเครื่องกำเนิดไฟฟ้าแบบกระจายมีแรงดัน เท่ากับ 0.9967 p.u. หลังจากติดตั้งเครื่องกำเนิดไฟฟ้าแบบกระจายขนาด 6.94 MW เข้าไปในระบบจำหน่าย แล้ว ทำให้แรงดันที่ WEAK BUS มีค่าดีขึ้น

4.2 การปรับปรุงกำลังไฟฟ้าสูญเสียของระบบจำหน่าย 50 บัสที่ติดตั้งเครื่องกำเนิดไฟฟ้าแบบกระจาย

ในหัวข้อวิทยานิพนธ์นี้ เป็นการศึกษาการปรับปรุงกำลังไฟฟ้าสูญเสียของระบบจำหน่าย แบบเรเดียล 50 บัส ของการไฟฟ้าส่วนภูมิภาค เขต 1 ภาคกลาง มีกำลังไฟฟ้ารวมของโหลดขนาด จำนวน 13.5 MW และ 7.4 MVar และเริ่มกำลังไฟฟ้าจริงที่สูญเสียรวมในระบบขนาด 75.47 kW และ กำลังไฟฟารีแอคทีฟที่สูญเสียรวมในระบบขนาด 136.03 kVar ใช้ Base MVA = 10 MVA และ Base kV = 12.66 kV การจำลองการให้โหลดของกำลังใช้แบบกระแสข้อนกลับและแรงดันแบบไปข้างหน้า และ หาตำแหน่งการติดตั้งเครื่องกำเนิดไฟฟ้าแบบกระจายที่เหมาะสมโดยวิธีกลุ่มอนุภาค กำหนดให้มี จำนวนอนุภาคในการคำนวณเท่ากับ 100 ค่าจ่วงหนัก $W_{min} = 0.4$ และ $W_{max} = 0.9$ ความเร็วในการ คืนหาคำตอบเท่ากับ 0.5 ค่าความรุ่ง $C_1 = 2$ และ $C_2 = 2$ และจำนวนรอบในการคืนหาเท่ากับ 50 รอบ

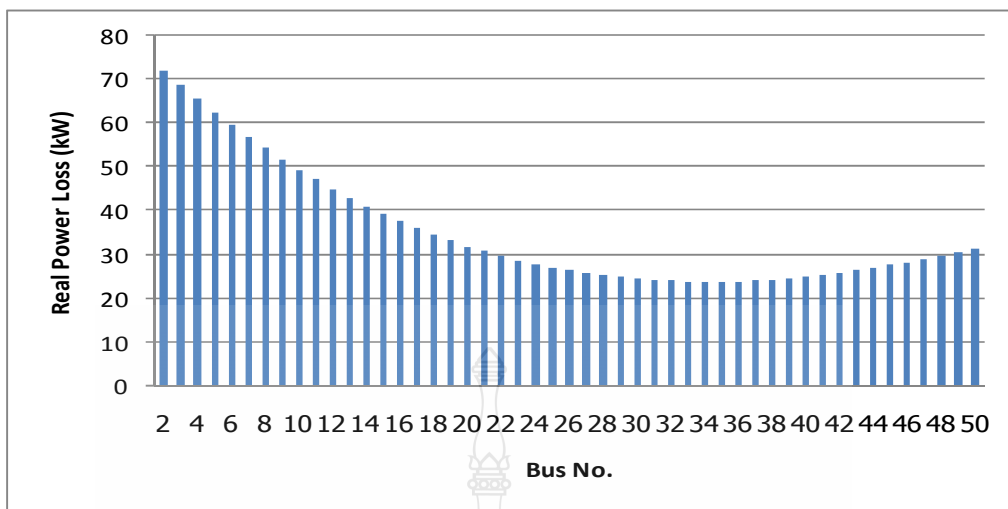
หลังจากจำลองการติดตั้งเครื่องกำเนิดไฟฟ้าแบบกระจายเข้าไปโดยใช้วิธีกลุ่มอนุภาคหา ตำแหน่งติดตั้งที่เหมาะสมที่สุดแล้ว ได้บัสที่เหมาะสมในการติดตั้งเครื่องกำเนิดไฟฟ้าแบบกระจาย เข้าไปในระบบ คือ บัสที่ 34 โดยการติดตั้งเครื่องกำเนิดไฟฟ้าแบบกระจายขนาด 9.10 MW ผลการจำลอง ค่าต่างๆ ของระบบจำหน่าย 50 บัส หลังติดตั้งเครื่องกำเนิดไฟฟ้าแบบกระจายแสดงดังภาพที่ 4.5-4.8 และตารางที่ 4.3-4.4 ตามลำดับ

ตารางที่ 4.3 ผลการจำลองค่าต่างๆ ของระบบจำหน่ายแบบเรเดียล 50 บัส หลังติดตั้งเครื่องกำเนิดไฟฟ้าแบบกระจาย

| บัส | ขนาด DG (MW) | Ploss (kW) | Qlossb (kVar) |
|-----|--------------|------------|---------------|
| 2 | 13.5950 | 72.0678 | 129.8849 |
| 3 | 13.4527 | 68.7935 | 123.9838 |
| 4 | 13.3105 | 65.6529 | 118.3236 |
| 5 | 13.1684 | 62.6440 | 112.9008 |
| 6 | 13.0265 | 59.7650 | 107.7120 |
| 7 | 12.8848 | 57.0139 | 102.7538 |
| 8 | 12.7432 | 54.3889 | 98.0229 |
| 9 | 12.6017 | 51.8880 | 93.5157 |
| 10 | 12.4603 | 49.5094 | 89.2289 |
| 11 | 12.3191 | 47.2511 | 85.1588 |
| 12 | 12.1780 | 45.1112 | 81.3021 |
| 13 | 12.0371 | 43.0877 | 77.6552 |
| 14 | 11.8962 | 41.1787 | 74.2146 |
| 15 | 11.7555 | 39.3821 | 70.9768 |
| 16 | 11.6149 | 37.6961 | 67.9381 |
| 17 | 11.4745 | 36.1186 | 65.0950 |
| 18 | 11.3341 | 34.6476 | 62.4439 |
| 19 | 11.1939 | 33.2811 | 59.9813 |
| 20 | 11.0538 | 32.0172 | 57.7033 |
| 21 | 10.9137 | 30.8538 | 55.6065 |
| 22 | 10.7738 | 29.7888 | 53.6872 |
| 23 | 10.6340 | 28.8203 | 51.9417 |
| 24 | 10.4943 | 27.9462 | 50.3663 |
| 25 | 10.3547 | 27.1644 | 48.9574 |
| 26 | 10.2152 | 26.4729 | 47.7111 |
| 27 | 10.0758 | 25.8697 | 46.6239 |

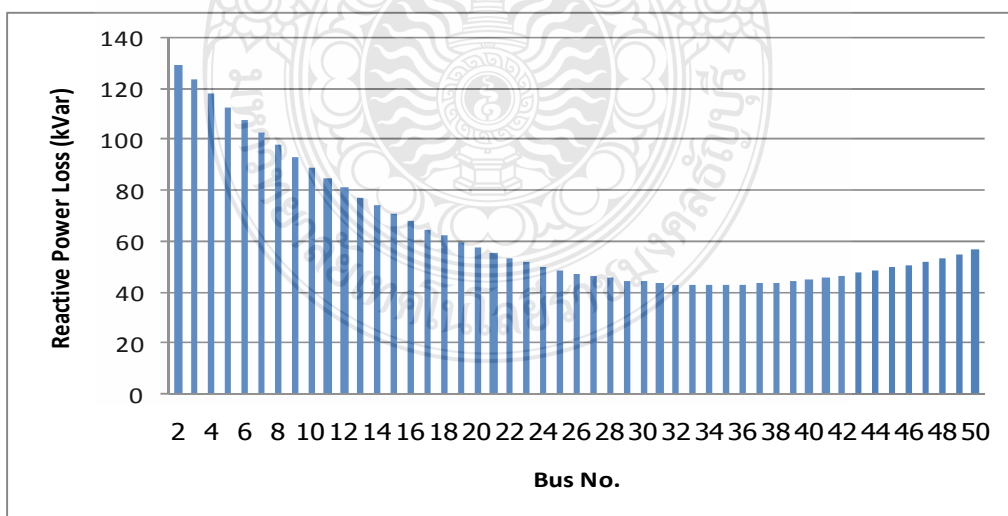
ตารางที่ 4.3 ผลการจำลองค่าต่างๆ ของระบบจำหน่ายแบบเรเดียล 50 บัส หลังติดตั้งเครื่องกำเนิดไฟฟ้าแบบกระจาย (ต่อ)

| บัส | ขนาด DG (MW) | Ploss (kW) | Qloss (kVar) |
|-----------|---------------|----------------|----------------|
| 28 | 9.9365 | 25.3525 | 45.6919 |
| 29 | 9.7972 | 24.9195 | 44.9114 |
| 30 | 9.6581 | 24.5684 | 44.2787 |
| 31 | 9.5191 | 24.2973 | 43.7900 |
| 32 | 9.3801 | 24.1039 | 43.4415 |
| 33 | 9.2412 | 23.9862 | 43.2294 |
| <u>34</u> | <u>9.1024</u> | <u>23.9421</u> | <u>43.1499</u> |
| 35 | 8.9637 | 23.9695 | 43.1992 |
| 36 | 8.8250 | 24.0662 | 43.3735 |
| 37 | 8.6864 | 24.2301 | 43.6690 |
| 38 | 8.5479 | 24.4591 | 44.0817 |
| 39 | 8.4095 | 24.7511 | 44.6080 |
| 40 | 8.2711 | 25.1039 | 45.2438 |
| 41 | 8.1328 | 25.5154 | 45.9854 |
| 42 | 7.9945 | 25.9834 | 46.8289 |
| 43 | 7.8564 | 26.5058 | 47.7703 |
| 44 | 7.7182 | 27.0804 | 48.8059 |
| 45 | 7.5801 | 27.7050 | 49.9317 |
| 46 | 7.4421 | 28.3776 | 51.1438 |
| 47 | 7.3041 | 29.0959 | 52.4383 |
| 48 | 7.1662 | 29.8577 | 53.8114 |
| 49 | 7.0283 | 30.6609 | 55.2590 |
| 50 | 6.8904 | 31.5034 | 56.7773 |



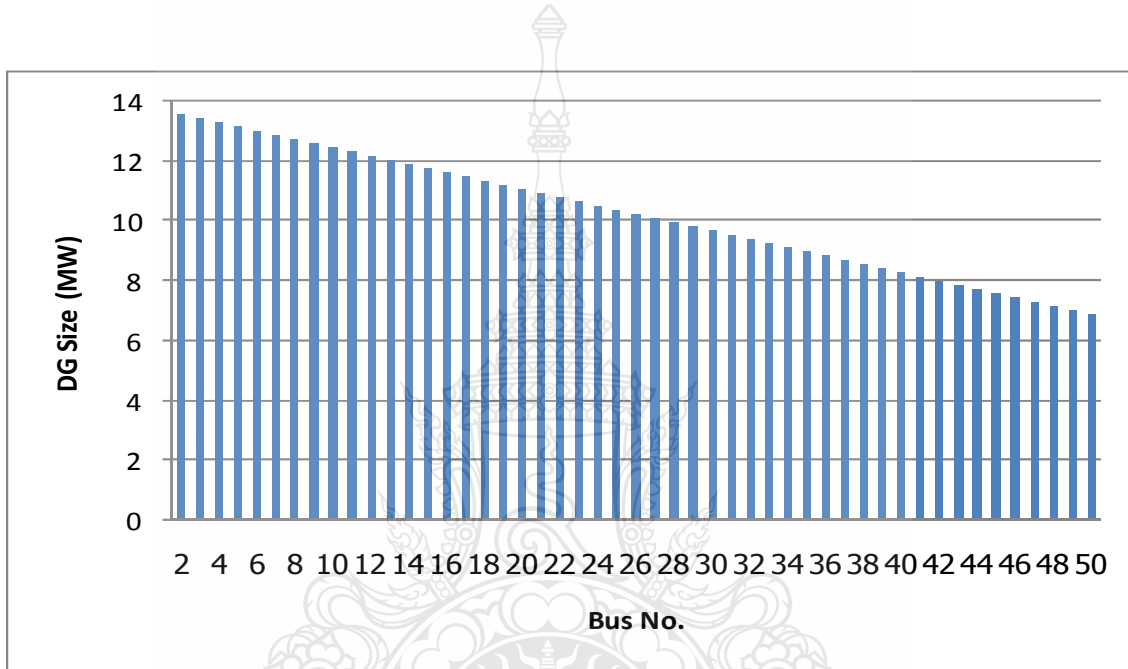
ภาพที่ 4.5 ค่ากำลังไฟฟ้าจริงสูญเสียหลังติดตั้ง DG ของระบบจำนวน 50 บัส 49 สายจำนวน่าย

ภาพที่ 4.5 แสดงผลของกำลังไฟฟ้าสูญเสียจริงของระบบจำนวน่ายหลังติดตั้งเครื่องกำเนิดไฟฟ้าแบบกระจายที่บัสต่างๆ ของระบบจำนวน่าย 50 บัส 49 สายจำนวน่าย พบร่วมกับค่าติดตั้งเครื่องกำเนิดไฟฟ้าแบบกระจายเข้าไปที่บัส 34 ทำให้ค่ากำลังไฟฟ้าสูญเสียจริงของระบบจำนวน่ายเท่ากับ 23.94 kW ลดลงจากก่อนติดตั้งเครื่องกำเนิดไฟฟ้าแบบกระจายร้อยละ 68.28 ซึ่งมีค่ากำลังไฟฟ้าสูญเสียจริงต่ำที่สุดเมื่อเทียบกับบัสอื่นๆ จึงเป็นบัสที่เหมาะสมที่สุด



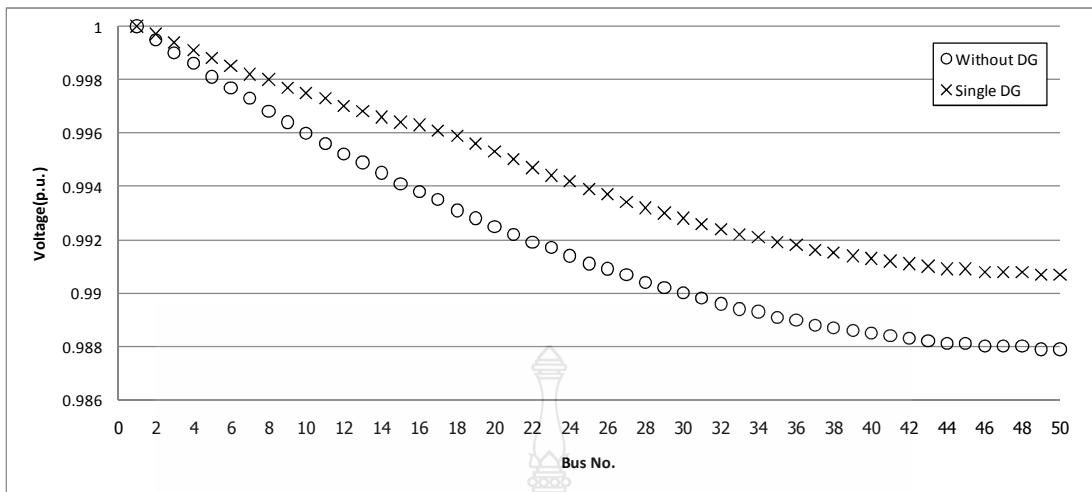
ภาพที่ 4.6 ค่ากำลังไฟฟ้ารีแอคทีฟสูญเสียหลังติดตั้ง DG ของระบบจำนวน่าย 50 บัส 49 สายจำนวน่าย

ภาพที่ 4.6 แสดงผลของกำลังไฟฟ้ารีแอคทีฟสูญเสียของระบบจำนวน่ายหลังติดตั้งเครื่องกำเนิดไฟฟ้าแบบกระจายที่บัสต่างๆ ของระบบจำนวน่าย 50 บัส 49 สายจำนวน่าย พ布ว่าเมื่อติดตั้งเครื่องกำเนิดไฟฟ้าแบบกระจายบัสที่ 34 มีค่ากำลังไฟฟ้ารีแอคทีฟสูญเสียของระบบจำนวน่ายเท่ากับ 43.15 kVar ลดลงจากก่อนติดตั้งเครื่องกำเนิดไฟฟ้าแบบกระจายร้อยละ 68.28 ซึ่งมีค่ากำลังไฟฟ้าสูญเสียรีแอคทีฟต่ำที่สุดเมื่อเทียบกับบัสอื่นๆ จึงเป็นบัสที่เหมาะสมที่สุดในการติดตั้งเครื่องกำเนิดไฟฟ้าแบบกระจาย



ภาพที่ 4.7 ขนาด DG ที่เหมาะสมของระบบจำนวน่าย 50 บัส 49 สายจำนวน่าย

ภาพที่ 4.7 แสดงผลของขนาดเครื่องกำเนิดไฟฟ้าแบบกระจายที่เหมาะสมที่สุด ติดตั้งที่บัสต่างๆ ในระบบจำนวน่าย 50 บัส 49 สายจำนวน่าย ทำให้ค่ากำลังไฟฟ้าสูญเสียมีค่าน้อยที่สุด พ布ว่าเมื่อติดตั้งเครื่องกำเนิดไฟฟ้าแบบกระจายบัสที่ 34 ขนาด 9.10 MW ทำให้ระบบจำนวน่ายมีค่ากำลังไฟฟ้าสูญเสียริงของเท่ากับ 23.94 kW ลดลงจากก่อนติดตั้งเครื่องกำเนิดไฟฟ้าแบบกระจายร้อยละ 68.28 และกำลังไฟฟ้ารีแอคทีฟสูญเสียเท่ากับ 43.15 kVar ลดลงจากก่อนติดตั้งเครื่องกำเนิดไฟฟ้าแบบกระจายร้อยละ 68.28 ซึ่งเป็นบัสที่เหมาะสมที่สุดที่จะติดตั้งเครื่องกำเนิดไฟฟ้าแบบกระจาย เพราะทำให้กำลังไฟฟ้าสูญเสียในระบบจำนวน่ายมีค่าน้อยที่สุด



ภาพที่ 4.8 ขนาดแรงดันที่บัสต่างๆ ก่อนและหลังติดตั้ง DG ของระบบชำหน่าย 50 บัส

ภาพที่ 4.8 แสดงผลขนาดแรงดันที่บัสต่างๆ ก่อนและหลังติดตั้งเครื่องกำเนิดไฟฟ้าแบบกระจายของระบบชำหน่าย 50 บัส 49 สายชำหน่าย พนิจว่าแรงดันที่เป็น WEAK BUS คือบัสที่ 50 ดีขึ้นจากเดิม ก่อนติดตั้งเครื่องกำเนิดไฟฟ้าแบบกระจายมีแรงดันเท่ากับ 0.9879 p.u. หลังจากติดตั้งเครื่องกำเนิดไฟฟ้าแบบกระจายเข้าไป แรงดันเท่ากับ 0.9907 p.u. และยังทำให้แรงดันไฟฟ้าในทุกๆ บัสดีขึ้นกว่าเดิม

ตารางที่ 4.4 การหาตำแหน่งติดตั้งเครื่องกำเนิดไฟฟ้าแบบกระจายที่เหมาะสมโดยใช้ PSO ของ 50 บัส

| System | Method | Bus No. | DG Size MW | Ploss kW | Qloss kVar | Loss Reduction % | |
|--------|-----------------------|---------|---------------|-------------|---------------|------------------|----------|
| | | | | | | Real | Reactive |
| 50 Bus | Load Flow Analysis | PSO | 9 | 12.6017 | 51.8880 | 93.5157 | 31.2536 |
| | | | 18 | 11.3341 | 34.6476 | 62.4439 | 54.0954 |
| | | | 24 | 10.4943 | 27.9462 | 50.3663 | 62.9741 |
| | | | 34 | 9.1024 | 23.9421 | 43.1499 | 68.2791 |
| | | | 38 | 8.5479 | 24.2591 | 44.0817 | 67.5941 |
| | | | 50 | 6.8904 | 31.5034 | 56.7773 | 58.2612 |
| | | | | | | | |

จากตารางที่ 4.4 หลังจากติดตั้งเครื่องกำเนิดไฟฟ้าแบบกระจายเข้าไปในระบบจำหน่ายแบบ เรเดียล 50 บัส 49 สายจำหน่าย ในตำแหน่งและขนาดที่เหมาะสมแล้ว สามารถลดกำลังไฟฟ้าสูญเสีย จริงและกำลังไฟฟ้าสูญเสียรีแอคทีฟได้ถึงร้อยละ 68.27 และ 68.27 ตามลำดับ ทำให้ระบบมี เสถียรภาพมากขึ้น

จากการจำลองระบบจำหน่ายแบบเรเดียล 50 บัส หลังติดตั้งเครื่องกำเนิดไฟฟ้าแบบ 分布式 ขนาด 9.1024 MW เข้าไปโดยใช้วิธีกลุ่มอนุภาคทำตำแหน่งติดตั้งที่เหมาะสมที่สุดแล้ว ได้บัส ที่เหมาะสมในการติดตั้งเครื่องกำเนิดไฟฟ้าแบบกระจาย เข้าไปในระบบ คือ บัสที่ 34 มีกำลังไฟฟ้าจริง เท่ากับ 23.9421 kW และกำลังไฟฟารีแอคทีฟเท่ากับ 43.1499 kVar เพราะกำลังไฟฟ้าสูญเสียจริงและ กำลังไฟฟ้าสูญเสียรีแอคทีฟต่ำที่สุด จึงเหมาะสมที่จะติดตั้งเครื่องกำเนิดไฟฟ้าแบบกระจายเข้าไปเพื่อ ชดเชยกำลังไฟฟ้าในระบบให้ดีขึ้นและยังทำให้แรงดันไฟฟ้าในทุกๆ บัสดีขึ้นกว่าเดิม ส่วนแรงดันบัส ที่เป็น WEAK BUS ก็ดีขึ้นจากเดิม จากบัสที่ 50 ก่อนติดตั้งเครื่องกำเนิดไฟฟ้าแบบกระจายมีแรงดัน เท่ากับ 0.9879 p.u. หลังจากติดตั้งเครื่องกำเนิดไฟฟ้าแบบกระจายแรงดันเท่ากับ 0.9907 p.u. ซึ่งเป็น ผลมาจากการติดตั้งเครื่องกำเนิดไฟฟ้าแบบกระจายขนาด 9.1024 MW เข้าไปในระบบจำหน่าย แล้ว ทำให้ WEAK BUS มีค่าแรงดันดีขึ้น

4.3 การปรับปรุงกำลังไฟฟ้าสูญเสียของระบบจำหน่าย 59 บัสที่ติดตั้งเครื่องกำเนิดไฟฟ้าแบบกระจาย

ในหัวข้อวิทยานิพนธ์นี้ เป็นการศึกษาการปรับปรุงเสถียรภาพของระบบจำหน่ายแบบ เรเดียล 59 บัส ของการไฟฟ้าส่วนภูมิภาค เขต 1 ภาคกลาง มีกำลังไฟฟ้ารวมของโหลดขนาด จำนวน 12.17 MW และ 6.71 MVar แรกเริ่มกำลังไฟฟ้าจริงที่สูญเสียรวมในระบบขนาด 123.13 kW และ กำลังไฟฟารีแอคทีฟที่สูญเสียรวมในระบบขนาด 280.87 kVar ใช้ Base MVA = 10 MVA และ Base kV = 12.66 kV การจำลองการให้โหลดของกำลังใช้แบบกระแสข้อนกลับและแรงดันแบบไปข้างหน้า และ หาตำแหน่งการติดตั้งเครื่องกำเนิดไฟฟ้าแบบกระจายที่เหมาะสมโดยวิธีกลุ่มอนุภาค กำหนดให้มี จำนวนอนุภาคในการคำนวณเท่ากับ 100 ค่าอ่วงนำ้หนัก $W_{min} = 0.4$ และ $W_{max} = 0.9$ ความเร็วในการ คืนหาคำตอบเท่ากับ 0.5 ค่าความเร่ง $C_1 = 2$ และ $C_2 = 2$ และจำนวนรอบในการคืนหาเท่ากับ 100 รอบ

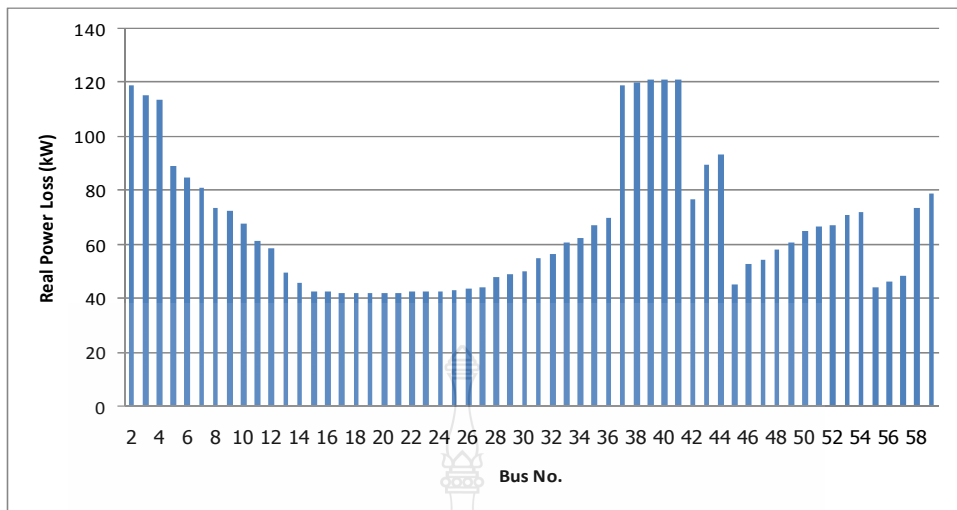
หลังจากจำลองการติดตั้งเครื่องกำเนิดไฟฟ้าแบบกระจายเข้าไปโดยใช้วิธีกลุ่มอนุภาคทำ ตำแหน่งติดตั้งที่เหมาะสมที่สุดแล้ว ได้บัสที่เหมาะสมในการติดตั้งเครื่องกำเนิดไฟฟ้าแบบกระจาย เข้าไปในระบบ คือ บัสที่ 18 โดยการติดตั้งเครื่องกำเนิดไฟฟ้าแบบกระจายขนาด 8.99 MW ผลการจำลอง ค่าต่างๆ ของระบบจำหน่าย 59 บัส หลังติดตั้งเครื่องกำเนิดไฟฟ้าแบบกระจายแสดงดังภาพที่ 4.5-4.7 และตารางที่ 4.3-4.4 ตามลำดับ

ตารางที่ 4.5 ผลการจำลองค่าต่างๆ ของระบบจำหน่ายแบบเรเดียล 59 บัส หลังติดตั้งเครื่องกำเนิดไฟฟ้าแบบกระจาย

| บัส | ขนาด DG (MW) | Ploss kW | Qloss kVar |
|-----|-----------------|----------------|----------------|
| 2 | 12.3094 | 118.9338 | 271.1260 |
| 3 | 12.1804 | 115.6525 | 263.5049 |
| 4 | 12.1412 | 113.6753 | 258.9167 |
| 5 | 11.4653 | 89.3320 | 202.4503 |
| 6 | 11.3603 | 84.9935 | 192.0983 |
| 7 | 11.2485 | 80.9611 | 182.754 |
| 8 | 11.0368 | 73.4914 | 165.422 |
| 9 | 11.0162 | 72.6848 | 163.5507 |
| 10 | 10.8559 | 67.6922 | 151.9804 |
| 11 | 10.6599 | 61.6608 | 138.0005 |
| 12 | 10.5281 | 58.5868 | 130.8687 |
| 13 | 10.2247 | 49.5687 | 109.9502 |
| 14 | 10.0400 | 45.9386 | 101.5282 |
| 15 | 9.8985 | 42.7978 | 94.2496 |
| 16 | 9.4139 | 42.5514 | 93.6804 |
| 17 | 9.1281 | 42.2382 | 93.0746 |
| 18 | <u>8.9983</u> | <u>42.1843</u> | <u>92.9904</u> |
| 19 | 8.7171 | 42.2617 | 93.2263 |
| 20 | 8.5291 | 42.2389 | 93.2640 |
| 21 | 8.3225 | 42.4358 | 93.7685 |
| 22 | 8.2629 | 42.4890 | 93.9122 |
| 23 | 8.2014 | 42.5416 | 94.0575 |
| 24 | 7.9848 | 42.9207 | 94.9723 |
| 25 | 7.8853 | 43.4130 | 96.0306 |
| 26 | 7.8138 | 43.8320 | 96.9261 |
| 27 | 7.7436 | 44.2495 | 97.8207 |
| 28 | 7.1532 | 48.0977 | 106.1112 |
| 29 | 6.9706 | 49.2830 | 108.7118 |
| 30 | 6.8092 | 50.3262 | 111.0191 |

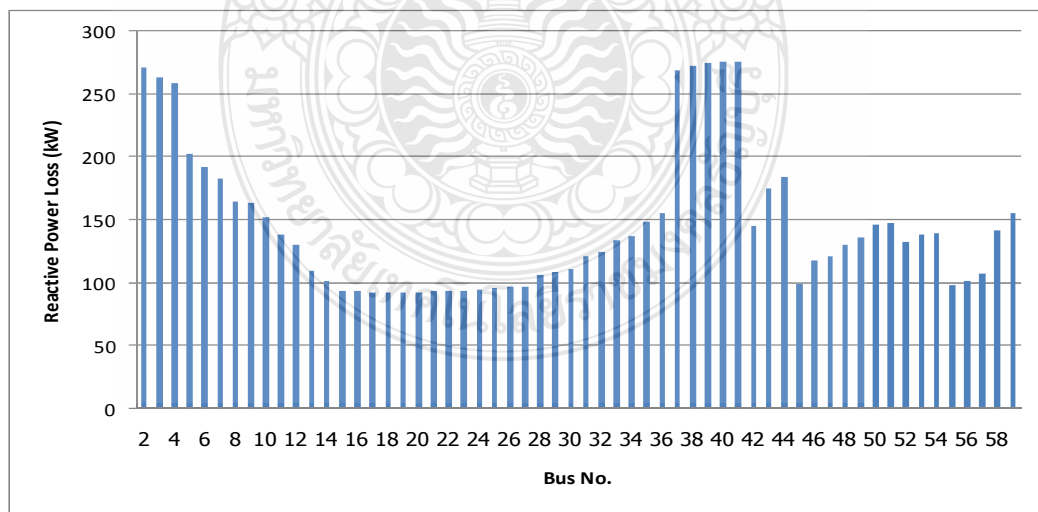
ตารางที่ 4.5 ผลการจำลองค่าต่างๆ ของระบบจำหน่ายแบบเรเดียล 59 บัส หลังติดตั้งเครื่องกำเนิดไฟฟ้าแบบกระจาย (ต่อ)

| บัส | ขนาด DG (MW) | Ploss kW | Qloss kVar |
|-----|-----------------|-------------|---------------|
| 31 | 6.1598 | 54.9438 | 121.294 |
| 32 | 5.9545 | 56.4171 | 124.6333 |
| 33 | 5.4442 | 60.6750 | 134.2404 |
| 34 | 5.2776 | 62.3029 | 137.8701 |
| 35 | 4.7811 | 67.3692 | 149.2592 |
| 36 | 4.5358 | 70.0241 | 155.2289 |
| 37 | 4.4305 | 119.1724 | 268.6182 |
| 38 | 2.9257 | 120.4224 | 272.4827 |
| 39 | 1.7896 | 121.1902 | 275.1623 |
| 40 | 1.5523 | 121.4419 | 276.0219 |
| 41 | 1.4957 | 121.4342 | 275.9991 |
| 42 | 6.3650 | 77.0117 | 145.8746 |
| 43 | 4.3394 | 89.9321 | 175.4291 |
| 44 | 3.9602 | 93.2707 | 184.7491 |
| 45 | 9.4964 | 45.1622 | 99.7400 |
| 46 | 8.1133 | 52.7801 | 117.4208 |
| 47 | 7.8387 | 54.6850 | 121.8409 |
| 48 | 7.3249 | 58.4328 | 130.5431 |
| 49 | 7.0241 | 61.0598 | 136.6355 |
| 50 | 6.5270 | 65.0996 | 146.0210 |
| 51 | 6.3102 | 67.0460 | 147.3873 |
| 52 | 6.3219 | 67.0691 | 133.0330 |
| 53 | 5.8592 | 71.0001 | 138.6170 |
| 54 | 5.7400 | 71.8918 | 139.8614 |
| 55 | 7.8863 | 44.4368 | 98.2229 |
| 56 | 7.6086 | 46.2979 | 102.0016 |
| 57 | 7.4237 | 48.7279 | 107.1960 |
| 58 | 4.7924 | 73.6337 | 141.4286 |
| 59 | 4.0056 | 78.8196 | 156.1706 |



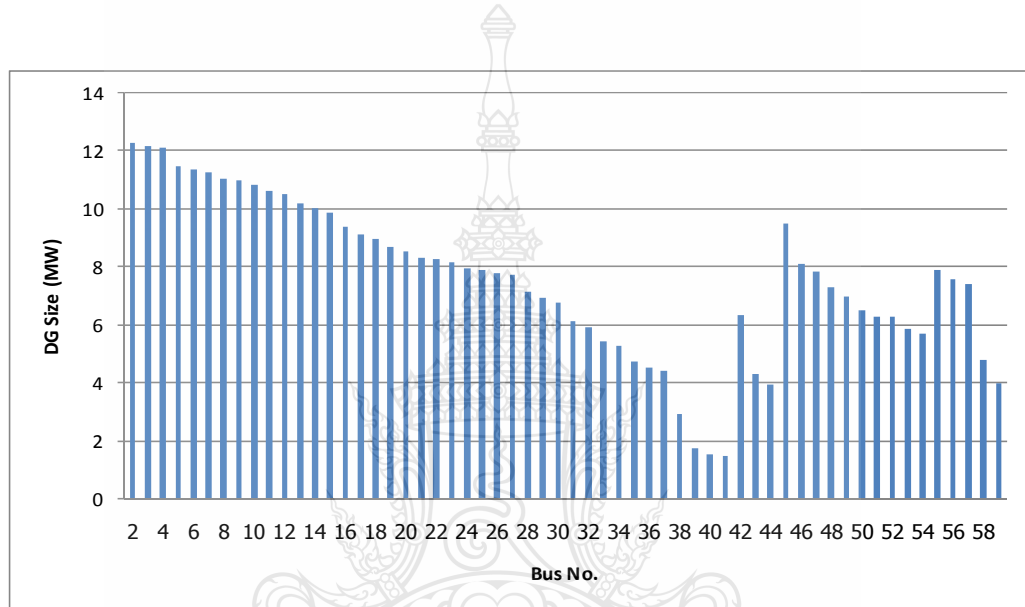
ภาพที่ 4.9 ค่ากำลังไฟฟ้าจริงสูญเสียหลังติดตั้ง DG ของระบบจำหน่าย 59 บัส 58 สายจำหน่าย

ภาพที่ 4.9 แสดงผลของกำลังไฟฟ้าสูญเสียจริงของระบบจำหน่ายหลังติดตั้งเครื่องกำเนิดไฟฟ้าแบบกระจายที่บัสต่างๆ ของระบบจำหน่าย 59 บัส 58 สายจำหน่าย พบร่วมกับติดตั้งเครื่องกำเนิดไฟฟ้าแบบกระจายบัสที่ 18 ทำให้ค่ากำลังไฟฟ้าสูญเสียจริงของระบบจำหน่ายเท่ากับ 42.18 kW ลดลงจากก่อนติดตั้งเครื่องกำเนิดไฟฟ้าแบบกระจายร้อยละ 65.74 ซึ่งมีค่ากำลังไฟฟ้าสูญเสียจริงต่ำที่สุดเมื่อเทียบกับบัสอื่นๆ จึงเป็นบัสที่เหมาะสมสมที่สุด



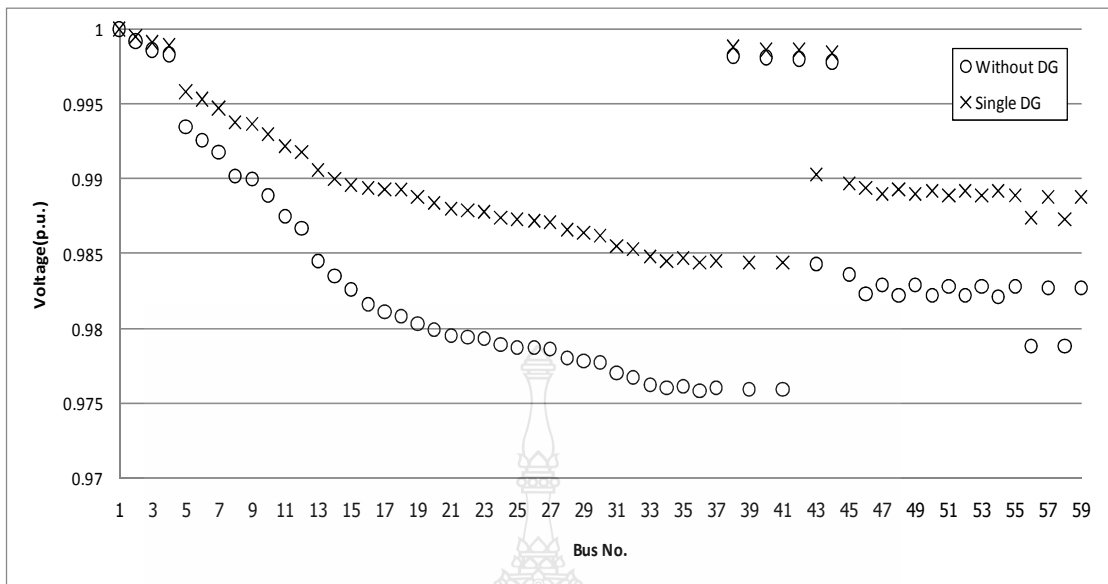
ภาพที่ 4.10 ค่ากำลังไฟฟ้ารีแอคทีฟสูญเสียหลังติดตั้ง DG ของระบบจำหน่าย 59 บัส 58 สายจำหน่าย

ภาพที่ 4.10 แสดงผลของกำลังไฟฟ้ารีแอคทีฟสูญเสียของระบบจำนวน่ายหลังติดตั้งเครื่องกำเนิดไฟฟ้าแบบกระจายที่บัสต่างๆ ของระบบจำนวน่าย 59 บัส 58 สายจำนวน่าย พ布ว่าเมื่อติดตั้งเครื่องกำเนิดไฟฟ้าแบบกระจายบัสที่ 18 มีค่ากำลังไฟฟ้ารีแอคทีฟสูญเสียของระบบจำนวน่ายเท่ากับ 92.99 kVar ลดลงจากก่อนติดตั้งเครื่องกำเนิดไฟฟ้าแบบกระจายร้อยละ 66.89 ซึ่งมีค่ากำลังไฟฟ้าสูญเสียรีแอคทีฟต่ำที่สุดเมื่อเทียบกับบัสอื่นๆ จึงเป็นบัสที่เหมาะสมที่สุดในการติดตั้งเครื่องกำเนิดไฟฟ้าแบบกระจาย



ภาพที่ 4.11 ขนาด DG ที่เหมาะสมของระบบจำนวน่าย 59 บัส 58 สายจำนวน่าย

ภาพที่ 4.11 แสดงผลของขนาดเครื่องกำเนิดไฟฟ้าแบบกระจายที่เหมาะสมที่สุด ติดตั้งที่บัสต่างๆ ในระบบจำนวน่าย 59 บัส 58 สายจำนวน่าย ทำให้ค่ากำลังไฟฟ้าสูญเสียมีค่าน้อยที่สุด พ布ว่าเมื่อติดตั้งเครื่องกำเนิดไฟฟ้าแบบกระจายบัสที่ 18 ขนาด 8.99 MW ทำให้ระบบจำนวน่ายมีค่ากำลังไฟฟ้าสูญเสียริงของเท่ากับ 42.18 kW ลดลงจากก่อนติดตั้งเครื่องกำเนิดไฟฟ้าแบบกระจาย 65.74 เปอร์เซ็นต์ และกำลังไฟฟ้ารีแอคทีฟสูญเสียเท่ากับ 92.99 kVar ลดลงจากก่อนติดตั้งเครื่องกำเนิดไฟฟ้าแบบกระจายร้อยละ 66.89 ซึ่งเป็นบัสที่เหมาะสมที่สุดที่จะติดตั้งเครื่องกำเนิดไฟฟ้าแบบกระจาย เพราะทำให้กำลังไฟฟ้าสูญเสียในระบบจำนวน่ายมีค่าน้อยที่สุด



ภาพที่ 4.12 ขนาดแรงดันที่บัสต่างๆ ก่อนและหลังติดตั้ง DG ของระบบจำนวน 59 บัส

ภาพที่ 4.12 แสดงผลขนาดแรงดันที่บัสต่างๆ ก่อนและหลังติดตั้งเครื่องกำเนิดไฟฟ้าแบบกระจายของระบบจำนวน 59 บัส 58 สายจำนวนนี้ พนวณแรงดันที่เป็น WEAK BUS คือบัสที่ 36 ดีขึ้นจากเดิม ก่อนติดตั้งเครื่องกำเนิดไฟฟ้าแบบกระจายมีแรงดันเท่ากับ 0.9758 p.u. หลังจากติดตั้งเครื่องกำเนิดไฟฟ้าแบบกระจายเข้าไป แรงดันเท่ากับ 0.9844 p.u. และยังทำให้แรงดันไฟฟ้าในทุกๆ บัสดีขึ้นกว่าเดิม

ตารางที่ 4.6 การหาตำแหน่งติดตั้งเครื่องกำเนิดไฟฟ้าแบบกระจายที่เหมาะสมโดยใช้ PSO ของ 59 บัส

| System | Method | Bus No. | DG Size MW | Ploss | Qloss | Loss Reduction % | |
|--------|--------------------|---------|------------|---------|----------|------------------|----------|
| | | | | kW | kVar | Real | Reactive |
| 59 Bus | Load Flow Analysis | | | 123.13 | 280.87 | | |
| | | 9 | 11.0162 | 72.6848 | 163.5507 | 40.9728 | 41.7715 |
| | PSO | 16 | 9.4139 | 42.5514 | 93.6804 | 65.4441 | 66.6472 |
| | | 17 | 9.1281 | 42.2382 | 93.0746 | 65.6984 | 66.8629 |
| | | 18 | 8.9983 | 42.1843 | 92.9904 | 65.7422 | 66.8929 |
| | | 19 | 8.7171 | 42.2617 | 93.2263 | 65.6794 | 66.8089 |
| | | 20 | 8.5291 | 42.2389 | 93.2640 | 65.6979 | 66.7955 |

จากตารางที่ 4.6 หลังจากติดตั้งเครื่องกำเนิดไฟฟ้าแบบกระจายเข้าไปในระบบจำหน่ายแบบ เรเดียล 59 บัส ในตำแหน่งและขนาดที่เหมาะสมแล้ว สามารถลดกำลังไฟฟ้าสูญเสียจริงและ กำลังไฟฟ้าสูญเสียรีแอคทีฟได้ถึงร้อยละ 65.74 และ 66.89 ตามลำดับ ทำให้ระบบมีเสถียรภาพมากขึ้น

จากผลการจำลองระบบจำหน่ายแบบเรเดียล 59 บัส หลังติดตั้งเครื่องกำเนิดไฟฟ้าแบบ กระจายขนาด 8.99 MW เข้าไปโดยใช้วิธีกลุ่มอนุภาคหาตำแหน่งติดตั้งที่เหมาะสมที่สุดแล้ว ได้บัสที่ เหมาะสมในการติดตั้งเครื่องกำเนิดไฟฟ้าแบบกระจาย เข้าไปในระบบ คือ บัสที่ 18 มีกำลังไฟฟ้าจริง เท่ากับ 42.1843 kW และกำลังไฟฟารีแอคทีฟเท่ากับ 92.9904 kVar เพราะกำลังไฟฟ้าสูญเสียจริงและ กำลังไฟฟ้าสูญเสียรีแอคทีฟต่ำที่สุด จึงเหมาะสมที่จะติดตั้งเครื่องกำเนิดไฟฟ้าแบบกระจายเข้าไปเพื่อ ชดเชยกำลังไฟฟ้าในระบบให้ดีขึ้นและยังทำให้แรงดันไฟฟ้าในทุกๆ บัสดีขึ้นกว่าเดิม ส่วนแรงดันบัส ที่เป็น WEAK BUS ก็ดีขึ้นจากเดิม จากบัสที่ 36 ก่อนติดตั้งเครื่องกำเนิดไฟฟ้าแบบกระจายมีแรงดัน เท่ากับ 0.9758 p.u. หลังจากติดตั้งเครื่องกำเนิดไฟฟ้าแบบกระจายขนาด 8.99 MW เข้าไปในระบบจำหน่าย แล้ว ทำให้ WEAK BUS มีค่าแรงดันดีขึ้น

4.4 เปรียบเทียบวิธีกกลุ่มอนุภาคกับวิธีขั้นตอนทางพัฒนาศาสตร์

ในหัวข้อวิทยานิพนธ์นี้ เป็นการเปรียบเทียบวิธีกกลุ่มอนุภาคกับวิธีขั้นตอนทางพัฒนาศาสตร์ (Genetic Algorithm: GA) โดยใช้แบบจำลองระบบจำหน่าย 26 บัส 50 บัส และ 59 บัส ของการไฟฟ้า ส่วนภูมิภาค เขต 1 ภาคกลาง หลังจากจำลองการติดตั้งเครื่องกำเนิดไฟฟ้าแบบกระจายเข้าไปในระบบ จำหน่าย 26 บัส 50 บัส และ 59 บัส โดยใช้วิธีขั้นตอนทางพัฒนาศาสตร์หาตำแหน่งติดตั้งที่เหมาะสม ที่สุดแล้ว ได้บัสที่เหมาะสมในการติดตั้งเครื่องกำเนิดไฟฟ้าแบบกระจาย เข้าไปในระบบ คือ บัสที่ 14 บัสที่ 34 และบัสที่ 18 ตามลำดับ [2] ผลการเปรียบเทียบวิธีกกลุ่มอนุภาคกับวิธีขั้นตอนทางพัฒนาศาสตร์ ของระบบจำหน่าย 26 บัส 50 บัส และ 59 บัส หลังติดตั้งเครื่องกำเนิดไฟฟ้าแบบกระจายแสดงดัง ตารางที่ 4.7

ตารางที่ 4.7 การหาตำแหน่งติดตั้งเครื่องกำเนิดไฟฟ้าแบบกระจายที่เหมาะสมโดยใช้ PSO และ GA

| System | Method | Bus No. | DG Size MW | Ploss kW | Qloss kVar | Time (second) |
|--------|--------------------|---------|---------------|-------------|---------------|------------------|
| 26 Bus | Load Flow Analysis | | | 11.69 | 26.08 | |
| | PSO | 14 | 6.9486 | 4.5639 | 10.2018 | 35.4060 |
| | GA | 14 | 6.9510 | 4.5500 | 10.1900 | 69.8090 |
| 50 Bus | Load Flow Analysis | | | 75.4775 | 136.0300 | |
| | PSO | 34 | 9.1024 | 23.9421 | 43.1499 | 71.2870 |
| | GA | 34 | 9.1120 | 23.8300 | 42.9400 | 150.7890 |
| 59 Bus | Load Flow Analysis | | | 123.13 | 280.87 | |
| | PSO | 18 | 8.9983 | 42.1843 | 92.9904 | 79.1400 |
| | GA | 18 | 9.0240 | 41.6200 | 91.6779 | 159.6177 |

จากตารางที่ 4.7 พิจารณาผลการจำลองระบบจำหน่ายแบบเรเดียล 26 บัส หลังติดตั้งเครื่องกำเนิดไฟฟ้าแบบกระจายขนาด 6.9510 MW เข้าไปโดยใช้วิธีขั้นตอนทางพัฒนาศาสตร์หาตำแหน่งติดตั้งที่เหมาะสมที่สุดแล้ว ได้บัสที่เหมาะสมในการติดตั้งเครื่องกำเนิดไฟฟ้าแบบกระจายเข้าไปในระบบ คือ บัสที่ 14 มี $P_{loss} = 4.5500 \text{ kW}$ และ $Q_{loss} = 10.1900 \text{ kVar}$ ใช้เวลาในการหาคำตอบ 69.8090 วินาที ซึ่งได้ตำแหน่งติดตั้งเครื่องกำเนิดไฟฟ้าแบบกระจายเหมือนกับวิธีกลุ่มอนุภาคแต่ใช้เวลาที่มากกว่า

ระบบที่สองพิจารณาผลการจำลองระบบจำหน่ายแบบเรเดียล 50 บัส หลังติดตั้งเครื่องกำเนิดไฟฟ้าแบบกระจายขนาด 9.1120 MW เข้าไปโดยใช้วิธีขั้นตอนทางพัฒนาศาสตร์หาตำแหน่งติดตั้งที่เหมาะสมที่สุดแล้ว ได้บัสที่เหมาะสมในการติดตั้งเครื่องกำเนิดไฟฟ้าแบบกระจายเข้าไปในระบบ คือ บัสที่ 34 มี $P_{loss} = 23.83 \text{ kW}$ และ $Q_{loss} = 42.94 \text{ kVar}$ ใช้เวลาในการหาคำตอบ 159.6177 วินาที ซึ่งได้ตำแหน่งติดตั้งเครื่องกำเนิดไฟฟ้าแบบกระจายเหมือนกับวิธีกลุ่มอนุภาคแต่ใช้เวลาที่มากกว่า

สุดท้ายระบบที่สามพิจารณาผลการจำลองระบบจำหน่ายแบบเรเดียล 59 บัส หลังติดตั้งเครื่องกำเนิดไฟฟ้าแบบกระจายขนาด 9.0240 MW เข้าไปโดยใช้วิธีขั้นตอนทางพัฒนาศาสตร์หา

ตำแหน่งติดตั้งที่เหมาะสมที่สุดแล้ว ได้บัสที่เหมาะสมในการติดตั้งเครื่องกำเนิดไฟฟ้าแบบกระจายเข้าไปในระบบ คือ บัสที่ 18 มี $P_{loss} = 41.6200 \text{ kW}$ และ $Q_{loss} = 91.6779 \text{ kVar}$ ใช้เวลาในการหาคำตอบ 159.6177 วินาที ซึ่งได้ตำแหน่งติดตั้งเครื่องกำเนิดไฟฟ้าแบบกระจายเหมือนกับวิธีก่อรุ่มอนุภาคแต่ใช้เวลาที่มากกว่า

4.5 สรุป

ผลการทดลองการศึกษากำลังไฟฟ้าสูญเสียในระบบไฟฟ้าแบบจำลองของระบบจำหน่ายของการไฟฟ้าส่วนภูมิภาค เขต 1 ภาคกลาง ระบบจำหน่าย 26 บัสที่มีกำลังไฟฟาร่วมของโหลดขนาด 8.49 MW และ 5.28 MVar ผลการจำลองพบว่าก่อนการติดตั้งเครื่องกำเนิดไฟฟ้าแบบกระจายเข้าไปในระบบจำหน่าย 26 บัส แรกเริ่มกำลังไฟฟ้าจริงที่สูญเสียรวมในระบบขนาด 11.69 kW และกำลังไฟฟารีแอคทีฟที่สูญเสียรวมในระบบขนาด 26.08 kVar แต่หลังจากใช้เทคนิคการหาค่าความเหมาะสมโดยวิธีก่อรุ่มอนุภาคแล้ว ทำให้ทราบขนาดและตำแหน่งติดตั้งเครื่องกำเนิดไฟฟ้าแบบกระจายขนาด 6.95 MW เข้าไปในระบบที่บัส 14 พบว่ากำลังไฟฟ้าสูญเสียในระบบลดลง ซึ่งการติดตั้งเครื่องกำเนิดไฟฟ้าแบบกระจาย สามารถลดกำลังไฟฟ้าสูญเสียจริงและกำลังไฟฟ้าสูญเสียรีแอคทีฟได้ถึงร้อยละ 60.98 และ 60.88 ตามลำดับ

สำหรับระบบที่สองระบบจำหน่าย 50 บัสที่มีกำลังไฟฟาร่วมของโหลดขนาด 13.5 MW และ 7.4 MVar ผลการจำลองพบว่าก่อนการติดตั้งเครื่องกำเนิดไฟฟ้าแบบกระจายเข้าไปในระบบจำหน่าย 50 บัส แรกเริ่มกำลังไฟฟ้าจริงที่สูญเสียรวมในระบบขนาด 75.48 kW และกำลังไฟฟารีแอคทีฟที่สูญเสียรวมในระบบขนาด 136.03 kVar แต่หลังจากใช้เทคนิคการหาค่าความเหมาะสมโดยวิธีก่อรุ่มอนุภาคแล้ว ทำให้ทราบขนาดและตำแหน่งติดตั้งเครื่องกำเนิดไฟฟ้าแบบกระจายที่เหมาะสมที่จะติดตั้งเข้าไปคือ บัสที่ 34 และหลังติดตั้งเครื่องกำเนิดไฟฟ้าแบบกระจาย ขนาด 9.1 MW เข้าไปในระบบที่บัส 34 พบว่ากำลังไฟฟ้าสูญเสียในระบบลดลง ซึ่งการติดตั้งเครื่องกำเนิดไฟฟ้าแบบกระจายสามารถลดกำลังไฟฟ้าสูญเสียจริงและกำลังไฟฟ้าสูญเสียรีแอคทีฟได้ถึงร้อยละ 68.28

สำหรับระบบสุดท้ายระบบจำหน่าย 59 บัสที่มีกำลังไฟฟาร่วมของโหลดขนาด 12.17 MW และ 6.71 MVar ผลการจำลองพบว่าก่อนการติดตั้งเครื่องกำเนิดไฟฟ้าแบบกระจายเข้าไปในระบบจำหน่าย 59 บัส แรกเริ่มกำลังไฟฟ้าจริงที่สูญเสียรวมในระบบขนาด 123.13 kW และกำลังไฟฟารีแอคทีฟที่สูญเสียรวมในระบบขนาด 280.87 kVar แต่หลังจากใช้เทคนิคการหาค่าความเหมาะสมโดยวิธีก่อรุ่มอนุภาคแล้ว ทำให้ทราบขนาดและตำแหน่งติดตั้งเครื่องกำเนิดไฟฟ้าแบบกระจายที่เหมาะสมที่จะ

ติดตั้งเข้าไปคือ บัสที่ 18 และหลังติดตั้งเครื่องกำเนิดไฟฟ้าแบบกระจาย ขนาด 8.99 MW เข้าไปในระบบที่บัส 18 พบว่ากำลังไฟฟ้าสูญเสียในระบบลดลง ซึ่งการติดตั้งเครื่องกำเนิดไฟฟ้าแบบกระจายสามารถลดกำลังไฟฟ้าสูญเสียจริงและกำลังไฟฟ้าสูญเสียริแอคทีฟได้ถึงร้อยละ 65.74 และตามลำดับ

เมื่อเปรียบเทียบวิธีก่อรุ่มอนุภาคกับวิธีขันตอนทางพันธุศาสตร์โดยใช้แบบจำลองระบบจำหน่าย 26 และ 59 บัส ของการไฟฟ้าส่วนภูมิภาค เขต 1 ภาคกลาง หลังจากการติดตั้งเครื่องกำเนิดไฟฟ้าแบบกระจายเข้าไปในระบบจำหน่าย 26 และ 59 บัส โดยใช้วิธีขันตอนทางพันธุศาสตร์หาตำแหน่งติดตั้งที่เหมาะสมที่สุดแล้วได้บัสที่เหมาะสมในการติดตั้งเครื่องกำเนิดไฟฟ้าแบบกระจายเข้าไปในระบบ คือ บัสที่ 14 และ 18 ตามลำดับ ซึ่งได้ตำแหน่งติดตั้งเครื่องกำเนิดไฟฟ้าแบบกระจายเหมือนกับวิธีก่อรุ่มอนุภาคแต่ใช้เวลาที่มากกว่า ผลที่ได้จากการทดลองสามารถนำมาใช้ในการประกอบการตัดสินใจในการติดตั้งเครื่องกำเนิดไฟฟ้าแบบกระจายของการไฟฟ้าส่วนภูมิภาค



บทที่ 5

สรุปผลการทดสอบ

จากปัญหาของการกำหนดตำแหน่งและขนาดของเครื่องกำเนิดไฟฟ้าแบบกระจาย ในระบบจำหน่ายที่เหมาะสมที่สุด ซึ่งจากการที่ทราบข้อมูลของระบบจำหน่ายทั้งหมดก่อนการติดตั้งเครื่องกำเนิดไฟฟ้าแบบกระจาย ไม่ว่าจะลักษณะของระบบจำหน่ายทั้งหมดก่อนการติดตั้ง เครื่องกำเนิดไฟฟ้าแบบกระจาย ไม่ว่าจะลักษณะของระบบจำหน่ายที่รู้ค่าพารามิเตอร์ต่างๆ ใน ทุกๆ สาย ทุกๆ บัส ดังนั้นฟังก์ชันวัดอุปประสงค์ที่พิจารณา ก็จะขึ้นอยู่กับขนาดและตำแหน่งเครื่อง กำเนิดไฟฟ้าแบบกระจายเป็นหลัก สำหรับการใช้วิธีกลุ่มอนุภาคร่วมกับการวิเคราะห์การให้ผลของ กำลังไฟฟ้าเพื่อกำหนดขนาดและตำแหน่งที่เหมาะสมที่สุดนั้น โดยพิจารณาให้กำลังไฟฟ้าสูญเสียใน ระบบอยู่ที่สุดด้วยการทดสอบกับระบบจำหน่าย 3 ระบบซึ่งคัดแปลงมาจากส่วนหนึ่งของระบบ จำหน่ายของการไฟฟ้าส่วนภูมิภาค เขต 1 ภาคกลาง ประกอบด้วยระบบจำหน่าย 26 บัส 50 บัส และ 59 บัส

ผลที่ได้จากการทดสอบระบบจำหน่ายโดยการใช้วิธีกลุ่มอนุภาคร่วมกับการวิเคราะห์การ ให้ผลของกำลังไฟฟ้าเพื่อกำหนดขนาดและตำแหน่งเครื่องกำเนิดไฟฟ้าแบบกระจายที่เหมาะสมที่สุด เพื่อให้กำลังไฟฟ้าสูญเสียน้อยที่สุดนั้นสามารถสรุปผลที่เกิดขึ้นได้ดังต่อไปนี้

5.1 สรุปผลการทิวทัยนิพนธ์

5.1.1 ผลการติดตั้งเครื่องกำเนิดไฟฟ้าแบบกระจายเข้าไปในระบบจำหน่าย 26 บัส

จากการวิเคราะห์ที่ทำขนาดและตำแหน่งการติดตั้งเครื่องกำเนิดไฟฟ้าแบบกระจายที่ เหมาะสมด้วยการวิเคราะห์การให้ผลกำลังไฟฟ้าร่วมกับวิธีการเคลื่อนตัวของอนุภาคน้ำที่เหมาะสมที่สุด โดยพิจารณาการทำงานของบัสที่ถูกติดตั้งเครื่องกำเนิดไฟฟ้าแบบกระจายเข้าไปในระบบ การ วิเคราะห์ใช้แบบจำลองของระบบจำหน่ายแบบเรเดียล 26 บัส 25 สายจำหน่าย ซึ่งคัดแปลงมาจากส่วน หนึ่งในระบบจำหน่ายของการไฟฟ้าส่วนภูมิภาค ที่มีกำลังไฟฟ้ารวมของโหลดขนาด 8.49 MW 5.97 MVar กำลังไฟฟ้าจริงและกำลังไฟฟ้ารีแอคทิฟที่สูญเสียรวมในระบบแรกเริ่มขนาด 11.68 kW และ 26.08 kVa ผลการจำลองพบว่า ตำแหน่งที่เหมาะสมที่สุดคือบัสที่ 14 ขนาด 6.95 MW จะทำให้ กำลังไฟฟ้าจริงและกำลังไฟฟ้ารีแอคทิฟที่สูญเสียรวมในระบบเหลือเพียง 4.55 kW และ 10.18 kVar จะพบว่ากำลังไฟฟ้าที่สูญเสียในระบบลดลงประมาณร้อยละ 61 ทั้งนี้เนื่องจากตำแหน่งและขนาด เครื่องกำเนิดไฟฟ้าแบบกระจายที่ได้จากการทดสอบนี้จะช่วยยกระดับการจ่ายจากสถานี

ไฟฟ้าต้นทางในสัดส่วนที่เหมาะสมจะช่วยลดการสูญเสียในระบบจำหน่าย และยังทำให้แรงดันไฟฟ้าในทุกๆบัสดีขึ้นกว่าเดิม

5.1.2 ผลการติดตั้งเครื่องกำเนิดไฟฟ้าแบบกระจายเข้าไปในระบบจำหน่าย 50 บัส

จากผลการวิเคราะห์ท่าหนาดและดำเนินการติดตั้งเครื่องกำเนิดไฟฟ้าแบบกระจายที่เหมาะสมด้วยการวิเคราะห์การไฟล์กำลังไฟฟ้าร่วมกับวิธีการเคลื่อนตัวของอนุภาคที่เหมาะสมที่สุด โดยพิจารณาการทำงานของบัสที่ถูกติดตั้งเครื่องกำเนิดไฟฟ้าแบบกระจายเข้าไปในระบบ การวิเคราะห์ใช้แบบจำลองของระบบจำหน่ายแบบเรเดียล 50 บัส 49 สายจำหน่าย ซึ่งดัดแปลงมาจากส่วนหนึ่งในระบบจำหน่ายของ การไฟฟ้าส่วนภูมิภาค ที่มีกำลังไฟฟ้ารวมของโหลดขนาด 13.5 MW 7.4 MVar กำลังไฟฟ้าจริงและกำลังไฟฟ้ารีแอคทีฟที่สูญเสียรวมในระบบแรกเริ่มขนาด 75.47 kW และ 136.03 kVA ผลการจำลองพบว่า ดำเนินการติดตั้งเครื่องกำเนิดไฟฟ้าที่บัสที่ 34 ขนาด 9.10 MW จะทำให้กำลังไฟฟ้าจริงและกำลังไฟฟ้ารีแอคทีฟที่สูญเสียรวมในระบบเหลือเพียง 23.94 kW และ 43.15 kVar จะพบว่ากำลังไฟฟ้าที่สูญเสียในระบบลดลงประมาณร้อยละ 68.28 ทั้งนี้เนื่องจากดำเนินการติดตั้งและขนาดเครื่องกำเนิดไฟฟ้าแบบกระจายที่ได้จากการทดสอบนี้จะช่วยจ่ายกำลังไฟฟ้าแทนการจ่ายจากสถานีไฟฟ้าต้นทางในสัดส่วนที่เหมาะสมจะช่วยลดการสูญเสียในระบบจำหน่าย และยังทำให้แรงดันไฟฟ้าในทุกๆบัสดีขึ้นกว่าเดิม

5.1.3 ผลการติดตั้งเครื่องกำเนิดไฟฟ้าแบบกระจายเข้าไปในระบบจำหน่าย 59 บัส

จากผลการวิเคราะห์ท่าหนาดและดำเนินการติดตั้งเครื่องกำเนิดไฟฟ้าแบบกระจายที่เหมาะสมด้วยการวิเคราะห์การไฟล์กำลังไฟฟ้าร่วมกับวิธีการเคลื่อนตัวของอนุภาคที่เหมาะสมที่สุด โดยพิจารณาการทำงานของบัสที่ถูกติดตั้งเครื่องกำเนิดไฟฟ้าแบบกระจายเข้าไปในระบบ การวิเคราะห์ใช้แบบจำลองของระบบจำหน่ายแบบเรเดียล 59 บัส 58 สายจำหน่าย ซึ่งดัดแปลงมาจากส่วนหนึ่งในระบบจำหน่ายของ การไฟฟ้าส่วนภูมิภาค ที่มีกำลังไฟฟ้ารวมของโหลดขนาด 12.17 MW และ 6.71 MVar กำลังไฟฟ้าจริงและกำลังไฟฟ้ารีแอคทีฟที่สูญเสียรวมในระบบแรกเริ่มขนาด 123.13 kW และ 280.87 kVar ผลการจำลองพบว่า ดำเนินการติดตั้งเครื่องกำเนิดไฟฟ้าที่บัสที่ 18 ขนาด 8.99 MW จะทำให้กำลังไฟฟ้าจริงและกำลังไฟฟ้ารีแอคทีฟที่สูญเสียรวมในระบบเหลือเพียง 42.18 kW และ 92.99 kVar จะพบว่ากำลังไฟฟ้าที่สูญเสียในระบบลดลงประมาณร้อยละ 66 ทั้งนี้เนื่องจากดำเนินการติดตั้งและขนาดเครื่องกำเนิดไฟฟ้าแบบกระจายที่ได้จากการทดสอบนี้จะช่วยจ่ายกำลังไฟฟ้าแทนการจ่ายจากสถานีไฟฟ้าต้นทางในสัดส่วนที่เหมาะสมจะช่วยลดการสูญเสียในระบบจำหน่าย และยังทำให้แรงดันไฟฟ้าในทุกๆบัสดีขึ้นกว่าเดิม

5.1.4 ผลของการเปรียบเทียบวิธีกลุ่มอนุภาคกับวิธีขั้นตอนทางพันธุศาสตร์

จากผลการทดสอบพบว่า กระบวนการหาตัวแทนงเครื่องกำเนิดไฟฟ้าแบบกระจายค่าวิธีกลุ่มอนุภาคและวิธีขั้นตอนทางพันธุกรรม ไม่ว่าจะทดสอบกับระบบจำหน่าย 26 บัส 50 บัส และ 59 บัส ให้คำตอบบัสเดียวกันคือบัสที่ 14, 34 และ 18 ตามลำดับ โดยวิธีกลุ่มอนุภาคสามารถกันหาตัวแทนงบัส และขนาดของ DG ที่เหมาะสมที่สุด ที่จะใช้ติดตั้ง แล้วทำให้กำลังไฟฟ้าสูญเสียจริง และกำลังไฟฟ้าสูญเสียรีแอคทีฟ ภายในเวลาที่น้อยกว่า

5.2 ข้อเสนอแนะ

วิทยานิพนธ์นี้ศึกษาเฉพาะการวิเคราะห์หาตัวแทนงการติดตั้งเครื่องกำเนิดไฟฟ้าแบบกระจายโดยวิธีกลุ่มอนุภาค ที่เหมาะสมในระบบจำหน่ายของระบบไฟฟ้าแบบเรเดียล เพื่อหาตัวแทนงติดตั้งที่เหมาะสมที่มีกำลังไฟฟ้าสูญเสียน้อยที่สุด ระบบที่ทดสอบเป็นระบบจำหน่าย 26,50 และ 59 บัส ของการไฟฟ้าส่วนภูมิภาค เขต 1 ภาคกลาง พิจารณาแบบจำลองโอลด์จะใช้เป็นค่ากำลังคงที่วิทยานิพนธ์นี้ไม่นenneถึงการพิจารณาเสถียรภาพของระบบไฟฟ้าทางด้านอื่นๆ ดังนั้นหากมีผู้สนใจในวิทยานิพนธ์นี้อาจพิจารณาด้านอื่นๆ ได้อีก เช่น ด้านค่าใช้จ่ายในการติดตั้งที่บัสต่าง ซึ่งสามารถนำมาประกอบการพิจารณาสถานที่ติดตั้ง โรงไฟฟ้าน้ำดึงมากของการไฟฟ้าส่วนภูมิภาคได้

รายการอ้างอิง

- [1] ประทีป พุผล, การศึกษาผลกระทบกำลังไฟฟ้าสูญเสียในระบบจำหน่ายจากการติดตั้งเครื่องกำเนิดไฟฟ้าแบบกระจาย, วิทยานิพนธ์ปริญญาโท สาขาวิชาการจัดการทางวิศวกรรมคณะวิศวกรรมศาสตร์ มหาวิทยาลัยศรีนครินทรวิโรฒ, 2553.
- [2] บุญฤทธิ์ ทองพูล, การกำหนดตำแหน่งและขนาดที่เหมาะสมที่สุดของเครื่องกำเนิดไฟฟ้าขนาดเล็กเพื่อลดความสูญเสียโดยคำนึงถึงระดับความผิดพร่องในระบบเครือข่ายจำหน่ายไฟฟ้า, วิทยานิพนธ์ปริญญาโท สาขาวิชาวิศวกรรมไฟฟ้า คณะวิศวกรรมศาสตร์ มหาวิทยาลัยเกษตรศาสตร์, 2552.
- [3] กนกวรรณ กลินอี้ยม, การหาตำแหน่งการติดตั้งสวิตช์ตัดตอนที่เหมาะสมในระบบจำหน่ายแบบเรเดียลโดยวิธีเชิงพันธุกรรม, วิทยานิพนธ์ปริญญาโท สาขาวิชาวิศวกรรมไฟฟ้า คณะวิศวกรรมศาสตร์ มหาวิทยาลัยเทคโนโลยีพระจอมเกล้าพระนครเหนือ, 2549.
- [4] ยุทธนา เอี่ยมสมบูรณ์, การการหาตำแหน่งและขนาดของเครื่องกำเนิดไฟฟ้าแบบกระจายที่เหมาะสมเพื่อลดกำลังสูญเสีย และเพิ่มความเชื่อถือได้ในระบบจำหน่ายโดยวิธีการค้นหาแบบตานู, วิทยานิพนธ์ปริญญาโท สาขาวิชาวิศวกรรมไฟฟ้า คณะวิศวกรรมศาสตร์ มหาวิทยาลัยเทคโนโลยีพระจอมเกล้าพระนครเหนือ, 2550.
- [5] นัฐ โชค รักไทยเจริญชีพ, “แบบจำลองการติดตั้งเครื่องกำเนิดไฟฟ้าแบบกระจายเพื่อลดกำลังไฟฟ้าสูญเสียในระบบจำหน่าย”, ใน แผนกจัดการงานคุณภาพไฟฟ้ากองวิศวกรรมและบำรุงรักษา ภารกิจภารกิจ 1 (ภาคกลาง).
- [6] W. Prommee and W. Ongsakul, “Optimal multiple distribute generation placement in microgrid system by improved reinitialized social structures particle swarm optimization,” *European Transactions on Electrical Power*, 2011, pp. 489-504.
- [7] บัณฑิต เอื้ออากรณ์, การวิเคราะห์ระบบไฟฟ้ากำลังเบื้องต้น. กรุงเทพฯ: สำนักพิมพ์แห่งจุฬาลงกรณ์มหาวิทยาลัย, 2547,หน้า 23-38.
- [8] จักรินทร์ วิเศษยา, การวิเคราะห์หาตำแหน่งการติดตั้ง FACTS ที่เหมาะสมในระบบจำหน่ายโดยวิธีกластิกมอนูภาค, วิทยานิพนธ์ปริญญาโท สาขาวิชาวิศวกรรมไฟฟ้า คณะวิศวกรรมศาสตร์ มหาวิทยาลัยเทคโนโลยีราชมงคลธัญบุรี, 2554.

- [9] ชวัช เกิดชื่น และ กฤตวิทย์ บัวใหญ่, “เทคนิคการคำนวณการไอลอของกำลังในระบบจำหน่าย”, **การประชุมเครือข่ายวิศวกรรมไฟฟ้ามหาวิทยาลัยเทคโนโลยีราชมงคล (EENET2008)**, คณะวิศวกรรมศาสตร์ มหาวิทยาลัยเทคโนโลยีราชมงคลธัญบุรี, 2552. pp. 1-13.
- [10] อุเทน ลีตน และ ธนดชช ภู่วรรณิชพงษ์, “การแก้ปัญหากำลังงานสูญเสียในสายส่งต่อที่สุดโดยใช้ผลเฉลยการไอลอกำลังไฟฟ้าเหมาะสมที่สุดที่อาศัยปัญญาเชิงกลุ่ม,” **การประชุมวิชาการทางวิศวกรรมไฟฟ้าครั้งที่ 33**, ธันวาคม 2553, หน้า 81-84.
- [11] A. P. Engelbrecht, “Fundamentals of Computational Swarm Intelligence,” **West Sussex: John Wiley & Sons**, 2005.
- [12] J. Kennedy, and R. Eberhart “Particle Swarm Optimization,” **Proceeding of the IEEE International Conference on Neural Network. Perth**, Piscataway, 1995.
- [13] ชวัช สิริสังกาส, การหาตำแหน่งและขนาดติดตั้งค่าปารามิเตอร์แบบค์ที่เหมาะสมเพื่อลดกำลังสูญเสียในระบบจำหน่ายไฟฟ้าพร้อมทั้งคำนึงถึงความไม่เป็นเชิงเส้นของโหลดโดยใช้วิธีกลุ่มอนุภาค, วิทยานิพนธ์ปริญญาโท สาขาวิชาวิศวกรรมไฟฟ้า คณะวิศวกรรมศาสตร์ มหาวิทยาลัย เทคโนโลยีพระจอมเกล้าพระนครเหนือ, 2550.





ภาคผนวก ก

ข้อมูลสาขาและบัญชีของระบบจำหน่าย

**ก.1 ข้อมูลสาขาต่างๆ ของระบบจ้าหน่ายแบบเรเดียล 26 บัส ของการไฟฟ้าส่วนภูมิภาคเขต 1 ภาค
กลาง**

ตารางที่ ก.1 ข้อมูลสาขาต่างๆ ของระบบจ้าหน่ายแบบเรเดียล 26 บัส

| From bus | To bus | R (p.u.) | X (p.u.) | Rating (MVA) |
|----------|--------|----------|----------|--------------|
| | | | | |
| 2 | 3 | 0.000469 | 0.001089 | 20 |
| 3 | 4 | 0.000054 | 0.000129 | 20 |
| 3 | 5 | 0.000362 | 0.000840 | 20 |
| 5 | 6 | 0.000053 | 0.000127 | 20 |
| 5 | 7 | 0.000067 | 0.000156 | 20 |
| 7 | 8 | 0.000253 | 0.000498 | 16 |
| 8 | 9 | 0.000068 | 0.000134 | 16 |
| 9 | 10 | 0.000192 | 0.000377 | 16 |
| 10 | 11 | 0.000040 | 0.000078 | 16 |
| 8 | 12 | 0.000301 | 0.000592 | 16 |
| 12 | 13 | 0.000127 | 0.000250 | 16 |
| 7 | 14 | 0.000336 | 0.000780 | 20 |
| 14 | 15 | 0.000022 | 0.000054 | 20 |
| 15 | 16 | 0.000032 | 0.000075 | 20 |
| 16 | 17 | 0.000015 | 0.000036 | 20 |
| 14 | 18 | 0.000415 | 0.000963 | 20 |
| 18 | 19 | 0.000090 | 0.000210 | 20 |
| 19 | 20 | 0.000881 | 0.002045 | 20 |
| 20 | 21 | 0.000204 | 0.000473 | 20 |
| 20 | 22 | 0.001626 | 0.003772 | 20 |
| 22 | 23 | 0.000014 | 0.000034 | 20 |
| 19 | 24 | 0.000128 | 0.000297 | 20 |
| 19 | 25 | 0.000845 | 0.001960 | 20 |
| 25 | 26 | 0.000919 | 0.002131 | 20 |

**ก.2 ข้อมูลสาขาต่างๆ ของระบบจำนวนayer เดี่ยล 50 บัส ของการไฟฟ้าส่วนภูมิภาคเขต 1 ภาค
กลาง**

ตารางที่ ก.2 ข้อมูลบัสต่างๆ ของระบบจำนวนayer เดี่ยล 50 บัส

| From bus | To bus | R (p.u.) | X (p.u.) | Rating (MVA) |
|----------|--------|----------|----------|--------------|
| 1 | 2 | 0.000177 | 0.000319 | 20 |
| 2 | 3 | 0.000177 | 0.000319 | 20 |
| 3 | 4 | 0.000177 | 0.000319 | 20 |
| 4 | 5 | 0.000177 | 0.000319 | 20 |
| 5 | 6 | 0.000177 | 0.000319 | 20 |
| 6 | 7 | 0.000177 | 0.000319 | 20 |
| 7 | 8 | 0.000177 | 0.000319 | 20 |
| 8 | 9 | 0.000177 | 0.000319 | 20 |
| 9 | 10 | 0.000177 | 0.000319 | 20 |
| 10 | 11 | 0.000177 | 0.000319 | 20 |
| 11 | 12 | 0.000177 | 0.000319 | 20 |
| 12 | 13 | 0.000177 | 0.000319 | 20 |
| 13 | 14 | 0.000177 | 0.000319 | 20 |
| 14 | 15 | 0.000177 | 0.000319 | 20 |
| 15 | 16 | 0.000177 | 0.000319 | 20 |
| 16 | 17 | 0.000177 | 0.000319 | 20 |
| 17 | 18 | 0.000177 | 0.000319 | 20 |
| 18 | 19 | 0.000177 | 0.000319 | 20 |
| 19 | 20 | 0.000177 | 0.000319 | 20 |
| 20 | 21 | 0.000177 | 0.000319 | 20 |
| 21 | 22 | 0.000177 | 0.000319 | 20 |
| 22 | 23 | 0.000177 | 0.000319 | 20 |
| 23 | 24 | 0.000177 | 0.000319 | 20 |
| 24 | 25 | 0.000177 | 0.000319 | 20 |
| 25 | 26 | 0.000177 | 0.000319 | 20 |
| 26 | 27 | 0.000177 | 0.000319 | 20 |
| 27 | 28 | 0.000177 | 0.000319 | 20 |

ตารางที่ ก.2 ข้อมูลบัสต่างๆ ของระบบจําหน่ายแบบเรเดียล 50 บัส (ต่อ)

| From bus | To bus | R (p.u.) | X (p.u.) | Rating (MVA) |
|----------|--------|----------|----------|--------------|
| 28 | 29 | 0.000177 | 0.000319 | 20 |
| 29 | 30 | 0.000177 | 0.000319 | 20 |
| 30 | 31 | 0.000177 | 0.000319 | 20 |
| 31 | 32 | 0.000177 | 0.000319 | 20 |
| 32 | 33 | 0.000177 | 0.000319 | 20 |
| 33 | 34 | 0.000177 | 0.000319 | 20 |
| 34 | 35 | 0.000177 | 0.000319 | 20 |
| 35 | 36 | 0.000177 | 0.000319 | 20 |
| 36 | 37 | 0.000177 | 0.000319 | 20 |
| 37 | 38 | 0.000177 | 0.000319 | 20 |
| 38 | 39 | 0.000177 | 0.000319 | 20 |
| 39 | 40 | 0.000177 | 0.000319 | 20 |
| 40 | 41 | 0.000177 | 0.000319 | 20 |
| 41 | 42 | 0.000177 | 0.000319 | 20 |
| 42 | 43 | 0.000177 | 0.000319 | 20 |
| 43 | 44 | 0.000177 | 0.000319 | 20 |
| 44 | 45 | 0.000177 | 0.000319 | 20 |
| 45 | 46 | 0.000177 | 0.000319 | 20 |
| 46 | 47 | 0.000177 | 0.000319 | 20 |
| 47 | 48 | 0.000177 | 0.000319 | 20 |
| 48 | 49 | 0.000177 | 0.000319 | 20 |
| 49 | 50 | 0.000177 | 0.000319 | 20 |

**ก.3 ข้อมูลสาขาต่างๆ ของระบบจำนวนayer เดี่ยล 59 บัส ของการไฟฟ้าส่วนภูมิภาคเขต 1 ภาค
กลาง**

ตารางที่ ก.3 ข้อมูลบัสต่างๆ ของระบบจำนวนayer เดี่ยล 59 บัส

| From bus | To bus | R (p.u.) | X (p.u.) | Rating (MVA) |
|----------|--------|----------|----------|--------------|
| 1 | 2 | 0.000266 | 0.000617 | 20 |
| 2 | 3 | 0.000217 | 0.000504 | 20 |
| 3 | 4 | 0.000131 | 0.000304 | 20 |
| 4 | 5 | 0.001818 | 0.004217 | 20 |
| 5 | 6 | 0.000357 | 0.000852 | 20 |
| 6 | 7 | 0.000350 | 0.000811 | 20 |
| 7 | 8 | 0.000684 | 0.001587 | 20 |
| 8 | 9 | 0.000075 | 0.000174 | 20 |
| 9 | 10 | 0.000501 | 0.001161 | 20 |
| 10 | 11 | 0.000642 | 0.001488 | 20 |
| 11 | 12 | 0.000375 | 0.000870 | 20 |
| 12 | 13 | 0.001092 | 0.002533 | 20 |
| 13 | 14 | 0.000556 | 0.001290 | 20 |
| 14 | 15 | 0.000482 | 0.001117 | 20 |
| 15 | 16 | 0.000801 | 0.001858 | 20 |
| 16 | 17 | 0.000551 | 0.001084 | 16 |
| 17 | 18 | 0.000258 | 0.000507 | 16 |
| 18 | 19 | 0.000576 | 0.001134 | 16 |
| 19 | 20 | 0.000425 | 0.000835 | 16 |
| 20 | 21 | 0.000472 | 0.000928 | 16 |
| 21 | 22 | 0.000143 | 0.000282 | 16 |
| 22 | 23 | 0.000151 | 0.000296 | 16 |
| 23 | 24 | 0.000532 | 0.001047 | 16 |
| 24 | 25 | 0.000214 | 0.000421 | 16 |
| 25 | 26 | 0.000149 | 0.000294 | 16 |
| 27 | 28 | 0.001344 | 0.002644 | 16 |
| 28 | 29 | 0.000475 | 0.000935 | 16 |

ตารางที่ ก.3 ข้อมูลบัสต่างๆ ของระบบจำหน้าขแบบเรเดียล 59 บัส (ต่อ)

| From bus | To bus | R (p.u.) | X (p.u.) | Rating (MVA) |
|----------|--------|----------|----------|--------------|
| 29 | 30 | 0.000447 | 0.000880 | 16 |
| 30 | 31 | 0.002009 | 0.003952 | 16 |
| 31 | 32 | 0.000755 | 0.001486 | 16 |
| 32 | 33 | 0.002040 | 0.004013 | 16 |
| 33 | 34 | 0.000679 | 0.001335 | 16 |
| 34 | 35 | 0.002319 | 0.004562 | 16 |
| 35 | 36 | 0.001262 | 0.002482 | 16 |
| 4 | 37 | 0.001210 | 0.000854 | 6 |
| 37 | 38 | 0.001210 | 0.000854 | 6 |
| 38 | 39 | 0.002456 | 0.001734 | 6 |
| 39 | 40 | 0.001239 | 0.000875 | 6 |
| 40 | 41 | 0.000146 | 0.000103 | 6 |
| 13 | 42 | 0.004377 | 0.002425 | 7 |
| 42 | 43 | 0.005415 | 0.003000 | 7 |
| 43 | 44 | 0.001897 | 0.001051 | 7 |
| 15 | 45 | 0.000436 | 0.001012 | 20 |
| 45 | 46 | 0.000850 | 0.004291 | 20 |
| 46 | 47 | 0.000437 | 0.001013 | 20 |
| 47 | 48 | 0.000822 | 0.001907 | 20 |
| 48 | 49 | 0.000505 | 0.001170 | 20 |
| 49 | 50 | 0.000932 | 0.002163 | 20 |
| 50 | 51 | 0.000453 | 0.000251 | 7 |
| 47 | 52 | 0.002631 | 0.001457 | 7 |
| 52 | 53 | 0.001095 | 0.000607 | 7 |
| 53 | 54 | 0.000306 | 0.000170 | 7 |
| 24 | 55 | 0.000205 | 0.000402 | 16 |
| 55 | 56 | 0.000205 | 0.000834 | 16 |
| 57 | 58 | 0.007182 | 0.005071 | 6 |
| 32 | 59 | 0.008451 | 0.005968 | 6 |

ก.4 ข้อมูลบัสต่างๆ ของระบบจำหน่ายแบบเรเดียล 26 บัส ของการไฟฟ้าส่วนภูมิภาคเขต 1 ภาคกลาง

ตารางที่ ก.4 ข้อมูลบัสต่างๆ ของระบบจำหน่ายแบบเรเดียล 26 บัส

| Bus | Load | |
|-----|-------|--------|
| | (MW) | (MVar) |
| 1 | 0.000 | 0.000 |
| 2 | 0.369 | 0.221 |
| 3 | 0.369 | 0.221 |
| 4 | 0.369 | 0.221 |
| 5 | 0.369 | 0.221 |
| 6 | 0.369 | 0.221 |
| 7 | 0.369 | 0.221 |
| 8 | 0.369 | 0.221 |
| 9 | 0.369 | 0.221 |
| 10 | 0.369 | 0.221 |
| 11 | 0.369 | 0.221 |
| 12 | 0.369 | 0.221 |
| 13 | 0.369 | 0.221 |
| 14 | 0.369 | 0.221 |
| 15 | 0.369 | 0.221 |
| 16 | 0.369 | 0.221 |
| 17 | 0.214 | 0.076 |
| 18 | 0.272 | 0.210 |
| 19 | 0.369 | 0.221 |
| 20 | 0.369 | 0.221 |
| 21 | 0.369 | 0.221 |
| 22 | 0.369 | 0.221 |
| 23 | 0.250 | 0.200 |
| 24 | 0.250 | 0.200 |
| 25 | 0.250 | 0.200 |
| 26 | 0.250 | 0.200 |

ก.5 ข้อมูลบัสต่างๆ ของระบบจำหน่ายแบบเรเดียล 50 บัส ของการไฟฟ้าส่วนภูมิภาคเขต 1 ภาคกลาง

ตารางที่ ก.5 ข้อมูลบัสต่างๆ ของระบบจำหน่ายแบบเรเดียล 50 บัส

| Bus | Load | |
|-----|-------|--------|
| | (MW) | (MVar) |
| 1 | 0.00 | 0.00 |
| 2 | 0.276 | 0.152 |
| 3 | 0.276 | 0.152 |
| 4 | 0.276 | 0.152 |
| 5 | 0.276 | 0.152 |
| 6 | 0.276 | 0.152 |
| 7 | 0.276 | 0.152 |
| 8 | 0.276 | 0.152 |
| 9 | 0.276 | 0.152 |
| 10 | 0.276 | 0.152 |
| 11 | 0.276 | 0.152 |
| 12 | 0.276 | 0.152 |
| 13 | 0.276 | 0.152 |
| 14 | 0.276 | 0.152 |
| 15 | 0.276 | 0.152 |
| 16 | 0.276 | 0.152 |
| 17 | 0.276 | 0.152 |
| 18 | 0.276 | 0.152 |
| 19 | 0.276 | 0.152 |
| 20 | 0.276 | 0.152 |
| 21 | 0.276 | 0.152 |
| 22 | 0.276 | 0.152 |
| 23 | 0.276 | 0.152 |
| 24 | 0.276 | 0.152 |
| 25 | 0.276 | 0.152 |
| 26 | 0.276 | 0.152 |
| 27 | 0.276 | 0.152 |

ตารางที่ ก.5 ข้อมูลบัสต่างๆ ของระบบจำหน่ายแบบเรเดียล 50 บัส (ต่อ)

| Bus | Load | |
|-----|-------|--------|
| | (MW) | (MVar) |
| 28 | 0.276 | 0.152 |
| 29 | 0.276 | 0.152 |
| 30 | 0.276 | 0.152 |
| 31 | 0.276 | 0.152 |
| 32 | 0.276 | 0.152 |
| 33 | 0.276 | 0.152 |
| 34 | 0.276 | 0.152 |
| 35 | 0.276 | 0.152 |
| 36 | 0.276 | 0.152 |
| 37 | 0.276 | 0.152 |
| 38 | 0.276 | 0.152 |
| 39 | 0.276 | 0.152 |
| 40 | 0.276 | 0.152 |
| 41 | 0.276 | 0.152 |
| 42 | 0.276 | 0.152 |
| 43 | 0.276 | 0.152 |
| 44 | 0.276 | 0.152 |
| 45 | 0.276 | 0.152 |
| 46 | 0.276 | 0.152 |
| 47 | 0.276 | 0.152 |
| 48 | 0.276 | 0.152 |
| 49 | 0.276 | 0.152 |
| 50 | 0.276 | 0.152 |

ก.6 ข้อมูลบัสต่างๆ ของระบบจำหน่ายแบบเรเดียล 59 บัส ของการไฟฟ้าส่วนภูมิภาคเขต 1 ภาคกลาง

ตารางที่ ก.6 ข้อมูลบัสต่างๆ ของระบบจำหน่ายแบบเรเดียล 59 บัส

| Bus | Load | |
|-----|-------|--------|
| | (MW) | (MVar) |
| 1 | 0.00 | 0.00 |
| 2 | 0.276 | 0.152 |
| 3 | 0.018 | 0.010 |
| 4 | 0.088 | 0.048 |
| 5 | 0.551 | 0.305 |
| 6 | 0.276 | 0.152 |
| 7 | 0.276 | 0.152 |
| 8 | 0.088 | 0.048 |
| 9 | 0.350 | 0.194 |
| 10 | 0.276 | 0.305 |
| 11 | 0.551 | 0.305 |
| 12 | 0.018 | 0.010 |
| 13 | 0.350 | 0.194 |
| 14 | 0.044 | 0.024 |
| 15 | 0.551 | 0.305 |
| 16 | 0.044 | 0.024 |
| 17 | 0.276 | 0.152 |
| 18 | 0.276 | 0.152 |
| 19 | 0.018 | 0.010 |
| 20 | 0.350 | 0.194 |
| 21 | 0.044 | 0.024 |
| 22 | 0.018 | 0.010 |
| 23 | 0.276 | 0.152 |
| 24 | 0.044 | 0.024 |
| 25 | 0.350 | 0.194 |
| 26 | 0.044 | 0.024 |
| 27 | 0.276 | 0.152 |
| 28 | 0.044 | 0.024 |
| 29 | 0.018 | 0.010 |

ตารางที่ ก.6 ข้อมูลบัสต่างๆ ของระบบจำหน่ายแบบเรเดียล 59 บัส (ต่อ)

| Bus | Load | |
|-----|-------|--------|
| | (MW) | (MVar) |
| 30 | 0.276 | 0.152 |
| 31 | 0.044 | 0.024 |
| 32 | 0.350 | 0.194 |
| 33 | 0.551 | 0.305 |
| 34 | 0.088 | 0.048 |
| 35 | 0.276 | 0.152 |
| 36 | 0.276 | 0.152 |
| 37 | 0.088 | 0.048 |
| 38 | 0.088 | 0.048 |
| 39 | 0.088 | 0.048 |
| 40 | 0.276 | 0.152 |
| 41 | 0.088 | 0.048 |
| 42 | 0.088 | 0.048 |
| 43 | 0.044 | 0.024 |
| 44 | 0.350 | 0.194 |
| 45 | 0.276 | 0.152 |
| 46 | 0.551 | 0.305 |
| 47 | 0.276 | 0.152 |
| 48 | 0.551 | 0.305 |
| 49 | 0.018 | 0.010 |
| 50 | 0.088 | 0.048 |
| 51 | 0.276 | 0.152 |
| 52 | 0.018 | 0.010 |
| 53 | 0.044 | 0.024 |
| 54 | 0.350 | 0.194 |
| 55 | 0.276 | 0.152 |
| 56 | 0.350 | 0.194 |
| 57 | 0.044 | 0.024 |
| 58 | 0.276 | 0.152 |
| 59 | 0.018 | 0.010 |



ภาคผนวก ๖
โปรแกรมการหาตำแหน่งและขนาดของ DG

โปรแกรมการหาตำแหน่งติดตั้ง DG ที่เหมาะสมโดยใช้ PSO ของระบบจำหน่ายแบบ เรเดียล 26 บัส ของการไฟฟ้าส่วนภูมิภาคเขต 1 ภาคกลาง

```

%% system MVA base
clear
clc
% Base MVA = 10 MVA
baseMVA = 10;
% Base kV = 12.66 kV.
baseKV=12.660;
%% bus data
%bus_i type Pd      Qd      Gs   Bs area Vm   Va baseKV zone Vmax Vmin
bus = [
1   3   0.00000 0.00000   0   0   1   1   0   12.66   1   1.1 0.95 ;
2   1   0.36900 0.22100   0   0   1   1   0   12.66   1   1.1 0.95 ;
3   1   0.36900 0.22100   0   0   1   1   0   12.66   1   1.1 0.95 ;
4   1   0.36900 0.22100   0   0   1   1   0   12.66   1   1.1 0.95 ;
5   1   0.36900 0.22100   0   0   1   1   0   12.66   1   1.1 0.95 ;
6   1   0.36900 0.22100   0   0   1   1   0   12.66   1   1.1 0.95 ;
7   1   0.36900 0.22100   0   0   1   1   0   12.66   1   1.1 0.95 ;
8   1   0.36900 0.22100   0   0   1   1   0   12.66   1   1.1 0.95 ;
9   1   0.36900 0.22100   0   0   1   1   0   12.66   1   1.1 0.95 ;
10  1   0.36900 0.22100   0   0   1   1   0   12.66   1   1.1 0.95 ;
11  1   0.36900 0.22100   0   0   1   1   0   12.66   1   1.1 0.95 ;
12  1   0.36900 0.22100   0   0   1   1   0   12.66   1   1.1 0.95 ;
13  1   0.36900 0.22100   0   0   1   1   0   12.66   1   1.1 0.95 ;
14  1   0.36900 0.22100   0   0   1   1   0   12.66   1   1.1 0.95 ;
15  1   0.36900 0.22100   0   0   1   1   0   12.66   1   1.1 0.95 ;
16  1   0.36900 0.22100   0   0   1   1   0   12.66   1   1.1 0.95 ;
17  1   0.21400 0.07600   0   0   1   1   0   12.66   1   1.1 0.95 ;
18  1   0.27200 0.21000   0   0   1   1   0   12.66   1   1.1 0.95 ;
19  1   0.36900 0.22100   0   0   1   1   0   12.66   1   1.1 0.95 ;
20  1   0.36900 0.22100   0   0   1   1   0   12.66   1   1.1 0.95 ;
21  1   0.36900 0.22100   0   0   1   1   0   12.66   1   1.1 0.95 ;
22  1   0.36900 0.22100   0   0   1   1   0   12.66   1   1.1 0.95 ;
23  1   0.25000 0.20000   0   0   1   1   0   12.66   1   1.1 0.95 ;
24  1   0.25000 0.20000   0   0   1   1   0   12.66   1   1.1 0.95 ;
25  1   0.25000 0.20000   0   0   1   1   0   12.66   1   1.1 0.95 ;
26  1   0.25000 0.20000   0   0   1   1   0   12.66   1   1.1 0.95 ;
];
%% generator data
% bus Pg   Qg   Qmax Qmin   Vg   mBase   status   Pmax   Pmin
gen = [
1   0   0   20  -20   1   10   1   10   0;
];
%% branch data
% fbus tbus r      x      b   rateA rateB rateC ratio angle   status
branch = [
1   2   0.0001770   0.0003190   0   20   20   20   0   0   1   ;
2   3   0.0004690   0.0010890   0   20   20   20   0   0   1   ;
3   4   0.0005400   0.0001290   0   20   20   20   0   0   1   ;
3   5   0.0003620   0.0008400   0   20   20   20   0   0   1   ;
5   6   0.0000530   0.0001270   0   20   20   20   0   0   1   ;
5   7   0.0000670   0.0001560   0   20   20   20   0   0   1   ;
7   8   0.0002530   0.0004980   0   16  16  16   0   0   1   ;
8   9   0.0000680   0.0001340   0   16  16  16   0   0   1   ;
9   10  0.0001920   0.0003770   0   16  16  16   0   0   1   ;
10  11  0.0000400   0.0000780   0   16  16  16   0   0   1   ;
];

```

```

8   12  0.0003010  0.0005920  0   16  16  16  0   0   0   1   ;
12  13  0.0001270  0.0002500  0   16  16  16  0   0   0   1   ;
7   14  0.0003360  0.0007800  0   20  20  20  0   0   0   1   ;
14  15  0.0000220  0.0000540  0   20  20  20  0   0   0   1   ;
15  16  0.0000320  0.0000750  0   20  20  20  0   0   0   1   ;
16  17  0.0000150  0.0000360  0   20  20  20  0   0   0   1   ;
14  18  0.0004150  0.0009630  0   20  20  20  0   0   0   1   ;
18  19  0.0000900  0.0002100  0   20  20  20  0   0   0   1   ;
19  20  0.0008810  0.0020450  0   20  20  20  0   0   0   1   ;
20  21  0.0002040  0.0004730  0   20  20  20  0   0   0   1   ;
20  22  0.0016260  0.0037720  0   20  20  20  0   0   0   1   ;
22  23  0.0000140  0.0000340  0   20  20  20  0   0   0   1   ;
19  24  0.0001280  0.0002970  0   20  20  20  0   0   0   1   ;
19  25  0.0008450  0.0019600  0   20  20  20  0   0   0   1   ;
25  26  0.0009190  0.0021310  0   20  20  20  0   0   0   1   ;
];

%%%%%%%%%%%%%%%
bustype=bus (:,2);
N=length(bustype);           % N is the number of nodes
n=N-1;                      % n is the number of sections
j=sqrt(-1);
V=ones(N,1)+j*zeros(N,1);% Flat start
for aa=1:N
    if bustype(aa)==3
        V(aa)=0.98 ; % Setting the value of voltages of 0.98 for Generator bus
    end
end
maxmis=0.0001;              % Maximum mismatch
maxitt=100;                 % Maximum iteration
itt=0;
dVmax=1;
P1=bus (:,3)/baseMVA;
Q1=bus (:,4)/baseMVA;
FN=branch (:,1);
TN=branch (:,2);
R=branch (:,3);
X=branch (:,4);
B=branch (:,5);
Pg=zeros(N,1);
Qg=zeros(N,1);
% Calculated Impedance
Z=n+1;
zbus=zeros(Z,Z);
zbus (1,1)=0+j*0.000000001;

for bb=1:n
    a=FN(bb);
    b=TN(bb);
    zbus (b,:) = zbus (a,:);
    zbus (:,b) = zbus (:,a);
    zbus (b,b) = zbus (a,a)+R(bb)+j*X(bb);
end
Rik=real(zbus);            % Finding R bus
Xik=imag(zbus);            % Finding X bus

%%%%%%%%%-----Voltage Bus-----%%%%%%%%%
while itt<maxitt&dVmax>maxmis
    itt=itt+1;
    % Calculating Nodal Current
    for cc=1:N;

```

```

Pi(cc)=(Pl(cc)-Pg(cc));
Qi(cc)=(Ql(cc)-Qg(cc));
In(cc,:)=(Pi(cc)-j*Qi(cc))/(conj(V(cc))); % In is the load current
end
for cc=2:N;
I(cc-1)=In(cc);
end

%BACKWARD SWEEP
Vk=V;
for dd=1:n;
a=N-dd;
for b=1:n;
if FN(b)==a+1
c=TN(b);
I(a)=I(a)+I(c-1)+j*B(c-1)*V(a+1);
end
end
I(a)=I(a)+j*V(a+1)*B(a)/2; %I is the branch current
end

% FORWARD SWEEP
for ee=1:n;
ff=FN(ee);
V(ee+1)=V(ff)-(R(ee)+j*X(ee))*I(ee);
dV(ee)=abs(V(ee+1)-Vk(ee+1));
end
dVmax=max(dV);
end

for gg=1:N
Pi(gg)=(Pg(gg)-Pl(gg));
Qi(gg)=(Qg(gg)-Ql(gg));
end
Vm=abs(V); %*baseKV;
Delta=angle(V);
for hh=1:N
for ii=1:N
alpha(hh,ii)=Rik(hh,ii)*cos(Delta(hh)-Delta(ii))/(Vm(hh)*Vm(ii));
beta(hh,ii)=Rik(hh,ii)*sin(Delta(hh)-Delta(ii))/(Vm(hh)*Vm(ii));
gama(hh,ii)=Xik(hh,ii)*cos(Delta(hh)-Delta(ii))/(Vm(hh)*Vm(ii));
geta(hh,ii)=Xik(hh,ii)*sin(Delta(hh)-Delta(ii))/(Vm(hh)*Vm(ii));
end
end
LL1=2; %limit of min location
LH1=26;%limit of max location
LL2=2; %limit of min location
LH2=26;%limit of max location
LL3=2; %limit of min location
LH3=26;%limit of max location

SL1=0.05;%limit of min size DG
SH1=10; %limit of max size DG
SL2=0.05;%limit of min size DG
SH2=10; %limit of max size DG
SL3=0.05;%limit of min size DG
SH3=10; %limit of max size DG

%% system MVA base
%clear
clc
% Base MVA = 10 MVA

```

```

baseMVA = 10;
% Base kV = 12.66 kV.
baseKV=12.660;
%% bus data
%bus_i type Pd Qd Gs Bs area Vm Va baseKV zone Vmax Vmin
bus = [
1 3 0.00000 0.00000 0 0 1 1 0 12.66 1 1.1 0.95 ;
2 1 0.36900 0.22100 0 0 1 1 0 12.66 1 1.1 0.95 ;
3 1 0.36900 0.22100 0 0 1 1 0 12.66 1 1.1 0.95 ;
4 1 0.36900 0.22100 0 0 1 1 0 12.66 1 1.1 0.95 ;
5 1 0.36900 0.22100 0 0 1 1 0 12.66 1 1.1 0.95 ;
6 1 0.36900 0.22100 0 0 1 1 0 12.66 1 1.1 0.95 ;
7 1 0.36900 0.22100 0 0 1 1 0 12.66 1 1.1 0.95 ;
8 1 0.36900 0.22100 0 0 1 1 0 12.66 1 1.1 0.95 ;
9 1 0.36900 0.22100 0 0 1 1 0 12.66 1 1.1 0.95 ;
10 1 0.36900 0.22100 0 0 1 1 0 12.66 1 1.1 0.95 ;
11 1 0.36900 0.22100 0 0 1 1 0 12.66 1 1.1 0.95 ;
12 1 0.36900 0.22100 0 0 1 1 0 12.66 1 1.1 0.95 ;
13 1 0.36900 0.22100 0 0 1 1 0 12.66 1 1.1 0.95 ;
14 1 0.36900 0.22100 0 0 1 1 0 12.66 1 1.1 0.95 ;
15 1 0.36900 0.22100 0 0 1 1 0 12.66 1 1.1 0.95 ;
16 1 0.36900 0.22100 0 0 1 1 0 12.66 1 1.1 0.95 ;
17 1 0.21400 0.07600 0 0 1 1 0 12.66 1 1.1 0.95 ;
18 1 0.27200 0.21000 0 0 1 1 0 12.66 1 1.1 0.95 ;
19 1 0.36900 0.22100 0 0 1 1 0 12.66 1 1.1 0.95 ;
20 1 0.36900 0.22100 0 0 1 1 0 12.66 1 1.1 0.95 ;
21 1 0.36900 0.22100 0 0 1 1 0 12.66 1 1.1 0.95 ;
22 1 0.36900 0.22100 0 0 1 1 0 12.66 1 1.1 0.95 ;
23 1 0.25000 0.20000 0 0 1 1 0 12.66 1 1.1 0.95 ;
24 1 0.25000 0.20000 0 0 1 1 0 12.66 1 1.1 0.95 ;
25 1 0.25000 0.20000 0 0 1 1 0 12.66 1 1.1 0.95 ;
26 1 0.25000 0.20000 0 0 1 1 0 12.66 1 1.1 0.95 ;
];

%% generator data
% bus Pg Qg Qmax Qmin Vg mBase status Pmax Pmin
gen = [
1 0 0 20 -20 1 10 1 10 0;
];

%% branch data
% fbus tbus r x b rateA rateB rateC ratio angle status
branch = [
1 2 0.0001770 0.0003190 0 20 20 20 0 0 1 ;
2 3 0.0004690 0.0010890 0 20 20 20 0 0 1 ;
3 4 0.0005400 0.0001290 0 20 20 20 0 0 1 ;
3 5 0.0003620 0.0008400 0 20 20 20 0 0 1 ;
5 6 0.0000530 0.0001270 0 20 20 20 0 0 1 ;
5 7 0.0000670 0.0001560 0 20 20 20 0 0 1 ;
7 8 0.0002530 0.0004980 0 16 16 16 0 0 1 ;
8 9 0.0000680 0.0001340 0 16 16 16 0 0 1 ;
9 10 0.0001920 0.0003770 0 16 16 16 0 0 1 ;
10 11 0.0000400 0.0000780 0 16 16 16 0 0 1 ;
8 12 0.0003010 0.0005920 0 16 16 16 0 0 1 ;
12 13 0.0001270 0.0002500 0 16 16 16 0 0 1 ;
7 14 0.0003360 0.0007800 0 20 20 20 0 0 1 ;
14 15 0.0000220 0.0000540 0 20 20 20 0 0 1 ;
15 16 0.0000320 0.0000750 0 20 20 20 0 0 1 ;
16 17 0.0000150 0.0000360 0 20 20 20 0 0 1 ;
14 18 0.0004150 0.0009630 0 20 20 20 0 0 1 ;
18 19 0.0000900 0.0002100 0 20 20 20 0 0 1 ;
19 20 0.00008810 0.00020450 0 20 20 20 0 0 1 ;
20 21 0.0002040 0.0004730 0 20 20 20 0 0 1 ;
];

```

```

20 22 0.0016260 0.0037720 0 20 20 20 0 0 1 ;  

22 23 0.0000140 0.0000340 0 20 20 20 0 0 1 ;  

19 24 0.0001280 0.0002970 0 20 20 20 0 0 1 ;  

19 25 0.0008450 0.0019600 0 20 20 20 0 0 1 ;  

25 26 0.0009190 0.0021310 0 20 20 20 0 0 1 ;  

];  

%%%%%%%%%%%%%  

bustype=bus (:,2);  

N=length(bustype); % N is the number of nodes  

n=N-1; % n is the number of sections  

j=sqrt(-1);  

V=ones(N,1)+j*zeros(N,1);% Flat start  

for aa=1:N  

    if bustype(aa)==3  

        V(aa)=0.98; % Setting the value of voltages of 0.98 for Generator  

bus  

    end  

end  

maxmis=0.0001; % Maximum mismatch  

maxitt=100; % Maximum iteration  

itt=0;  

dVmax=1;  

P1=bus (:, 3)/baseMVA;  

Q1=bus (:, 4)/baseMVA;  

FN=branch (:, 1);  

TN=branch (:, 2);  

R=branch (:, 3);  

X=branch (:, 4);  

B=branch (:, 5);  

Pg=zeros(N,1);  

Qg=zeros(N,1);  

% Calculated Impedance  

Z=n+1;  

zbus=zeros(Z,Z);  

zbus(1,1)=0+j*0.000000001;  

for bb=1:n  

    a=FN(bb);  

    b=TN(bb);  

    zbus(b,:)=zbus(a,:);  

    zbus(:,b)=zbus(:,a);  

    zbus(b,b)=zbus(a,a)+R(bb)+j*X(bb);  

end  

Rik=real(zbus); % Finding R bus  

Xik=imag(zbus); % Finding X bus  

LL1=2; %limit of min location  

LH1=26;%limit of max location  

LL2=2; %limit of min location  

LH2=26;%limit of max location  

LL3=2; %limit of min location  

LH3=26;%limit of max location  

SL1=0.05;%limit of min size DG  

SH1=10; %limit of max size DG  

SL2=0.05;%limit of min size DG  

SH2=10; %limit of max size DG  

SL3=0.05;%limit of min size DG  

SH3=10; %limit of max size DG

```

```

clc
clear all
%%%%%%%%%%%%%Process1%%%%%%%%%%%%%
%Datal system
input26n;

%Initialization of positions of agents

population=200; %population
D=2; %Variable 2

%Initialization of PSO parameters
W = 1;%int
wmax=0.9;
wmin=0.4;
itmax=100; %Maximum iteration number
e1=zeros(1,itmax);%PL
e2=zeros(1,itmax);%QL
%c1=2;
%c2=2;

Cp=1;
Cg=1;
Cl=1;
Cn=1;
K=5; %near neighbor
M1=zeros(K-1,D);%local about near local
M2=zeros(K-1,1);%local loss
plid=zeros(population,D,itmax);
pnid=zeros(population,D,itmax);
FDR=zeros(population,D);

%Initialization of positions of agents
PGG=zeros(population,D,itmax);
PGG(:,1,1)= SL1+(SH1-SL1)*rand(population,1,1);
PGG(:,2,1)= abs(round(LL1+(LH1-LL1)*rand(population,1,1)));
%%%%%
%PGG (1,1,1)= 1.8074;
%PGG (1,2,1)= 56;

%PGG (10,1,1)= 2.4939;
%PGG (10,2,1)= 12;
%%%%%
pbest = PGG;
gbest=zeros(population,D,itmax);
H =zeros(itmax,D);%gbest|iter

%Initialization of velocities of agents
Vo=zeros(population,D,itmax);

%%%%%%%%%%%%%
% Finding the Original Loss
% =====

Plss=0;
Qlss=0;
for i=1:N
    for k=1:N

```

```

% approximate loss calculation
Plss=Plss+(alpha(i,k)*(Pi(i)*Pi(k)+Qi(i)*Qi(k))+beta(i,k)*(Qi(i)*Pi(k)-
Pi(i)*Qi(k)));
% approximate loss calculation
Qlss=Qlss+(gama(i,k)*(Pi(i)*Pi(k)+Qi(i)*Qi(k))+geta(i,k)*(Qi(i)*Pi(k)-
Pi(i)*Qi(k)));
    end
end

%%%%%%%%%%%%%%Process2%%%%%%%%%%%%%
PL=zeros(population,1,itmax);%loss
QL=zeros(population,1,itmax);
%Pii=Pi;

for iter=1:itmax-1
iter

%reline
if iter == 50 || iter == 55 || iter == 60 || iter == 65 || iter == 70 || iter ==
75 || iter == 80 || iter == 85 || iter == 90 || iter == 95
PGG(:,1,iter)= SL1+(SH1-SL1)*rand;
PGG(:,2,iter)= abs(round(LL1+(LH1-LL1)*rand));
PGG(10,:,:)=gbest(10,:,: ,iter-1);
end

%Pii=Pi;
%W(iter)=1;
%W(iter)=wmax-((wmax-wmin)/itmax)*iter;
%W=W +((wmin-wmax)/itmax);%APSO
W=(0.9-0.4)*(itmax-iter)/(itmax+0.4);%GLN-PSO
for mm=1:population

%%%%%%%%%%%%%
input26nxx;

%input52pumox;
Pg(PGG(mm,2,iter))=(PGG(mm,1,iter))/baseMVA;

while itt<maxitt&&dVmax>maxmis

itt=itt+1;
% Calculating Nodal Current
for cc=1:N;

Pi(cc)=(Pl(cc)-Pg(cc));
Qi(cc)=(Ql(cc)-Qg(cc));

In(cc,:)=(Pi(cc)-j*Qi(cc))/(conj(V(cc))); % In is the load current

end
for cc=2:N;
I(cc-1)=In(cc);
end

%BACKWARD SWEEP

```

```

Vk=V;
for dd=1:n;
    a=N-dd;
    for b=1:n;
        if FN(b)==a+1
            c=TN(b);
            I(a)=I(a)+I(c-1)+j*B(c-1)*V(a+1);
        end
    end
    I(a)=I(a)+j*V(a+1)*B(a)/2; %I is the branch current
end

%%%%%%%%%%%%%%%
% FORWARD SWEEP
for ee=1:n;
    ff=FN(ee);
    V(ee+1)=V(ff)-(R(ee)+j*X(ee))*I(ee);
    dV(ee)=abs(V(ee+1)-Vk(ee+1));
end
dVmax=max(dV);
for cc=1:N
    Pi(cc)=(Pg(cc)-Pl(cc));
    Qi(cc)=(Qg(cc)-Ql(cc));
end

Vm=abs(V);%*baseKV;
Delta=angle(V);

for hh=1:N
    for ii=1:N
        alpha(hh,ii)=Rik(hh,ii)*cos(Delta(hh)-Delta(ii))/(Vm(hh)*Vm(ii));
        beta(hh,ii)=Rik(hh,ii)*sin(Delta(hh)-Delta(ii))/(Vm(hh)*Vm(ii));
        gama(hh,ii)=Xik(hh,ii)*cos(Delta(hh)-Delta(ii))/(Vm(hh)*Vm(ii));
        geta(hh,ii)=Xik(hh,ii)*sin(Delta(hh)-Delta(ii))/(Vm(hh)*Vm(ii));
    end
end

%%%%%%%%%%%%%%%
PL(mm,1,iter)=0;
QL(mm,1,iter)=0;
for i=1:N % i is the bus containing DG...we will test by placing one by one
in each bus
    for k=1:N
        PL(mm,1,iter)=PL(mm,1,iter)+(alpha(i,k)*(Pi(i)*Pi(k)+Qi(i)*Qi(k))+beta(i,k)*(Q
i(i)*Pi(k)-Pi(i)*Qi(k))); % approximate loss calculation
        QL(mm,1,iter)=QL(mm,1,iter)+(gama(i,k)*(Pi(i)*Pi(k)+Qi(i)*Qi(k))+geta(i,k)*(Q
i(i)*Pi(k)-Pi(i)*Qi(k))); % approximate loss calculation
    end
end

%%%%%%%%%%%%%%%
%xxxxxxxxxxxxxxxxxxxxxxxxxxxxxxxxxxxxxxxxxxxxxxxxxxxxxxxxxxxxxxxxxxxxxxxxxxxxxx
%%%%%%%%%%%%%%%
%%%%%%%Process 3%%%%%%%Process 3%%%%%%%Process 3%%%%%%%Process 3%%%%%%%Process 3%%%%%

```

```

[C,L]=min(abs(PL(:,:,iter)));
gbest(1,1,iter)=PGG(L,1,iter); % size
H(iter,1)=PGG(L,1,iter);

gbest(1,2,iter)=PGG(L,2,iter); % location
H(iter,2)=PGG(L,2,iter);

e1(1,iter)=C;%PL
e2(1,iter)=QL(L,1,iter);%QL

for mm=1:population
    gbest(mm,1,iter)=gbest(1,1,iter);
    gbest(mm,2,iter)=gbest(1,2,iter);
end
%%%%%%%%%%%%%%% Pnid : near neighbor Matrix by max FDR

PGG=PGG*baseMVA;
PL=PL*baseMVA*1000;
C=C*baseMVA*1000;
for mm=1:population
    if mm ~= L
        for d=1:D
            if PGG(mm,d,iter) ~= PGG(L,d,iter)
                FDR(mm,d)=(PL(mm,1,iter)-C)/(abs(PGG(mm,d,iter)-PGG(L,d,iter)));
            end
            if PGG(mm,d,iter) == PGG(L,d,iter);
                FDR(mm,d)=-100;
            end
        end
    end
end
PGG=PGG/baseMVA;
PL=PL/(baseMVA*1000);
C=C/(baseMVA*1000);

[CC,II]=max(FDR(:,1));
[CCC,III]=max(FDR(:,2));

pnid(1,1,iter)=PGG(II,1,iter);
pnid(1,2,iter)=PGG(III,2,iter);

for mm=1:population
    pnid(mm,1,iter)= pnid(1,1,iter);
    pnid(mm,2,iter)= pnid(1,2,iter);
end
%%%%%%%%%%%%%%% Plid : local best Matrix
for m=1:K-1

    if L < (population-(K-1)/2) && L>((K-1)/2)
        if m<=(K-1)/2
            M1(m,:)=PGG(L+m,:,:iter);
            M2(m)=PL(L+m,:,:iter);
        end

        if m>(K-1)/2
            M1(m,:)=PGG(L-(m-((K-1)/2)),:,:iter);
            M2(m)=PL(L-(m-((K-1)/2)),:,:iter);
        end
    end
end

```

```

if (population-(K-1)/2) <=L && (K-1)/2 >=L

if m<=(K-1)/2
    if L+m >population
        L = L+m-population;
        M1(m,:)=PGG(L,:,:iter);
        M2(m)=PL(L,:,:iter);
    end
end

if m>(K-1)/2
    if L-(m-((K-1)/2))<=0
        L = population-((m-((K-1)/2))-L);
    M1(m,:)=PGG(L,:,:iter);
    M2(m)=PL(L,:,:iter);
    end
end

end
end

[C,L]=min(M2);
plid(1,1,iter)=M1(L,1); % size
plid(1,2,iter)=M1(L,2); % location

for mm=1:population
    plid(mm,1,iter)=plid(1,1,iter);
    plid(mm,2,iter)=plid(1,2,iter);
end

%%%%%%%%%%%%%%%Process4%%%%%%%%%%%%%%%
%Update
%Vo(:,:,iter+1)=Vo(:,:,iter)+c1*rand*(pbest(:,:,iter)-
PGG(:,:,iter))+c2*rand*(gbest(:,:,iter)-PGG(:,:,iter));%BPSO
%Vo(:,:,iter+1)=W*Vo(:,:,iter)+c1*rand*(pbest(:,:,iter)-
PGG(:,:,iter))+c2*rand*(gbest(:,:,iter)-PGG(:,:,iter));%APSO
Vo(:,:,iter+1)=W*Vo(:,:,iter)+Cp*rand*(pbest(:,:,iter)-
PGG(:,:,iter))+Cg*rand*(gbest(:,:,iter)-
PGG(:,:,iter))+Cl*rand*(plid(:,:,iter)-PGG(:,:,iter))+Cn*rand*(pnid(:,:,iter)-
PGG(:,:,iter));%GLNPSO
PGG(:,:,iter+1)=PGG(:,:,iter)+Vo(:,:,iter+1);

PGG(:,1,iter+1)=abs(PGG(:,1,iter+1));
PGG(:,2,iter+1)=round(PGG(:,2,iter+1));

    for mm=1:population
        if
(PGG(mm,2,iter+1)<2) || (PGG(mm,2,iter+1)>LH1) || (PGG(mm,1,iter+1)>SH1);
            PGG(mm,1,iter+1)= SL1+(SH1-SL1)*rand;
            PGG(mm,2,iter+1)= abs(round(LL1+(LH1-LL1)*rand));
        end
    end

PGG(1,1,iter+1)= gbest(1,1,iter);
PGG(1,2,iter+1)= gbest(1,2,iter);

pbest = PGG;

end

```

```

gbest(1,1,itmax-1)
gbest(1,2,itmax-1)

e1(1,itmax-1)
plot(1:1:itmax-1, e1(1,1:itmax-1)*baseMVA*1000)
hold on

%%%%%%%%%%%%%%%Process5
display%%%%%%%%%%%%%%

F = zeros(1,itmax-1);

for i=1:itmax-1
    result(i,1)=H(i,1);
    result(i,2)=H(i,2);
    result(i,3)=e1(1,i)*baseMVA*1000;
    result(i,4)=e2(1,i)*baseMVA*1000;
F(i,i)=result(i,3);
end
%F
%statistic

Avg = mean(F);
Mini = min(F);
Maxi = max(F);
SD = std(F);
CV = SD/Avg;
MD = median(F);

fprintf('\n')
fprintf('\t\t\t Optimal placement of DGs using particle swarm
optimization.\n')
fprintf('\t\t\t Program By: Weerachai Phuangpornpitak \n\n')
fprintf('\t\t\t *** Considering reduce real power loss in system. ***\n\n')
fprintf('\t\t\t The Real Power Loss in the original System      = %3.4f
kW\n',Plss*baseMVA*1000)
fprintf('\t\t\t The Reactive Power Loss in the original System   = %3.4f
KVar\n',Qlss*baseMVA*1000)
fprintf('\n')
fprintf('\t\t\t-----\n')
fprintf('\t\t\t\tBUS\t\t DG SIZE\t\t PLoss\t\t QLoss\n')
fprintf('\t\t\t\tNo:\t\t MW\t\t kW\t\t kVar\n')
fprintf('\t\t\t-----\n\n')
for iter=1:itmax-1;%N-1;
    fprintf('\t\t\t %g', result(iter,2))
    fprintf('\t\t\t %3.4f', result(iter,1))
    fprintf('\t\t\t %3.4f', result(iter,3))
    fprintf(' \t%3.4f', result(iter,4)), fprintf(' \n')
end

fprintf('\t\t\t Average = %3.4f kW\n',Avg)
fprintf('\t\t\t Min = %3.4f kW\n',Mini)
fprintf('\t\t\t Max = %3.4f kW\n',Maxi)
fprintf('\t\t\t SD = %3.4f kW\n',SD)
fprintf('\t\t\t CV = %3.4f \n',CV)
fprintf('\t\t\t Median = %3.4f kW\n',MD)

fprintf('\t\t\t-----\n\n')

```

**โปรแกรมการหาตำแหน่งติดตั้ง DG ที่เหมาะสมโดยใช้ PSO ของระบบจำหน่ายแบบ
เรเดียล 50 บัส ของการไฟฟ้าส่วนภูมิภาคเขต 1 ภาคกลาง**

```

%% system MVA base
clear
clc
% Base MVA = 10 MVA
baseMVA = 10;
% Base kV = 12.66 kV.
baseKV=12.660;
%% bus data
%bus_i type Pd      Qd      Gs   Bs area Vm   Va baseKV zone Vmax Vmin
bus = [
1 3 0.00000 0.00000 0 0 1 1 0 12.66 1 1.1 0.95 ;
2 1 0.27600 0.15200 0 0 1 1 0 12.66 1 1.1 0.95 ;
3 1 0.27600 0.15200 0 0 1 1 0 12.66 1 1.1 0.95 ;
4 1 0.27600 0.15200 0 0 1 1 0 12.66 1 1.1 0.95 ;
5 1 0.27600 0.15200 0 0 1 1 0 12.66 1 1.1 0.95 ;
6 1 0.27600 0.15200 0 0 1 1 0 12.66 1 1.1 0.95 ;
7 1 0.27600 0.15200 0 0 1 1 0 12.66 1 1.1 0.95 ;
8 1 0.27600 0.15200 0 0 1 1 0 12.66 1 1.1 0.95 ;
9 1 0.27600 0.15200 0 0 1 1 0 12.66 1 1.1 0.95 ;
10 1 0.27600 0.15200 0 0 1 1 0 12.66 1 1.1 0.95 ;
11 1 0.27600 0.15200 0 0 1 1 0 12.66 1 1.1 0.95 ;
12 1 0.27600 0.15200 0 0 1 1 0 12.66 1 1.1 0.95 ;
13 1 0.27600 0.15200 0 0 1 1 0 12.66 1 1.1 0.95 ;
14 1 0.27600 0.15200 0 0 1 1 0 12.66 1 1.1 0.95 ;
15 1 0.27600 0.15200 0 0 1 1 0 12.66 1 1.1 0.95 ;
16 1 0.27600 0.15200 0 0 1 1 0 12.66 1 1.1 0.95 ;
17 1 0.27600 0.15200 0 0 1 1 0 12.66 1 1.1 0.95 ;
18 1 0.27600 0.15200 0 0 1 1 0 12.66 1 1.1 0.95 ;
19 1 0.27600 0.15200 0 0 1 1 0 12.66 1 1.1 0.95 ;
20 1 0.27600 0.15200 0 0 1 1 0 12.66 1 1.1 0.95 ;
21 1 0.27600 0.15200 0 0 1 1 0 12.66 1 1.1 0.95 ;
22 1 0.27600 0.15200 0 0 1 1 0 12.66 1 1.1 0.95 ;
23 1 0.27600 0.15200 0 0 1 1 0 12.66 1 1.1 0.95 ;
24 1 0.27600 0.15200 0 0 1 1 0 12.66 1 1.1 0.95 ;
25 1 0.27600 0.15200 0 0 1 1 0 12.66 1 1.1 0.95 ;
26 1 0.27600 0.15200 0 0 1 1 0 12.66 1 1.1 0.95 ;
27 1 0.27600 0.15200 0 0 1 1 0 12.66 1 1.1 0.95 ;
28 1 0.27600 0.15200 0 0 1 1 0 12.66 1 1.1 0.95 ;
29 1 0.27600 0.15200 0 0 1 1 0 12.66 1 1.1 0.95 ;
30 1 0.27600 0.15200 0 0 1 1 0 12.66 1 1.1 0.95 ;
31 1 0.27600 0.15200 0 0 1 1 0 12.66 1 1.1 0.95 ;
32 1 0.27600 0.15200 0 0 1 1 0 12.66 1 1.1 0.95 ;
33 1 0.27600 0.15200 0 0 1 1 0 12.66 1 1.1 0.95 ;
34 1 0.27600 0.15200 0 0 1 1 0 12.66 1 1.1 0.95 ;
35 1 0.27600 0.15200 0 0 1 1 0 12.66 1 1.1 0.95 ;
36 1 0.27600 0.15200 0 0 1 1 0 12.66 1 1.1 0.95 ;
37 1 0.27600 0.15200 0 0 1 1 0 12.66 1 1.1 0.95 ;
38 1 0.27600 0.15200 0 0 1 1 0 12.66 1 1.1 0.95 ;
39 1 0.27600 0.15200 0 0 1 1 0 12.66 1 1.1 0.95 ;
40 1 0.27600 0.15200 0 0 1 1 0 12.66 1 1.1 0.95 ;
41 1 0.27600 0.15200 0 0 1 1 0 12.66 1 1.1 0.95 ;
42 1 0.27600 0.15200 0 0 1 1 0 12.66 1 1.1 0.95 ;
43 1 0.27600 0.15200 0 0 1 1 0 12.66 1 1.1 0.95 ;
44 1 0.27600 0.15200 0 0 1 1 0 12.66 1 1.1 0.95 ;
45 1 0.27600 0.15200 0 0 1 1 0 12.66 1 1.1 0.95 ;
46 1 0.27600 0.15200 0 0 1 1 0 12.66 1 1.1 0.95 ;

```

```

47 1 0.27600 0.15200 0 0 1 1 0 12.66 1 1.1 0.95 ;  

48 1 0.27600 0.15200 0 0 1 1 0 12.66 1 1.1 0.95 ;  

49 1 0.27600 0.15200 0 0 1 1 0 12.66 1 1.1 0.95 ;  

50 1 0.27600 0.15200 0 0 1 1 0 12.66 1 1.1 0.95 ;  

];  
  

%% generator data  

% bus Pg Qg Qmax Qmin Vg mBase status Pmax Pmin  

gen = [  

    1 0 0 20 -20 1 10 1 10 0;  

];  
  

%% branch data  

% fbus tbus r x b rateA rateB rateC ratio angle status  

branch = [  

    1 2 0.0001770 0.0003190 0 20 20 20 0 0 1 ;  

    2 3 0.0001770 0.0003190 0 20 20 20 0 0 1 ;  

    3 4 0.0001770 0.0003190 0 20 20 20 0 0 1 ;  

    4 5 0.0001770 0.0003190 0 20 20 20 0 0 1 ;  

    5 6 0.0001770 0.0003190 0 20 20 20 0 0 1 ;  

    6 7 0.0001770 0.0003190 0 20 20 20 0 0 1 ;  

    7 8 0.0001770 0.0003190 0 20 20 20 0 0 1 ;  

    8 9 0.0001770 0.0003190 0 20 20 20 0 0 1 ;  

    9 10 0.0001770 0.0003190 0 20 20 20 0 0 1 ;  

    10 11 0.0001770 0.0003190 0 20 20 20 0 0 1 ;  

    11 12 0.0001770 0.0003190 0 20 20 20 0 0 1 ;  

    12 13 0.0001770 0.0003190 0 20 20 20 0 0 1 ;  

    13 14 0.0001770 0.0003190 0 20 20 20 0 0 1 ;  

    14 15 0.0001770 0.0003190 0 20 20 20 0 0 1 ;  

    15 16 0.0001770 0.0003190 0 20 20 20 0 0 1 ;  

    16 17 0.0001770 0.0003190 0 20 20 20 0 0 1 ;  

    17 18 0.0001770 0.0003190 0 20 20 20 0 0 1 ;  

    18 19 0.0001770 0.0003190 0 20 20 20 0 0 1 ;  

    19 20 0.0001770 0.0003190 0 20 20 20 0 0 1 ;  

    20 21 0.0001770 0.0003190 0 20 20 20 0 0 1 ;  

    21 22 0.0001770 0.0003190 0 20 20 20 0 0 1 ;  

    22 23 0.0001770 0.0003190 0 20 20 20 0 0 1 ;  

    23 24 0.0001770 0.0003190 0 20 20 20 0 0 1 ;  

    24 25 0.0001770 0.0003190 0 20 20 20 0 0 1 ;  

    25 26 0.0001770 0.0003190 0 20 20 20 0 0 1 ;  

    26 27 0.0001770 0.0003190 0 20 20 20 0 0 1 ;  

    27 28 0.0001770 0.0003190 0 20 20 20 0 0 1 ;  

    28 29 0.0001770 0.0003190 0 20 20 20 0 0 1 ;  

    29 30 0.0001770 0.0003190 0 20 20 20 0 0 1 ;  

    30 31 0.0001770 0.0003190 0 20 20 20 0 0 1 ;  

    31 32 0.0001770 0.0003190 0 20 20 20 0 0 1 ;  

    32 33 0.0001770 0.0003190 0 20 20 20 0 0 1 ;  

    33 34 0.0001770 0.0003190 0 20 20 20 0 0 1 ;  

    34 35 0.0001770 0.0003190 0 20 20 20 0 0 1 ;  

    35 36 0.0001770 0.0003190 0 20 20 20 0 0 1 ;  

    36 37 0.0001770 0.0003190 0 20 20 20 0 0 1 ;  

    37 38 0.0001770 0.0003190 0 20 20 20 0 0 1 ;  

    38 39 0.0001770 0.0003190 0 20 20 20 0 0 1 ;  

    39 40 0.0001770 0.0003190 0 20 20 20 0 0 1 ;  

    40 41 0.0001770 0.0003190 0 20 20 20 0 0 1 ;  

    41 42 0.0001770 0.0003190 0 20 20 20 0 0 1 ;  

    42 43 0.0001770 0.0003190 0 20 20 20 0 0 1 ;  

    43 44 0.0001770 0.0003190 0 20 20 20 0 0 1 ;  

    44 45 0.0001770 0.0003190 0 20 20 20 0 0 1 ;  

    45 46 0.0001770 0.0003190 0 20 20 20 0 0 1 ;  

    46 47 0.0001770 0.0003190 0 20 20 20 0 0 1 ;  

    47 48 0.0001770 0.0003190 0 20 20 20 0 0 1 ;  

    48 49 0.0001770 0.0003190 0 20 20 20 0 0 1 ;
];

```

```

49 50  0.0001770   0.0003190   0   20   20   20   0   0   1   ;
];

%%%%%%%%%%%%%%%
busstype=bus (:,2);
N=length(busstype);           % N is the number of nodes
n=N-1;                         % n is the number of sections
j=sqrt(-1);
V=ones(N,1)+j*zeros(N,1);% Flat start
for aa=1:N
    if busstype(aa)==3
        V(aa)=0.98 ; % Setting the value of voltages of 0.98 for Generator bus
    end
end
maxmis=0.0001;                 % Maximum mismatch
maxitt=100;                     % Maximum iteration
itt=0;
dVmax=1;
P1=bus (:,3)/baseMVA;
Q1=bus (:,4)/baseMVA;
FN=branch (:,1);
TN=branch (:,2);
R=branch (:,3);
X=branch (:,4);
B=branch (:,5);
Pg=zeros(N,1);
Qg=zeros(N,1);
% Calculated Impedance
Z=n+1;
zbus=zeros(Z,Z);
zbus(1,1)=0+j*0.000000001;

for bb=1:n
    a=FN(bb);
    b=TN(bb);
    zbus(b,:)=zbus(a,:);
    zbus(:,b)=zbus(:,a);
    zbus(b,b)=zbus(a,a)+R(bb)+j*X(bb);
end
Rik=real(zbus);          % Finding R bus
Xik=imag(zbus);          % Finding X bus

%%%%%%%%%-----Voltage Bus-----%%%%%%%%%
while itt<maxitt&dVmax>maxmis
    itt=itt+1;
    % Calculating Nodal Current
    for cc=1:N;
        Pi(cc)=(P1(cc)-Pg(cc));
        Qi(cc)=(Q1(cc)-Qg(cc));
        In(cc,:)=(Pi(cc)-j*Qi(cc))/(conj(V(cc))); % In is the load current
    end
    for cc=2:N;
        I(cc-1)=In(cc);
    end

    %BACKWARD SWEEP
    Vk=V;
    for dd=1:n;
        a=N-dd;
        for b=1:n;
            if FN(b)==a+1

```

```

c=TN(b);
I(a)=I(a)+I(c-1)+j*B(c-1)*V(a+1);
end
I(a)=I(a)+j*V(a+1)*B(a)/2; %I is the branch current
end

% FORWARD SWEEP
for ee=1:n;
ff=FN(ee);
V(ee+1)=V(ff)-(R(ee)+j*X(ee))*I(ee);
dV(ee)=abs(V(ee+1)-V(ee+1));
end
dVmax=max(dV);
end

for gg=1:N
Pi(gg)=(Pg(gg)-Pl(gg));
Qi(gg)=(Qg(gg)-Ql(gg));
end
Vm=abs(V);%*baseKV;
Delta=angle(V);
for hh=1:N
for ii=1:N
alpha(hh,ii)=Rik(hh,ii)*cos(Delta(hh)-Delta(ii))/(Vm(hh)*Vm(ii));
beta(hh,ii)=Rik(hh,ii)*sin(Delta(hh)-Delta(ii))/(Vm(hh)*Vm(ii));
gama(hh,ii)=Xik(hh,ii)*cos(Delta(hh)-Delta(ii))/(Vm(hh)*Vm(ii));
geta(hh,ii)=Xik(hh,ii)*sin(Delta(hh)-Delta(ii))/(Vm(hh)*Vm(ii));
end
end
LL1=2; %limit of min location
LH1=50;%limit of max location
LL2=2; %limit of min location
LH2=50;%limit of max location
LL3=2; %limit of min location
LH3=50;%limit of max location

SL1=0.05;%limit of min size DG
SH1=10; %limit of max size DG
SL2=0.05;%limit of min size DG
SH2=10; %limit of max size DG
SL3=0.05;%limit of min size DG
SH3=10; %limit of max size DG

%% system MVA base
%clear
clc
% Base MVA = 10 MVA
baseMVA = 10;
% Base kV = 12.66 kV.
baseKV=12.660;
%% bus data
%bus_i type Pd Qd Gs Bs area Vm Va baseKV zone Vmax Vmin
bus = [
1 3 0.00000 0.00000 0 0 1 1 0 12.66 1 1.1 0.95 ;
2 1 0.27600 0.15200 0 0 1 1 0 12.66 1 1.1 0.95 ;
3 1 0.27600 0.15200 0 0 1 1 0 12.66 1 1.1 0.95 ;
4 1 0.27600 0.15200 0 0 1 1 0 12.66 1 1.1 0.95 ;
5 1 0.27600 0.15200 0 0 1 1 0 12.66 1 1.1 0.95 ;
6 1 0.27600 0.15200 0 0 1 1 0 12.66 1 1.1 0.95 ;
7 1 0.27600 0.15200 0 0 1 1 0 12.66 1 1.1 0.95 ;
8 1 0.27600 0.15200 0 0 1 1 0 12.66 1 1.1 0.95 ;
];

```

```

9   1   0.27600 0.15200    0   0   1   1   0   12.66   1   1.1 0.95   ;
10  1   0.27600 0.15200    0   0   1   1   0   12.66   1   1.1 0.95   ;
11  1   0.27600 0.15200    0   0   1   1   0   12.66   1   1.1 0.95   ;
12  1   0.27600 0.15200    0   0   1   1   0   12.66   1   1.1 0.95   ;
13  1   0.27600 0.15200    0   0   1   1   0   12.66   1   1.1 0.95   ;
14  1   0.27600 0.15200    0   0   1   1   0   12.66   1   1.1 0.95   ;
15  1   0.27600 0.15200    0   0   1   1   0   12.66   1   1.1 0.95   ;
16  1   0.27600 0.15200    0   0   1   1   0   12.66   1   1.1 0.95   ;
17  1   0.27600 0.15200    0   0   1   1   0   12.66   1   1.1 0.95   ;
18  1   0.27600 0.15200    0   0   1   1   0   12.66   1   1.1 0.95   ;
19  1   0.27600 0.15200    0   0   1   1   0   12.66   1   1.1 0.95   ;
20  1   0.27600 0.15200    0   0   1   1   0   12.66   1   1.1 0.95   ;
21  1   0.27600 0.15200    0   0   1   1   0   12.66   1   1.1 0.95   ;
22  1   0.27600 0.15200    0   0   1   1   0   12.66   1   1.1 0.95   ;
23  1   0.27600 0.15200    0   0   1   1   0   12.66   1   1.1 0.95   ;
24  1   0.27600 0.15200    0   0   1   1   0   12.66   1   1.1 0.95   ;
25  1   0.27600 0.15200    0   0   1   1   0   12.66   1   1.1 0.95   ;
26  1   0.27600 0.15200    0   0   1   1   0   12.66   1   1.1 0.95   ;
27  1   0.27600 0.15200    0   0   1   1   0   12.66   1   1.1 0.95   ;
28  1   0.27600 0.15200    0   0   1   1   0   12.66   1   1.1 0.95   ;
29  1   0.27600 0.15200    0   0   1   1   0   12.66   1   1.1 0.95   ;
30  1   0.27600 0.15200    0   0   1   1   0   12.66   1   1.1 0.95   ;
31  1   0.27600 0.15200    0   0   1   1   0   12.66   1   1.1 0.95   ;
32  1   0.27600 0.15200    0   0   1   1   0   12.66   1   1.1 0.95   ;
33  1   0.27600 0.15200    0   0   1   1   0   12.66   1   1.1 0.95   ;
34  1   0.27600 0.15200    0   0   1   1   0   12.66   1   1.1 0.95   ;
35  1   0.27600 0.15200    0   0   1   1   0   12.66   1   1.1 0.95   ;
36  1   0.27600 0.15200    0   0   1   1   0   12.66   1   1.1 0.95   ;
37  1   0.27600 0.15200    0   0   1   1   0   12.66   1   1.1 0.95   ;
38  1   0.27600 0.15200    0   0   1   1   0   12.66   1   1.1 0.95   ;
39  1   0.27600 0.15200    0   0   1   1   0   12.66   1   1.1 0.95   ;
40  1   0.27600 0.15200    0   0   1   1   0   12.66   1   1.1 0.95   ;
41  1   0.27600 0.15200    0   0   1   1   0   12.66   1   1.1 0.95   ;
42  1   0.27600 0.15200    0   0   1   1   0   12.66   1   1.1 0.95   ;
43  1   0.27600 0.15200    0   0   1   1   0   12.66   1   1.1 0.95   ;
44  1   0.27600 0.15200    0   0   1   1   0   12.66   1   1.1 0.95   ;
45  1   0.27600 0.15200    0   0   1   1   0   12.66   1   1.1 0.95   ;
46  1   0.27600 0.15200    0   0   1   1   0   12.66   1   1.1 0.95   ;
47  1   0.27600 0.15200    0   0   1   1   0   12.66   1   1.1 0.95   ;
48  1   0.27600 0.15200    0   0   1   1   0   12.66   1   1.1 0.95   ;
49  1   0.27600 0.15200    0   0   1   1   0   12.66   1   1.1 0.95   ;
50  1   0.27600 0.15200    0   0   1   1   0   12.66   1   1.1 0.95   ;
];
%% generator data
% bus Pg Qg Qmax Qmin Vg mBase status Pmax Pmin
gen = [
  1   0   0   20  -20   1   10   1   10   0;
];
%% branch data
% fbus tbus r      x      b  rateA rateB rateC ratio angle      status
branch = [
  1   2   0.0001770  0.0003190  0   20   20   20   0   0   1   ; 
  2   3   0.0001770  0.0003190  0   20   20   20   0   0   1   ; 
  3   4   0.0001770  0.0003190  0   20   20   20   0   0   1   ; 
  4   5   0.0001770  0.0003190  0   20   20   20   0   0   1   ; 
  5   6   0.0001770  0.0003190  0   20   20   20   0   0   1   ; 
  6   7   0.0001770  0.0003190  0   20   20   20   0   0   1   ; 
  7   8   0.0001770  0.0003190  0   20   20   20   0   0   1   ; 
  8   9   0.0001770  0.0003190  0   20   20   20   0   0   1   ; 
  9   10  0.0001770  0.0003190  0   20   20   20   0   0   1   ; 
  10  11  0.0001770  0.0003190  0   20   20   20   0   0   1   ;
];

```

```

11 12 0.0001770 0.0003190 0 20 20 20 0 0 1 ;  

12 13 0.0001770 0.0003190 0 20 20 20 0 0 1 ;  

13 14 0.0001770 0.0003190 0 20 20 20 0 0 1 ;  

14 15 0.0001770 0.0003190 0 20 20 20 0 0 1 ;  

15 16 0.0001770 0.0003190 0 20 20 20 0 0 1 ;  

16 17 0.0001770 0.0003190 0 20 20 20 0 0 1 ;  

17 18 0.0001770 0.0003190 0 20 20 20 0 0 1 ;  

18 19 0.0001770 0.0003190 0 20 20 20 0 0 1 ;  

19 20 0.0001770 0.0003190 0 20 20 20 0 0 1 ;  

20 21 0.0001770 0.0003190 0 20 20 20 0 0 1 ;  

21 22 0.0001770 0.0003190 0 20 20 20 0 0 1 ;  

22 23 0.0001770 0.0003190 0 20 20 20 0 0 1 ;  

23 24 0.0001770 0.0003190 0 20 20 20 0 0 1 ;  

24 25 0.0001770 0.0003190 0 20 20 20 0 0 1 ;  

25 26 0.0001770 0.0003190 0 20 20 20 0 0 1 ;  

26 27 0.0001770 0.0003190 0 20 20 20 0 0 1 ;  

27 28 0.0001770 0.0003190 0 20 20 20 0 0 1 ;  

28 29 0.0001770 0.0003190 0 20 20 20 0 0 1 ;  

29 30 0.0001770 0.0003190 0 20 20 20 0 0 1 ;  

30 31 0.0001770 0.0003190 0 20 20 20 0 0 1 ;  

31 32 0.0001770 0.0003190 0 20 20 20 0 0 1 ;  

32 33 0.0001770 0.0003190 0 20 20 20 0 0 1 ;  

33 34 0.0001770 0.0003190 0 20 20 20 0 0 1 ;  

34 35 0.0001770 0.0003190 0 20 20 20 0 0 1 ;  

35 36 0.0001770 0.0003190 0 20 20 20 0 0 1 ;  

36 37 0.0001770 0.0003190 0 20 20 20 0 0 1 ;  

37 38 0.0001770 0.0003190 0 20 20 20 0 0 1 ;  

38 39 0.0001770 0.0003190 0 20 20 20 0 0 1 ;  

39 40 0.0001770 0.0003190 0 20 20 20 0 0 1 ;  

40 41 0.0001770 0.0003190 0 20 20 20 0 0 1 ;  

41 42 0.0001770 0.0003190 0 20 20 20 0 0 1 ;  

42 43 0.0001770 0.0003190 0 20 20 20 0 0 1 ;  

43 44 0.0001770 0.0003190 0 20 20 20 0 0 1 ;  

44 45 0.0001770 0.0003190 0 20 20 20 0 0 1 ;  

45 46 0.0001770 0.0003190 0 20 20 20 0 0 1 ;  

46 47 0.0001770 0.0003190 0 20 20 20 0 0 1 ;  

47 48 0.0001770 0.0003190 0 20 20 20 0 0 1 ;  

48 49 0.0001770 0.0003190 0 20 20 20 0 0 1 ;  

49 50 0.0001770 0.0003190 0 20 20 20 0 0 1 ;  

l;  

%%%%%%%%%%%%%  

bustype=bus(:,2);  

N=length(bustype); % N is the number of nodes  

n=N-1; % n is the number of sections  

j=sqrt(-1);  

V=ones(N,1)+j*zeros(N,1);% Flat start  

for aa=1:N  

    if bustype(aa)==3  

        V(aa)=0.98; % Setting the value of voltages of 0.98 for Generator  

    bus  

    end  

end  

maxmis=0.0001; % Maximum mismatch  

maxitt=100; % Maximum iteration  

itt=0;  

dVmax=1;  

P1=bus(:,3)/baseMVA;  

Q1=bus(:,4)/baseMVA;  

FN=branch(:,1);  

TN=branch(:,2);  

R=branch(:,3);  

X=branch(:,4);

```

```

B=branch (:, 5);
Pg=zeros(N, 1);
Qg=zeros(N, 1);
% Calculated Impedance
Z=n+1;
zbus=zeros(Z, Z);
zbus(1, 1)=0+j*0.000000001;

for bb=1:n
    a=FN(bb);
    b=TN(bb);
    zbus(b, :)=zbus(a, :);
    zbus(:, b)=zbus(:, a);
    zbus(b, b)=zbus(a, a)+R(bb)+j*X(bb);
end
Rik=real(zbus);      % Finding R bus
Xik=imag(zbus);      % Finding X bus

LL1=2; %limit of min location
LH1=50;%limit of max location
LL2=2; %limit of min location
LH2=50;%limit of max location
LL3=2; %limit of min location
LH3=50;%limit of max location

SL1=0.05;%limit of min size DG
SH1=10; %limit of max size DG
SL2=0.05;%limit of min size DG
SH2=10; %limit of max size DG
SL3=0.05;%limit of min size DG
SH3=10; %limit of max size DG

clc
clear all
%%%%%%%%%%%%%%%Process1%%%%%%%%%%%%%%%
%Datal system
input50n;

%Initialization of positions of agents
population=100; %population
D=2; %Variable 2

%Initialization of PSO parameters
W = 1;%int
wmax=0.9;
wmin=0.4;
itmax=100; %Maximum iteration number
e1=zeros(1, itmax);%PL
e2=zeros(1, itmax);%QL
%c1=2;
%c2=2;

Cp=1;
Cg=1;
Cl=1;
Cn=1;
K=5; %near neighbor
M1=zeros(K-1, D);%local about near local
M2=zeros(K-1, 1);%local loss
plid=zeros(population, D, itmax);

```

```

pnid=zeros(population,D,itmax);
FDR=zeros(population,D);

%Initialization of positions of agents
PGG=zeros(population,D,itmax);
PGG(:,1,1)= SL1+(SH1-SL1)*rand(population,1,1);
PGG(:,2,1)= abs(round(LL1+(LH1-LL1)*rand(population,1,1)));
%%%%%%%%%%%%%
%PGG (1,1,1)= 1.8074;
%PGG (1,2,1)= 56;

%PGG (10,1,1)= 2.4939;
%PGG (10,2,1)= 12;
%%%%%%%%%%%%%
pbest = PGG;
gbest=zeros(population,D,itmax);
H =zeros(itmax,D);%gbest|iter

%Initialization of velocities of agents
Vo=zeros(population,D,itmax);

%%%%%%%%%%%%%
% Finding the Original Loss
% =====
Plss=0;
Qlss=0;
for i=1:N
    for k=1:N
        % approximate loss calculation
        Plss=Plss+(alpha(i,k)*(Pi(i)*Pi(k)+Qi(i)*Qi(k))+beta(i,k)*(Qi(i)*Pi(k)-Pi(i)*Qi(k)));
        % approximate loss calculation
        Qlss=Qlss+(gama(i,k)*(Pi(i)*Pi(k)+Qi(i)*Qi(k))+geta(i,k)*(Qi(i)*Pi(k)-Pi(i)*Qi(k)));
    end
end
%%%%%%%%%%%%%
%%Process2%%%%%
PL=zeros(population,1,itmax);%loss
QL=zeros(population,1,itmax);
%Pii=Pi;

for iter=1:itmax-1
    iter

    %reline
    if iter == 50 || iter == 55 || iter == 60 || iter == 65 || iter == 70 || iter ==
    75 || iter == 80 || iter == 85 || iter == 90 || iter == 95
        PGG(:,1,iter)= SL1+(SH1-SL1)*rand;
        PGG(:,2,iter)= abs(round(LL1+(LH1-LL1)*rand));
        PGG(10,:,:iter)=gbest(10,:,:iter-1);
    end

    %Pii=Pi;

```

```

%W(iter)=1;
%W(iter)=wmax-((wmax-wmin)/itmax)*iter;
%W=W+((wmin-wmax)/itmax);%APSO
W=(0.9-0.4)*(itmax-iter)/(itmax+0.4);%GLN-PSO
for mm=1:population

%%%%%%%%%%%%%
input50nxx;

%input52pumox;
Pg(PGG(mm,2,iter))=(PGG(mm,1,iter))/baseMVA;

while itt<maxitt&&dVmax>maxmis

    itt=itt+1;
    % Calculating Nodal Current
    for cc=1:N;

        Pi(cc)=(Pl(cc)-Pg(cc));
        Qi(cc)=(Ql(cc)-Qg(cc));

        In(cc,:)=(Pi(cc)-j*Qi(cc))/(conj(V(cc))); % In is the load current
    end
    for cc=2:N;
        I(cc-1)=In(cc);
    end

    %BACKWARD SWEEP
    Vk=V;
    for dd=1:n;
        a=N-dd;
        for b=1:n;
            if FN(b)==a+1
                c=TN(b);
                I(a)=I(a)+I(c-1)+j*B(c-1)*V(a+1);
            end
        end
        I(a)=I(a)+j*V(a+1)*B(a)/2; %I is the branch current
    end
    %%%%%%
    % FORWARD SWEEP
    for ee=1:n;
        ff=FN(ee);
        V(ee+1)=V(ff)-(R(ee)+j*X(ee))*I(ee);
        dV(ee)=abs(V(ee+1)-Vk(ee+1));
    end
    dVmax=max(dV);
    end
    for cc=1:N

        Pi(cc)=(Pg(cc)-Pl(cc));
        Qi(cc)=(Qg(cc)-Ql(cc));

    end
Vm=abs(V);%*baseKV;
Delta=angle(V);

```

```

for hh=1:N
    for ii=1:N
        alpha(hh,ii)=Rik(hh,ii)*cos(Delta(hh)-Delta(ii))/(Vm(hh)*Vm(ii));
        beta(hh,ii)=Rik(hh,ii)*sin(Delta(hh)-Delta(ii))/(Vm(hh)*Vm(ii));
        gama(hh,ii)=Xik(hh,ii)*cos(Delta(hh)-Delta(ii))/(Vm(hh)*Vm(ii));
        geta(hh,ii)=Xik(hh,ii)*sin(Delta(hh)-Delta(ii))/(Vm(hh)*Vm(ii));
    end
end

%%%%%%%%%%%%%
PL(mm,1,iter)=0;
QL(mm,1,iter)=0;
for i=1:N % i is the bus containing DG...we will test by placing one by one
in each bus
    for k=1:N
        PL(mm,1,iter)=PL(mm,1,iter)+(alpha(i,k)*(Pi(i)*Pi(k)+Qi(i)*Qi(k))+beta(i,k)*(Qi(i)*Pi(k)-Pi(i)*Qi(k))); % approximate loss calculation
        QL(mm,1,iter)=QL(mm,1,iter)+(gama(i,k)*(Pi(i)*Pi(k)+Qi(i)*Qi(k))+geta(i,k)*(Qi(i)*Pi(k)-Pi(i)*Qi(k))); % approximate loss calculation
    end
end

end

%%%%%%%%%%%%%
%xxxxxxxxxxxxxxxxxxxxxxxxxxxxxxxxxxxxxxxxxxxxxxxxxxxxxxxxxxxxxxxxxxxxxxxxxxxxxx

%%%%%%%%%%%%%
[C,L]=min(abs(PL(:,:,iter)));
gbest(1,1,iter)=PGG(L,1,iter); % size
H(iter,1)=PGG(L,1,iter);

gbest(1,2,iter)=PGG(L,2,iter); % location
H(iter,2)=PGG(L,2,iter);

e1(1,iter)=C;%PL
e2(1,iter)=QL(L,1,iter);%QL

for mm=1:population
    gbest(mm,1,iter)=gbest(1,1,iter);
    gbest(mm,2,iter)=gbest(1,2,iter);
end
%%%%%%%%%%% Pnid : near neighbor Matrix by max FDR

PGG=PGG*baseMVA;
PL=PL*baseMVA*1000;
C=C*baseMVA*1000;
for mm=1:population
    if mm ~= L
        for d=1:D
            if PGG(mm,d,iter)~=PGG(L,d,iter)
                FDR(mm,d)=(PL(mm,1,iter)-C)/(abs(PGG(mm,d,iter)-PGG(L,d,iter)));
            end
            if PGG(mm,d,iter)==PGG(L,d,iter);
                FDR(mm,d)=-100;
            end
        end
    end
end

```

```

            end
        end
    end
end
PGG=PGG/baseMVA;
PL=PL/(baseMVA*1000);
C=C/(baseMVA*1000);

[CC, II]=max(FDR(:,1));
[CCC, III]=max(FDR(:,2));

pnid(1,1,iter)=PGG(II,1,iter);
pnid(1,2,iter)=PGG(III,2,iter);

for mm=1:population
    pnid(mm,1,iter)= pnid(1,1,iter);
    pnid(mm,2,iter)= pnid(1,2,iter);
end

%%%%%%%%%%%%% Plid : local best Matrix
for m=1:K-1

    if L < (population-(K-1)/2) && L>((K-1)/2)
        if m<=(K-1)/2
            M1 (m,:) = PGG(L+m,:,iter);
            M2 (m) = PL(L+m,:,iter);
        end

        if m>(K-1)/2
            M1 (m,:) = PGG(L-(m-((K-1)/2)), :,iter);
            M2 (m) = PL(L-(m-((K-1)/2)), :,iter);
        end
    end

    if (population-(K-1)/2) <=L && (K-1)/2 >=L
        if m<=(K-1)/2
            if L+m >population
                L = L+m-population;
                M1 (m,:) = PGG(L,: ,iter);
                M2 (m) = PL(L,: ,iter);
            end
        end

        if m>(K-1)/2
            if L-(m-((K-1)/2))<=0
                L = population-(m-((K-1)/2))-L;
                M1 (m,:) = PGG(L,: ,iter);
                M2 (m) = PL(L,: ,iter);
            end
        end
    end

    end
end

[C,L]=min(M2);
plid(1,1,iter)=M1(L,1); % size
plid(1,2,iter)=M1(L,2); % location

for mm=1:population
    plid(mm,1,iter)=plid(1,1,iter);
    plid(mm,2,iter)=plid(1,2,iter);

```

```

end

%%%%%%%Process4%%%%%%%
%Update
%Vo(:,:,iter+1)=Vo(:,:,iter)+c1*rand*(pbest(:,:,iter)-
PGG(:,:,iter))+c2*rand*(gbest(:,:,iter)-PGG(:,:,iter));%BPSO
%Vo(:,:,iter+1)=W*Vo(:,:,iter)+c1*rand*(pbest(:,:,iter)-
PGG(:,:,iter))+c2*rand*(gbest(:,:,iter)-PGG(:,:,iter));%APSO
Vo(:,:,iter+1)=W*Vo(:,:,iter)+Cp*rand*(pbest(:,:,iter)-
PGG(:,:,iter))+Cg*rand*(gbest(:,:,iter)-
PGG(:,:,iter))+Cl*rand*(plid(:,:,iter)-PGG(:,:,iter))+Cn*rand*(pnid(:,:,iter)-
PGG(:,:,iter));%GLNPSO
PGG(:,:,iter+1)=PGG(:,:,iter)+Vo(:,:,iter+1);

PGG(:,1,iter+1)=abs(PGG(:,1,iter+1));
PGG(:,2,iter+1)=round(PGG(:,2,iter+1));

    for mm=1:population
        if
(PGG(mm,2,iter+1)<2) || (PGG(mm,2,iter+1)>LH1) || (PGG(mm,1,iter+1)>SH1);
            PGG(mm,1,iter+1)= SL1+(SH1-SL1)*rand;
            PGG(mm,2,iter+1)= abs(round(LL1+(LH1-LL1)*rand));
        end
    end

PGG(1,1,iter+1)= gbest(1,1,iter);
PGG(1,2,iter+1)= gbest(1,2,iter);

pbest = PGG;

end

gbest(1,1,itmax-1)
gbest(1,2,itmax-1)

e1(1,itmax-1)
plot(1:1:itmax-1, e1(1,1:itmax-1)*baseMVA*1000)
hold on

%%%%%%%Process5
display%%%%%%%
F = zeros(1,itmax-1);

for i=1:itmax-1
    result(i,1)=H(i,1);
    result(i,2)=H(i,2);
    result(i,3)=e1(1,i)*baseMVA*1000;
    result(i,4)=e2(1,i)*baseMVA*1000;
F(1,i)=result(i,3);
end
%F
%statistic

Avg = mean(F);
Mini = min(F);
Maxi = max(F);
SD = std(F);

```

```

CV = SD/Avg;
MD = median(F);

fprintf('\n')
fprintf('t\tn\t Optimal placement of DGs using particle swarm
optimization.\n')
fprintf('t\tn\t Program By: Weerachai Phuangpornpitak \n\n')
fprintf('t\tn\t *** Considering reduce real power loss in system. ***\n\n')
fprintf('t\tn\t The Real Power Loss in the original System = %3.4f
kW\n',Plss*baseMVA*1000)
fprintf('t\tn\t The Reactive Power Loss in the original System = %3.4f
KVar\n',Qlss*baseMVA*1000)
fprintf('\n')
fprintf('t\tn\t-----\n')
fprintf('t\tn\tBUS\t\t DG SIZE\t\t PLoss\t\t QLoss\n')
fprintf('t\tn\tNo:\t\t MW\t\t kW\t\t kVar\n')
fprintf('t\tn\t-----\n')
for iter=1:itmax-1;%N-1;
    fprintf('t\tn\t %g', result(iter,2))
    fprintf('t\tn\t %3.4f', result(iter,1))
    fprintf('t\tn\t %3.4f', result(iter,3))
    fprintf('t\tn\t %3.4f', result(iter,4)), fprintf(' \n')
end

fprintf('t\tn\t Average = %3.4f kW\n',Avg)
fprintf('t\tn\t Min = %3.4f kW\n',Min)
fprintf('t\tn\t Max = %3.4f kW\n',Max)
fprintf('t\tn\t SD = %3.4f kW\n',SD)
fprintf('t\tn\t CV = %3.4f \n',CV)
fprintf('t\tn\t Median = %3.4f kW\n',MD)

fprintf('t\tn\t-----\n')

```

โปรแกรมการหาตำแหน่งติดตั้ง DG ที่เหมาะสมโดยใช้ PSO ของระบบจำนวนayerแบบ เรเดียล 59 บัส ของการไฟฟ้าส่วนภูมิภาคเขต 1 ภาคกลาง

```

%% system MVA base
clear
clc
% Base MVA = 10 MVA
baseMVA = 10;
% Base kV = 12.66 kV.
baseKV=12.660;
%% bus data
%bus_i type Pd      Qd      Gs   Bs area Vm   Va baseKV zone Vmax Vmin
bus = [
1 3 0.00000 0.00000 0 0 1 1 0 12.66 1 1.1 0.95 ;
2 1 0.27600 0.15200 0 0 1 1 0 12.66 1 1.1 0.95 ;
3 1 0.01800 0.01000 0 0 1 1 0 12.66 1 1.1 0.95 ;
4 1 0.08800 0.04800 0 0 1 1 0 12.66 1 1.1 0.95 ;
5 1 0.55100 0.30500 0 0 1 1 0 12.66 1 1.1 0.95 ;
6 1 0.27600 0.15200 0 0 1 1 0 12.66 1 1.1 0.95 ;
7 1 0.27600 0.15200 0 0 1 1 0 12.66 1 1.1 0.95 ;
8 1 0.08800 0.04800 0 0 1 1 0 12.66 1 1.1 0.95 ;
9 1 0.35000 0.19400 0 0 1 1 0 12.66 1 1.1 0.95 ;
10 1 0.27600 0.15200 0 0 1 1 0 12.66 1 1.1 0.95 ;
11 1 0.55100 0.30500 0 0 1 1 0 12.66 1 1.1 0.95 ;
12 1 0.01800 0.01000 0 0 1 1 0 12.66 1 1.1 0.95 ;
13 1 0.35000 0.19400 0 0 1 1 0 12.66 1 1.1 0.95 ;
14 1 0.04400 0.02400 0 0 1 1 0 12.66 1 1.1 0.95 ;
15 1 0.55100 0.30500 0 0 1 1 0 12.66 1 1.1 0.95 ;
16 1 0.04400 0.02400 0 0 1 1 0 12.66 1 1.1 0.95 ;
17 1 0.27600 0.15200 0 0 1 1 0 12.66 1 1.1 0.95 ;
18 1 0.27600 0.15200 0 0 1 1 0 12.66 1 1.1 0.95 ;
19 1 0.01800 0.01000 0 0 1 1 0 12.66 1 1.1 0.95 ;
20 1 0.35000 0.19400 0 0 1 1 0 12.66 1 1.1 0.95 ;
21 1 0.04400 0.02400 0 0 1 1 0 12.66 1 1.1 0.95 ;
22 1 0.01800 0.01000 0 0 1 1 0 12.66 1 1.1 0.95 ;
23 1 0.27600 0.15200 0 0 1 1 0 12.66 1 1.1 0.95 ;
24 1 0.04400 0.02400 0 0 1 1 0 12.66 1 1.1 0.95 ;
25 1 0.35000 0.19400 0 0 1 1 0 12.66 1 1.1 0.95 ;
26 1 0.04400 0.02400 0 0 1 1 0 12.66 1 1.1 0.95 ;
27 1 0.27600 0.15200 0 0 1 1 0 12.66 1 1.1 0.95 ;
28 1 0.04400 0.02400 0 0 1 1 0 12.66 1 1.1 0.95 ;
29 1 0.01800 0.01000 0 0 1 1 0 12.66 1 1.1 0.95 ;
30 1 0.27600 0.15200 0 0 1 1 0 12.66 1 1.1 0.95 ;
31 1 0.04400 0.02400 0 0 1 1 0 12.66 1 1.1 0.95 ;
32 1 0.35000 0.19400 0 0 1 1 0 12.66 1 1.1 0.95 ;
33 1 0.55100 0.30500 0 0 1 1 0 12.66 1 1.1 0.95 ;
34 1 0.08800 0.04800 0 0 1 1 0 12.66 1 1.1 0.95 ;
35 1 0.27600 0.15200 0 0 1 1 0 12.66 1 1.1 0.95 ;
36 1 0.27600 0.15200 0 0 1 1 0 12.66 1 1.1 0.95 ;
37 1 0.08800 0.04800 0 0 1 1 0 12.66 1 1.1 0.95 ;
38 1 0.08800 0.04800 0 0 1 1 0 12.66 1 1.1 0.95 ;
39 1 0.08800 0.04800 0 0 1 1 0 12.66 1 1.1 0.95 ;
40 1 0.27600 0.15200 0 0 1 1 0 12.66 1 1.1 0.95 ;
41 1 0.08800 0.04800 0 0 1 1 0 12.66 1 1.1 0.95 ;
42 1 0.08800 0.04800 0 0 1 1 0 12.66 1 1.1 0.95 ;
43 1 0.04400 0.02400 0 0 1 1 0 12.66 1 1.1 0.95 ;
44 1 0.35000 0.19400 0 0 1 1 0 12.66 1 1.1 0.95 ;
45 1 0.27600 0.15200 0 0 1 1 0 12.66 1 1.1 0.95 ;
46 1 0.55100 0.30500 0 0 1 1 0 12.66 1 1.1 0.95 ;
47 1 0.27600 0.15200 0 0 1 1 0 12.66 1 1.1 0.95 ;

```

```

48 1 0.55100 0.30500 0 0 1 1 0 12.66 1 1.1 0.95 ;  

49 1 0.01800 0.01000 0 0 1 1 0 12.66 1 1.1 0.95 ;  

50 1 0.08800 0.04800 0 0 1 1 0 12.66 1 1.1 0.95 ;  

51 1 0.27600 0.15200 0 0 1 1 0 12.66 1 1.1 0.95 ;  

52 1 0.01800 0.01000 0 0 1 1 0 12.66 1 1.1 0.95 ;  

53 1 0.04400 0.02400 0 0 1 1 0 12.66 1 1.1 0.95 ;  

54 1 0.35000 0.19400 0 0 1 1 0 12.66 1 1.1 0.95 ;  

55 1 0.27600 0.15200 0 0 1 1 0 12.66 1 1.1 0.95 ;  

56 1 0.35000 0.19400 0 0 1 1 0 12.66 1 1.1 0.95 ;  

57 1 0.04400 0.02400 0 0 1 1 0 12.66 1 1.1 0.95 ;  

58 1 0.27600 0.15200 0 0 1 1 0 12.66 1 1.1 0.95 ;  

59 1 0.01800 0.01000 0 0 1 1 0 12.66 1 1.1 0.95 ;  

];  

%% generator data  

% bus Pg Qg Qmax Qmin Vg mBase status Pmax Pmin  

gen = [  

    1 0 0 20 -20 1 10 1 10 0;  

];  

%% branch data  

% fbus tbus r x b rateA rateB rateC ratio angle status  

branch = [  

    1 2 0.0002660 0.0006170 0 20 20 20 0 0 1 ;  

    2 3 0.0002170 0.0005040 0 20 20 20 0 0 1 ;  

    3 4 0.0001310 0.0003040 0 20 20 20 0 0 1 ;  

    4 5 0.0018180 0.0042170 0 20 20 20 0 0 1 ;  

    5 6 0.0003570 0.0008520 0 20 20 20 0 0 1 ;  

    6 7 0.0003500 0.0008110 0 20 20 20 0 0 1 ;  

    7 8 0.0006840 0.0015870 0 20 20 20 0 0 1 ;  

    8 9 0.0000750 0.0001740 0 20 20 20 0 0 1 ;  

    9 10 0.0005010 0.0011610 0 20 20 20 0 0 1 ;  

    10 11 0.0006420 0.0014880 0 20 20 20 0 0 1 ;  

    11 12 0.0003750 0.0008700 0 20 20 20 0 0 1 ;  

    12 13 0.0010920 0.0025330 0 20 20 20 0 0 1 ;  

    13 14 0.0005560 0.0012900 0 20 20 20 0 0 1 ;  

    14 15 0.0004820 0.0011170 0 20 20 20 0 0 1 ;  

    15 16 0.0008010 0.0018580 0 20 20 20 0 0 1 ;  

    16 17 0.0005510 0.0010840 0 16 16 16 0 0 1 ;  

    17 18 0.0002580 0.0005070 0 16 16 16 0 0 1 ;  

    18 19 0.0005760 0.0011340 0 16 16 16 0 0 1 ;  

    19 20 0.0004250 0.0008350 0 16 16 16 0 0 1 ;  

    20 21 0.0004720 0.0009280 0 16 16 16 0 0 1 ;  

    21 22 0.0001430 0.0002820 0 16 16 16 0 0 1 ;  

    22 23 0.0001510 0.0002960 0 16 16 16 0 0 1 ;  

    23 24 0.0005320 0.0010470 0 16 16 16 0 0 1 ;  

    24 25 0.0002140 0.0004210 0 16 16 16 0 0 1 ;  

    25 26 0.0001490 0.0002940 0 16 16 16 0 0 1 ;  

    26 27 0.0001490 0.0002940 0 16 16 16 0 0 1 ;  

    27 28 0.0013440 0.0026440 0 16 16 16 0 0 1 ;  

    28 29 0.0004750 0.0009350 0 16 16 16 0 0 1 ;  

    29 30 0.0004470 0.0008800 0 16 16 16 0 0 1 ;  

    30 31 0.0020090 0.0039520 0 16 16 16 0 0 1 ;  

    31 32 0.0007550 0.0014860 0 16 16 16 0 0 1 ;  

    31 32 0.0007550 0.0014860 0 16 16 16 0 0 1 ;  

    32 33 0.0020400 0.0040130 0 16 16 16 0 0 1 ;  

    33 34 0.0006790 0.0013350 0 16 16 16 0 0 1 ;  

    34 35 0.0023190 0.0045620 0 16 16 16 0 0 1 ;  

    35 36 0.0012620 0.0024820 0 16 16 16 0 0 1 ;  

    4 37 0.0012100 0.0008540 0 6 6 6 0 0 1 ;  

    37 38 0.0012100 0.0008540 0 6 6 6 0 0 1 ;  

    38 39 0.0024560 0.0017340 0 6 6 6 0 0 1 ;  

    39 40 0.0012390 0.0008750 0 6 6 6 0 0 1 ;
];

```

```

40 41 0.0001460 0.0001030 0 6 6 6 0 0 1 ;  

13 42 0.0043770 0.0024250 0 7 7 7 0 0 1 ;  

42 43 0.0054150 0.0030000 0 7 7 7 0 0 1 ;  

43 44 0.0018970 0.0010510 0 7 7 7 0 0 1 ;  

15 45 0.0004360 0.0010120 0 20 20 20 0 0 1 ;  

45 46 0.0018500 0.0042910 0 20 20 20 0 0 1 ;  

46 47 0.0004370 0.0010130 0 20 20 20 0 0 1 ;  

47 48 0.0008220 0.0019070 0 20 20 20 0 0 1 ;  

48 49 0.0005050 0.0011700 0 20 20 20 0 0 1 ;  

49 50 0.0009320 0.0021630 0 20 20 20 0 0 1 ;  

50 51 0.0004530 0.0002510 0 7 7 7 0 0 1 ;  

47 52 0.0026310 0.0014570 0 7 7 7 0 0 1 ;  

52 53 0.0010950 0.0006070 0 7 7 7 0 0 1 ;  

53 54 0.0003060 0.0001700 0 7 7 7 0 0 1 ;  

24 55 0.0002050 0.0004020 0 16 16 16 0 0 1 ;  

55 56 0.0004240 0.0008340 0 16 16 16 0 0 1 ;  

56 57 0.0003560 0.0007010 0 16 16 16 0 0 1 ;  

57 58 0.0071820 0.0050710 0 6 6 6 0 0 1 ;  

32 59 0.0084510 0.0059680 0 6 6 6 0 0 1 ;  

  
];  

%%%%%%%%%%%%%%=  

bustype=bus (:,2);  

N=length(bustype); % N is the number of nodes  

n=N-1; % n is the number of sections  

j=sqrt(-1);  

V=ones(N,1)+j*zeros(N,1);% Flat start  

for aa=1:N  

    if bustype(aa)==3  

        V(aa)=0.98; % Setting the value of voltages of 0.98 for Generator bus  

    end  

end  

maxmis=0.0001; % Maximum mismatch  

maxitt=100; % Maximum iteration  

itt=0;  

dVmax=1;  

P1=bus (:,3)/baseMVA;  

Q1=bus (:,4)/baseMVA;  

FN=branch (:,1);  

TN=branch (:,2);  

R=branch (:,3);  

X=branch (:,4);  

B=branch (:,5);  

Pg=zeros(N,1);  

Qg=zeros(N,1);  

% Calculated Impedance  

Z=n+1;  

zbus=zeros(Z,Z);  

zbus(1,1)=0+j*0.000000001;  

for bb=1:n  

    a=FN(bb);  

    b=TN(bb);  

    zbus (b,:) =zbus (a,:);  

    zbus (:,b) =zbus (:,a);  

    zbus (b,b) =zbus (a,a)+R(bb)+j*X(bb);  

end  

Rik=real(zbus); % Finding R bus  

Xik=imag(zbus); % Finding X bus  

  
%%%%%%%%%-----Voltage Bus-----%%%%%%%%%

```

```

while itt<maxitt&dVmax>maxmis
    itt=itt+1;
    % Calculating Nodal Current
    for cc=1:N;
        Pi(cc)=(Pl(cc)-Pg(cc));
        Qi(cc)=(Ql(cc)-Qg(cc));
        In(cc,:)=(Pi(cc)-j*Qi(cc))/(conj(V(cc))); % In is the load current
    end
    for cc=2:N;
        I(cc-1)=In(cc);
    end

    %BACKWARD SWEEP
    Vk=V;
    for dd=1:n;
        a=N-dd;
        for b=1:n;
            if FN(b)==a+1
                c=TN(b);
                I(a)=I(a)+I(c-1)+j*B(c-1)*V(a+1);
            end
        end
        I(a)=I(a)+j*V(a+1)*B(a)/2; %I is the branch current
    end

    % FORWARD SWEEP
    for ee=1:n;
        ff=FN(ee);
        V(ee+1)=V(ff)-(R(ee)+j*X(ee))*I(ee);
        dV(ee)=abs(V(ee+1)-Vk(ee+1));
    end
    dVmax=max(dV);
    end

    for gg=1:N
        Pi(gg)=(Pg(gg)-Pl(gg));
        Qi(gg)=(Qg(gg)-Ql(gg));
    end
    Vm=abs(V); %*baseKV;
    Delta=angle(V);
    for hh=1:N
        for ii=1:N
            alpha(hh,ii)=Rik(hh,ii)*cos(Delta(hh)-Delta(ii))/(Vm(hh)*Vm(ii));
            beta(hh,ii)=Rik(hh,ii)*sin(Delta(hh)-Delta(ii))/(Vm(hh)*Vm(ii));
            gama(hh,ii)=Xik(hh,ii)*cos(Delta(hh)-Delta(ii))/(Vm(hh)*Vm(ii));
            geta(hh,ii)=Xik(hh,ii)*sin(Delta(hh)-Delta(ii))/(Vm(hh)*Vm(ii));
        end
    end
    LL1=2; %limit of min location
    LH1=59;%limit of max location
    LL2=2; %limit of min location
    LH2=59;%limit of max location
    LL3=2; %limit of min location
    LH3=59;%limit of max location

    SL1=0.05;%limit of min size DG
    SH1=10; %limit of max size DG
    SL2=0.05;%limit of min size DG
    SH2=10; %limit of max size DG
    SL3=0.05;%limit of min size DG
    SH3=10; %limit of max size DG

```

```

%% system MVA base
%clear
clc
% Base MVA = 10 MVA
baseMVA = 10;
% Base kV = 12.66 kV.
baseKV=12.660;
%% bus data
%bus_i type Pd      Qd      Gs   Bs area Vm   Va baseKV zone Vmax Vmin
bus = [
1 3 0.00000 0.00000 0 0 1 1 0 12.66 1 1.1 0.95 ;
2 1 0.27600 0.15200 0 0 1 1 0 12.66 1 1.1 0.95 ;
3 1 0.01800 0.01000 0 0 1 1 0 12.66 1 1.1 0.95 ;
4 1 0.08800 0.04800 0 0 1 1 0 12.66 1 1.1 0.95 ;
5 1 0.55100 0.30500 0 0 1 1 0 12.66 1 1.1 0.95 ;
6 1 0.27600 0.15200 0 0 1 1 0 12.66 1 1.1 0.95 ;
7 1 0.27600 0.15200 0 0 1 1 0 12.66 1 1.1 0.95 ;
8 1 0.08800 0.04800 0 0 1 1 0 12.66 1 1.1 0.95 ;
9 1 0.35000 0.19400 0 0 1 1 0 12.66 1 1.1 0.95 ;
10 1 0.27600 0.15200 0 0 1 1 0 12.66 1 1.1 0.95 ;
11 1 0.55100 0.30500 0 0 1 1 0 12.66 1 1.1 0.95 ;
12 1 0.01800 0.01000 0 0 1 1 0 12.66 1 1.1 0.95 ;
13 1 0.35000 0.19400 0 0 1 1 0 12.66 1 1.1 0.95 ;
14 1 0.04400 0.02400 0 0 1 1 0 12.66 1 1.1 0.95 ;
15 1 0.55100 0.30500 0 0 1 1 0 12.66 1 1.1 0.95 ;
16 1 0.04400 0.02400 0 0 1 1 0 12.66 1 1.1 0.95 ;
17 1 0.27600 0.15200 0 0 1 1 0 12.66 1 1.1 0.95 ;
18 1 0.27600 0.15200 0 0 1 1 0 12.66 1 1.1 0.95 ;
19 1 0.01800 0.01000 0 0 1 1 0 12.66 1 1.1 0.95 ;
20 1 0.35000 0.19400 0 0 1 1 0 12.66 1 1.1 0.95 ;
21 1 0.04400 0.02400 0 0 1 1 0 12.66 1 1.1 0.95 ;
22 1 0.01800 0.01000 0 0 1 1 0 12.66 1 1.1 0.95 ;
23 1 0.27600 0.15200 0 0 1 1 0 12.66 1 1.1 0.95 ;
24 1 0.04400 0.02400 0 0 1 1 0 12.66 1 1.1 0.95 ;
25 1 0.35000 0.19400 0 0 1 1 0 12.66 1 1.1 0.95 ;
26 1 0.04400 0.02400 0 0 1 1 0 12.66 1 1.1 0.95 ;
27 1 0.27600 0.15200 0 0 1 1 0 12.66 1 1.1 0.95 ;
28 1 0.04400 0.02400 0 0 1 1 0 12.66 1 1.1 0.95 ;
29 1 0.01800 0.01000 0 0 1 1 0 12.66 1 1.1 0.95 ;
30 1 0.27600 0.15200 0 0 1 1 0 12.66 1 1.1 0.95 ;
31 1 0.04400 0.02400 0 0 1 1 0 12.66 1 1.1 0.95 ;
32 1 0.35000 0.19400 0 0 1 1 0 12.66 1 1.1 0.95 ;
33 1 0.55100 0.30500 0 0 1 1 0 12.66 1 1.1 0.95 ;
34 1 0.08800 0.04800 0 0 1 1 0 12.66 1 1.1 0.95 ;
35 1 0.27600 0.15200 0 0 1 1 0 12.66 1 1.1 0.95 ;
36 1 0.27600 0.15200 0 0 1 1 0 12.66 1 1.1 0.95 ;
37 1 0.08800 0.04800 0 0 1 1 0 12.66 1 1.1 0.95 ;
38 1 0.08800 0.04800 0 0 1 1 0 12.66 1 1.1 0.95 ;
39 1 0.08800 0.04800 0 0 1 1 0 12.66 1 1.1 0.95 ;
40 1 0.27600 0.15200 0 0 1 1 0 12.66 1 1.1 0.95 ;
41 1 0.08800 0.04800 0 0 1 1 0 12.66 1 1.1 0.95 ;
42 1 0.08800 0.04800 0 0 1 1 0 12.66 1 1.1 0.95 ;
43 1 0.04400 0.02400 0 0 1 1 0 12.66 1 1.1 0.95 ;
44 1 0.35000 0.19400 0 0 1 1 0 12.66 1 1.1 0.95 ;
45 1 0.27600 0.15200 0 0 1 1 0 12.66 1 1.1 0.95 ;
46 1 0.55100 0.30500 0 0 1 1 0 12.66 1 1.1 0.95 ;
47 1 0.27600 0.15200 0 0 1 1 0 12.66 1 1.1 0.95 ;
48 1 0.55100 0.30500 0 0 1 1 0 12.66 1 1.1 0.95 ;
49 1 0.01800 0.01000 0 0 1 1 0 12.66 1 1.1 0.95 ;
50 1 0.08800 0.04800 0 0 1 1 0 12.66 1 1.1 0.95 ;
51 1 0.27600 0.15200 0 0 1 1 0 12.66 1 1.1 0.95 ;

```

```

52 1 0.01800 0.01000 0 0 1 1 0 12.66 1 1.1 0.95 ;
53 1 0.04400 0.02400 0 0 1 1 0 12.66 1 1.1 0.95 ;
54 1 0.35000 0.19400 0 0 1 1 0 12.66 1 1.1 0.95 ;
55 1 0.27600 0.15200 0 0 1 1 0 12.66 1 1.1 0.95 ;
56 1 0.35000 0.19400 0 0 1 1 0 12.66 1 1.1 0.95 ;
57 1 0.04400 0.02400 0 0 1 1 0 12.66 1 1.1 0.95 ;
58 1 0.27600 0.15200 0 0 1 1 0 12.66 1 1.1 0.95 ;
59 1 0.01800 0.01000 0 0 1 1 0 12.66 1 1.1 0.95 ;

];

%% generator data
% bus Pg Qg Qmax Qmin Vg mBase status Pmax Pmin
gen = [
    1 0 0 20 -20 1 10 1 10 0;

];

%% branch data
% fbus tbus r x b rateA rateB rateC ratio angle status
branch = [
    1 2 0.0002660 0.0006170 0 20 20 20 0 0 1 ;
    2 3 0.0002170 0.0005040 0 20 20 20 0 0 1 ;
    3 4 0.0001310 0.0003040 0 20 20 20 0 0 1 ;
    4 5 0.0018180 0.0042170 0 20 20 20 0 0 1 ;
    5 6 0.0003570 0.0008520 0 20 20 20 0 0 1 ;
    6 7 0.0003500 0.0008110 0 20 20 20 0 0 1 ;
    7 8 0.0006840 0.0015870 0 20 20 20 0 0 1 ;
    8 9 0.0000750 0.0001740 0 20 20 20 0 0 1 ;
    9 10 0.0005010 0.0011610 0 20 20 20 0 0 1 ;
    10 11 0.0006420 0.0014880 0 20 20 20 0 0 1 ;
    11 12 0.0003750 0.0008700 0 20 20 20 0 0 1 ;
    12 13 0.0010920 0.0025330 0 20 20 20 0 0 1 ;
    13 14 0.0005560 0.0012900 0 20 20 20 0 0 1 ;
    14 15 0.0004820 0.0011170 0 20 20 20 0 0 1 ;
    15 16 0.0008010 0.0018580 0 20 20 20 0 0 1 ;
    16 17 0.0005510 0.0010840 0 16 16 16 0 0 1 ;
    17 18 0.0002580 0.0005070 0 16 16 16 0 0 1 ;
    18 19 0.0005760 0.0011340 0 16 16 16 0 0 1 ;
    19 20 0.0004250 0.0008350 0 16 16 16 0 0 1 ;
    20 21 0.0004720 0.0009280 0 16 16 16 0 0 1 ;
    21 22 0.0001430 0.0002820 0 16 16 16 0 0 1 ;
    22 23 0.0001510 0.0002960 0 16 16 16 0 0 1 ;
    23 24 0.0005320 0.0010470 0 16 16 16 0 0 1 ;
    24 25 0.0002140 0.0004210 0 16 16 16 0 0 1 ;
    25 26 0.0001490 0.0002940 0 16 16 16 0 0 1 ;
    26 27 0.0001490 0.0002940 0 16 16 16 0 0 1 ;
    27 28 0.0013440 0.0026440 0 16 16 16 0 0 1 ;
    28 29 0.0004750 0.0009350 0 16 16 16 0 0 1 ;
    29 30 0.0004470 0.0008800 0 16 16 16 0 0 1 ;
    30 31 0.0020090 0.0039520 0 16 16 16 0 0 1 ;
    31 32 0.0007550 0.0014860 0 16 16 16 0 0 1 ;
    31 32 0.0007550 0.0014860 0 16 16 16 0 0 1 ;
    32 33 0.0020400 0.0040130 0 16 16 16 0 0 1 ;
    33 34 0.0006790 0.0013350 0 16 16 16 0 0 1 ;
    34 35 0.0023190 0.0045620 0 16 16 16 0 0 1 ;
    35 36 0.0012620 0.0024820 0 16 16 16 0 0 1 ;
    4 37 0.0012100 0.0008540 0 6 6 6 0 0 1 ;
    37 38 0.0012100 0.0008540 0 6 6 6 0 0 1 ;
    38 39 0.0024560 0.0017340 0 6 6 6 0 0 1 ;
    39 40 0.0012390 0.0008750 0 6 6 6 0 0 1 ;
    40 41 0.0001460 0.0001030 0 6 6 6 0 0 1 ;
    13 42 0.0043770 0.0024250 0 7 7 7 0 0 1 ;
    42 43 0.0054150 0.0030000 0 7 7 7 0 0 1 ;
];

```

```

43 44 0.0018970 0.0010510 0 7 7 7 0 0 0 1 ;  

15 45 0.0004360 0.0010120 0 20 20 20 0 0 0 1 ;  

45 46 0.0018500 0.0042910 0 20 20 20 0 0 0 1 ;  

46 47 0.0004370 0.0010130 0 20 20 20 0 0 0 1 ;  

47 48 0.0008220 0.0019070 0 20 20 20 0 0 0 1 ;  

48 49 0.0005050 0.0011700 0 20 20 20 0 0 0 1 ;  

49 50 0.0009320 0.0021630 0 20 20 20 0 0 0 1 ;  

50 51 0.0004530 0.0002510 0 7 7 7 0 0 0 1 ;  

47 52 0.0026310 0.0014570 0 7 7 7 0 0 0 1 ;  

52 53 0.0010950 0.0006070 0 7 7 7 0 0 0 1 ;  

53 54 0.0003060 0.0001700 0 7 7 7 0 0 0 1 ;  

24 55 0.0002050 0.0004020 0 16 16 16 0 0 0 1 ;  

55 56 0.0004240 0.0008340 0 16 16 16 0 0 0 1 ;  

56 57 0.0003560 0.0007010 0 16 16 16 0 0 0 1 ;  

57 58 0.0071820 0.0050710 0 6 6 6 0 0 0 1 ;  

32 59 0.0084510 0.0059680 0 6 6 6 0 0 0 1 ;  

;  

%%%%%%%%%%%%%%%
bustype=bus (:,2);
N=length(bustype); % N is the number of nodes
n=N-1; % n is the number of sections
j=sqrt(-1);
V=ones(N,1)+j*zeros(N,1);% Flat start
for aa=1:N
    if bustype(aa)==3
        V(aa)=0.98 ; % Setting the value of voltages of 0.98 for Generator
    bus
    end
end
maxmis=0.0001; % Maximum mismatch
maxitt=100; % Maximum iteration
itt=0;
dVmax=1;
P1=bus (:,3)/baseMVA;
Q1=bus (:,4)/baseMVA;
FN=branch (:,1);
TN=branch (:,2);
R=branch (:,3);
X=branch (:,4);
B=branch (:,5);
Pg=zeros(N,1);
Qg=zeros(N,1);
% Calculated Impedance
Z=n+1;
zbus=zeros(Z,Z);
zbus (1,1)=0+j*0.000000001;

for bb=1:n
    a=FN(bb);
    b=TN(bb);
    zbus (b,:)=zbus (a,:);
    zbus (:,b)=zbus (:,a);
    zbus (b,b)=zbus (a,a)+R(bb)+j*X(bb);
end
Rik=real(zbus); % Finding R bus
Xik=imag(zbus); % Finding X bus

LL1=2; %limit of min location
LH1=59;%limit of max location
LL2=2; %limit of min location
LH2=59;%limit of max location
LL3=2; %limit of min location

```

```

LH3=59;%limit of max location

SL1=0.05;%limit of min size DG
SH1=10; %limit of max size DG
SL2=0.05;%limit of min size DG
SH2=10; %limit of max size DG
SL3=0.05;%limit of min size DG
SH3=10; %limit of max size DG

clc
clear all
%%%%%%%%%%%%%%%Process1%%%%%%%%%%%%%
%Datal system
input59n;

%Initialization of positions of agents

population=100; %population
D=2; %Variable 2

%Initialization of PSO parameters
W = 1;%int
wmax=0.9;
wmin=0.4;
itmax=100; %Maximum iteration number
e1=zeros(1,itmax);%PL
e2=zeros(1,itmax);%QL
%c1=2;
%c2=2;

Cp=1;
Cg=1;
Cl=1;
Cn=1;
K=5; %near neighbor
M1=zeros(K-1,D);%local about near local
M2=zeros(K-1,1);%local loss
plid=zeros(population,D,itmax);
pnid=zeros(population,D,itmax);
FDR=zeros(population,D);

%Initialization of positions of agents
PGG=zeros(population,D,itmax);
PGG(:,1,1)= SL1+(SH1-SL1)*rand(population,1,1);
PGG(:,2,1)= abs(round(LL1+(LH1-LL1)*rand(population,1,1)));
%%%%%%%%%%%%%
%PGG (1,1,1)= 1.8074;
%PGG (1,2,1)= 56;

%PGG (10,1,1)= 2.4939;
%PGG (10,2,1)= 12;
%%%%%%%%%%%%%
pbest = PGG;
gbest=zeros(population,D,itmax);
H =zeros(itmax,D);%gbest|iter

%Initialization of velocities of agents
Vo=zeros(population,D,itmax);

```

```
%xxxxxxxxxxxxxxxxxxxxxxxxxxxxxxxxxxxxxx

% Finding the Original Loss
% =====

Plss=0;
Qlss=0;
for i=1:N
    for k=1:N
        % approximate loss calculation
        Plss=Plss+(alpha(i,k)*(Pi(i)*Pi(k)+Qi(i)*Qi(k))+beta(i,k)*(Qi(i)*Pi(k)-Pi(i)*Qi(k)));
        % approximate loss calculation
        Qlss=Qlss+(gama(i,k)*(Pi(i)*Pi(k)+Qi(i)*Qi(k))+geta(i,k)*(Qi(i)*Pi(k)-Pi(i)*Qi(k)));
    end
end

%xxxxxxxxxxxxxxxxxxxxxxxxxxxxxxxxxxxxxx

%%%%%%Process2%%%%%%%
PL=zeros(population,1,itmax);%loss
QL=zeros(population,1,itmax);
%Pii=Pi;

for iter=1:itmax-1
    iter

    %reline
    if iter == 50 || iter == 55 || iter == 60 || iter == 65 || iter == 70 || iter ==
    75 || iter == 80 || iter == 85 || iter == 90 || iter == 95
        PGG(:,1,iter)= SL1+(SH1-SL1)*rand;
        PGG(:,2,iter)= abs(round(LL1+(LH1-LL1)*rand));
        PGG(10,:,:iter)=gbest(10,:,:iter-1);
    end

    %Pii=Pi;
    %W(iter)=1;
    %W(iter)=wmax-((wmax-wmin)/itmax)*iter;
    %W=W +((wmin-wmax)/itmax);%APSO
    W=(0.9-0.4)*(itmax-iter)/(itmax+0.4);%GLN-PSO
    for mm=1:population

        %xxxxxxxxxxxxxxxxxxxxxxxxxxxxxxxxxxxxxx

        input59nxx;

        Pg(PGG(mm,2,iter))=(PGG(mm,1,iter))/baseMVA;

        while itt<maxitt&&dVmax>maxmis

            itt=itt+1;
            % Calculating Nodal Current
            for cc=1:N;

                Pi(cc)=(Pl(cc)-Pg(cc));
                Qi(cc)=(Ql(cc)-Qg(cc));


```

```

In(cc,:)=(Pi(cc)-j*Qi(cc))/(conj(V(cc))); % In is the load current

end
for cc=2:N;
    I(cc-1)=In(cc);
end

%BACKWARD SWEEP
Vk=V;
for dd=1:n;
    a=N-dd;
    for b=1:n;
        if FN(b)==a+1
            c=TN(b);
            I(a)=I(a)+I(c-1)+j*B(c-1)*V(a+1);
        end
    end
    I(a)=I(a)+j*V(a+1)*B(a)/2; %I is the branch current
end

%%%%%%%%%%%%%
% FORWARD SWEEP
for ee=1:n;
    ff=FN(ee);
    V(ee+1)=V(ff)-(R(ee)+j*X(ee))*I(ee);
    dV(ee)=abs(V(ee+1)-Vk(ee+1));
end
dVmax=max(dV);
for cc=1:N
    Pi(cc)=(Pg(cc)-Pl(cc));
    Qi(cc)=(Qg(cc)-Ql(cc));
end

Vm=abs(V); %*baseKV;
Delta=angle(V);

for hh=1:N
    for ii=1:N
        alpha(hh,ii)=Rik(hh,ii)*cos(Delta(hh)-Delta(ii))/(Vm(hh)*Vm(ii));
        beta(hh,ii)=Rik(hh,ii)*sin(Delta(hh)-Delta(ii))/(Vm(hh)*Vm(ii));
        gama(hh,ii)=Xik(hh,ii)*cos(Delta(hh)-Delta(ii))/(Vm(hh)*Vm(ii));
        geta(hh,ii)=Xik(hh,ii)*sin(Delta(hh)-Delta(ii))/(Vm(hh)*Vm(ii));
    end
end

%%%%%%%%%%%%%
PL(mm,1,iter)=0;
QL(mm,1,iter)=0;
for i=1:N % i is the bus containing DG...we will test by placing one by one
in each bus
    for k=1:N
        PL(mm,1,iter)=PL(mm,1,iter)+(alpha(i,k)*(Pi(i)*Pi(k)+Qi(i)*Qi(k))+beta(i,k)*(Qi(i)*Pi(k)-Pi(i)*Qi(k))); % approximate loss calculation
        QL(mm,1,iter)=QL(mm,1,iter)+(gama(i,k)*(Pi(i)*Pi(k)+Qi(i)*Qi(k))+geta(i,k)*(Qi(i)*Pi(k)-Pi(i)*Qi(k))); % approximate loss calculation
    end
end

```

```

    end

end

%%%%%%%%%%%%%%%%%%%%%%%%%%%%%%%%%%%%%Process3%%%%%%%%%%%%%%%%%%%%%%%%%%%%%%%%%%%%%
[C,L]=min(abs(PL(:, :, iter)));
gbest(1,1,iter)=PGG(L,1,iter); % size
H(iter,1)=PGG(L,1,iter);

gbest(1,2,iter)=PGG(L,2,iter); % location
H(iter,2)=PGG(L,2,iter);

e1(1,iter)=C;%PL
e2(1,iter)=QL(L,1,iter);%QL

for mm=1:population
    gbest(mm,1,iter)=gbest(1,1,iter);
    gbest(mm,2,iter)=gbest(1,2,iter);
end
%%%%%%%%%%%%% Pnid : near neighbor Matrix by max FDR

PGG=PGG*baseMVA;
PL=PL*baseMVA*1000;
C=C*baseMVA*1000;
for mm=1:population
    if mm ~= L
        for d=1:D
            if PGG(mm,d,iter)~=PGG(L,d,iter)
                FDR(mm,d)=(PL(mm,1,iter)-C)/(abs(PGG(mm,d,iter)-PGG(L,d,iter)));
            end
            if PGG(mm,d,iter)==PGG(L,d,iter);
                FDR(mm,d)=-100;
            end
        end
    end
end
PGG=PGG/baseMVA;
PL=PL/(baseMVA*1000);
C=C/(baseMVA*1000);

[CC,II]=max(FDR(:,1));
[CCC,III]=max(FDR(:,2));

pnid(1,1,iter)=PGG(II,1,iter);
pnid(1,2,iter)=PGG(III,2,iter);

for mm=1:population
    pnid(mm,1,iter)= pnid(1,1,iter);
    pnid(mm,2,iter)= pnid(1,2,iter);
end
%%%%%%%%%%%%% Plid : local best Matrix
for m=1:K-1

    if L < (population-(K-1)/2) && L>((K-1)/2)

```

```

if m<=(K-1)/2
M1(m,:)=PGG(L+m,:,:iter);
M2(m)=PL(L+m,:,:iter);
end

if m>(K-1)/2
M1(m,:)=PGG(L-(m-(K-1)/2)),:,:,iter);
M2(m)=PL(L-(m-(K-1)/2)),:,:,iter);
end
end

if (population-(K-1)/2) <=L && (K-1)/2 >=L
    if m<=(K-1)/2
        if L+m >population
            L = L+m-population;
            M1(m,:)=PGG(L,:,:iter);
            M2(m)=PL(L,:,:iter);
        end
    end

    if m>(K-1)/2
        if L-(m-(K-1)/2)<=0
            L = population-(m-(K-1)/2)-L;
            M1(m,:)=PGG(L,:,:iter);
            M2(m)=PL(L,:,:iter);
        end
    end
end
end

[C,L]=min(M2);
plid(1,1,iter)=M1(L,1); % size
plid(1,2,iter)=M1(L,2); % location

for mm=1:population
    plid(mm,1,iter)=plid(1,1,iter);
    plid(mm,2,iter)=plid(1,2,iter);
end

%%%%%%%%%%%%%%%Process4%%%%%%%%%%%%%%%
%Update
%Vo(:,:,iter+1)=Vo(:,:,iter)+c1*rand*(pbest(:,:,iter)-
PGG(:,:,iter))+c2*rand*(gbest(:,:,iter)-PGG(:,:,iter));%BPSO
%Vo(:,:,iter+1)=W*Vo(:,:,iter)+c1*rand*(pbest(:,:,iter)-
PGG(:,:,iter))+c2*rand*(gbest(:,:,iter)-PGG(:,:,iter));%APSO
Vo(:,:,iter+1)=W*Vo(:,:,iter)+Cp*rand*(pbest(:,:,iter)-
PGG(:,:,iter))+Cg*rand*(gbest(:,:,iter)-
PGG(:,:,iter))+Cl*rand*(plid(:,:,iter)-PGG(:,:,iter))+Cn*rand*(pnid(:,:,iter)-
PGG(:,:,iter));%GLNPSO
PGG(:,:,iter+1)=PGG(:,:,iter)+Vo(:,:,iter+1);

PGG(:,1,iter+1)=abs(PGG(:,1,iter+1));
PGG(:,2,iter+1)=round(PGG(:,2,iter+1));

        for mm=1:population
            if
(PGG(mm,2,iter+1)<2) || (PGG(mm,2,iter+1)>LH1) || (PGG(mm,1,iter+1)>SH1);
                PGG(mm,1,iter+1)= SL1+(SH1-SL1)*rand;
            end
        end
    end
end

```

```

        PGG(mm,2,iter+1)= abs(round(LL1+(LH1-LL1)*rand));
    end
end

PGG(1,1,iter+1)= gbest(1,1,iter);
PGG(1,2,iter+1)= gbest(1,2,iter);

pbest = PGG;

end

gbest(1,1,itmax-1)
gbest(1,2,itmax-1)

e1(1,itmax-1)
plot(1:1:itmax-1, e1(1,1:itmax-1)*baseMVA*1000)
hold on

%%%%%%%%%%%%%Process5
display%%%%%%%%%%%%%%%
%%%%%%%%%%%%%%%
F = zeros(1,itmax-1);

for i=1:itmax-1
    result(i,1)=H(i,1);
    result(i,2)=H(i,2);
    result(i,3)=e1(1,i)*baseMVA*1000;
    result(i,4)=e2(1,i)*baseMVA*1000;
F(1,i)=result(i,3);
end
%F
%statistic

Avg = mean(F);
Mini = min(F);
Maxi = max(F);
SD = std(F);
CV = SD/Avg;
MD = median(F);

fprintf('\n')
fprintf('\t\t\t Optimal placement of DGs using particle swarm
optimization.\n')
fprintf('\t\t\t Program By: Weerachai Phuangpornpitak \n\n')
fprintf('\t\t\t *** Considering reduce real power loss in system. ***\n\n')
fprintf('\t\t\t The Real Power Loss in the original System = %3.4f
kW\n',Plss*baseMVA*1000)
fprintf('\t\t\t The Reactive Power Loss in the original System = %3.4f
KVar\n',Qlss*baseMVA*1000)
fprintf('\n')
fprintf('\t\t\t-----\n')
fprintf('\t\t\t\tDG SIZE\t\t PLoss\t\t QLoss\n')
fprintf('\t\t\t\tNo:\t\t MW\t\t kW\t\t kVar\n')
fprintf('\t\t\t-----\n')
for iter=1:itmax-1;%N-1;
    fprintf('\t\t\t %g', result(iter,2))
    fprintf('\t\t\t %3.4f', result(iter,1))
    fprintf('\t\t\t %3.4f', result(iter,3))

```

```
    fprintf(' \t%3.4f', result(iter,4)), fprintf(' \n')
end
```

```
fprintf(' \t\t\t Average = %3.4f kW\n',Avg)
fprintf(' \t\t\t Min = %3.4f kW\n',Mini)
fprintf(' \t\t\t Max = %3.4f kW\n',Maxi)
fprintf(' \t\t\t SD = %3.4f kW\n',SD)
fprintf(' \t\t\t CV = %3.4f \n',CV)
fprintf(' \t\t\t Median = %3.4f kW\n',MD)
```

```
fprintf(' \t\t-----\n')
```





ภาคผนวก ค

ผลงานดีพิมพ์เผยแพร่

1. วีระชัย พ่วงพรพิทักษ์ และ กฤณ์ชนม์ ภูมิกิตติพิชญ์, “การหาตำแหน่งของเครื่องกำเนิดไฟฟ้าในระบบจำหน่ายโดยวิธีการเคลื่อนตัวของกลุ่มอนุภาคที่เหมาะสมที่สุด”, การประชุมสัมมนาเชิงวิชาการรูปแบบพลังงานทดแทนสู่ชุมชนแห่งประเทศไทยครั้งที่ 4, 28-30 พฤษภาคม 2554
2. วีระชัย พ่วงพรพิทักษ์ และ กฤณ์ชนม์ ภูมิกิตติพิชญ์, “การหาตำแหน่งและขนาดของเครื่องกำเนิดในระบบจำหน่ายเพื่อลดกำลังไฟฟ้าสูญเสียโดยวิธีการเคลื่อนตัวของกลุ่มอนุภาคที่เหมาะสมที่สุด”, การประชุมวิชาการเครือข่ายวิศวกรรมไฟฟ้า มหาวิทยาลัยเทคโนโลยีราชมงคลครั้งที่ 4, 3-5 เมษายน 2555
3. วีระชัย พ่วงพรพิทักษ์ และ กฤณ์ชนม์ ภูมิกิตติพิชญ์, “การหาตำแหน่งและขนาดของเครื่องกำเนิดในระบบจำหน่ายเพื่อปรับปรุงแรงดันและลดกำลังไฟฟ้าสูญเสีย โดยวิธีการเคลื่อนตัวของกลุ่มอนุภาคที่เหมาะสมที่สุด”, การประชุมวิชาการเครือข่ายพลังงานแห่งประเทศไทยครั้งที่ 8, 2-4 พฤษภาคม 2555

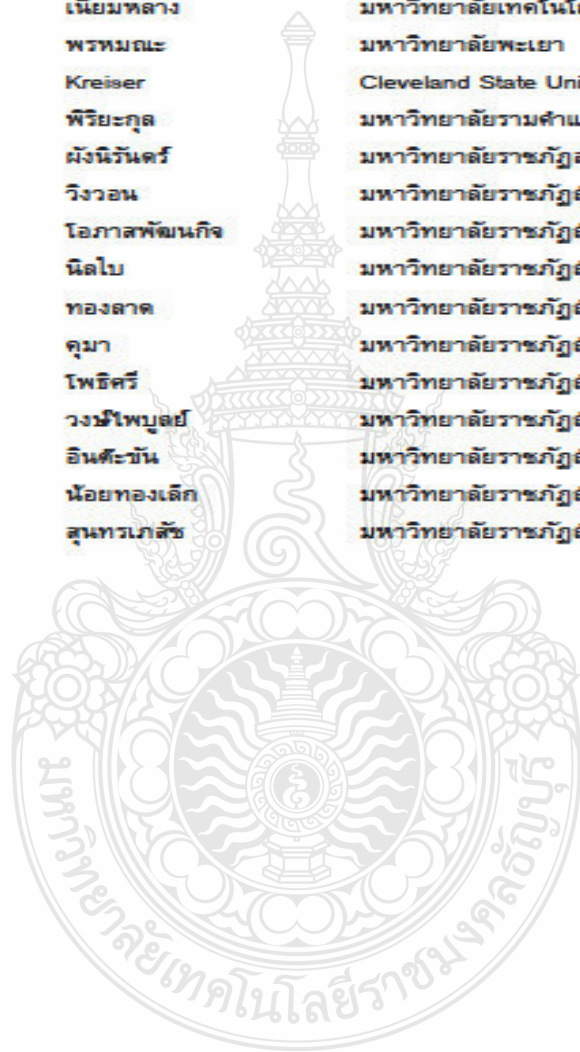


**รายชื่อผู้พิจารณาบทความ
การประชุมสัมมนาเชิงวิชาการ ครั้งที่ ๔**
“รูปแบบพัฒนาทางเทคโนโลยีของชุมชนแห่งประเทศไทย” ประจำปี ๒๕๕๘

| ชื่อ | นามสกุล | มหาวิทยาลัย/สถาบัน |
|--------------------|-----------------|---------------------------------------|
| ศ.ดร. ทันงเกียรติ | เกียรติศิริโจน | มหาวิทยาลัยเชียงใหม่ |
| รศ.ดร. วัฒนพงศ์ | วัฒน์วิเชียร | มหาวิทยาลัยพะเยา |
| รศ.ดร. ศิริชัย | เทพา | มหาวิทยาลัยเทคโนโลยีพระจอมเกล้าธนบุรี |
| ผศ.ดร. นรีลักษณ์ | ประพินทอง | มหาวิทยาลัยเทคโนโลยีพระจอมเกล้าธนบุรี |
| ผศ. คุณวิทย์ | ถวายะลักษณ์ | มหาวิทยาลัยเทคโนโลยีราชมงคลชัยบุรี |
| ผศ.ดร. สมชาย | ณัฐวรรณ | มหาวิทยาลัยแม่ฟ้าหลวง |
| ผศ.ดร. ศิรินุช | จินดาภรณ์ | มหาวิทยาลัยแม่ฟ้าหลวง |
| ผศ.ดร. นิพนธ์ | เกตุชัย | มหาวิทยาลัยแม่ฟ้าหลวง |
| ผศ.ดร. ติกะ | บุญนาค | มหาวิทยาลัยธุรกิจบัณฑิตย์ |
| ผศ.ดร. นุภาพ | แย้มไตรพัฒน์ | มหาวิทยาลัยเทคโนโลยีอيمานนคร |
| ดร. บุญยัง | ปลื้งกลาง | มหาวิทยาลัยเทคโนโลยีราชมงคลชัยบุรี |
| ดร. วิษัย | โรยันวินท์ | มหาวิทยาลัยเทคโนโลยีราชมงคลชัยบุรี |
| ผศ.ดร. อรชิตพง | ศศิธรานุวัฒน์ | มหาวิทยาลัยราชภัฏอุตรดิตถ์ |
| รศ.ดร. วิจาราช | พุ่มพิมล | มหาวิทยาลัยราชภัฏสำราญ |
| ผศ.ดร. อภิรักษ์ | ชัยเสนา | มหาวิทยาลัยราชภัฏสำราญ |
| ดร. หลุกษัย | ไทยสุชาติ | มหาวิทยาลัยราชภัฏสำราญ |
| ดร. วงศักข์ | สายเทพ | มหาวิทยาลัยราชภัฏสำราญ |
| ดร. สิริพิช | พิชชานนท์ | มหาวิทยาลัยราชภัฏสำราญ |
| ดร. พลเมธ | มณีโชติ | มหาวิทยาลัยแม่ฟ้าหลวง |
| ดร. จันกานา | กุญชรรัตน์ | มหาวิทยาลัยเทคโนโลยีพระจอมเกล้าธนบุรี |
| ดร. อร骏 | อารวณ์ | มหาวิทยาลัยเทคโนโลยีพระจอมเกล้าธนบุรี |
| ดร. วิทยา | พวงสมบัติ | มหาวิทยาลัยเกษตรศาสตร์ |
| ดร. วรรษา | วีระลัย | มหาวิทยาลัยมหิดล |
| ผศ.ดร. กิตติศักดิ์ | สมบูรณ์ราษฎร์ | มหาวิทยาลัยราชภัฏสำราญ |
| ผศ.ดร. ปรุงศักดิ์ | อัศพุฒ | มหาวิทยาลัยราชภัฏสวนสุนันทา |
| ผศ.ดร. บุญล้ำ | สุนทร | มหาวิทยาลัยราชภัฏพระนครศรีอยุธยา |
| ผศ.ดร. วารุณี | อริยวิริยานันท์ | มหาวิทยาลัยเทคโนโลยีราชมงคลชัยบุรี |
| ผศ. พงษ์ศรี | ศิริราศก์ | มหาวิทยาลัยเทคโนโลยีราชมงคลชัยบุรี |
| ดร. สโกรา | เจริญวัย | มหาวิทยาลัยเทคโนโลยีราชมงคลชัยบุรี |
| ดร. สฤาพร | ทองวิศ | มหาวิทยาลัยเทคโนโลยีราชมงคลชัยบุรี |

**รายชื่อผู้พิจารณาบทความ
การประชุมสัมมนาเชิงวิชาการ ครั้งที่ ๔
“รูปแบบพัฒนาบทแผนของชุมชนแห่งประเทศไทย” ประจำปี ๒๕๕๙**

| <u>ชื่อ</u> | <u>นามสกุล</u> | <u>มหาวิทยาลัย/สถาบัน</u> |
|------------------|----------------|------------------------------------|
| ดร. จักรี | ศรีวนนท์เจต | มหาวิทยาลัยเทคโนโลยีราชมงคลธัญบุรี |
| ดร. ธรรมศรีชัย | โอบเจริญ | มหาวิทยาลัยเทคโนโลยีราชมงคลธัญบุรี |
| ดร. กฤณเดชเนร์ | ภูมิเกตติพิชญ์ | มหาวิทยาลัยเทคโนโลยีราชมงคลธัญบุรี |
| ดร. อุ่นนมาลย์ | เนียมหลาง | มหาวิทยาลัยเทคโนโลยีราชมงคลธัญบุรี |
| ดร. วิชัยภูมิ | พรหมณรงค์ | มหาวิทยาลัยพะเยา |
| Ph.D. Lanty | Kreiser | Cleveland State University. |
| ดร.ดร. มนตรี | พิริยะกุล | มหาวิทยาลัยรามคำแหง |
| ผศ.ดร. ปัจฉพพิท | ผังนิรันดร์ | มหาวิทยาลัยราชภัฏสวนสุนันทา |
| ดร.ดร. บุญขาวรรณ | วิภาวน | มหาวิทยาลัยราชภัฏสานป่าปาง |
| ดร.ดร. อวารณ์ | โอลกาลพัฒนกิจ | มหาวิทยาลัยราชภัฏสานป่าปาง |
| ดร.ดร. ถวิล | นิตใบ | มหาวิทยาลัยราชภัฏสานป่าปาง |
| ผศ.ดร. พรชานก | ห้องลาก | มหาวิทยาลัยราชภัฏสานป่าปาง |
| ผศ. กัญจนนา | คุณما | มหาวิทยาลัยราชภัฏสานป่าปาง |
| ผศ. สุวรรณี | โพธิ์ศรี | มหาวิทยาลัยราชภัฏสานป่าปาง |
| ดร. เจริญวัฒย์ | วงศ์ไพบูลย์ | มหาวิทยาลัยราชภัฏสานป่าปาง |
| ดร. ไฟยวรรณ์ | อินศะวัน | มหาวิทยาลัยราชภัฏสานป่าปาง |
| ดร. ธนากร | น้อยทองเล็ก | มหาวิทยาลัยราชภัฏสานป่าปาง |
| ผศ.ดร. ป่องปราโม | อุนกรเกตตี้ | มหาวิทยาลัยราชภัฏสานป่าปาง |



สารบัญ

| บทความ | หน้า |
|---|------|
| Oral Presentation Session | |
| กลุ่มที่ 1 เทคโนโลยีพัฒนาชุมชน (ET) | |
| ET001 ระบบการผลิตกระแสไฟฟ้าด้วยเครื่องกำเนิดไฟฟ้าพลังน้ำขนาดเล็ก ที่หัวยค่าปี บ้านค่าน้ำห้วยได้ ต่ำบลแม่พูล อ่าเภอลับและ จังหวัดอุตรดิตถ์ ทวีศักดิ์ วรจักษ์ อธุชา ริกากอร์ และ คณะร่วมวิจัย.....1 | |
| ET003 แบบจำลองทางคณิตศาสตร์การออกแบบชุดระบบายความร้อนให้ผิวน้ำล้ำหัวบัน ระบบไฮโดรโปนิกส์ จิราพร ตั้งใจ ลักษยา ทองสาร ศรรษุทธิ์ วัยวุฒิ สมชาย เจริญศิริสวัสดิ์.....11 | |
| ET004 การออกแบบเครื่องแยกเปลี่ยนความร้อนแบบเทอร์โมไฟฟ่อนล้ำหัวบันดอยหมู่บ ก้าชีวมวล ศศิษร เดิมดีพงศ์ ลักษยา ทองสาร อุษฐ์ สุขใจ สมชาย เจริญศิริสวัสดิ์.....19 | |
| ET005 การศึกษาการผลิตแก๊สเชื้อเพลิงจากแห้งเรือเพลิงจากยาง RDF-5 ผสมกับเชื้อวัน ของกระบวนการผลิตในไฮดรอลิกเพลิงสำหรับการแก๊สซีฟิเคนชัน ชนะลักษ์ แก้วชัยในควรรย์ ทันนากานต์ ภิญารดีศิริโรจน์.....27 | |
| ET006 แผนเชื่อมและอาทิตย์จำลองด้วยโปรแกรม MATLAB/Simulink แบบทันเวลา เพชรนิติชรา อัมปาร์ดา วันชัย ทรัพย์สินธ์.....37 | |
| ET007 การประเมินระยะเวลาคำยปฏิรูปแบบด้วยเครื่องนิคต์กับกรดที่ใช้ในระบบ พัฒนาพัฒนาแบบผสมผสาน อภิวัฒน์ อัคคิเมชิน บุญยัง ปล่องกลาง.....45 | |
| ET008 การหาค่าแห่งแรงของเครื่องกำเนิดไฟฟ้าในระบบจ้าหัว่ายด้วยวิธีการเคลื่อนตัวของ กลุ่มอนุภาคที่เหมาะสมที่สุด วีระชัย พ่วงพรพิภักษ์ และ กฤตยาชานน์ ภูมิเกตติพิชญ์.....53 | |
| ET009 การวิเคราะห์และออกแบบคอนเวอร์เตอร์อัตราขยายแรงดันสูงล้ำหัวระบบผลิต กําลังไฟฟ้าจากเชื่อมและอาทิตย์ วีระภาติ ชัยมัน วันชัย ทรัพย์สินธ์.....61 | |
| ET011 การศึกษาความเป็นไปได้ล้ำหัวการประยุกต์ใช้น้ำมันไฟฟ้าในกิจกรรม เพาะเห็ด บ้านเมืองยังคง จังหวัดล้าปาง ปฐมพงศ์ ยะพะง่า อุษิกร ภาจาร์ นิวติ กิจไพบูลย์สุก รวิภา ยงบราญ.....67 | |

การประชุมวิชาการรุปแบบพัฒนาศูนย์ฯแห่งประเทศไทย ครั้งที่ 4
28 - 30 พฤษภาคม 2554 มหาวิทยาลัยราชภัฏสระบุรี

ET008

การหาตำแหน่งของเครื่องกำเนิดไฟฟ้าในระบบจานวนโดยวิธีการเคลื่อนตัวของกลุ่ม อนุภาคที่เหมาะสมที่สุด

Optimal Placement of Distributed Generation System by Using Particle Swarm Optimization

วีระชัย พ่วงพรพิทักษ์ และ กฤตยาธรรม์ ภูมิกิตติพิชญ์
ศูนย์วิจัยระบบไฟฟ้ากำลังและพลังงาน ภาควิชาอิเล็กทรอนิกส์ คณะวิศวกรรมศาสตร์
มหาวิทยาลัยเทคโนโลยีราชมงคลสุโขทัย 39 หมู่ 1 ต. คลองหก อ. สุโขทัย จ.สุโขทัย 12110
โทรศัพท์: 02-549-3571, 085-197-3803 โทรสาร: 02-549-3422 E-mail: au_wrcpppt@hotmail.com

บทคัดย่อ

บทความนี้เป็นการนำเสนอวิธีการหาตำแหน่งและขนาดกำลังการผลิตที่เหมาะสมของเครื่องกำเนิดไฟฟ้าแบบกระจาย
ศักยภาพให้เกิดประโยชน์สูงสุด โดยการวิเคราะห์ใช้แบบจำลองของระบบจานวนอย่างแม่นยำเดียว 26 บัส 25 สายจานวน
มากจากส่วนหนึ่งในระบบจานวนอย่างการไฟฟ้าส่วนภูมิภาค ที่มีกำลังไฟฟ้ารวมของโหลดขนาด 8.49 MW และ 5.97 MVar
กำลังไฟฟ้าจริงที่สูงสุดประมาณในระบบแรกเริ่มขนาด 11.68 kW และ 26.08 kVar การคำนวณการไฟฟ้าของกำลังใช้การคำนวณ
แรงดันแบบไปทางหน้า และการคำนวณกระแสแบบย้อนกลับ ผลการวิเคราะห์แสดงให้เห็นว่าการหาตำแหน่งและขนาดที่
เหมาะสมของเครื่องกำเนิดไฟฟ้าแบบกระจาย ด้วยวิธีการเคลื่อนตัวของอนุภาคเหมาะสมที่สุดทำให้กำลังไฟฟ้าจริงที่สูงสุดเสียใน
ระบบจานวนอย่างลง

คำสำคัญ: เครื่องกำเนิดไฟฟ้าแบบกระจาย, วิธีการเคลื่อนตัวของอนุภาค, ระบบจานวนอย่างแม่นยำเดียว

1. บทนำ

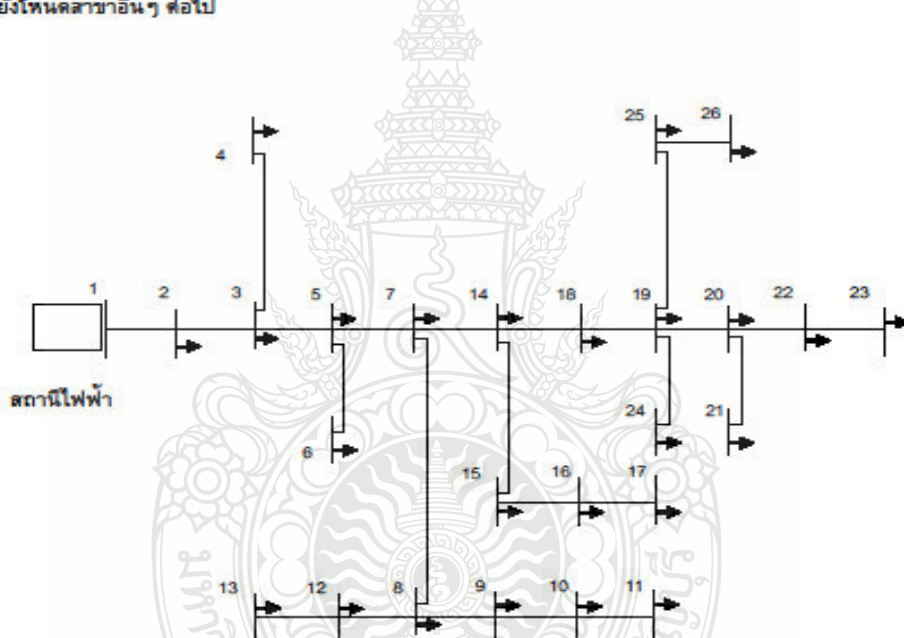
ประเทศไทยมีระบบการส่งกำลังไฟฟ้าในระบบจานวนใหญ่เป็นระบบการส่งจังหวะป้อนหลักแบบเดียว (Radial distribution system) มีการต่อกระจายออกเชิงรังสี เป็นการจัดคุณภาพของวงจรที่ง่ายและมีราคาต่ำที่สุด โดยเป็นการจ่ายไฟฟ้าออก
จากสถานีไฟฟ้าอย่างเพื่อนำมาต่อไฟฟ้าไปจ่ายให้บ้านเรือน เมื่อจากการต่อจะสามารถป้อนหลักแบบเดียวเดียวในมีการซื้อขาย
กับสายป้อนที่มาราฐภานีอยู่อื่นๆ ทำให้มีรือเสียก่อความเสื่อมเกิดฟอล์ต (Fault) ที่สายป้อนใดทำให้สายป้อนนั้นไฟดับทั้งหมด [1] ผลงานให้ประสิทธิภาพในการจ่ายพลังงานไฟฟ้าไปยังโหลดในมีความไม่แน่นอนมีความเสื่อมของระบบเท่าที่ควร เป็น
ผลให้การส่งกำลังไฟฟ้าในระบบจานวนมีคุณภาพกำลังไฟฟ้าและเดียร์หากำลังไฟฟ้าที่ต่ำตามไปด้วย ระบบจานวนอย่างไฟฟ้า
โดยทั่วไปมีกำลังไฟฟ้าสูงสุดประมาณสูงกว่าไฟฟ้า เมื่อจากเป็นระบบที่มีค่าต่อต้านแรงดันต่ำและมีผลกระทบในส่วนของระบบสูงกว่าไฟฟ้า
ด้านท่านหนึ่งยกตัวอย่าง (R/X Ratio) ค่อนข้างสูงทั้งสิ่งที่จะเป็นระบบที่มีระดับแรงดันต่ำและมีผลกระทบในส่วนของระบบสูงกว่าไฟฟ้า
กากลับปุ่งระบบจานวนอย่างไฟฟ้าเพื่อลดกำลังไฟฟ้าสูงสุดที่มีหลักวิธี เช่น การติดตั้ง FACTS ที่เหมาะสมในระบบจานวนเพื่อ
ช่วยจ่ายกำลังไฟฟ้าเรียบคงที่ไฟฟ้าระบบและแก้ปัญหาเพาเวอร์เฟสโซร์เมินกากลับปุ่งไฟฟ้าแรงดันตก [2] และการติดตั้ง capacitor เพื่อ
เพื่อช่วยจ่ายกำลังไฟฟ้าเรียบคงที่ไฟฟ้าในระบบ [3] บทความนี้นำเสนอการวิเคราะห์หาตำแหน่งและขนาดกำลังผลิตของเครื่องกำเนิด

ไฟฟ้าแบบกระจายที่เหมาะสมในระบบจ้างนำ้ย้ายแบบเดียว ทำให้กำลังไฟฟ้าจริงและกำลังไฟฟารีแอคทิฟที่สูญเสียในระบบจ้างนำ้ย้ายลดลง ทำให้ระบบมีเสถียรภาพก้าวเดินไฟฟ้าและความนำ้เยื่อตือได้ดีของระบบจ้างนำ้ย้ายไฟฟ้าที่ดียิ่งขึ้น

หากความนำ้เยื่อของระบบจ้างนำ้ย้ายแบบเดียว ภาระของหลักทรัพย์ในการหาค่าตอบแทน วิธีการเดือนผู้ของอนุภาครีที่เหมาะสมที่สุดในการหาค่าตอบแทนถึงบานปลุปและช้อเลนด์แนะนำหัวข้อวิจัยในขั้นต่อไป

2. ระบบจ้างนำ้ย้ายแบบเดียว

ระบบจ้างนำ้ย้ายแบบเดียวเป็นโครงสร้างระบบจ้างนำ้ย้ายไฟฟ้าที่ง่ายที่สุด มีการจ่ายไฟฟ้าไปยังภูมิภาคไฟฟ้าฝ่ายสายไฟฟ้าเพียงสายเดียว พลังงานไฟฟ้าไม่ไหลไปในทิศทางเดียวกันจากสถานีไฟฟ้าไปยังโทรศัพท์การใช้งาน การวางแผนใช้ระบบจ้างนำ้ย้ายนี้ หากมีโหลดภูมิภาคไฟฟ้าเพิ่มมากขึ้นในอนาคตจะถูกสามารถเพิ่มระบบจ้างนำ้ย้ายแบบเดียวให้ก่อภัยเป็นระบบจ้างนำ้ย้ายใหม่ๆ หรือระบบจ้างนำ้ย้ายแบบร่างเหล็กไปได้ ระบบจ้างนำ้ย้ายไฟฟ้าแบบเดียวมีใช้สำหรับจ้างนำ้ย้ายไฟฟ้าไปยังภูมิภาคไฟฟ้าในพื้นที่ที่กว้างขวางเช่นประเทศใหญ่ เช่นจีนและจีนใต้ ประเทศจีนและจีนใต้มีระบบจ้างนำ้ย้ายไฟฟ้าที่มีขนาดใหญ่และซับซ้อนมาก แต่การจ่ายไฟฟ้าในภูมิภาคจีนและจีนใต้ยังคงอยู่ในระดับต่ำๆ และต้องต่อรองการวางแผนเพิ่มเติมการจ่ายไฟฟ้าไปยังภูมิภาค [4] ที่มีการบังคับระบบจ้างนำ้ย้าย 26 มัลติ 25 สายจ้างนำ้ย้ายตั้งรูปที่ 1 และตารางที่ 1 ซึ่งแสดงผลของการจ่ายไฟฟ้าในภูมิภาค [4] ที่มีการจ่ายไฟฟ้ารวมของโหลดขนาด 8.49 MW และ 5.28 MVar กำลังไฟฟ้าที่สูญเสียรวมในระบบแรกเริ่มเริ่มต้นที่ 11.68 kW และ 26.08 kVar บัสที่ 1 เป็นหนึ่งในจุดที่เริ่มต้นของระบบส่งโดยผ่านสถานีเชื่อม การเชื่อมต่อโหนดลากาจจะเริ่มต้นที่บัสที่ 1 ไปยังบัสที่ 2 แล้วต่อไปยังโหนดลากาจอื่นๆ ต่อไป



รูปที่ 1. แผนภาพเดินเรียวกองระบบจ้างนำ้ย้ายแบบเดียว 26 มัลติ 25 สาย

ตารางที่ 1 ข้อมูลระบบสำหรับ 26 บัส

| บัส | ข้อมูลบัส | | ข้อมูลสายนำเข้า/ออก | | | | |
|-----|------------|-------|---------------------|-------------|----------|----------|--------------------|
| | ขนาด MW | MVAr | จาก บัส | เข้า บัส | R(pu) | X(pu) | พิกัดสถาน (MVA) |
| 1 | 0.000 | 0.000 | 2 | 3 | 0.000177 | 0.000319 | 20 |
| 2 | 0.369 | 0.221 | 3 | 4 | 0.000469 | 0.001089 | 20 |
| 3 | 0.369 | 0.221 | 3 | 5 | 0.000362 | 0.000840 | 20 |
| 4 | 0.369 | 0.221 | 5 | 6 | 0.000053 | 0.000127 | 20 |
| 5 | 0.369 | 0.221 | 5 | 7 | 0.000067 | 0.000156 | 20 |
| 6 | 0.369 | 0.221 | 7 | 8 | 0.000253 | 0.000498 | 16 |
| 7 | 0.369 | 0.221 | 8 | 9 | 0.000068 | 0.000134 | 16 |
| 8 | 0.369 | 0.221 | 9 | 10 | 0.000192 | 0.000377 | 16 |
| 9 | 0.369 | 0.221 | 10 | 11 | 0.000040 | 0.000078 | 16 |
| 10 | 0.369 | 0.221 | 8 | 12 | 0.000301 | 0.000592 | 16 |
| 11 | 0.369 | 0.221 | 12 | 13 | 0.000127 | 0.000250 | 16 |
| 12 | 0.369 | 0.221 | 7 | 14 | 0.000336 | 0.000780 | 20 |
| 13 | 0.369 | 0.221 | 14 | 15 | 0.000022 | 0.000054 | 20 |
| 14 | 0.369 | 0.221 | 15 | 16 | 0.000032 | 0.000075 | 20 |
| 15 | 0.369 | 0.221 | 16 | 17 | 0.000015 | 0.000036 | 20 |
| 16 | 0.369 | 0.221 | 14 | 18 | 0.000415 | 0.000963 | 20 |
| 17 | 0.214 | 0.761 | 18 | 19 | 0.000090 | 0.000210 | 20 |
| 18 | 0.272 | 0.210 | 19 | 20 | 0.000881 | 0.002045 | 20 |
| 19 | 0.369 | 0.221 | 20 | 21 | 0.000204 | 0.000473 | 20 |
| 20 | 0.369 | 0.221 | 20 | 22 | 0.001626 | 0.003772 | 20 |
| 21 | 0.369 | 0.221 | 22 | 23 | 0.000014 | 0.000034 | 20 |
| 22 | 0.369 | 0.221 | 19 | 24 | 0.000128 | 0.000297 | 20 |
| 23 | 0.250 | 0.200 | 19 | 25 | 0.000845 | 0.00196 | 20 |
| 24 | 0.250 | 0.200 | 25 | 26 | 0.000919 | 0.002131 | 20 |
| 25 | 0.250 | 0.200 | | | | | |
| 26 | 0.250 | 0.200 | | | | | |

3. การวางแผนหลักทรัพย์ในการหาค่าตอบ

วิธีการหาค่าตอบของปัญหาการหาค่าแพนและขนาดกำลังการผลิตที่เหมาะสมของเครื่องกำเนิดไฟฟ้าแบบกระจายไฟฟ้าทั่วโลก ให้กับชุดข้อมูลที่ได้รับ คือ การหาค่าตอบที่มุ่งเน้นเพื่อลดภาระสูญเสียไฟฟ้าจริงในระบบสำหรับนายไฟฟ้า [6] โดยมีพัฒนาการที่สำคัญประดิษฐ์และสมการที่ (1) เพื่อลดภาระสูญเสียในสายส่งให้โดยทั่วไปและเป็นไปตามสมการรวมคุณลักษณะของไฟฟ้าดังสมการที่ (2)

$$P_L = \sum_{k=1}^{N_B} L \cos_k \quad (1)$$

$$\sum_{i=1}^N P_{D,i} = \sum_{i=1}^N P_{D,i} + P_L \quad (2)$$

ปัจจัยที่พิจารณาของแรงดันไฟฟ้าและกระแสในสาย [6] เป็นดังสมการที่ (3) และ (4)

$$|V_i|^{\min} \leq |V_i| \leq |V_i|^{\max} \quad (3)$$

$$|I_r| \leq |I_{\bar{r}}|^{\max} \quad (4)$$

| | |
|--------------------|--|
| P_L | คือกำลังไฟฟ้าจริงที่สูญเสียในสายส่งทั้งหมด |
| Loss_k | คือกำลังไฟฟ้าจริงที่สูญเสียในสายส่งที่ k |
| N_{∞} | คือจำนวนสายส่งทั้งหมด |
| P_{DG} | คือกำลังไฟฟ้าจริงของ DG ที่ผลิตเข้าบัส i |
| P_D | คือความต้องการกำลังไฟฟ้าจริงที่บัส i |
| $ V_i $ | ค่าขนาดแรงดันที่บัส i |
| $ V_i ^m, V_j ^m$ | ค่าขอบเขตที่สูตรสูงสุด ของแรงดันที่บัส |
| $ ij $ | ค่าขนาดกระแสระหว่างบัส i และ j |
| $ I_L ^m$ | ค่าพิกัดกระแสสูงสุด |

ข้อจำกัดของเบต้าการคำนวณของเครื่องกำเนิดไฟฟ้าแบบฟากท์ [5] ได้แก่

แบบที่ 1 เป็น DG ที่สามารถจ่ายໄด้เฉพาะกำลังไฟฟ้าจริง เช่น การผลิตด้วยแม่เหล็กถาวรแม่เหล็ก

$$P_{DG} = P_D - \frac{1}{A_H} \sum_{j=1}^N (A_y P_j - B_y Q_j) \quad (5)$$

แบบที่ 2 เป็น DG ที่สามารถจ่ายໄด้เฉพาะกำลังไฟฟ้ารีแอคทีฟ เช่น ชิงโครนัสคอมเพนเซอร์ (Synchronous condenser) ดัง

$$Q_{DG} = Q_D - \frac{1}{A_H} \sum_{j=1}^N (A_y Q_j - B_y P_j) \quad (6)$$

แบบที่ 3 เป็น DG ซึ่งสามารถจ่ายกำลังไฟฟ้าจริง แต่ต้องการกำลังไฟฟ้ารีแอคทีฟ เช่น เทอร์บินพลังงานลมและคงได้ดังสมการที่ (7)

$$0.0032 A_y P_{DG} + P_{DG} [1.004 A_H + 0.08 A_H Q_{DG} - 0.087] + (X_i - A_H P_{DG}) = 0 \quad (7)$$

แบบที่ 4 เป็น DG ซึ่งสามารถจ่ายกระแสเดบบันที่บัส กรณีนี้ได้แก่เครื่องกำเนิดไฟฟ้าซึ่งติดตั้งที่เจเนอเรเตอร์บัส (Generator bus) ที่ใช้ในการคำนวณการไฟฟ้าของกำลังในระบบไฟฟ้า (Load flow) มีกำลังไฟฟ้าจากเครื่องกำเนิดไฟฟ้า ดังสมการที่ (8)

$$\beta_j = P_{DGj} - \beta_j - \frac{1}{A_H} \sum_{j=1}^N (A_y P_j - B_y Q_j) \quad (8)$$

โดยที่

$$P_L = \sum_{i=1}^N \sum_{j=1}^N A_y (P_i P_j + Q_i Q_j) + B_y (Q_i P_j - P_i Q_j) \quad (9)$$

$$A_y = \frac{R_y \cos(\delta_i - \delta_j)}{V_i V_j} \quad (10)$$

$$B_y = \frac{R_y \sin(\delta_i - \delta_j)}{V_i V_j} \quad (11)$$

- P_i คือ กำลังไฟฟ้าจริงที่สายเข้าบัส i
 Q_i คือ กำลังไฟฟ้าและค่าฟที่สายเข้าบัส i
 R_{ij} คือ ความต้านทานในสายส่งระหว่างบัส i และ j
 s คือ บุนท์บัส i และ j

4. วิธีการเคลื่อนทัวร์ของกลุ่มอนุภาคที่เหมาะสมที่สุดในการหาค่าตอบ

วิธีการเคลื่อนทัวร์ของกลุ่มอนุภาคที่เหมาะสมที่สุดในการหาค่าตอบที่มีพื้นฐานเดียวกันแบบพฤติกรรมทางลังกวนและพอลคาลต์ร์การเคลื่อนไหวของผู้คนโดย Kennedy และ Eberhart (1995) เห็นได้ว่าบันทึกที่ต้องการจะหาค่าตอบที่ตัวแปรมีค่าต่ำกว่าต้นที่ ซึ่งประสมความสำเร็จในการนำไปใช้หาค่าตอบที่หลักหลาย โดยมีข้อดีหลักของวิธีการ คือสามารถหาค่าตอบที่เหมาะสมที่สุดได้อย่างมีประสิทธิภาพ เป็นที่นิยมที่สุด ซึ่งค่าตอบที่เหมาะสมที่สุด จะถูกค้นหาอย่างเป็นที่นิยม โดยอาศัยหลักการเคลื่อนที่เปลี่ยนค่าแทนไปของอนุภาคตามเวลาภัยในสเปชของค่าตอบ ซึ่งการเคลื่อนที่ของแท่นอนุภาคจะขึ้นอยู่กับประสมการถอยของมันเองและคำนึงประสมการถอยของอนุภาคที่อยู่ข้างเคียง [5] โดยความเร็วและค่าแทนไปของอนุภาคได้ดังสมการ (12) และ (13)

$$Y_{it}^{t+1} = W Y_{it}^t + Rand_1(C_1(Pbest_{it}) - X_{it}^t) + Rand_2(C_2(Gbest_{it}) - X_{it}^t) \quad (12)$$

$$X_{it}^{t+1} = X_{it}^t + Y_{it}^{t+1} \quad (13)$$

- X_{it}^t คือ ค่าแทนไปของอนุภาค i ของตัวแปร t ในรอบการคำนวณที่ t
 X_{it}^{t+1} คือ ค่าแทนไปของอนุภาค i ของตัวแปร t ในรอบการคำนวณที่ t+1
 V_i^t คือ ความเร็วในการเปลี่ยนค่าแทนไปของอนุภาค i ของตัวแปร t ในรอบการคำนวณที่ t
 V_{it}^{t+1} คือ ความเร็วในการเปลี่ยนค่าแทนไปของอนุภาค i ของตัวแปร t ในรอบการคำนวณที่ t+1
 $Rand_1, Rand_2(0)$ คือ ตัวเลขสุ่มระหว่าง 0 ถึง 1
 $Pbest_{it}$ คือ ค่าแทนไปที่ดีที่สุดของอนุภาค i ของตัวแปร t
 $Gbest_{it}$ คือ ค่าแทนไปที่ดีที่สุดในทุกๆ อนุภาคของตัวแปร i
 w คือ ค่าถ่วงน้ำหนัก
 C_1, C_2 คือ ค่าคงที่

การกำหนดค่าตัวแปรในวิธีการเคลื่อนทัวร์ของกลุ่มอนุภาคมีความสำคัญในการถูกรักษาของค่าตอบดังนี้ จึงต้องกำหนดค่าตัวแปร ดังนี้ ให้เหมาะสมที่สุดในการปั้นค่าถ่วงน้ำหนักและวัดค่าพารามิเตอร์ตามสมการ (14)

$$W = W_{max} - \frac{W_{max} - W_{min}}{k} t \quad (14)$$

- W_{min} คือ ขอบเขตล่างของค่าถ่วงน้ำหนัก
 W_{max} คือ ขอบเขตบนของค่าถ่วงน้ำหนัก
 t คือ รอบการคำนวณปัจจุบัน
 k คือ รอบการคำนวณทั้งหมด
 วิธีการเคลื่อนทัวร์ของอนุภาคที่เหมาะสมที่สุดในการหา ค่าแทนไปและขนาดกำลังการผลิตที่เหมาะสมของเครื่องกำเนิดไฟฟ้าแบบกระแสฟาร์มาดอร์บินอย่างดีตามขั้นตอนดังที่อ้างไปนี้ [5]

ขั้นตอนที่ 1: จัดเรียงค่าพารามิเตอร์ทั่วๆ ในระบบเข้าหากันที่จะมากคล่องเพื่อให้เข้าสู่โปรแกรมคอมพิวเตอร์ในการคำนวณ

ขั้นตอนที่ 2: เมื่อได้พารามิเตอร์ส่างๆจากขั้นตอนที่ 1 แล้วก็มาคำนวณการไฟฟ้ากลับไฟฟ้าในระบบสำหรับ่ายที่จะมาทดสอบเพื่อหาค่าแรงดันและกระแสที่บัสส่างๆ

ขั้นตอนที่ 3: ขั้นตอนนี้เริ่มเป้าสู่กระบวนการคำนวณการวิธีการเดื่อนตัวของอนุภาคที่เหมาะสมที่สุดแล้วโดยการเริ่มการสุ่มค่า ขนาดและตำแหน่งของเครื่องกำเนิดไฟฟ้าแบบกระจายซึ่งหมายความว่าในการสุ่มค่าขึ้นอยู่กับว่าต้องการในการทดสอบเท่าใด

ขั้นตอนที่ 4: นำค่าขนาดและการวางแผนของเครื่องกำเนิดไฟฟ้าแบบกระจายในขั้นตอนที่ 3 เพื่อคำนวณพารามิเตอร์ไฟฟ้าที่สูญเสียในระบบสำหรับ่ายที่จะมาทดสอบ จากผลการวัดอุปะสงค์

ขั้นตอนที่ 5: บันทึกค่าธรรมเนียมค่าที่ต้องจ่ายก่อนอนุภาคในเกลุ่ม P_{best}

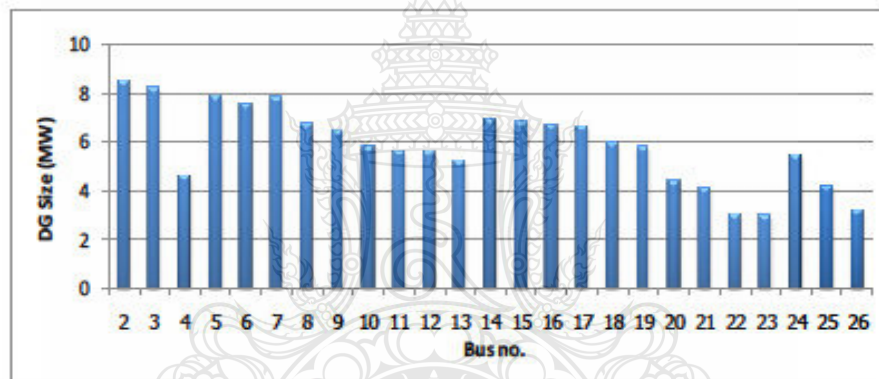
ขั้นตอนที่ 6: บันทึกค่าธรรมเนียมค่าที่ต้องจ่ายก่อนอนุภาคในกลุ่มจะแทนด้วย G_{best}

ขั้นตอนที่ 7: ปรับปรุง สำหรับเริ่มและดำเนินการที่ถูกปรับปรุงแต่ละอนุภาคจะสามารถคำนวณได้จากความเร้าในบัสอุปะสงค์และระยะเวลาห่างระหว่าง P_{best} กับ G_{best}

ขั้นตอนที่ 8 : ตรวจสอบการทำงานของกระบวนการจัดการกําหนดที่ตั้งไว้หรือยังถ้ายังไม่ได้ให้ทำการปรับปรุงไปสู่กระบวนการที่ 4 แต่ถ้าครบกําหนดไปสู่กระบวนการที่ 9 ท่อไป

ขั้นตอนที่ 9 : ให้ขนาดและตำแหน่งของเครื่องกำเนิดไฟฟ้าแบบกระจาย จากการคำนวณการวิธีการเดื่อนตัวของอนุภาคที่เหมาะสมที่สุด

ระบบสำหรับ่ายของกระแสไฟฟ้าส่วนภูมิภาค ที่มีกำลังไฟฟ้ารวมของโหลดขนาด 8.49 MW 5.97 MVar กำลังไฟฟ้าจริง และกำลังไฟฟ้าเรียกที่สูญเสียรวมในระบบแรกเริ่มขนาด 11.68 kW และ 26.08 kVar ใช้ Base MVA = 10 MVA. และ Base kV = 12.66 kV ผลการจำลองโดยใช้โปรแกรม MATLAB หลังติดตั้ง DG สำ้างๆ และตัวรุปที่ 2.3 และตารางที่ 2



รูปที่ 2. ขนาด DG ที่เหมาะสมของระบบสำหรับ่าย 26 บัส 25 สายสำหรับ



รูปที่ 3. ศักยภาพไฟฟ้าจักรงสูญเสียหลังติดตั้ง DG ของระบบชำาไฟย 26 บัส 25 สายชำาไฟ

ตารางที่ 2 ผลการจำลองระบบชำาไฟแบบเรเดียล 26 บัส หลังการติดตั้ง DG

| บัส | ขนาด DG | กำลังไฟฟ้าจริง | กำลังไฟฟ้า |
|-----|---------|----------------|------------|
| | | KW | KVar |
| 2 | 8.5068 | 10.3303 | 23.6133 |
| 3 | 8.2344 | 7.0983 | 16.1083 |
| 4 | 4.655 | 8.9869 | 18.2133 |
| 5 | 7.9302 | 5.0501 | 11.3533 |
| 6 | 7.5529 | 5.3496 | 12.0645 |
| 7 | 7.8503 | 4.7509 | 10.6558 |
| 8 | 6.7771 | 5.2995 | 11.7565 |
| 9 | 6.5012 | 5.5076 | 12.1832 |
| 10 | 5.8049 | 6.0814 | 13.3722 |
| 11 | 5.6715 | 6.201 | 13.621 |
| 12 | 5.6622 | 6.2157 | 13.654 |
| 13 | 5.2797 | 6.5582 | 14.3781 |
| 14 | 6.8498 | 4.5514 | 10.1737 |
| 15 | 6.8578 | 4.6306 | 10.3651 |
| 16 | 6.7209 | 4.758 | 10.5587 |
| 17 | 6.655 | 4.8235 | 10.8134 |
| 18 | 5.9951 | 4.8151 | 10.7488 |
| 19 | 5.8298 | 4.8684 | 10.865 |
| 20 | 4.4216 | 5.3569 | 13.3004 |
| 21 | 4.1464 | 6.2798 | 14.0268 |
| 22 | 3.0244 | 7.4421 | 16.6189 |
| 23 | 3.0156 | 7.4532 | 16.645 |
| 24 | 5.4807 | 5.2573 | 11.7482 |
| 25 | 4.1998 | 6.5872 | 14.7431 |
| 26 | 3.214 | 7.7049 | 17.2457 |

5. สุรุป

บทความนี้นำเสนอการศึกษาการวิเคราะห์ทางนาฬิกาและสำหรับการติดตั้ง DG ที่เหมาะสมด้วยการวิเคราะห์การไฟฟ้าส่วนที่ให้มาในระบบ การวิเคราะห์ใช้แบบจำลองของระบบจ่ายไฟฟ้าแบบเรตติ่ง 26 มัลติ 25 สายจ่ายไฟฟ้า ซึ่งตัดแปลงมาจากส่วนหนึ่งในระบบจ่ายไฟฟ้าอย่างการไฟฟ้าส่วนภูมิภาค ที่มีกำลังไฟฟ้ารวมของโหลดคิดเป็น 8.49 MW 5.97 MVar กำลังไฟฟ้าจริงและกำลังไฟฟ้ารีแอคทีฟที่สูงสุดเท่ากับในระบบแรก 11.08 kW และ 26.08 kVA ไฟ Base MVA = 10 MVA. และ Base kV = 12.66 kV ผลการจำลองพบว่า สำหรับที่ติดตั้ง DG ที่เหมาะสมที่สุดคือบล็อกที่ 14 ขนาด 8.95 MW จะทำให้กำลังไฟฟ้าจริงและกำลังไฟฟ้ารีแอคทีฟที่สูงสุดเท่ากับในระบบเดิมเพียง 4.55 kW. และ 10.18 kVar. จะพบว่ากำลังไฟฟ้าที่สูงสุดเท่ากับในระบบลดลง 61 % ทั้งนี้เนื่องจากสำหรับ DG ที่ติดตั้งในระบบจ่ายไฟฟ้าอย่างเป็นอิ่มๆ ด้วย

เอกสารอ้างอิง

- [1] ชาดิต สารัชวัฒน์, "การส่งขายกำลังไฟฟ้า", พอก.ເອງ-ເອນ ກາວພິມທີ: ບວັດທີ ຂໍເລືອດເຊົ້າ, ຈຳກັດ, 2533, ພັນຍາ 93-94.
- [2] ຈັກິວິນທີ ວິເຄາະຍາ, "ການວິເຄາະທຸກສໍາແນະນະການປິດຕົວ FACTS ທີ່ເຫັນມາໃນຮະບນຈ່າທຸກໄປໂຄຍວິເຄີຖຸນອນຸກາດ", ວິທະຍານິພັນມີວິຊາອູ້າໂທ ສາຂາວິຊາວິគວຽມໄຟຟ້າ ຄະແວກວຽມຄາລົງ ມາກິທະຍາລັບທິດໂຄຍວິເຄີຖຸນອູບັນ, 2554.
- [3] ຂວັງ ດີວິລັງກາສ, "ການຫາສໍາແນະນະແລະຫາດຕົດຕັ້ງຄາປາຊີເຕີວິແນ່ງທີ່ເຫັນມາເພື່ອຄົດກຳລັງ ສູງເລີຍໃນຮະບນຈ່າທຸກໄປຟ້າ ພ້ອມທີ່ສໍານັກເປັນເປັນເຊີງຄວາມໄປປັນເຊີງເພື່ອອະນຸຍາກໂທ ສາຂາວິຊາວິគວຽມໄຟຟ້າ ຄະແວກວຽມຄາລົງ ມາກິທະຍາລັບ ເກໂຄໂນໂຄຍພະຈອນເກົ່າພະຮະຄະເໜືອ, 2550.
- [4] ນຸ້ຍຸດຖິ່ນ ກອງພູດ, "ການກຳຫາດສໍາແນະນະແລະຫາດຕົດຕັ້ງຄາປາຊີເຕີວິແນ່ງທີ່ເຫັນມາເພື່ອຄົດກຳລັງ ສູງເລີຍ ໂດຍສໍານັກເປັນເປັນເຊີງຄວາມປິດພົອງໃນຮະບນເຄືອງປ້າຍຈ່າທຸກໄປຟ້າ", ວິທະຍານິພັນມີວິຊາອູ້າໂທ ສາຂາວິຊາວິគວຽມໄຟຟ້າ ຄະແວກວຽມຄາລົງ ມາກິທະຍາລັບ ແກ່ນຄະຄາລົງ, 2552.
- [5] W. Krueasuk, "Optimal placement size and location of DG using particle swarm optimization," Sripatum University, 2550.
- [6] W. Prommee and W. Ongsakul, "Optimal multiple distribute generation placement in microgrid system by improved reinitialized social structures particle swarm optimization," European Transactions on Electrical Power, 2011, pp. 489-504

Electrical Engineering Network 2012

of Rajamangala University of Technology (EENET 2012)



CONFERENCE TOPICS

GROUP 1 (PE)
Power Electronics, Electric Machines, Motor Control and Drive, Measurement, Control and Robotics.

GROUP 2 (PW)
Power System, Transmission and Distribution, High Voltage and Electrical Energy, Generating Systems.

GROUP 3 (RE)
Renewable Energy, Energy Saving Technologies, Industry Specific Energy Conversion and Conditioning Technologies, Materials for Energy and Environment.

GROUP 4 (TE)
Telecommunication, Electronics, Information and Communication Technologies, Antennas, Microwave Theory and Techniques.

GROUP 5 (CP)
Computer Technologies and Network, Computer Graphics, Machine Learning and Human-Computer Interaction.

GROUP 6 (GN)
Education in Electrical Engineering, Simulation Software and Design tools, Related Topics in Electrical Engineering.



GRAND PARADISE HOTEL

Nong Khai, THAILAND

April 3-5, 2012

การประชุมวิชาการเครือข่ายวิชากรรมไฟฟ้า มหาวิทยาลัยเทคโนโลยีราชมงคล ครั้งที่ 4 วันที่ 3-5 เมษายน 2555

**รายชื่อผู้คิดเห็นทางความคิดเห็นการประชุมเครือข่ายวิชาการวิศวกรรมไฟฟ้า
มหาวิทยาลัยเทคโนโลยีราชมงคล ครั้งที่ 4**

ดร. ดร. วีระเชษฐ์ ขันเงิน

ดร. ดร. วิจิตร กิมเบรด

ดร. ดร. มานะ ศิริปรัชญาณนท์

ดร. ดร. เวศิน ปีระรัตน์

ดร. ดร. ภาคชา พวงคำเรือง

ดร. ดร. วิบูลย์ ชื่นแยก

ดร. ดร. เสธิยะ ชัยอุณุศิริพันธ์

ผศ. ดร. แนนบุญ ทุมเจริญ

ผศ. ดร. อภินันท์ อุรlosกษณ

ผศ. ดร. วรวัฒน์ เส่งย่อมวิบูล

ผศ. ดร. อากิต อีสไตร์ โยม

ผศ. ดร. พศศิลป์ ทำละอ้อ

ผศ. ดร. กองพล อาริรักษ์

ดร. อุทาธนา ขาสุวรรณ

ดร. นิวัติ วงศ์วิคิรย์พันธ์

ดร. ดร. โภคาราไฟโรจน์

ดร. อุทา那就 คำน่านาน

นายพวงศ์ นันกอกคล

ผศ. กฤตยา อิ่งขัน

นายเอกกานัน พฤกษาวรรณ

ดร. จัตถุฤทธิ์ ทองประอน

ผศ. ชาญชัย เศรษฐรัตน์

ดร. จักรกฤษณ์ เคดีวนวัจ

นายสมนึก เครือส่อน

นายทัศนะ คอมทอง

นายพวงศ์ฤทธิ์ พิมพ์คำวงศ์

ผศ. อภิศักดิ์ ขันแก้วหล้า

มหาวิทยาลัยเทคโนโลยีราชมงคลล้านนาภาคพายัพ เชียงใหม่

มหาวิทยาลัยเทคโนโลยีราชมงคลล้านนาภาคพายัพ เชียงใหม่

มหาวิทยาลัยเทคโนโลยีราชมงคลล้านนาภาคพายัพ เชียงใหม่

มหาวิทยาลัยเทคโนโลยีราชมงคลล้านนาภาคพายัพ เชียงใหม่

มหาวิทยาลัยเทคโนโลยีราชมงคลล้านนาภาคพายัพ เชียงใหม่

มหาวิทยาลัยเทคโนโลยีราชมงคลล้านนาภาคพายัพ เชียงใหม่

มหาวิทยาลัยเทคโนโลยีราชมงคลล้านนา เชียงใหม่

มหาวิทยาลัยเทคโนโลยีราชมงคลล้านนา เชียงใหม่

มหาวิทยาลัยเทคโนโลยีราชมงคลล้านนา เชียงใหม่

มหาวิทยาลัยเทคโนโลยีราชมงคลล้านนา เชียงใหม่

มหาวิทยาลัยเทคโนโลยีราชมงคลล้านนา เชียงใหม่

มหาวิทยาลัยเทคโนโลยีราชมงคลล้านนา เชียงใหม่

การประชุมวิชาการเครือข่ายวิชากรรมไฟฟ้า มหาวิทยาลัยเทคโนโลยีราชมงคลครั้งที่ 4 วันที่ 3-5 เมษายน 2555

พศ.สุรเสนาธิ แสงนาวน
นายอเอกลักษณ์ สุมนพันธุ์
นายปริชา มหาไม้
นายก่อเกียรติ อ้วนควรพย์
รศ.ดร.ธวัช เกิดเรือง
ดร.พินิจ คงธาร
พศ.ประเสริฐ ทีโอนหมื่นไวย
พศ.พันธ์พงษ์ อภิชาตคุล
พศ.สุทธินันท์ ดีนโพธิ์
พศ.ศิริชัย ลาภาสาระน้อย
พศ.กฤตวิทย์ บัวใหญ่
พศ.วุฒิชัย สร้างงาม
นายกิตติวุฒิ จินนະบุตร
นายรุ่งเพชร ก่องนกอก
นายอekiจิต ศุภุมวงศ์
นางอุษา คงเมือง
นายอัคติสรรค์ วิชิต
ดร.วรรษวิริย์ วงศ์ไตรรัตน์
นายบุญช่วย เจริญผล
นายอุติวัฒน์ คงวัฒนประเสริฐ
นายชูศักดิ์ สุขุมจันติธรรม
นายวินัย เมฆาวิทิก
นายชาญฤทธิ์ ธรรมารสันติสุข
นายประทุมตัด กองสุข
นายกัปตันพงศ์ อัญชันภานี
นายสมพลด โภคทรี
นายทักษิณ พันธุ์สุวรรณภัต
นายจตุรงค์ จตุรเดชชัยสกุล
นายพูนศักดิ์ วรรณภาร
ดร.ยั้งพงศ์ พันธุ์วนะ

การประชุมวิชาการเครือข่ายวิชากรรมไฟฟ้า มหาวิทยาลัยเทคโนโลยีราชมงคลครั้งที่ 4 วันที่ 3-5 เมษายน 2555

คร.นันวุฒิ รักไทยเจริญชัย
นายนิติพันธ์ คุณประเสริฐ
นายธนาวัฒน์ ดันมณีประเสริฐ
นายสุกฤษฎิ์ เนตรโพธิ์แก้ว
นายทง ล้านธรรมทอง
นายสมเกียรติ ห่องแก้ว
พศ.พิชัย ควรพางย์
นายมนัส บุญเติรทอง
นายพนา ศุสิตาการ
พศ.กิจชา ลักษณ์อ่านวิถีการ
พศ.โภคสุล นิธิโสภาค
พศ.จรินทร์ อุลวานิช
นายนิลเมธ นิลศา
นายเกรียงไกร เหลืองอ้าวผล
นายวนพันธ์ วัชรุต
นายพัชร์วิวนาร์ ห่องรักษ์
พศ.ศรีศักดิ์ น้อยไร่ภูมิ
พศ.คร.ประมุข อุษาเหล็ก
นางสาวพัชรินันท์ ศรีธนานุหักษ์
พศ.สรายุทธ ห่องกุลภัทร
พศ.วารุณี ศรีสังเคราะນ
คร.อุทาธนา ถันทะพะເຫາ
พศ.เฉลิมพล เว่องพัฒนาวิวัฒน์
พศ.กระจาง พิทักษ์วงศ์วิทยา
คร.ศรีสุค่า ใจห้องสุก
รศ.นันภัทร วัฒนาพินทร์
รศ.สมพันธ์ อ้าพาวัน
คร.ชุวงษ์ วัฒนศักดิ์กุบาล
พศ.วิสุทธิ์ พงศ์พุกยานพา
คร.ธิยา แก้วอาษา

การประชุมวิชาการเครือข่ายวิชากรรมไฟฟ้า มหาวิทยาลัยเทคโนโลยีราชมงคล ครั้งที่ 4 วันที่ 3-5 เมษายน 2555

คร.นันธิโรจัน พรสุวรรณเจริญ
คร.เมฆา ทักษิร
คร.นาพน พิพัฒน์ไพบูลย์
 พศ.วิชัย ครองกิจศิริ
นายเอกวิทย์ หาอักกวังษ์
นายวีระ ธันยเกียรติ
นายวัก สกุลพงศ์
นายอนครินทร์ ศรีปัญญา
นายอุดมชา สมสืบ
นายจงเจริญ ศรีมนูญ
นายอุฤทธิญา บุญมีวงศ์
นายจิรพงศ์ ศรีวิชัย
นายวีระชัย จรบุรุษ
นายปฏิวัติ บุญมา^๔
นายเฉลิม เกคุณแก้ว
 พศ.คร.ปริชา สาคະรังค์
คร.ภัคવัฒน์ จันทร์ศรี
นายไพบูลย์ เกียรติสุขคงธรรม^๕
รศ.พันธ์ พิริยะวรรธน์
 พศ.ประวิช เบรียณหนึ่ม่อน
 พศ.คร.ศักดิ์ระวี ระวิกุล
 พศ.ประยงค์ เสาร์แก้ว
 พศ.จักรวัฒน์ บุตรบุญชู
 คร.สุรัส หันตี
 คร.ธรรมรงค์ ลิว่าเจ่อง
 พศ.คร.สมชัย หิรัญญาโรม
 พศ.คร.วันชัย ทวีวงศ์สิงหนี
 พศ.วิชัย พคุณศิลป์
 พศ.ศิริชัย แคลงอ่อน
 พศ.ณัจัณพิ โสมะเกียรติ

การประชุมวิชาการเครือข่ายวิศวกรรมไฟฟ้า มหาวิทยาลัยเทคโนโลยีราชมงคลชั้นนำ ครั้งที่ 4 วันที่ 3-5 เมษายน 2555

| | | |
|--------------------------|---|-----------------------------------|
| ดร.ฉัตรชัย | ศุภพิทักษ์สกุล | มหาวิทยาลัยเทคโนโลยีราชมงคลชั้นนำ |
| ดร.บุญยัง | ปลัดกลาโหม | มหาวิทยาลัยเทคโนโลยีราชมงคลชั้นนำ |
| ดร.อุรินทร์ | แห่งมานาม | มหาวิทยาลัยเทคโนโลยีราชมงคลชั้นนำ |
| ดร.กฤชย์ชานน์ | ภูมิคิดพิพารชย์ | มหาวิทยาลัยเทคโนโลยีราชมงคลชั้นนำ |
| ดร.อัญวิภากร | พันธ์คง | มหาวิทยาลัยเทคโนโลยีราชมงคลชั้นนำ |
| นายพินิจ | จิตจิรัง | มหาวิทยาลัยเทคโนโลยีราชมงคลชั้นนำ |
| นายสมชาย | เปรียนสูงเนิน | มหาวิทยาลัยเทคโนโลยีราชมงคลชั้นนำ |
| นายพร้อมศักดิ์อภิรติกุล | | มหาวิทยาลัยเทคโนโลยีราชมงคลชั้นนำ |
| นายนิติพงศ์ | ปานกลาง | มหาวิทยาลัยเทคโนโลยีราชมงคลชั้นนำ |
| นายธีระพล | เหมือนขาว | มหาวิทยาลัยเทคโนโลยีราชมงคลชั้นนำ |
| นายณัฐพล | หาอุป lokale="center">มหาวิทยาลัยเทคโนโลยีราชมงคลชั้นนำ | |
| พศ.จินดนา | นาคะสุวรรณ | มหาวิทยาลัยเทคโนโลยีราชมงคลชั้นนำ |
| พศ.ปรางษ์ | คำนวณ | มหาวิทยาลัยเทคโนโลยีราชมงคลชั้นนำ |
| ดร.อัคกิ ศรีวนนท์จัตุร | | มหาวิทยาลัยเทคโนโลยีราชมงคลชั้นนำ |
| ดร.อ่านวย | เรืองอ่านวย | มหาวิทยาลัยเทคโนโลยีราชมงคลชั้นนำ |
| ดร.ไพบูลย์ | รักเหลือ | มหาวิทยาลัยเทคโนโลยีราชมงคลชั้นนำ |
| นายวิโรจน์ | พิราженนรัช | มหาวิทยาลัยเทคโนโลยีราชมงคลชั้นนำ |
| นายพงษ์ศักดิ์ อ้วกว่า | | มหาวิทยาลัยเทคโนโลยีราชมงคลชั้นนำ |
| นายบุญยัง | บนบอน | มหาวิทยาลัยเทคโนโลยีราชมงคลชั้นนำ |
| นายอภิรดา | นามแสง | มหาวิทยาลัยเทคโนโลยีราชมงคลชั้นนำ |
| ดร.อุทินัน | พรอบุรักษ์ | มหาวิทยาลัยเทคโนโลยีราชมงคลชั้นนำ |
| ดร.วันอ วิชัยพาณิชย์ | | มหาวิทยาลัยเทคโนโลยีราชมงคลชั้นนำ |
| ดร.กิตติวัฒน์ น้ำเมืองคล | | มหาวิทยาลัยเทคโนโลยีราชมงคลชั้นนำ |
| พศ.อิรุอาวณุ | ปิติมล | มหาวิทยาลัยเทคโนโลยีราชมงคลชั้นนำ |
| นายณัชพงศ์ อุทาอง | | มหาวิทยาลัยเทคโนโลยีราชมงคลชั้นนำ |

การประชุมวิชาการเครือข่ายวิศวกรรมไฟฟ้า มหาวิทยาลัยเทคโนโลยีราชมงคล ครั้งที่ 4 วันที่ 3-5 เมษายน 2555

| | |
|---|-----|
| PE34 การสร้างจุดสื่อสารวัสดุเครื่องคอมพิวเตอร์เพื่อติดต่อกับฟาร์มโซลาร์เซลล์ | 139 |
| PE35 แบบจำลองจุดเก็บข้อมูลในควบคุมด้วยสัญญาณวิทยุ | 143 |
| PE36 ระบบการผลิตไฟฟ้ากระแสสลับขึ้นด้วยอุปกรณ์ระบบความร้อนบนหลังคา | 147 |
| PW01 การรวมไฟฟ้าในระบบจำหน่ายไฟฟ้าปฐมภูมิ | 152 |
| PW02 Measurement Scheme Selection for Power System State Estimation by Improved Stochastic Tabu Search | 156 |
| PW03 การออกแบบสร้างชุดทดลองแหล่งจ่ายไฟฟ้าแรงดันสูงกระแสตรง | 160 |
| PW04 โปรแกรมคอมพิวเตอร์สำหรับคำนวณและการตัดสินใจในระบบไฟฟ้า | 164 |
| PW05 การศึกษาแรงดันไฟฟ้าหนึ่งมานาจากระบบไฟฟ้าใกล้เคียงในขณะปฏิบัติงานแบบตัวต่อตัว | 168 |
| PW06 คุณลักษณะและสมรรถนะของอุปกรณ์จ่ายไฟฟ้าในระบบจำหน่าย 22 KV การไฟฟ้าส่วนภูมิภาค | 172 |
| PW07 ผลกระทบของแหล่งผลิตไฟฟ้าแบบกระจายตัวที่เข้มต่อในระบบจำหน่ายไฟฟ้า | 176 |
| PW08 Application of Particle Swarm Optimization Intelligence to Solving Economic Load Dispatch with Considering the Daily Load Patterns and Generator Constraints | 180 |
| PW09 ศึกษาปรากฏการณ์ลักษณะไฟฟ้าสำหรับระบบห้องส่องปฏิโตรดเลี้ยงได้ดี | 184 |
| PW10 การซัดเซย์แรงดันคงที่ครู่ด้วยอุปกรณ์ซัดเซย์แรงดันคงที่ครู่แบบอนุกรม | 188 |
| PW11 การหาตำแหน่งและขนาดของเครื่องกำเนิดไฟฟ้าในระบบจำหน่ายเพื่อลดกำลังไฟฟ้าสูญเสีย | 192 |
| PW12 การออกแบบระบบจำหน่ายสายอากาศ 22 KV ด้วยโครงข่ายประสาทเทียม | 196 |
| PW13 การประเมินความเสี่ยงโดยไม่ได้ในระบบจำหน่ายไฟฟ้าที่มีแหล่งผลิตไฟฟ้าแบบกระจายตัว | 200 |
| PW14 การจัดเรียงสายป้อนอย่างเหมาะสมสมสារับค่าต้นไฟฟ้าคงคลันในระบบจำหน่ายที่มีการติดตั้งตัวเก็บประชญา | 204 |
| PW15 การประยุกต์ใช้อุปกรณ์ FACTS สำหรับการลดกำลังไฟฟ้าสูญเสีย | 208 |

การประชุมวิชาการเครือข่ายวิชาครรภ์ไฟฟ้า มหาวิทยาลัยเทคโนโลยีราชมงคลธัญบุรี ครั้งที่ 4 วันที่ 3-5 เมษายน 2555

การหาตัวแทนและหาค่าของเครื่องกำนัลไฟฟ้าในระบบจ่ายไฟที่ออกกำลังกายไฟฟ้าสูญเสียโดยวิธีการเดือนตัวของกุญแจบุคลากรที่เหมาะสมที่สุด

Optimal Distributed Generation Placement and Sizing for Power Loss Reduction Using Particle Swarm Optimization

วิรชัย พ่วงพริกกุศล คณบดีคณะมนุษยศาสตร์ มหาวิทยาลัยเทคโนโลยีราชมงคลธัญบุรี
ผู้อำนวยการสถาบันฯ ที่ปรึกษาและพนักงาน ภาควิชาบริหารธุรกิจ สถาบันฯ ศิริวัฒน์ คุณกิตติพิมาน
9 หมู่ 1 ต.หนองหงส์ อ.เมืองเชียงใหม่ 52110 โทรศัพท์: 02-549-3571 โทรสาร: 02-549-3422 E-mail: kritichomme.b@ru.ac.th

10/20/2014

บทความนิ่นๆแล้วอธิบายค่าหมายค่าหมายและขนาดค่าอัตราการ
ผลิตที่เหมาะสมของเครื่องจักรค่าไฟฟ้าแบบกระแสตรงต่อค่าใช้จ่ายที่การ
ให้อาชญาณ์ไปใช้ร่วมกับอัตราการเติบโตของอนุภูมิภาคที่เหมาะสมที่สุด
เพื่อให้ความสูญเสียค่าใช้จ่ายไฟฟ้าในระบบจำนวนน้อยมากที่สุด โดยการ
ใช้กระบวนการที่ใช้แบบจำลองของระบบล้ำหน้าแบบเบอร์ลิก 26 มีชั้น 25 สำหรับ
ล้ำหน้า ซึ่งดัดแปลงมาจากล้ำหน้าที่ใช้ในระบบล้ำหน้าของค่าไฟฟ้า
ส่วนภูมิภาค ที่มีค่าใช้จ่ายไฟฟ้าร่วมของให้ลดลงจาก 8.49 MW และ 5.97
MW/m³ ค่าใช้จ่ายไฟฟ้าร่วมที่สูญเสียรวมในระบบแรกคือเงินบาท 11.65 พัน
และ 26.08 พันบาท ค่าใช้จ่ายรวมการให้อาชญาณ์ใช้การดำเนินงานแรกเดือน
บนปีใช้เงินบาท และการดำเนินงานครั้งแรกและเป็นอันดับสอง หลังการวิเคราะห์
และให้เห็นว่าการหารากฐานนี้และขนาดที่เหมาะสมของ DG ด้วยอัตราการ
เติบโตของอนุภูมิภาคเหมาะสมที่สุดที่ทำให้ค่าใช้จ่ายไฟฟ้าร่วมที่สูญเสียใน
ระบบล้ำหน้าลดลง

**หัวข้อที่ 4: บริการทางการเงิน ภาคตะวันออกเฉียงเหนือ, รวมถึงการลงทุน ของจังหวัด
ระยอง จ้าวหน่ายแบบแรกต่อ**

Abstract

This paper presents a new methodology using Particle Swarm Optimization (PSO) for the placement of Distributed Generation (DG) in the radial distribution systems to reduce the power loss. Single DG placement is used to find the optimal DG location and its size which corresponding to the maximum loss reduction. The proposed method is tested on the 26-bus radial distribution system which modified from the Provincial Electricity Authority (PEA) distribution system. The total power is 8.49 MW and 5.97 MVar and the power loss is 11.68 kW and 26.08 kVar. The load flow analysis on distribution use forward-backward sweep methodology. The simulation results show that PSO can obtain maximum loss reduction.

Keywords: Distribution Generator, Particle Swarm Optimization, Radial Distributed System

1-1000

บทความนิยมที่ร่วมกันเข้ามาทำให้เกิดผล ค่าทางด้านการ
ในการทำ个交易, วิเคราะห์เงินเดียวของบุคคลที่หมายจะลงทุนใน
การทำ รวมถึงการประมวลผลของลูกค้าที่ไม่ต้องไป

การประชุมวิชาการเครือข่ายวิศวกรรมไฟฟ้า มหาวิทยาลัยเทคโนโลยีราชมงคล ครั้งที่ 4 วันที่ 3-5 เมษายน 2555

$$X_{id}^{t+1} = X_{id}^t + V_{id}^{t+1} \quad (9)$$

เมื่อ

 X_{id}^t คือ ค่าแทนน์ของอนุค่า i ของหัวเปร ด ในรอบการคำนวณที่ t X_{id}^{t+1} คือ ค่าแทนน์ของอนุค่า i ของหัวเปร ด ในรอบการคำนวณที่ $t+1$ V_{id}^t คือ ความเร็วในการเปลี่ยนค่าแทนน์ของอนุค่า i ของหัวเปร ด ในรอบการคำนวณที่ t V_{id}^{t+1} คือ ความเร็วในการเปลี่ยนค่าแทนน์ของอนุค่า i ของหัวเปร ด ในรอบการคำนวณที่ $t+1$ $Rand_1(0, Rand_2(0))$ คือ ตัวเลขสุ่มระหว่าง 0 อันดับ 1 $Pbest_{id}$ คือ ค่าแทนน์ที่ดีที่สุดของอนุค่า i ของหัวเปร ด $Gbest_d$ คือ ค่าแทนน์ที่ดีที่สุดในทุกๆ อนุค่าของหัวเปร ด w คือ อัตราหนึ่งที่น้อย c_1, c_2 คือ ค่าคงที่

การคำนวณค่าหัวเปร ในการวิธีการเดือนดาวของคู่บุคคลมีความลักษณะในกราฟดังนี้ซึ่งเป็นจุดเด่นที่สำคัญคือหัวเปร หัวเดียวสามารถปรับแต่งอัตราหนึ่งที่เหมาะสมได้ตามความต้องการ (10)

$$W = W_{max} - \frac{W_{max} - W_{min}}{k} \cdot i \quad (10)$$

เมื่อ

 W_{min} คือ ขอบเขตล่างของค่าอัตราหนึ่ง W_{max} คือ ขอบเขตบนของค่าอัตราหนึ่ง i คือ รอบการคำนวณปัจจุบัน k คือ รอบการคำนวณที่ห้าม

วิธีการเดือนดาวของอนุค่าที่เหมาะสมที่สุดในการหาค่าแทนน์และขนาดค่าอัตราหนึ่งการเพิ่มเติมที่เหมาะสมของเครื่องคำนวณไฟฟ้าแบบกระแสอาหารขออธิบายได้ดังนี้ไป [5]

ขั้นตอนที่ 1: จัดเรียงผู้หัวใจตามลำดับที่ทางในระบบจัดเรียงตามลำดับของอนุค่าที่น้ำเข้าสู่ไปยังเครื่องคอมพิวเตอร์ในกราฟคำนวณ

ขั้นตอนที่ 2: เมื่อได้ทราบลำดับที่ของอนุค่าที่น้ำเข้าสู่ขั้นตอนที่ 1 แล้วค่อยๆ คำนวณค่าใหม่ๆ ให้ไฟฟ้าในระบบจัดเรียงที่จะมาทดสอบเพื่อหาค่าและหัวเดียวและค่าอัตราหนึ่งที่มีผลลัพธ์ดี

ขั้นตอนที่ 3: ขั้นตอนนี้เริ่มต้นเข้าสู่กระบวนการวิธีการเดือนดาวของอนุค่าที่เหมาะสมที่สุดแล้วโดยการเริ่มการอัปเดตขนาดและค่าแทนน์ของเครื่องคำนวณไฟฟ้าแบบกระแสอาหารซึ่งขนาดเพิ่มหรือลดลงในการอัปเดตเข้าสู่กันว่า หัวใจประมวลผลในกราฟทดสอบที่ไหน

ขั้นตอนที่ 4: นำค่าขนาดและค่าอัตราหนึ่งของเครื่องคำนวณไฟฟ้าที่เหมาะสมในขั้นตอนที่ 3 เพื่อคำนวณหาค่าอัตราหนึ่งไฟฟ้าที่สูงสุดในระบบจัดเรียงที่จะมาทดสอบ จำกัดการวัดอุปกรณ์

ขั้นตอนที่ 5: บันทึกค่าตรวจสอบค่าที่ดีที่สุดของคู่บุคคลในครั้งที่ $Gbest$

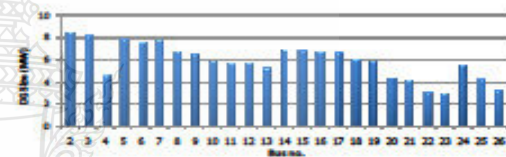
ขั้นตอนที่ 6: บันทึกตรวจสอบค่าที่ดีที่สุดของอนุค่าในครั้งที่ $Gbest$

ขั้นตอนที่ 7: ปรับปรุง ค่าความเร็วและค่าแทนน์ที่อุปปรับของแต่ละอนุค่าและสามารถอ่านว่าได้จากความเร็วในปัจจุบันและระยะห่างระหว่าง $Gbest$ กับ $Gbest$

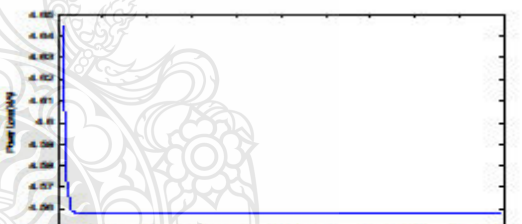
ขั้นตอนที่ 8: ตรวจสอบการทำงานของกระบวนการกราวาร์ตามค่าที่ได้ 15 หรือตั้งค่าให้ไฟฟ้าจากการปรับปรุงไปสู่กระบวนการกราวาร์ 4 แล้วตรวจสอบค่าหนึ่งไปสู่กระบวนการกราวาร์ 9 ต่อไป

ขั้นตอนที่ 9: ได้ขนาดและตัวหนึ่งของเครื่องคำนวณไฟฟ้าแบบกระแสอาหารกระบวนการการวิธีการเดือนดาวของอนุค่าที่เหมาะสมที่สุด

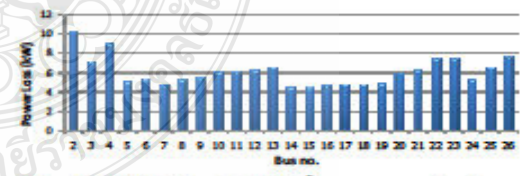
ระบบจัดเรียงของเครื่องคำนวณไฟฟ้าส่วนภูมิภาค ที่มีค่าอัตราไฟฟ้ารวมของโภคภัย 8.49 MW 5.97 MVA ค่าอัตราไฟฟ้าเรียบและค่าอัตราไฟฟ้าเรียบต่อไฟฟ้าที่สูงสุดเรียบในระบบแรกเริ่มที่ 11.68 kW และ 26.08 kV และ 16 Base MVA = 10 MVA, และ 16 Base kV = 12.66 kV ผลการจัดเรียงไฟฟ้าไปยังคอมพิวเตอร์ MATLAB หลังติดตั้ง DG ค่าต่อๆ กันและต่อๆ กันไป 2-5



รูปที่ 2. ขนาด DG ที่เหมาะสมของระบบจัดเรียง 26 บัส 25 ลักษณะนี้

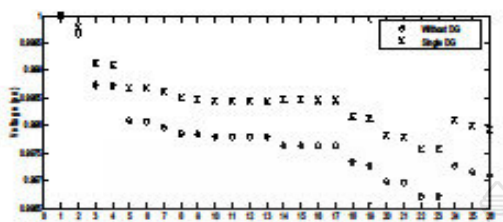


รูปที่ 3. ค่าอัตราไฟฟ้าเรียบสูงสุดเท่าที่ 14 จากการวิน 100 รอบ



รูปที่ 4. ค่าอัตราไฟฟ้าเรียบสูงสุดเท่าที่ DG ของระบบจัดเรียง 26 บัส

การประชุมวิชาการเครือข่ายวิชาการไฟฟ้า มหาวิทยาลัยเทคโนโลยีราชมงคลธัญบุรี ครั้งที่ 4 วันที่ 3-5 เมษายน 2555



รูปที่ 5. ขนาดแขวงผันที่บ้านท่าข่ายจังหวัดน้ำท่า 26 บัส

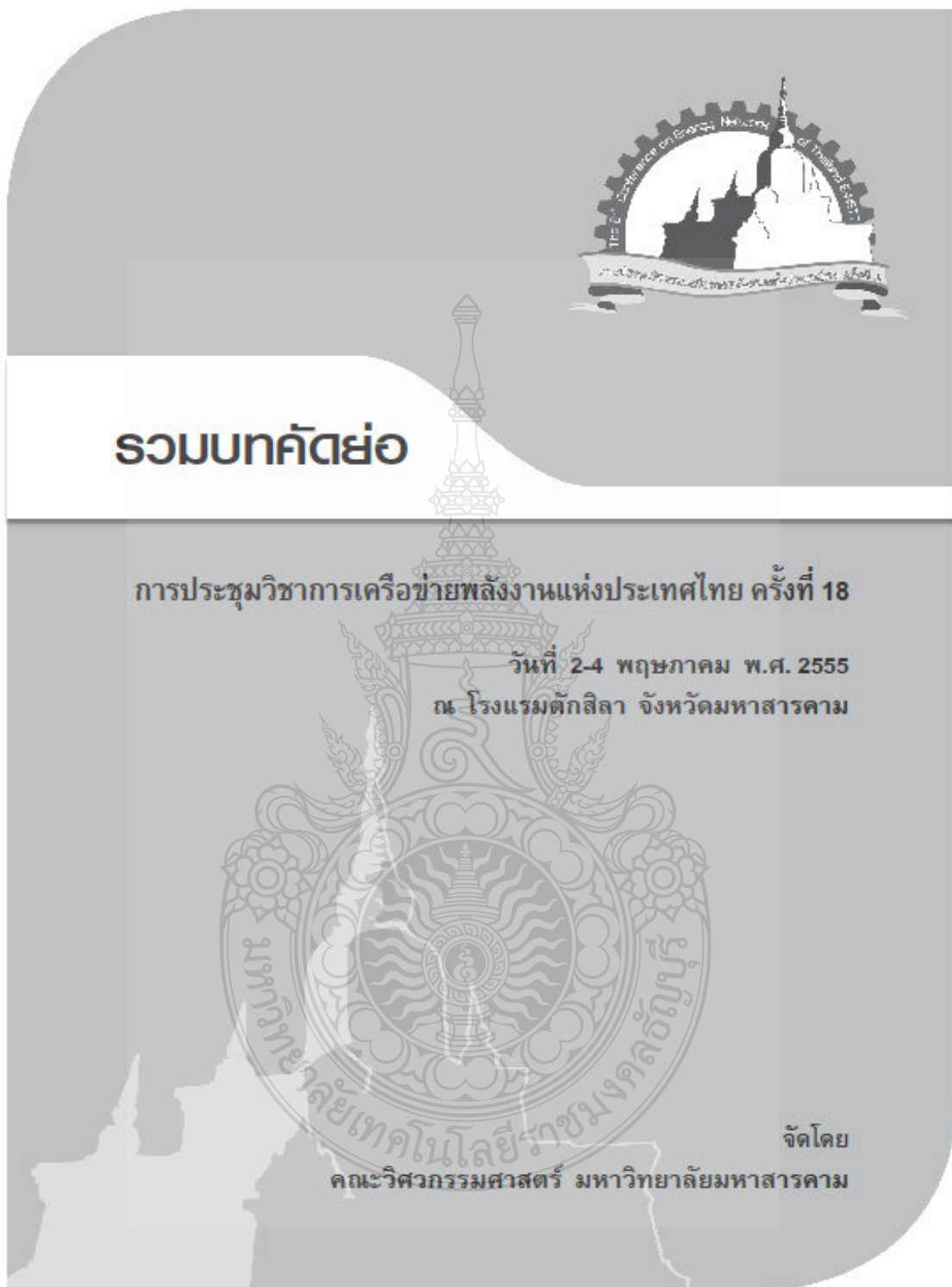
5. สรุป

บทความนี้นำเสนอการศึกษาการวิเคราะห์หน้างานและคำแนะนำ
การติดตั้ง DG ที่เหมาะสมด้วยการวิเคราะห์การไฟฟ้าร่วมกับ
วิธีการอิฐอ่อนหัวของมนุษย์เพื่อความที่สูง โดยพิจารณาการท่องเที่ยว
บัสที่ต้องติดตั้ง DG ที่นำไปในระบบ การวิเคราะห์ที่ได้แบบจำลองของระบบ
จ้างบ้านอย่างแรกคือ 26 บัส ซึ่งตัดแปลงยาจักล้านหนึ่งในระบบ
จ้างบ้านอย่างการไฟฟ้าส่วนภูมิภาค ผลการวิเคราะห์ของบ้านที่
บัสที่ 14 มีค่าอุตุณหภูมิว่า 0.9963 p.u. ถึง 1 p.u. โดยที่บ้านที่ติดตั้ง DG หรือ
ค่าใช้ไฟฟ้าเบนซินจะมีค่าใช้ไฟฟ้าต่อวัตต์ต่อวัตต์ที่ติดตั้ง DG ที่ 14 มีขนาดค่าใช้ไฟฟ้า
เท่ากับ 6.95 MW. ค่าใช้ไฟฟ้าเบนซินจะมีค่าใช้ไฟฟ้าต่อวัตต์ต่อวัตต์ที่ติดตั้ง DG ที่ 14 น้ำท่า
เท่ากับ 4.55 kW. และ 10.18 kW. พบร้าค่าใช้ไฟฟ้าที่สูงอยู่ใน
ระบบอย่าง 61 % ที่นี่มีอัตราค่าเหม็นและขนาด DG ที่ได้จากการ
ทดสอบนี้ร่วงต่ำกว่าค่าใช้ไฟฟ้าแทนการวิเคราะห์จากเอกสารไฟฟ้าเดิมที่ใน
ลักษณะที่เหมาะสมกว่าอัตราค่าใช้ไฟฟ้าเดิมที่ในระบบจ้างบ้านได้ การวิเคราะห์
ค่าใช้ไฟฟ้าที่ต้องไปติดตั้งการวิเคราะห์การเมืองให้ DG ที่บัสที่ 14 ติดตั้งใน
ระบบจ้างบ้านอย่างเป็นวันวาน งานวิจัยในที่นี้ยังคงไปอีกคราวที่หน้า
ต้าเหมือนและขยายในการติดตั้ง DG ให้ไฟฟ้าเดิมงานและเวลาที่ต้องใช้ DG
ที่เหมาะสมในระบบจ้างบ้าน เพื่อร่วงในผลค่าใช้ไฟฟ้าสูงอยู่ในระบบ
จ้างบ้านอย่างรวดเร็วที่สุดให้ได้ในระบบมากที่สุด.

เอกสารอ้างอิง

- ราชบดี ต่างประเทศ, "การติดตั้ง DG ให้ไฟฟ้า", นิตยสารชั้นนำ ภาควิชาพลังงาน:
นิตยสาร จังหวัดธัญบุรี ปีที่ 3, หน้า 93-94.
- ลักษณ์ จิตยโย, "การวิเคราะห์การติดตั้ง DG ที่
เหมาะสมในระบบจ้างบ้านโดยวิธีอิฐอ่อนหัว", วิทยานิพนธ์ปริญญาโท
สาขาไฟฟ้าและพลังงานไฟฟ้า คณะวิศวกรรมศาสตร์ มหาวิทยาลัยเทคโนโลยี
ราชมงคลธัญบุรี, 2554.
- วิวัฒนา, "การติดตั้ง DG ที่เหมาะสมในระบบจ้างบ้านโดยวิธีอิฐอ่อนหัว
ตามเงื่อนไขของค่าใช้ไฟฟ้าสูงอยู่ในระบบจ้างบ้านไฟฟ้าที่ต้องติดตั้ง
ตามเงื่อนไขของค่าใช้ไฟฟ้าสูงอยู่ในระบบจ้างบ้านไฟฟ้า", วิทยานิพนธ์
ปริญญาโท สาขาไฟฟ้าและพลังงานไฟฟ้า คณะวิศวกรรมศาสตร์ มหาวิทยาลัย
เทคโนโลยีราชมงคลธัญบุรี ปีที่ 3, หน้า 93-94.

- นฤบดี กองพูด, "การติดตั้ง DG ที่เหมาะสมในระบบจ้างบ้านโดยวิธีอิฐอ่อนหัว
เพื่อร่วงต่ำกว่าค่าใช้ไฟฟ้า", วิทยานิพนธ์ปริญญาโท
สาขาไฟฟ้าและพลังงานไฟฟ้า คณะวิศวกรรมศาสตร์ มหาวิทยาลัย
เทคโนโลยีราชมงคลธัญบุรี, 2552.
- W. Krueankul, "Optimal placement size and location of DG using
particle swarm optimization," Sripatum University, 2550.
- W. Pronounce and W. Oungsakul, "Optimal multiple distributed generation
placement in microgrid system by improved reinitialized social
structure particle swarm optimization," European Transactions on
Electrical Power, 2011, pp. 489-504.





รายชื่อผู้ทรงคุณวุฒิพิจารณาความทุน

- | | |
|---------------------------------|--|
| รศ.ดร. กุลเรชย์ เพียรทอง | มหาวิทยาลัยอุบลราชธานี |
| รศ.ดร. ฐานิตย์ เมธิยานนท์ | มหาวิทยาลัยเทคโนโลยีมหานคร |
| รศ.ดร. อัญญี กาศยปันนนท์ | มหาวิทยาลัยเทคโนโลยีพระจอมเกล้าธนบุรี |
| รศ.ดร. นรินทร์ วัฒนกุล | มหาวิทยาลัยธรรมศาสตร์ |
| รศ.ดร. พงษ์เจต พรมวงศ์ | สถาบันเทคโนโลยีพระจอมเกล้าเจ้าคุณทหารลาดกระบัง |
| รศ.ดร. มาโนะ ออมริกาปารุง | มหาวิทยาลัยเทคโนโลยีพระจอมเกล้าธนบุรี |
| รศ.ดร. สมเกียรติ ปรัชญาภรณ์ | มหาวิทยาลัยเทคโนโลยีพระจอมเกล้าธนบุรี |
| รศ.ดร. อดิศักดิ์ นาครอนกุล | มหาวิทยาลัยเทคโนโลยีพระจอมเกล้าธนบุรี |
| รศ.ดร. สัมพันธ์ ฤทธิเดช | มหาวิทยาลัยมหาสารคาม |
| รศ.ดร. สิงห์ทอง พัฒนาเครชฐานนท์ | มหาวิทยาลัยมหาสารคาม |
| รศ.ดร. เสริม จันทร์ฉาย | มหาวิทยาลัยศิลปากร |
| ผศ.ดร. จินดา เจริญพรพาณิชย์ | สถาบันเทคโนโลยีพระจอมเกล้าเจ้าคุณทหารลาดกระบัง |
| ผศ.ดร. กิตติ สถาพรประสาทโน | มหาวิทยาลัยศรีนครินทรวิโรฒ |
| ผศ.ดร. จุฬาภรณ์ เบญจปิยะพร | มหาวิทยาลัยขอนแก่น |
| ผศ.ดร. ชวิติ ถื่นวงศ์พิทักษ์ | มหาวิทยาลัยอุบลราชธานี |
| ผศ.ดร. ธนารัตน์ ศรีวีระกุล | มหาวิทยาลัยอุบลราชธานี |
| ผศ.ดร. ป้าไฟศักดิ์ ทิบูญมา | มหาวิทยาลัยอุบลราชธานี |
| ผศ.ดร. ชัยยงค์ เพชระไพรโจน | มหาวิทยาลัยศิลปากร |
| ผศ.ดร. นริส ประทินทอง | มหาวิทยาลัยเทคโนโลยีพระจอมเกล้าธนบุรี |
| ผศ.ดร. ปรีชา เติมอุษาลักษณ์ | มหาวิทยาลัยเทคโนโลยีพระจอมเกล้าธนบุรี |
| ผศ.ดร. จิรวรรณ เตียร์สุวรรณ | มหาวิทยาลัยเทคโนโลยีพระจอมเกล้าธนบุรี |
| ผศ.ดร. ชนิต สถาศต์ເສົ່ວ | มหาวิทยาลัยเทคโนโลยีพระจอมเกล้าธนบุรี |
| ผศ. สมบูรณ์ เวชกานาม | มหาวิทยาลัยเทคโนโลยีพระจอมเกล้าธนบุรี |
| ผศ.ดร. วันชัย จิมจิว | มหาวิทยาลัยเทคโนโลยีราชภัฏอุตรธานี |
| ผศ.ดร. ศักดิ์วงศ์ ระเวกุล | มหาวิทยาลัยเทคโนโลยีราชภัฏราชนครินทร์ |
| ผศ.ดร. ศิริ ดวงพร | มหาวิทยาลัยราชภัฏวไลยอลงกรณ์ |
| ผศ.ดร. สมชาย ณัณวรณ์ | มหาวิทยาลัยแม่ฟ้าหลวง |
| ผศ.ดร. นิพนธ์ เกตุช้อย | มหาวิทยาลัยมหาสารคาม |
| ผศ.ดร. จันดาพร จำรัสเลิศลักษณ์ | มหาวิทยาลัยมหาสารคาม |
| ผศ.ดร. เจริญพร เลิศสมิตราภรณ์ | มหาวิทยาลัยมหาสารคาม |
| ผศ.ดร. บพิช บุปผโชค | มหาวิทยาลัยมหาสารคาม |
| ผศ.ดร. อัญชลี ภูมิสะอาด | มหาวิทยาลัยมหาสารคาม |



รายชื่อผู้ทรงคุณวุฒิพิจารณาเน้นทุกความ(ต่อ)

| | |
|-------------------------------------|-------------------------------------|
| ผศ.ดร. ทรงรัชัย วิริยะรักษ์พ่วงวงศ์ | มหาวิทยาลัยมหาสารคาม |
| ผศ.ดร. มณีรัตน์ องค์วรรณาตี | มหาวิทยาลัยมหาสารคาม |
| ผศ.ดร. วรવัฒน์ เส่งยมวิบูล | มหาวิทยาลัยมหาสารคาม |
| ผศ.ดร. อดิศักดิ์ ปัตติยะ | มหาวิทยาลัยมหาสารคาม |
| ผศ.ดร. อนุสรณ์ แสงประจักษ์ | มหาวิทยาลัยมหาสารคาม |
| ผศ.ดร. อภินันท์ อุรุโสกาน | มหาวิทยาลัยมหาสารคาม |
| ดร. กันย์ วงศ์เกشم | การไฟฟ้าฝ่ายผลิตแห่งประเทศไทย |
| ดร. ดาวเรศโน กิตติโยภัส | กรมส่งเสริมการเกษตร |
| | และสมาคมวิศวกรรมเกษตรแห่งประเทศไทย |
| อ.ดร. ชลิตา เนียมนุ้ย | มหาวิทยาลัยเกษตรศาสตร์ |
| อ.ดร. ชัยยันต์ จันทร์ศิริ | มหาวิทยาลัยขอนแก่น |
| อ.ดร. ณรงค์ อึ้งกิมปวัน | มหาวิทยาลัยบูรพา |
| อ.ดร. เกียรติสิน กาญจนวนิชกุล | มหาวิทยาลัยมหาสารคาม |
| อ.ดร. จักรนาส เเจ้าหาดมีช | มหาวิทยาลัยมหาสารคาม |
| อ.ดร. ณัฐรุณี สุวรรณเทา | มหาวิทยาลัยมหาสารคาม |
| อ.ดร. นเรศ มีโถ | มหาวิทยาลัยมหาสารคาม |
| อ.ดร. นิวัตร์ ยังคงวิชัยรุพันธ์ | มหาวิทยาลัยมหาสารคาม |
| อ.ดร. นุชิตา สุวแพทย์ | มหาวิทยาลัยมหาสารคาม |
| อ.ดร. พลกฤชณ์ จิตต์ໂຕ | มหาวิทยาลัยมหาสารคาม |
| อ.ดร. อะมูล วิเศษ | มหาวิทยาลัยมหาสารคาม |
| อ.ดร. สุนันทา เเจ้วันย์ศิริ | มหาวิทยาลัยมหาสารคาม |
| อ.ดร. สุพรรรณ ยังยืน | มหาวิทยาลัยมหาสารคาม |
| อ.ดร. อรอนุชา ถางสุนันท์ | มหาวิทยาลัยมหาสารคาม |
| อ. ปริชา ศรีประภาการ | มหาวิทยาลัยมหาสารคาม |
| อ. ศิริลักษณ์ วงศ์เกشم | มหาวิทยาลัยมหาสารคาม |
| อ.ดร. วหัสสุ รอดประพันธ์ | มหาวิทยาลัยเทคโนโลยีราชมงคลตะวันออก |
| อ.ดร. กิตติศักดิ์ วิชันนทกิตติ์ | มหาวิทยาลัยเทคโนโลยีราชมงคลตะวันออก |
| อ.ดร. ระวี พรมหลวงศรี | มหาวิทยาลัยราชภัฏอุตรธานี |



สารบัญ (ต่อ)

| รหัสบทความ | ชื่อบทความ | หน้า |
|------------|--|------|
| RE56 | การศึกษาปล่องกระเจรษนายอาทิตย์พัฒนาและอาทิตย์ที่ติดตั้งปานเกล็ค ผู้เรียก ชูวิเชียร | 50 |
| RE57 | การรักษาดับแรงดันไฟฟ้าด้วยคอมพิวเตอร์แบบซุกส่าหรับระบบโซลาร์เซลล์ ล้านติภพ โภตทะเบ อุดม เครือเทพ ชนากานต์ บุญยืน และระวี สิสวาย | 51 |
| RE58 | อิทธิพลของดั้งแปรต่าง ๆ ที่มีผลต่อการกำจัดยางเห็นได้จากเปลือกเมล็ด มะม่วงพิมพานต์ ลังคุน ลัพพะ, ฉินคาพร จำรัสเดชลักษณ์ และอติกัตต์ ปัสดิยะ | 52 |
| RE59 | การหาสัดส่วนที่เหมาะสมของเชื้อเพลิงชีวนิวคลัตแท่งแบบรีดเย็น <u>อุพารัตน์ ยั่งยืน</u> และจักรมาส เลาหวดีช | 53 |
| EC | Energy Conservation and Management | 55 |
| EC01 | การศึกษาเบรียນเพียงอัตราตามช่วงเวลาของวันและอัตราตามช่วงเวลาของการใช้ จากการผลิตไฟฟ้าด้วยเครื่องกำเนิดไฟฟ้าก้าชธรรมชาติเพื่อลดการใช้ไฟฟ้าในโรงงานอุตสาหกรรม กรณีศึกษา : บริษัท โอเก คาด้า แมมนูแฟคเจอริ่ง (ประเทศไทย) จำกัด <u>ไฮคาวน์ไฟว์เอฟ</u> , บุญยัง ปลื้มกลาง, และวินัย สำราญ | 57 |
| EC02 | การหาตำแหน่งและขนาดของเครื่องกำเนิดไฟฟ้าในระบบจำหน่ายเพื่อปรับปรุงแรงดันและลดกำลังไฟฟ้าสูญเสียโดยวิธีการเคลื่อนทัวร์ของกลุ่มนูกาคที่เหมาะสมที่สุด <u>วีระชัย พ่วงพรพิทักษ์, กฤญาธรรม์ ภูมิกิตติพิชัย</u> | 58 |
| EC03 | การเบรียນเพียงคุณลักษณะของเทคโนโลยีการควบคุมแบบต่าง ๆ สำหรับเครื่องอบไฟฟ้าชนิดรังสีอินฟราเรดช่วงไกล <u>สลิดกิพย์ สินธุสนธิชาติ และ บุญยังกัท ภูมิภาศ</u> | 59 |
| EC04 | ผลกระทบของแหล่งจ่ายแรงดันไฟฟ้าไม่สมดุลต่อประสิทธิภาพของมอเตอร์เห็นได้ใน สามเฟส <u>ปันยังกัท ภูมิภาศ และ สลิดกิพย์ สินธุสนธิชาติ</u> | 60 |
| EC05 | เครื่องวัดการกระจายความเข้มต่อส่วนของโคมไฟติดแผ่นโดยใช้ตัวควบคุมพื้ชชีลอดจิก เพื่อเพิ่มประสิทธิภาพของดวงโคมสำหรับการประทัยตัดพังงานในระบบแสงสว่าง <u>ชานี ใจประดิษฐ์ธรรม, อธิวัฒน์ นาคธุริยะวงศ์, ณัฐกิจ ถึงสุข และอัครกิตต์ ไชยชนกุลวัฒน์</u> | 61 |
| EC06 | การจำลองการให้ผลประโยชน์จากการให้สูงอย่างต่อเนื่องแก่แบบไฟผลข้าวในแนวที่มีของ เครื่องยนต์แก๊สเทอร์โบน้ำมันดีเซล <u>น้อมยติ เรืองวงศ์, จารวัตต์ เจริญสุข</u> | 62 |
| EC07 | การออกแบบระบบควบคุมแบบป้อนกลับของเครื่องยนต์กังหันก้าชขนาดเล็ก <u>ไฟศาล ปานศ่า, จารวัตต์ เจริญสุข และ ภารวี เมฆอนราถุทัช</u> | 63 |
| EC08 | แบบจำลองทางเทอร์โมในเครื่องมิกซ์ของกระบวนการการต้มและถุน้ำอ้อยแบบหลายขั้นตอนในกระบวนการผลิตน้ำตาล <u>ธีรวัฒน์ คลับคล้าย และ วีระชาติ พรพิบูลย์</u> | 64 |



**EC02 การหาตำแหน่งและขนาดของเครื่องกำเนิดไฟฟ้าในระบบจานวนเพื่อปรับปรุง
แรงดันและลดกำลังไฟฟ้าสูญเสียโดยวิธีการเลือนตัวของกลุ่มอนุภาคที่เหมาะสมที่สุด**
**A Particle Swarm Optimization for Siting and Sizing of Distributed Generation in
Radial Distribution System to Improve Voltage Profile and Reduce Losses**

วีระชัย พ่วงพรพิทักษ์^{1*}, กฤตณ์ชัย ภูมิกิตติพิชัย^{2*}

¹ ภาควิชาพลังงาน ม.ห.ร. 1 ภาคกลาง 46 บ.6 ต.หนองหาร อ.พระนครศรีอยุธยา จ.พระนครศรีอยุธยา 13000

² ศูนย์วิจัยระบบไฟฟ้ากำลังและพลังงาน ภาควิชาวิศวกรรมไฟฟ้า คณะวิศวกรรมศาสตร์ มหาวิทยาลัยเทคโนโลยีราชมงคลชัย ชัยนาท 39 หมู่ 1 ต.คลองหาด อ.ชัยนาท จ.ชัยนาท 12110

* ผู้ติดต่อ: โทรศัพท์: 02-549-3571 โทรสาร: 02-549-3422 E-mail: krischonme.b@en.mut.ac.th

บทคัดย่อ

บทความนี้นำเสนอวิธีการหาตำแหน่งและขนาดของเครื่องกำเนิดไฟฟ้าแบบ
กระจายตัวโดยการวิเคราะห์การไฟฟ้าร่วมกับวิธีการเลือนตัวของอนุภาคที่เหมาะสมที่สุด เพื่อให้ความ
สูญเสียกำลังไฟฟ้าในระบบจานวนเพื่อปรับปรุงคุณภาพไฟฟ้า ลดการสูญเสียพลังงาน ลดการสูญเสียในระบบจานวน
บัส ซึ่งดัดแปลงมาจากลักษณะในระบบจานวนเพื่อการไฟฟ้าส่วนภูมิภาค การคำนวณการไฟฟ้าในระบบจานวนเพื่อการ
คำนวณแรงดันแบบไปข้างหน้า และการคำนวณกระแสแบบย้อนกลับ ผลการวิเคราะห์แสดงให้เห็นว่าการหา
ตำแหน่งและขนาดของเครื่องกำเนิดไฟฟ้าแบบกระจายตัว วิธีการเลือนตัวของอนุภาคเหมาะสมที่สุดทำให้กำลังไฟฟ้าจริงที่
สูญเสียในระบบจานวนเพื่อปรับปรุงคุณภาพไฟฟ้า ลดการสูญเสียพลังงาน ลดการสูญเสียในระบบจานวนเพื่อการ

คำนำ: เครื่องกำเนิดไฟฟ้าแบบกระจาย, วิธีการเลือนตัวของอนุภาค, ระบบจานวนเพื่อการ

Abstract

This paper presents a new methodology using Particle Swarm Optimization (PSO) for the placement of Distributed Generation (DG) in the radial distribution systems to reduce the power loss. Single DG placement is used to find the optimal DG location and its size which corresponding to the maximum loss reduction. The proposed method is tested on the 26-bus and 59 bus radial distribution system which modified from the Provincial Electricity Authority (PEA) distribution system. The load flow analysis on distribution use forward-backward sweep methodology. The simulation results show that PSO can obtain maximum loss reductions and resulting in voltage level improvement.

Keywords: Distribution Generator, Particle Swarm Optimization, Radial Distributed System



1. บทนำ

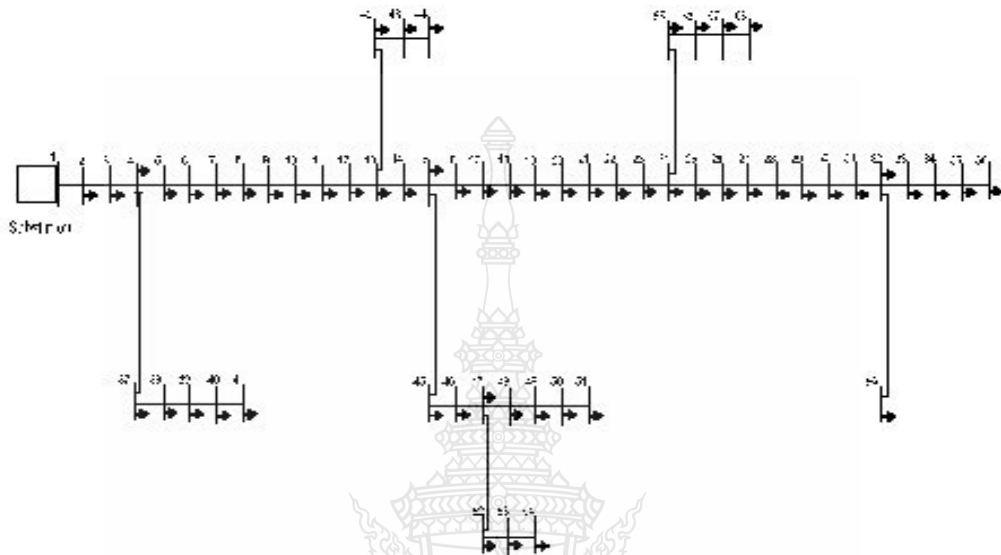
ประเทศไทยมีระบบการส่งกำลังไฟฟ้าในระบบจ้าหน่ายส่วนใหญ่เป็นระบบการต่อวงจรสายป้อนหลักแบบเรเดียล (Radial distribution system) มีการต่อกรวยจากออกซิงค์มี เป็นการจัดตูรูปแบบวงจรที่ง่ายและมีราคาต่ำที่สุด โดยเป็นการจ่ายไฟฟ้าออกจากสถานีไฟฟ้าย่อยเพื่อนำพลังงานไฟฟ้าไปจ่ายให้กับ负荷 เนื่องจากการต่อวงจรสายป้อนหลักแบบเรเดียลนี้ ไม่มีการเชื่อมต่อกันสายป้อนที่มาจากการสถานีย่อยอื่นๆ ทำให้มีข้อเสียคือต้องมีเกิดความผิดหวัง (Fault) ที่สายป้อนใดก็ตามที่เกิดขึ้นจะต้องใช้เวลาในการจัดการต่อวงจรสายป้อนนั้นไฟดับทั้งหมด [1] ส่งผลให้ประดิษฐภาพในการจ่ายพลังงานไฟฟ้าไปยัง负荷ไม่มีความน่าเชื่อถือและไม่มีความยืดหยุ่นของระบบเท่าที่ควร เป็นผลให้การส่งกำลังไฟฟ้าในระบบจ้าหน่ายมีคุณภาพกำลังไฟฟ้าและแสงสว่างคุณภาพ กำลังไฟฟ้าที่ต่ำตามไปด้วย ระบบจ้าหน่ายไฟฟ้าโดยทั่วไปมีกำลังไฟฟ้าสูงถึงมากกว่าระบบส่งจ่ายไฟฟ้า เนื่องจากเป็นระบบที่มีค่าอัตราส่วนระหว่างความต้านทานกับความต้านทานเหนี่ยวน่า (R/X Ratio) ค่อนข้างสูงทั้งยังเป็นระบบที่มีระดับแรงดันต่ำและมีกระแสไฟไหลในสายมากกว่าระบบส่งจ่ายไฟฟ้า การปรับปรุงระบบจ้าหน่ายไฟฟ้าเพื่อลดกำลังไฟฟ้าสูงสุดที่มีหลักวิธี เช่น การติดตั้ง FACTS ที่เหมาะสมในระบบจ้าหน่ายเพื่อช่วยจ่ายกำลังไฟฟ้ารีแอคเตฟเข้าระบบและแก้ปัญหาเพาเวอร์ฟัลล์เอาไว้เป็นการแก้ปัญหาแรงดันตก [2] และการติดตั้ง capacitor เพื่อช่วยจ่ายกำลังไฟฟ้ารีแอคเตฟที่เข้าสู่ระบบ [3] บทความนี้ได้เสนอการวิเคราะห์หาก้าหน่ายแบบเรเดียล กำลังผลิตของเครื่องกำนันติดไฟฟ้าแบบกระจายที่เหมาะสมในระบบจ้าหน่ายแบบเรเดียล ทำให้กำลังไฟฟ้าจัริงและกำลังไฟฟ้ารีแอคเตฟที่อยู่เฉยในระบบจ้าหน่ายลดลง ทำให้ระบบมีแสงสว่างคุณภาพ กำลังไฟฟ้าและความน่าเชื่อถือได้ของระบบจ้าหน่ายไฟฟ้าที่ดียิ่งขึ้น

บทความนี้กล่าวถึงระบบจ้าหน่ายแบบเรเดียล การวางแผนวิธีในการพาก้าหน่าย วิธีการเพื่อนำทั่วของ

อนุภาคที่เหมาะสมที่สุดในการพาก้าหน่าย รวมถึงบทสรุปและข้อเสนอแนะสำหรับการวิจัยในขั้นต่อไป

2. ระบบจ้าหน่ายแบบเรเดียล

ระบบจ้าหน่ายแบบเรเดียลเป็นโครงข่ายระบบจ้าหน่ายไฟฟ้าที่ง่ายที่สุด มีการจ่ายไฟฟ้าไปยังผู้ใช้ไฟฟ้าผ่านสายจ้าหน่ายเพียงตัวเดียว พลังงานไฟฟ้าใน负荷ไปในทิศทางเดียวทั้งหมด ภาระการใช้งาน การวางแผนใช้ระบบจ้าหน่ายนี้ หากมี负荷คูปี้ไฟฟ้าเพิ่มมากขึ้นในอนาคตกิจกรรมการเพิ่มระบบจ้าหน่ายแบบเรเดียลให้กับภายในระบบจ้าหน่ายแบบสูปไค์ หรือระบบจ้าหน่ายแบบร่างแท่ไปได้ระบบจ้าหน่ายไฟฟ้าแบบเรเดียลนิยมใช้สำหรับจ่ายพลังงานไฟฟ้าไปยังผู้ใช้ไฟฟ้าในพื้นที่ทั่วไปหรือในชนบท เนื่องจากระบบจ้าหน่ายไฟฟ้าประเภทที่ลงทุนต่ำ มีการป้องกันระบบง่ายๆ และลักษณะของภาระทางสายแบบนี้สามารถเข้าใจได้ง่าย บทความนี้ใช้แบบจำลองของระบบจ้าหน่ายแบบเรเดียล 59 บัส 58 สายจ้าหน่ายดังรูปที่ 1 ซึ่งตัดแปลงมาจากส่วนหนึ่งในระบบจ้าหน่ายของประเทศไทย 4 [4] ที่มีกำลังไฟฟ้ารวมของ负荷ขนาด 13.5 MW และ 7.4 MVar กำลังไฟฟ้าที่สูงสุดถึงรวมในระบบแรกเริ่มขนาด 123.13 kW และ 280.87 kVar บัสที่ 1 เป็นโหนดจ่ายที่เชื่อมต่อกับระบบส่งโดยผ่านสถานีย่อย การเชื่อมต่อโหนดสถานีจะเริ่มเชื่อมต่อจากบัสที่ 1 ไปยังบัสที่ 2 แล้วต่อไปยังโหนดสถานีอื่นๆ ต่อไป



รูปที่ 1. แผนภาพเดินเรียบร้อยของระบบจ้ำหน่ายแบบเรือเดี่ยว 59 กม. 58 สายจ้ำหน่าย

3. การวางแผนกิจกรรมในการหาคำต้อน

วิธีการหาคำต้อนของปัญหาการหาคำต้าแหห์เมืองและขนาดกำลังการผลิตที่เหมาะสมของเครื่องกำนั่นไฟฟ้าแบบกระเจาใช้ฟังก์ชันกัวบุประสงค์คือ การหาคำต้อนที่มุ่งเน้นเพื่อลดกำลังกู้อยู่เดียวไฟฟ้าจริงในระบบจ้ำหน่ายไฟฟ้า [6] โดยมีพื้นฐานกัวบุประสงค์ดัง สมการที่ (1) เพื่อลดกำลังไฟฟ้ากู้อยู่เดียวในสายส่งให้น้อยที่สุดและเป็นไปตามสมการสมดุลกำลังไฟฟ้าดัง สมการที่ (2)

$$P_L = \sum_{k=1}^{N_G} Loss_k \quad (1)$$

$$\sum_{i=1}^N P_{DGi} = \sum_{i=1}^N P_{Di} + P_L \quad (2)$$

ข้อจำกัดพื้นที่กัวบุของแรงดันไฟฟ้าและกระแสไฟฟ้า
เป็นดังสมการที่ (3) และ (4)

$$|V_i|^{\max} \leq |V_i| \leq |V_i|^{\min} \quad (3)$$

$$|I_y| \leq |I_{ij}|^{\max} \quad (4)$$

เมื่อ

P_L คือกำลังไฟฟ้าจริงที่กู้อยู่เดียวในสายส่งทั้งหมด

$Loss_k$ คือกำลังไฟฟ้าจริงที่กู้อยู่เดียวในสายส่งที่ k

N_G คือจำนวนสายส่งทั้งหมด

P_{DG} คือกำลังไฟฟ้าจริงของ DG ที่ผลิตจ่ายเข้า
บัส i

P_{Di} คือความต้องการกำลังไฟฟ้าจริงที่บัส i
 $|V_i|$ คือขนาดแรงดันที่บัส i



$|V_i|^{**}, |V_j|^{**}$ คือของเรตต์สูตร, สูงสุด ของแรงดันที่บัส i และ j

$|I_i|^{**}$ คือพิกัดกระแสระหว่างบัส i และ j

$|Q_i|^{**}$ คือพิกัดกระแสสูงสุด

ข้อจำกัดของเรตต์การทำงานของเครื่องกำเนิดไฟฟ้า

แบบต่างๆ [5] ได้แก่

แบบที่ 1 เป็น DG ที่สามารถจ่ายได้เฉพาะกำลังไฟฟ้า

จริง เช่น การผลิตด้วยเชื้อเพลิงอาทิตย์ ดังสมการที่

(5)

$$P_{DG} = P_D - \frac{1}{A_i} \sum_{j=1}^n (A_j P_j - B_j Q_j) \quad (5)$$

แบบที่ 2 เป็น DG ที่สามารถจ่ายได้เฉพาะกำลังไฟฟ้า รีแอคเตอร์ เช่น ชิ้นโครนอสคอกเคนเดนเซอร์ (Synchronous condenser) ดังสมการที่ (6)

$$Q_{DG} = Q_D - \frac{1}{A_i} \sum_{j=1}^n (A_j Q_j - B_j P_j) \quad (6)$$

แบบที่ 3 เป็น DG ซึ่งสามารถจ่ายกำลังไฟฟ้าจริง แต่ ต้องการกำลังไฟฟ้ารีแอคเตอร์ เช่น กังหันลมและคงไว้ ดังสมการที่ (7)

$$0.00324 \cdot P_{DG}^3 + P_{DG} [1.004 \cdot \frac{1}{A_i} + 0.084 \cdot \frac{1}{A_D} - 0.087] + (X_i - \frac{1}{A_i} P_D) = 0 \quad (7)$$

แบบที่ 4 เป็น DG ซึ่งสามารถจักหันและแรงดันที่บัส กรณีได้แก่เครื่องกำเนิดไฟฟ้าซึ่งติดตั้งที่เจนเนอเรเตอร์บัส (Generator bus) ที่ใช้ในการคำนวณการไฟฟ้า ของกำลังในระบบไฟฟ้า (Load flow) มีกำลังไฟฟ้า จ่ายจากเครื่องกำเนิดไฟฟ้า ดังสมการที่ (8)

$$P_i - P_{DGi} - P_t = \frac{1}{A_i} \sum_{j=1}^n (A_j P_j - B_j Q_j) \quad (8)$$

$$\text{โดยที่ } P_t = \sum_{i=1}^n \sum_{j=1}^n A_{ij} (P_j + Q_j) + B_{ij} (Q_j - P_j) \quad (9)$$

$$A_{ij} = \frac{R_{ij} \cos(\delta_i - \delta_j)}{V_i V_j} \quad (10)$$

$$B_{ij} = \frac{R_{ij} \sin(\delta_i - \delta_j)}{V_i V_j} \quad (11)$$

เมื่อ P_i คือกำลังไฟฟ้าจริงที่จ่ายเข้าบัส i

Q_i คือกำลังไฟฟ้ารีแอคเตอร์ที่จ่ายเข้าบัส i

R_{ij} คือความต้านทานในสายส่งระหว่างบัส i และ j

δ_i ค่ามุมที่บัส i และ j

4. วิธีการเคลื่อนตัวของกลุ่mom อนุภาคที่เหมาะสมที่สุด ในการหาค่าตอบ

วิธีการเคลื่อนตัวของกลุ่mom อนุภาคที่เหมาะสมที่สุด เป็นการค้นหาค่าตอบที่มีพื้นฐานเดียวกับพฤษฎีกรรมทางสังคมและพลศาสตร์การเคลื่อนไหวของผู้ แมลง นก หรือปลา ซึ่งถูกนำเสนอโดย Kennedy และ Eberhart (1995) เหมาะสำหรับปัญหาที่ตัวแปรมีค่า ต่อเนื่อง ซึ่งประสบความสำเร็จในการนำไปใช้หา ค่าตอบที่หลากหลาย โดยมีข้อดี คือ จำนวน พารามิเตอร์น้อย และสามารถค้นหาค่าตอบที่ เหมาะสมที่สุดได้โดยย่างมีประสิทธิภาพ เป็นต้น ซึ่ง ค่าตอบที่เหมาะสมที่สุด จะถูกค้นหาอย่างเป็นขั้นเป็น ตอน โดยอาศัยหลักการเคลื่อนที่เบี้ยนค่าแทนของ อนุภาคตามเวลาภายในสเปชของการค้นหา ซึ่งการ เคลื่อนที่ของแต่ละอนุภาคชื่ออยู่กับประสบการณ์ของ บันเองและตามประสบการณ์ของอนุภาคที่อยู่ข้างเคียง [5] โดยความเร็วและค่าแทนของอนุภาคใหญ่แต่ละค่า หาได้ดังสมการ (12) และ (13)

$$V_d^{t+1} = W_d^t + Rand_1(0C_1(P_{best_d} - X_d^t)) + Rand_2(0C_2(G_{best_d} - X_d^t)) \quad (12)$$

$$X_{id}^{t+1} = X_{id}^t + V_{id}^{t+1} \quad (13)$$

เมื่อ

X_{id}^t คือค่าแทนของอนุภาค i ของตัวแปร d ในรอบ การคำนวณที่ t

X_{id}^{t+1} คือค่าแทนของอนุภาค i ของตัวแปร d ในรอบ การคำนวณที่ $t+1$

V_{id}^{t+1} คือความเร็วในการเปลี่ยนค่าแทนของอนุภาค i ของตัวแปร d ในรอบการคำนวณที่ $t+1$

C_1, C_2 คือความเร็วในการเปลี่ยนค่าแทนของอนุภาค i ของตัวแปร d ในรอบการคำนวณที่ $t+1$



การประชุมวิชาการเครือข่ายพลังงานแห่งประเทศไทยครั้งที่ 8
วันที่ 2-4 พฤษภาคม พ.ศ. 2555 จังหวัดมหาสารคาม

| | | |
|---------------------------------|---------------|--|
| $R_{load,0}$ | $R_{load,20}$ | คือตัวเลขอุ่นระหว่าง 0 ถึง 1 |
| $Pbest_id$ | | คือตัวแหน่งที่ดีที่สุดของอนุภาค i ของตัวแบบ d |
| $Gbest_d$ | | คือตัวแหน่งที่ดีที่สุดในทุกๆ อนุภาคของตัวแบบ i |
| w | | คือค่าถ่วงน้ำหนัก |
| C ₁ , C ₂ | | คือค่าคงที่ |

การกำหนดค่าตัวแปรในวิธีการเคลื่อนตัวของกุญแจอนุภาคมีความสำคัญในการถูกลู่ข้าของค่าตอบดังนี้จึงต้องกำหนดค่าตัวแปรต่างๆ ให้เหมาะสมซึ่งการปั้นค่าถ่วงน้ำหนักแสดงได้ตามสมการ (14)

$$W = W_{min} + \frac{W_{max} - W_{min}}{k} r \quad (14)$$

เมื่อ

| | |
|-----------|--------------------------------|
| W_{min} | คือขอบเขตล่างของค่าถ่วงน้ำหนัก |
| W_{max} | คือขอบเขตบนของค่าถ่วงน้ำหนัก |
| r | คือรอบการคำนวณปั้นอุบัน |
| k | คือรอบการคำนวณทั้งหมด |

วิธีการเคลื่อนตัวของอนุภาคที่เหมาะสมที่สุดในการหา ตัวแหน่งและขนาดกำลังไฟฟ้าลังการผลิตที่เหมาะสมของเครื่องกำเนิดไฟฟ้าแบบกระจายสามารถลดอัตราไฟต์ความเส้นผ่านศูนย์กลางต่อไปนี้ [5]

ขั้นตอนที่ 1: จัดเตรียมค่าพารามิเตอร์ต่างๆ ในระบบ จ้างหน่วยที่จะมาทดสอบเพื่อนำเข้าสู่โปรแกรมคอมพิวเตอร์ในการคำนวณ

ขั้นตอนที่ 2: เมื่อได้พารามิเตอร์ต่างๆ จากขั้นตอนที่ 1 แล้วก็มาคำนวณการโหลดกำลังไฟฟ้าในระบบจ้างหน่วยที่จะมาทดสอบเพื่อหาค่าแรงดันและการกระแสที่บัสต่างๆ

ขั้นตอนที่ 3: ขั้นตอนนี้เริ่มนำเข้าสู่กระบวนการวิธีการเคลื่อนตัวของอนุภาคที่เหมาะสมที่สุดแล้วโดยการเริ่ม การสุ่มค่า ขนาดและตัวแหน่งของเครื่องกำเนิดไฟฟ้าแบบกระจายซึ่งขนาดเมทริกซ์ในการสุ่มค่าขึ้นอยู่กับว่า ต้องการประชากรในการทดสอบเท่าใด

ขั้นตอนที่ 4: นำค่าขนาดและการวางแผนตัวแหน่งของเครื่องกำเนิดไฟฟ้าแบบกระจายในขั้นตอนที่ 3 เพื่อ

คำนวนหาค่ากำลังไฟฟ้าที่สูญเสียในระบบจ้างหน่วยที่จะมาทดสอบ จากผลการวัดอุปประสงค์

ขั้นตอนที่ 5: บันทึกค่ารวมนี้ค่าที่ดีที่สุดของกุญแจอนุภาคในกลุ่ม Pbest

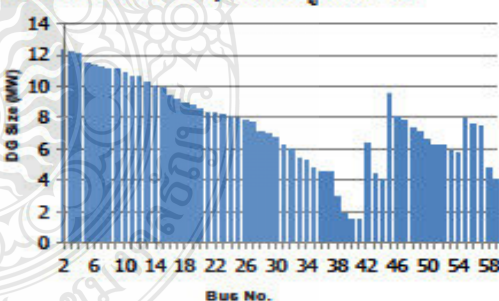
ขั้นตอนที่ 6: บันทึกครรชนี้ค่าที่ดีที่สุดของอนุภาคในกลุ่ม Gbest

ขั้นตอนที่ 7: ปรับปรุง ค่าความเร็วและตัวแหน่งที่ถูกปรับของแต่ละอนุภาคจะสามารถคำนวณได้จากความเร็วในปัจจุบันและระยะห่างระหว่าง Pbest กับ Gbest

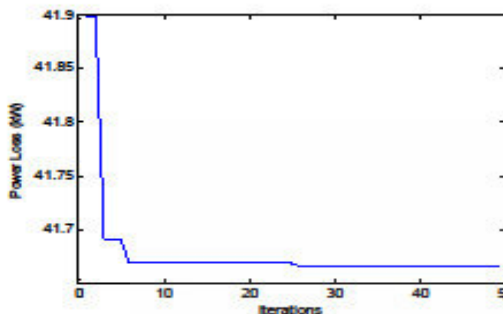
ขั้นตอนที่ 8 : ตรวจสอบการคำนวณของกระบวนการกว่า ครบกำหนดที่ตั้งไว้หรือยังถ้ายังให้นำค่าจากการปั้นปรุงไปสู่กระบวนการที่ 4 แล้วถ้าครบกำหนดไปสู่กระบวนการที่ 9 ต่อไป

ขั้นตอนที่ 9 : ได้ขนาดและตัวแหน่งของเครื่องกำเนิดไฟฟ้าแบบกระจาย จากกระบวนการวิธีการเคลื่อนตัวอนุภาคที่เหมาะสมที่สุด

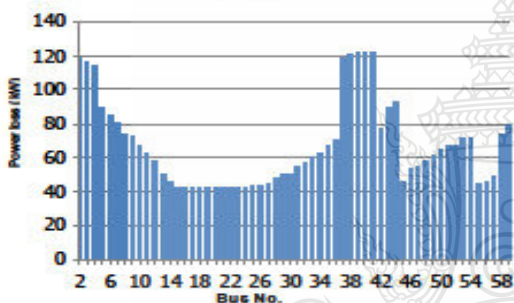
ระบบจ้างหน่วยของการไฟฟ้าส่วนภูมิภาค ที่มีกำลังไฟฟ้ารวมของโหลดขนาด 13.5 MW 7.4 MVar กำลังไฟฟ้าจริงและกำลังไฟฟ้า รเมดที่ไฟฟ้าสูญเสียรวมในระบบแรกเริ่มขนาด 123.13 kW และ 280.87 kVar ใช้ Base MVA = 10 MVA. และ Base KV = 12.66 KV ผลการจำลองโดยใช้โปรแกรม MATLAB หลังติดตั้ง DG ค่าต่างๆ แสดงดังรูปที่ 2 – 5



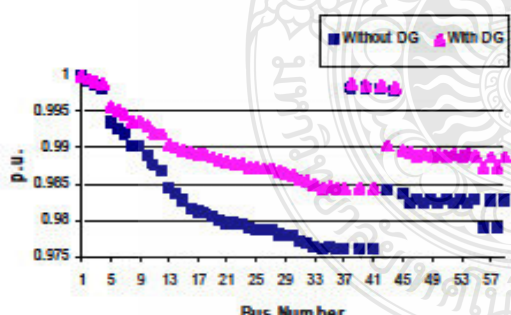
รูปที่ 2. ขนาด DG ที่เหมาะสมของระบบจ้างหน่วย 59 บัส 58 สายจ้างหน่วย



รูปที่ 3. ก้าลังไฟฟ้าจริงสูญเสียบัสที่ 18 จากการวิเคราะห์ 50 รอบ



รูปที่ 4. ค่าก้าลังไฟฟ้าจริงสูญเสียหลังติดตั้ง DG ของระบบจ้าหน่าย 59 บัส



รูปที่ 5. ขนาดแรงดันที่บัสต่างๆ ก่อนและหลังติดตั้ง DG ของระบบจ้าหน่าย 59 บัส

บทความนี้นำเสนอการศึกษาการวิเคราะห์ที่หาขนาดและค่าแพน์การติดตั้ง DG ที่เหมาะสมด้วยการวิเคราะห์การไฟฟ้าจริงกับวิธีการเคลื่อนตัวของมนุษย์ที่เหมาะสมที่สุด โดยพิจารณาการท่องเที่ยวของบัสที่ถูกติดตั้ง DG เข้าไปในระบบ การวิเคราะห์ใช้แบบจำลองของระบบจ้าหน่ายแบบเรเดียล 59 บัส ซึ่งตัดแปลงมาจากการตัวตนในระบบจ้าหน่ายของการไฟฟ้าส่วนภูมิภาค ผลการจำลองพบว่าขนาดแรงดันที่บัสต่างๆ ก่อนติดตั้ง DG มีค่าอยู่ระหว่าง 0.976 p.u. ถึง 1 p.u. หลังติดตั้ง DG มีค่าอยู่ระหว่าง 1 p.u. ถึง 0.985 p.u. โดยค่าแพน์การติดตั้งเครื่องกำเนิดไฟฟ้าแบบกระจายที่เหมาะสมที่สุดคือ บัสที่ 18 มีขนาด ก้าลังไฟฟ้าเท่ากับ 8.99 MW ก้าลังไฟฟ้าจริงและ ก้าลังไฟฟ้ารีแอคทีฟสูญเสียรวมในระบบเท่ากับ 42.18 kW และ 92.99 kVar พนักงานก้าลังไฟฟ้าที่สูญเสียในระบบลดลง 65.74 % ทั้งนี้เนื่องจากค่าแพน์และขนาด DG ที่ได้จากการทดสอบนี้ช่วยจ่ายก้าลังไฟฟ้าแทนการจ่ายจากสถานีไฟฟ้าต้นทางในสัดส่วนที่เหมาะสมช่วยลดการสูญเสียในระบบจ้าหน่ายและช่วยปรับปรุงระดับแรงดันในสายไฟได้ การวิจัยที่คาดว่าจะทำต่อไปคือการพิจารณาการเลือกใช้ DG ชนิดต่างๆ ติดตั้งในระบบจ้าหน่ายแบบอินเทอร์เชียร์ งานวิจัยในขั้นต่อไปจะวิเคราะห์ที่หาค่าแพน์และขนาดในการติดตั้งโรงไฟฟ้าพลังงานแสงอาทิตย์ VSPP ที่เหมาะสมในระบบจ้าหน่าย เพื่อช่วยในลดก้าลังการสูญเสียในระบบจ้าหน่ายและความน่าเชื่อถือได้ของระบบมากยิ่งขึ้น

7. เอกสารอ้างอิง

- [1] ชวิติ คำร่วงนน., “การส่งจ่ายก้าลังไฟฟ้า”, หอก.ເອສ-ເອນ ກາຣພິມພົ: ບວລັກ ຊື່ເອົ້າຍເຂົ້າ ຈຳກັດ, 2533,ຫຼັກ 93-94.
- [2] ຈັກິນທີ ອິຈຸນຍາ, “ກາຣວິເຄາະທີ່ທ່າດ້າແພນ່ງກາຣຕິດຕັ້ງ FACTS ທີ່ເຫັນມະນີໃນຮະບົນຈ້າທ່າຍໂດຍວິຊີ່ກ່ຽວມູນກຸາ”, ວິທະຍານີພັນເປົ້າວິຊາລູກໄກ ພາຫະວິຊາ



การประชุมวิชาการเครือข่ายพลังงานแห่งประเทศไทยครั้งที่ 8
วันที่ 2-4 พฤษภาคม พ.ศ. 2555 จังหวัดมหาสารคาม

วิศวกรรมไฟฟ้า คณะวิศวกรรมศาสตร์ มหาวิทยาลัย
เทคโนโลยีราชมงคลอุปถัมภ์, 2554.

[3] รัช ศิริสังก敦, “การหาตำแหน่งและขนาดติดตั้ง¹
ค่าปารามิเตอร์เบนจ์ที่เหมาะสมเพื่อลดกำลัง สูญเสียใน²
ระบบจำหน่ายไฟฟ้าพร้อมทั้งคำนึงถึงความไม่เป็นเรือง³
เลี้ยงของโหลดโดยใช้วิธีก่อสูญอนุภาค”, วิทยานิพนธ์⁴
ปริญญาโท สาขาวิชาวิศวกรรมไฟฟ้า คณะ⁵
วิศวกรรมศาสตร์ มหาวิทยาลัย เทคโนโลยีพระจอม⁶
เกล้าพระนครเหนือ, 2550.

[4] บุญฤทธิ์ ทองพู, “การกำหนดตำแหน่งและขนาด¹
ที่เหมาะสมที่สุดของเครื่องกำเนิดไฟฟ้าในระบบเลิกเพื่อ²
ลดความสูญเสียโดยคำนึงถึงระดับความติดพ่วงใน³
ระบบเครือข่ายจำหน่ายไฟฟ้า”, วิทยานิพนธ์⁴
ปริญญาโท สาขาวิชาวิศวกรรมไฟฟ้า คณะ⁵
วิศวกรรมศาสตร์ มหาวิทยาลัย เกษตรศาสตร์, 2552.

[5] W. Krueasuk, “Optimal placement size and¹
location of DG using particle swarm optimization,”²
Sripatum University, 2550.

[6] W. Prommee and W. Ongsakul, “Optimal multiple¹
distribute generation placement in²
microgrid system by improved reinitialized social³
structures particle swarm optimization,” European⁴
Transactions on Electrical Power, 2011, pp. 489-⁵
504

ประวัติผู้เขียน

| | |
|----------------------|--|
| ชื่อ - สกุล | นายวีระชัย พ่วงพรพิทักษ์ |
| วัน เดือน ปีเกิด | 29 ธันวาคม 2526 |
| ที่อยู่ | 2/15 ถ.ชวนชื่น ต.ในเมือง อ.เมือง จ.ขอนแก่น |
| การศึกษา | สำเร็จการศึกษาระดับวิศวกรรมศาสตร์บัณฑิต สาขาวิศวกรรมไฟฟ้า จากมหาวิทยาลัยขอนแก่น |
| ประสบการณ์การทำงาน | |
| พ.ศ. 2549 – 2553 | บริษัท แอดวานซ์ ออฟ โปรดักส์ (มหาชน) ตำแหน่ง รักษาการหัวหน้าแผนกบำรุงรักษาระบบไฟฟ้า |
| พ.ศ. 2553 – ปัจจุบัน | การไฟฟ้าส่วนภูมิภาค เขต 1 ภาคกลาง ตำแหน่ง วิศวกร |

